Министерство образования и науки Российской Федерации ФГБОУ ВПО «Российский химико-технологический университет им. Д.И.Менделеева»

Новомосковский институт (филиал)

Сафонов Б.П.

Инженерное материаловедение

Сборник задач и справочных материалов

Учебное пособие

Изд. 5-е, стереотипное

Новомосковск 2015

УДК 669.017 ББК 30.3 С 217

Репензенты:

доктор химических наук, профессор Ваграмян Т. А. (ФГБОУ ВПО РХТУ им. Д.И.Менделеева) кандидат технических наук, доцент Лукьяница А.И. (ФГБОУ ВПО РХТУ им. Д.И.Менделеева, Новомосковский институт)

Сафонов Б.П.

С 217 Инженерное материаловедение. Сборник задач и справочных материалов. Учебное пособие. Изд. 5-е, стереотипное /ФГБОУ ВПО РХТУ им. Д.И.Менделеева, Новомосковский институт (филиал); Новомосковск, 2015. — 142 с.

ISBN 978-5-7237-0648-4

В учебном пособии приведены оригинальные задачи по материаловедению, имеющие практическую направленность. Справочные материалы содержат информацию, необходимую для решения задач. В них представлены сведения о свойствах материалов их маркировке, применении, термической обработке.

Учебное пособие предназначено для студентов направлений подготовки, изучающих дисциплины «Материаловедение», «Материаловедение. Технология конструкционных материалов», «Электротехническое и конструкционное материаловедение». Справочные материалы, приведенные в пособии, могут быть полезны также студентам старших курсов при работе над курсовыми работами и проектами, а также при дипломном проектировании.

Каждая задача снабжена указанием номеров таблиц, содержащих дополнительную информацию, необходимую для решения данной задачи.

Табл. 78. Библиогр. список 24 назв.

УДК 669.017 ББК 30.3

ISBN 978-5-7237-0648-4

© Б. П. Сафонов

© ФГБОУ ВПО «Российский химико-технологический университет им. Д.И. Менделеева»,

В системе общепрофессиональной подготовки студентов инженерных специальностей дисциплины машиноведческого цикла занимают центральное место. Предлагаемое читателю учебное пособие относится к так называемой инженерной серии. На кафедре «Оборудование химических производств» уже был опыт издания учебного пособия подобного типа. Так в 2004 г. было издано учебное пособие «Инженерная трибология: оценка износостойкости и ресурса трибосопряжений» авторов Б.П.Сафонова, А.В.Беговой. Отличительной особенностью учебных пособий инженерной серии является практическая направленность изложения учебного материала.

Задачи в данном учебном пособии подобраны таким образом, чтобы при их решении читателю пришлось привлекать дополнительную информацию из других тем курса материаловедения. Например, при решении задач №1.3.14, приходится познакомиться 1.3.15 составу сплавов межкристаллитной коррозии (МКК) или с терминами «вюстит», «магнетит», задаче №1.3.8. При ЭТОМ MKK относится «Высоколегированные стали», а названия окислов железа встретятся студенту при изучении технологии конструкционных материалов в теме «Получение чугуна и стали». Таким образом, решая задачи, заинтересованный читатель вынужден в опережающем режиме знакомиться с терминологией, пополняя свой словарный запас, понимания материаловедения технический что ДЛЯ чрезвычайно важно. При такой углубленной работе над учебным материалом достигается устойчивое усвоение приобретаемых знаний.

Учебное пособие снабжено справочными материалами, в которых представлены сведения о строении материалов, их свойствах, маркировке и др. Табличная форма представления справочных материалов, а также унификация рубрикации разделов 1 (условия задач) и 2 (справочные материалы), несомненно, облегчит пользование учебным пособием. Учебное пособие содержит новый раздел, посвященный расчетам промышленных сплавов.

Учебное пособие предназначено для студентов инженерных специальностей, оно может быть полезно также студентам старших курсов при работе над курсовыми проектами и при дипломном проектировании.

Пожелания по улучшению изложенного в учебном пособии материала просим направлять на кафедру ОХП НИ РХТУ им. Д.И.Менделеева по адресу 301665 г. Новомосковск Тульской области, ул. Дружбы 8 или по электронной почте kafohp@gmail.com.

ВВЕДЕНИЕ

Материаловедение — наука, изучающая взаимосвязь между составом, строением и свойствами материалов и закономерности их изменения под воздействием внешних факторов: тепловых, химических, механических, электромагнитных и радиационных.

Инженерное материаловедение представляет собой прикладную часть теоретического курса материаловедения, в которой на основе количественных причинно-следственных связей, имеющих место в материаловедении, решаются практические задачи. Например, определение свойств сплавов известного состава по диаграмме «состав-свойство» при решении прямой задачи материаловедения — задача анализа материала, или нахождение состава сплава, обладающего заданными свойствами, при решении обратной задачи материаловедения — задача синтеза материала и др.

Многие задачи предполагают получение числового ответа (число и соответствующая размерность), в ряде задач предполагается использовать графо-аналитическое решение. При решении задач с использованием уравнений регрессии, приведенных в справочных материалах, рекомендуем использовать программу *Excel*. Раздел «Справочные материалы» сформирован таким образом, что его структура в основном повторяет структуру раздела с условиями задач.

Решение каждой задачи следует начинать с проработки рекомендуемой для данной темы задач учебной и справочной литературы, ссылки на которую указаны в подстрочнике заголовка темы задач под рубрикой «Теория». Это относится особенно к задачам описательного характера. При решении задачи обратите внимание на таблицы, упомянутые в условии задачи. Задачи, отмеченные звёздочкой (*) относятся к задачам повышенной сложности, их решение требует определенного обобщения учебного материала и предполагает несколько действий для получения ответа.

В уравнениях регрессии, приведенных в разделе «Справочные материалы», размерные величины приведены с указанием их размерности. Приведенные в учебном пособии уравнения регрессии снабжены также указанием интервала значений аргумента и функции, внутри которых они дают достоверный результат.

Для взаимного перевода единиц технической и международной систем измерения используйте переводные коэффициенты: 1 кгс = 9,81 H; 1 H = 0,102 кгс; 1 кгс/мм 2 = 9,81 МПа; 1 МПа = 0,102 кгс/мм 2 ; 1 кгс·м = 9,81 Дж; 1 Дж = 0,102 кгс·м.

1. Условия задач.

1.1. Кристаллическое строение металлов

Теория [1-9, 14].

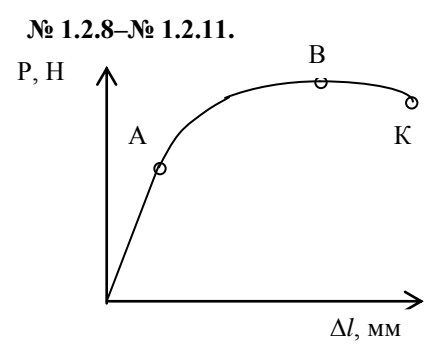
- № 1.1.1. Изобразите схему элементарной ячейки ОЦК и рассчитайте ее базис. Какие металлы имеют кристаллическую решетку ОЦК? При решении используйте данные таблицы 2.1.1.
- № 1.1.2. Изобразите схему элементарной ячейки ГЦК и рассчитайте ее базис. Какие металлы имеют кристаллическую решетку ГЦК? При решении используйте данные таблицы 2.1.1.
- № **1.1.3.** Укажите основные физические свойства железа. Какое практическое применение имеет железо в технике? При решении используйте данные таблиц 2.1.3, 2.1.13.
- № **1.1.4.** Укажите основные физические свойства хрома. Какое практическое применение имеет хром в технике? При решении используйте данные таблицы 2.1.1. При решении используйте данные таблиц 2.1.3, 2.1.13.
- № **1.1.5.** Укажите основные физические свойства вольфрама. Какое практическое применение имеет вольфрам в технике? При решении используйте данные таблиц 2.1.3, 2.1.13.
- № **1.1.6.** Укажите основные физические свойства титана. Какое практическое применение имеет титан в технике? При решении используйте данные таблиц 2.1.3, 2.1.13.
- № 1.1.7. Укажите основные физические свойства алюминия. Какое практическое применение имеет алюминий в технике? При решении используйте данные таблиц 2.1.3, 2.1.13.
- № 1.1.8. Рассчитайте коэффициент самодиффузии по уравнению Аррениуса для железа при рабочей температуре 20 и 500°С. Прокомментируйте полученный результат. При решении используйте данные таблиц 2.1.9, 2.1.10.
- № **1.1.9.** Рассчитайте коэффициент самодиффузии по уравнению Аррениуса для хрома при рабочей температуре 20 и 500°С. Прокомментируйте полученный результат. При решении используйте данные таблиц 2.1.9, 2.1.10.

- № 1.1.10. Рассчитайте коэффициент самодиффузии по уравнению Аррениуса для вольфрама при рабочей температуре 20° и 500°С. Прокомментируйте полученный результат. При решении используйте данные таблиц 2.1.9, 2.1.10.
- № 1.1.11—№ 1.1.13. Оцените протяженность линейных дефектов кристаллического строения в 1 см³ деформированного металла, если плотность дислокаций ρ составляет: № 1.1.11) ρ =10 8 см $^{-2}$; № 1.1.12) ρ =10 10 см $^{-2}$; № 1.1.13) ρ =10 13 см $^{-2}$. Поясните влияние плотности дислокаций на прочность металла. При решении используйте данные таблицы 2.1.9.
- № 1.1.14. С помощью закона Холла-Петча поясните влияние на прочность металла размера зерна микроструктуры. При решении используйте данные таблицы 2.1.9.
- № 1.1.15. Какие аллотропические формы имеет железо? Каковы температурные интервалы существования аллотропических форм железа? При решении используйте данные таблицы 2.1.1.
- № 1.1.16. Какие аллотропические формы имеет титан? Каковы температурные интервалы существования аллотропических форм титана? При решении используйте данные таблицы 2.1.1.

1.2. Пластическая деформация, механические свойства сплавов Теория [1-8].

- № **1.2.1.** К какому виду деформации (холодной или горячей) следует отнести прокатку алюминия при температуре 200°С и деформацию железа при 400°С? При решении используйте данные таблицы 2.1.14.
- № **1.2.2.** При какой температуре следует проводить холодную деформацию алюминия? При решении используйте данные таблицы 2.1.14.
- № 1.2.3. К какому виду деформации (холодной или горячей) следует отнести прокатку свинца при комнатной температуре и деформацию меди при 250°С? При решении используйте данные таблицы 2.1.14.
- № **1.2.4.** При какой температуре следует проводить холодную деформацию свинца? При решении используйте данные таблицы 2.1.14.
- № **1.2.5.** В чем состоит явление перекристаллизации и рекристаллизации? Какое из этих явлений носит более общий характер? При решении используйте данные таблиц 2.1.1, 2.1.14.

№ 1.2.6. Два сплава имеют равную прочность на различную пластичность. Изобразите диаграммы растяжения этих сплавов в координатах «напряжение-относительная деформация». При решении используйте данные таблицы 2.1.5. № 1.2.7. Два сплава имеют равную пластичность на различную прочность. Изобразите диаграммы растяжения этих сплавов в координатах «напряжение-относительная деформация». При решении используйте данные таблицы 2.1.5.



На рисунке показана диаграмма растяжения стального образца. Диаметр рабочей части d_0 . Усилия на образце в точках А и В диаграммы растяжения P_A , P_B , соответственно. Определите предел текучести прочности И предел металла образца. При решении используйте данные таблицы 2.1.5.

| № задачи | d ₀ , мм | P_A, H | P_B , H |
|----------|---------------------|----------|-----------|
| 1.2.8. | 5 | 4800 | 8100 |
| 1.2.9. | 6 | 7000 | 12000 |
| 1.2.10. | 8 | 13000 | 21000 |
| 1.2.11. | 10 | 20000 | 33000 |

№ 1.2.12 * -1.2.15 * . На рисунке к задаче № 1.2.8 показана диаграмма растяжения стального образца. Диаметр рабочей части d_0 . Усилие на образце в точке К диаграммы растяжения равно P_K . Относительное сужение металла образца ψ . Определите истинное сопротивление разрыву металла образца. При решении используйте данные таблицы 2.1.5.

| № задачи | d ₀ , мм | P_K, H | ψ, % |
|----------|---------------------|----------|------|
| 1.2.12*. | 5 | 8100 | 51 |
| 1.2.13*. | 6 | 13500 | 46 |
| 1.2.14*. | 8 | 26000 | 40 |
| 1.2.15*. | 10 | 44000 | 34 |

№ 1.2.16—№ 1.2.19. Проводилось испытание образцов на растяжение. Длина рабочей части образца до и после испытания l_0 , l_K , соответственно. Определите относительное удлинение металла образца. При решении используйте данные таблицы 2.1.5.

| № задачи | 1 ₀ , мм | l_{K} , mm |
|----------|---------------------|--------------|
| 1.2.16. | 25 | 31,3 |
| 1.2.17. | 30 | 37,5 |

| 1.2.18. | 40 | 50 |
|---------|----|------|
| 1.2.19. | 50 | 62,5 |

№ 1.2.20—№ 1.2.23. Проводилось испытание образцов на растяжение. Диаметр рабочей части образца до и после испытания d_0 , d_K , соответственно. Определите относительное сужение металла образца. При решении используйте данные таблины 2.1.5.

| № задачи | d ₀ , мм | d_{K} , мм |
|----------|----------------------------|--------------|
| 1.2.20. | 5 | 3,4 |
| 1.2.21. | 6 | 4,0 |
| 1.2.22. | 8 | 5,4 |
| 1.2.23. | 10 | 6,7 |

№ 1.2.24—№ 1.2.26. Проводится определение твердости по Бринеллю образцов толщиной s из отожженной стали. Выберите оборудование и условия испытания (диаметр индентора и нагрузку) для данных образцов. № 1.2.24) s=9 мм; № 1.2.25) s=2,5 мм; № 1.2.26) s=1,5 мм. При решении используйте данные таблицы 2.1.5.

№ 1.2.27—№ 1.2.29. Проводится определение твёрдости по Роквеллу образцов. Выберите оборудование и условия испытания (вид индентора, суммарная нагрузка) для определения твёрдости данных образцов. № 1.2.27) цветной сплав — дуралюмин; № 1.2.28) закаленная сталь; № 1.2.29) твердосплавная пластина для армирования режущего инструмента. При решении используйте данные таблицы 2.1.5.

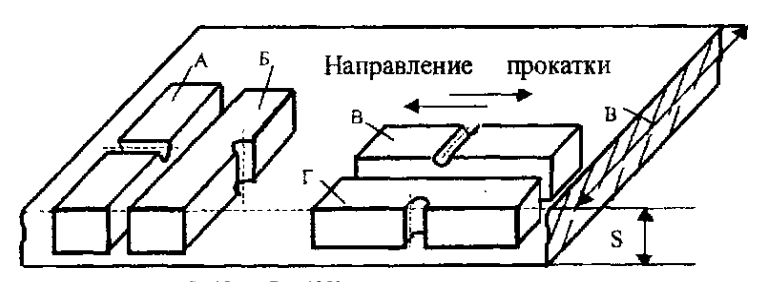
№ 1.2.30–№ 1.2.32. Проводится определение твёрдости по Бринеллю образцов толщиной s из алюминиевого сплава. Выберите оборудование и условия испытания (диаметр индентора и нагрузку) данных образцов. № 1.2.30) s=9 мм; № 1.2.31) s=4 мм; № 1.2.32) s=1,5 мм. При решении используйте данные таблицы 2.1.5.

№ **1.2.35**-№ **1.2.35**. Как определить твердость образцов толщиной s из чугуна (оборудование, условия испытания)? № **1.2.33**) s=10 мм; № **1.2.34**) s=2,5 мм; № **1.2.35**) s=1,5 мм. При решении используйте данные таблицы 2.1.5.

№ 1.2.36-№ 1.2.38. Определяли твердость четырех материалов. При этом использовали методы Бринелля и Роквелла. Расположите материалы в ряд по убыванию твердости: № 1.2.36) 1 – HB 300, 2 – HRA 60, 3 – HRC 30, 4 – HRB 60; № 1.2.37) 1 – HB 400, 2 – HRA 70, 3 – HRC 40, 4 – HRB 80; № 1.2.38) 1 – HB 450, 2 – HRA 80, 3 – HRC 60, 4 – HRB 100. При решении используйте данные таблицы 2.1.11.

№ 1.2.39. Ударная вязкость сплава А определена на образцах с U-образным надрезом (образец типа1 по ГОСТ 9454). Ударная вязкость сплава Б определена на образцах с V-образным надрезом (образец типа11 по ГОСТ 9454). Установлено, что ударная вязкость сплавов А и Б близка друг другу. Что можно сказать о надежности сплавов? При решении используйте данные таблицы 2.1.5.

№ 1.2.40*. Из котельного листа толщиной 15 мм вырезали образцы для испытания ударным изгибом (Менаже) по ГОСТ 9454-78, как показано на рисунке. У каких образцов и почему предполагается наибольшая и наименьшая ударная вязкость? При решении используйте данные таблиц 2.1.5, 2.1.12.



S = 15 mm; B = 1250 mm

№ 1.2.41—№ 1.2.47. Выбрать тип надрезанного образца для определения ударной вязкости стального полуфабриката заданного размера: № 1.2.41) сортовой прокат квадратный a=11 мм; № 1.2.42) сортовой прокат круглый d=16 мм; № 1.2.24) листовой прокат s=9 мм; № 1.2.43) труба горячекатаная d=350 мм,s=8 мм; № 1.2.45) двутавр s=10 мм; № 1.2.46) уголок равнополочный t=4 мм; № 1.2.47) уголок неравнополочный t=16 мм. При решении задачи использовать данные таблиц 2.1.15, 2.1.16.

№ 1.2.48—№ 1.2.51. Проводилось определение ударной вязкости стальных образцов разных типов с U-образным надрезом. Вычислить значение ударной вязкости стали, на основании следующих исходных данных: № 1.2.48) образец типа 1, результаты испытания $KU_0 = 200$ Дж; $KU_{ocr} = 120$ Дж; № 1.2.49) образец типа 2, результаты испытания $KU_0 = 180$ Дж; $KU_{ocr} = 120$ Дж; № 1.2.50) образец типа 3, результаты испытания $KU_0 = 160$ Дж; $KU_{ocr} = 120$ Дж; № 1.2.51) образец типа 4, результаты испытания $KU_0 = 60$ Дж; $KU_{ocr} = 48$ Дж. При решении задачи использовать данные таблиц 2.1.5, 2.1.15.

№1.2.52—№ 1.2.56. Проводилось исследование ударной вязкости стали при разной температуре. Определить упрощённым способом значение порога хладноломкости $t_{x_{1}}$ стали по следующим исходным данным (см. таблицу).

| № | KCU _{min} | КСU, Дж/см ² , при температуре испытания, град С | | | | |
|--------|--------------------|---|-----|-----|-----|-----|
| задачи | Дж/см ² | +20 | -20 | -40 | -60 | -70 |
| 1.2.52 | 30 | 110 | 68 | 47 | _ | 10 |
| 1.2.53 | 35 | 157 | 109 | 86 | _ | 27 |
| 1.2.54 | 40 | 73 | 52 | 48 | 37 | _ |
| 1.2.55 | 57 | 78 | 71 | 64 | 53 | |
| 1.2.56 | 41 | 55 | 47 | 45 | 42 | _ |

При решении задачи использовать данные таблицы 2.1.17.

- №1.2.57—№ 1.2.59. Оценить предел прочности отожженной стали, зная её твёрдость: № 2.2.57) НВ = 175 кгс/мм²; № 2.2.58) НВ = 190 кгс/мм²; № 2.2.59) НRВ = 55; № 2.2.60) НRВ = 60. При решении задачи использовать данные таблины 2.1.18.
- № 2.2.61–№2.2.64. Оценить предел прочности термообработанной стали, зная её твёрдость: № 1.2.61) НВ = 370 кгс/мм²; № 1.2.62) НВ = 380 кгс/мм²; № 1.2.63) НВС = 54; № 1.2.64) НВС = 60. При решении задачи использовать данные таблицы 2.1.18.
- № 1.2.65–№ 1.2.68. Оценить твёрдость НВ или HRB отожженной стали, зная её предел прочности: № 1.2.65) НВ, σ_B = 50 кгс/мм²; № 1.2.66) НВ, σ_B = 50 кгс/мм²; № 1.2.67) HRB, σ_B = 35 кгс/мм²; № 1.2.68) HRB, σ_B = 45 кгс/мм². При решении задачи использовать данные таблицы 2.1.18.
- № 1.2.69–№ 1.2.72. Оценить твёрдость НВ или НРС термообработанной стали, зная её предел прочности: № 1.2.69) НВ, σ_B = 140 кгс/мм²; № 1.2.70) НВ, σ_B = 150 кгс/мм²; № 1.2.71.) НРС, σ_B = 260 кгс/мм²; № 1.2.72) НРС, σ_B = 300 кгс/мм². При решении задачи использовать данные таблицы 2.1.18.
- № 1.2.73—№ 1.2.76. Перевести значения твёрдости HRC в значения единой шкалы твёрдости по Роквеллу С_э. № 1.2.73) HRC 25; № 1.2.74) HRC 35; № 1.2.75) HRC 45; № 1.2.76) HRC 55. При решении задачи использовать данные таблицы 2.1.6.
- № 1.2.77—№1.2.80. Перевести значения единой шкалы твёрдости по Роквеллу C_9 в значения твёрдости HRC. № 1.2.77) HRC $_9$ 25; № 1.2.78) HRC $_9$ 35; № 1.2.79) HRC $_9$ 45; № 1.2.80) HRC $_9$ 55. При решении задачи использовать данные таблицы 2.1.6.

1.3. Кристаллизация, состав сплавов

Теория [1-8].

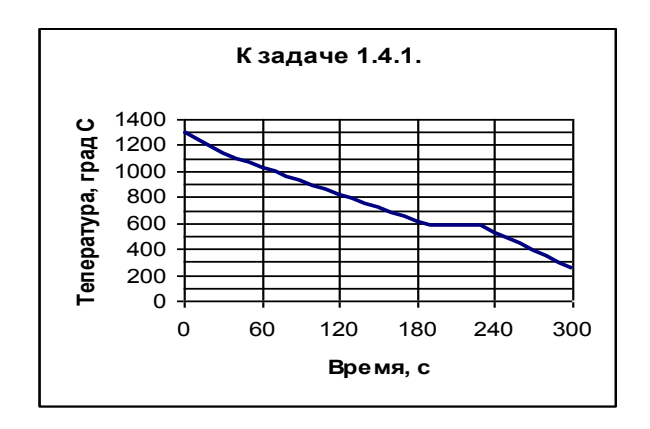
- № 1.3.1. Расплавы олова были охлаждены до 150 и 220°С. Какова степень переохлаждения металла при этом, каковы различия в строении слитков олова? При решении используйте данные таблицы 2.2.1.
- № **1.3.2.** Расплавы меди были охлаждены до 850 и 1000°С. Какова степень переохлаждения металла при этом, каковы различия в строении слитков меди? При решении используйте данные таблицы 2.2.1.
- № **1.3.3.** Рудой при производстве бария является минерал барит (BaSO₄). Определите массовую долю бария в барите. При решении используйте данные таблицы 2.2.3.
- № 1.3.4. Рудой при производстве циркония является минерал циркон (ZrSiO₄). Определите массовую долю циркония в цирконе. При решении используйте данные таблицы 2.2.3.
- № 1.3.5. Ферритные чугуны содержат углерод в свободном виде (графит). Определите объемную долю включений графита в ферритном чугуне, если массовая доля основных компонентов составляет: x_{Fe} =96,7%, $x_{\Gamma p}$ = 3,3%. При решении используйте данные таблиц 2.1.1, 2.1.2, 2.2.3.
- № 1.3.6. Бронзографиты представляют собой антифрикционный пористый композиционный материал для работы в условиях граничного трения. Определите объемную долю графита в бронзографите БрОГр10-3, если массовая доля основных компонентов составляет: x_{Cu} =87%, x_{Sn} = 10%, $x_{\Gamma p}$ = 3%. При решении используйте данные таблиц 2.1.1, 2.1.2, 2.2.3.
- **№ 1.3.7.** Апатитовые руды содержат до 20% фосфорного ангидрида P_2O_5 . Определите массовую долю фосфора в апатитовой руде. При решении используйте данные таблицы 2.2.3.
- № 1.3.8. Железная руда содержит железо в виде окислов FeO (вюстит), Fe_3O_4 (магнетит) и Fe_2O_3 (гематит). Сравните массовую долю железа в его окислах. Какой из компонентов железной руды наиболее богат железом? При решении используйте данные таблицы 2.2.3.

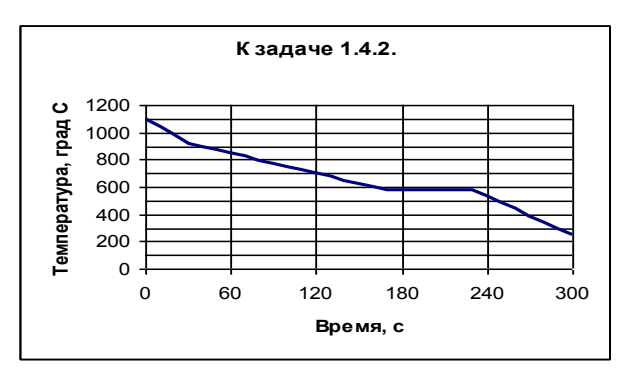
- № 1.3.9. Медные руды состоят из соединений меди с кислородом и серой. Сравните массовую долю меди в соединениях меди CuO и CuS. При решении используйте данные таблицы 2.2.3.
- № 1.3.10. Бокситы являются сырьём для получения алюминия и содержат до 70% корунда Al₂O₃. Определите массовую долю алюминия в бокситах. При решении используйте данные таблицы 2.2.3.
- № 1.3.11. Цементит Fe₃C является фазой заэвтектоидных сталей и чугунов. Определите массовую долю железа в цементите. При решении используйте данные таблицы 2.2.3.
- № 1.3.12. Упрочняющей фазой вольфрамо-кобальтовых твердых сплавов является карбид вольфрама WC. Определите массовую долю углерода в сплавах ВК 20 и ВК 3, если массовая доля компонентов сплавов составляет: ВК 20 \rightarrow Co = 20%, WC = 80%; ВК 3 \rightarrow Co = 3%, WC = 97%. При решении используйте ланные таблицы 2.2.3.
- № 1.3.13. Упрочняющими фазами вольфрамо-титано-кобальтовых твердых сплавов являются карбиды вольфрама WC и титана TiC. Определите массовую долю углерода в сплаве T15K6, если массовая доля компонентов сплава составляет: Co = 6%, TiC = 15%, WC= 79%. При решении используйте данные таблицы 2.2.3.
- № 1.3.14*. Развитие межкристаллитной коррозии сварных соединений аустенитных сталей связано с обеднением хромом металла по границам зерен, вызванное образованием карбидов $Cr_{23}C_6$. Определите, как изменится среднее содержание хрома в зоне термического влияния сварного шва изделия из аустенитной стали (18% Cr; 10% Ni; 0,12% C) после охлаждения металла сварного шва, если равновесное содержание углерода в аустените составляет 0,03%. При решении используйте данные таблицы 2.2.3.
- № 1.3.15*. Для предохранения аустенитных сталей от межкристаллитной коррозии (МКК) в них добавляют элементы-стабилизаторы. В этом качестве используются титан и ниобий. Защитное действие стабилизаторов состоит в связывании углерода стали в карбиды вида MeC, что препятствует обеднению хромом металла по границам зерен, вызванное образованием карбидов $Cr_{23}C_6$. Сравните эффективность защитного действия от МКК Ti и Nb по расходу металла-стабилизатора на образование карбида MeC. При решении используйте данные таблицы 2.2.3.

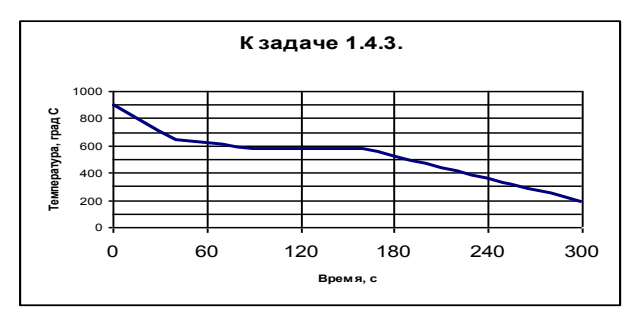
- № 1.3.16—№ 1.318. При производстве титана в качестве руды используются минералы: ильменит (FeTiO₃), рутил (TiO₂) и титанит (CaTiSiO₅). Определите массовую долю титана в минералах: № 1.3.16 в ильмените, № 1.3.17 в рутиле, № 1.3.18 в титаните. При решении используйте данные таблицы 2.2.3.
- № 1.3.19, № 1.3.20. Рудами при производстве цинка являются цинковая обманка (ZnS) и смитсонит (ZnCO₃). Определите массовую долю цинка в минералах: № 1.3.19 в цинковой обманке, № 1.3.20 в смитсоните. При решении используйте ланные таблицы 2.2.3.
- №1.3.21. Применяемый для легирования стали феррохром получают в дуговых электропечах непосредственно из хромита (FeCrO₄). Определите массовую долю хрома в хромите. При решении используйте данные таблицы 2.2.3.
- № 1.3.22. Сырьём для получения феррохрома служат хромовые руды с содержанием окиси хрома (Cr₂O₃) порядка 55%. Определите массовую долю хрома в хромовых рудах. При решении используйте данные таблицы 2.2.3.
- № 1.3.23. Ниобий получают восстановлением из пятиокиси ниобия (Nb_2O_5). Определите массовую долю ниобия в Nb_2O_5 . При решении используйте данные таблицы 2.2.3.
- № **1.3.24.** Двуокись кремния SiO_2 в природе встречается в виде кварца, одного из самых распространенных минералов земной коры. Кварц служит сырьём для получения ферросилиция. Определите массовую долю кремния в кварце. При решении используйте данные таблицы 2.2.3.
- № 1.3.25–№ 1.3.27. Сырьём для получения магния служат минералы брусит Mg(OH)₂, магнезит MgCO₃, доломит MgCO₃×CaCO₃ и др. Определите содержание магния: № 1.3.25 в брусите; № 1.3.26 в магнезите; № 1.3.27 в доломите. При решении используйте данные таблицы 2.2.3.
- № 1.3.28. Главным минералом молибденовых руд является молибденит (молибденовый блеск), являющийся сульфидом молибдена MoS_2 . Определите массовую долю молибдена в молибдените. При решении используйте данные таблицы 2.2.3.
- № 1.3.29, № 1.3.30. Основными минералами вольфрамовых руд являются вольфрамит (FeMn)WO₄ и шеелит CaWO₄. Определите массовую долю вольфрама: № 1.3.29 в вольфрамите; № 1.3.30 в шеелите. При решении используйте данные таблицы 2.2.3.
- № 1.3.31. Главным минералом ванадиевых руд является ванадит, содержащий 19% пятиокиси ванадия V_2O_5 . Определите массовую долю ванадия в ванадите. При решении используйте данные таблицы 2.2.3.

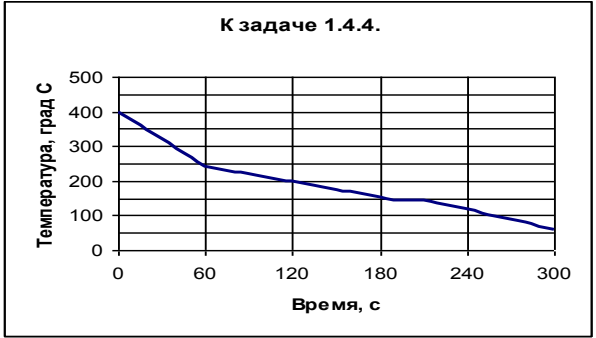
1.4. Критические точки сплава. Диаграммы состояния двойных систем Теория [1-7].

№ 1.4.1—1.4.4. По данным хронометража охлаждения сплава построена кривая охлаждения (см. рисунок). Укажите критические точки сплава. Определите вид сплава (без эвтектики, с эвтектикой). При решении задачи используйте данные таблиц 2.2.4, 2.2.5.

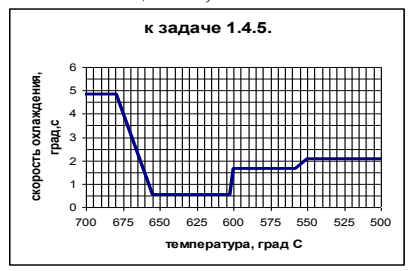








№ 1.4.5—1.4.8. По термокинетической диаграмме кристаллизации (см. рисунок) определите критические точки сплава. Определите вид сплава (без эвтектики, с эвтектикой, с вторичной кристаллизацией). При решении задачи используйте данные таблиц 2.2.4, 2.4.6.









- № **1.4.9–№ 1.4.12.** Дана система Pb–Sb. Выполните фазовый анализ при температуре 350°C сплава, содержащего заданное количество сурьмы. № **1.4.9**) 30%; № **1.4.10**) 50%; № **1.4.11**) 70%; № **1.4.12**) 90%. При решении используйте данные таблиц 2.2.8, 2.2.9, 2.2.13.
- № 1.4.13*—№ 1.4.16*. Дана система Pb—Sb. Выполните структурный анализ при комнатной температуре сплава, содержащего заданное количество сурьмы. № 1.4.13*) 30%; № 1.4.14*) 50%; № 1.4.15*) 70%; № 1.416*) 90%. Нарисуйте схему микроструктуры сплава. При решении используйте данные таблиц 2.2.190, 2.2.13, 2.2.14.
- № **1.4.17**–№ **1.4.20.** Дана система Sn–Pb. Выполните фазовый анализ при температуре 200°C сплава, содержащего заданное количество свинца. № **1.4.17**) 10%; № **1.4.18**) 55%; № **1.4.19**) 65%; № **1.4.20**) 75%. При решении используйте данные таблиц 2.2.8, 2.2.9, 2.2.13.
- № 1.4.21*—№ 1.4.24*. Дана система Sn—Pb. Выполните структурный при комнатной температуре анализ сплава, содержащего заданное количество свинца. № 1.4.21*) 10%; № 1.4.22*) 55%; № 1.4.23*) 65%; № 1.4.24*) 75%. Нарисуйте схему микроструктуры сплава. При решении используйте данные таблиц 2.2.10, 2.2.13, 2.2.14.
- № **1.4.25**–№ **1.4.28.** Дана система Zn–Sn. Выполните фазовый анализ при температуре 250°C сплава, содержащего заданное количество олова. № **1.4.25**) 15%; № **1.4.26**) 35%; № **1.4.27**) 55%; № **1.4.28**) 75%. При решении используйте данные таблиц 2.2.8, 2.2.9, 2.2.13.
- № 1.4.29*—№ 1.4.32*. Дана система Zn—Sn.. Выполните структурный анализ при комнатной температуре сплава, содержащего заданное количество олова. № 1.4.29*) 15%; № 1.4.30*) 35%; № 1.4.31*) 55%; № 1.4.32*) 75%. Нарисуйте схему микроструктуры сплава. При решении используйте данные таблиц 2.2.10, 2.2.13, 2.2.14.

- № 1.4.33—№ 1.4.36. Дана система Al–Si. Выполните фазовый анализ при температуре 700°С сплава, содержащего заданное количество кремния. № 1.4.33) 30%; № 1.4.34) 50%; № 1.4.35) 70%; № 1.4.36) 90%. При решении используйте данные таблиц 2.2.8, 2.2.9, 2.2.13.
- № 1.4.37*—№ 1.4.40*. Дана система Al–Si.. Выполните структурный анализ при комнатной температуре сплава, содержащего заданное количество кремния. № 1.4.37*) 30%; № 1.4.38*) 50%; № 1.4.39*) 70%; № 1.4.40*) 90%. Si=60% . Нарисуйте схему микроструктуры сплава. При решении используйте данные таблиц 2.2.10, 2.2.13, 2.2.14.
- № 1.4.41*. На микрошлифе образца сплава системы Pb–Sb видно, что 20% площади микрошлифа занимают кристаллы сурьмы, остальное поле кристаллы эвтектики. Определите содержание компонентов в сплаве данного структурного состава. При решении используйте данные таблиц 2.2.10, 2.2.13.
- № 1.4.42*. Определите состав сплава системы Pb—Sb, если структура его состоит из кристаллов сурьмы и эвтектики примерно поровну. При решении используйте данные таблиц 2.2.10, 2.2.13.
- № **1.4.43*.** Определите состав сплава системы Pb—Sb, если структура его состоит из кристаллов свинца и эвтектики примерно поровну. При решении используйте данные таблиц 2.2.10, 2.2.13.
- № 1.4.44*. На микрошлифах сплавов системы Zn–Sn обнаружены равные количества светлых и темных зерен (эвтектика). Определите содержание компонентов в доэвтектическом сплаве данного структурного состава. При решении используйте данные таблиц 2.2.10, 2.2.13.
- № 1.4.45*. На микрошлифах сплавов системы Zn–Sn обнаружены равные количества светлых и темных зерен (эвтектика). Определите содержание компонентов в заэвтектическом сплаве данного структурного состава. При решении используйте данные таблиц 2.2.10, 2.2.13.
- № 1.4.46*—№ 1.4.49*. Для пайки изделий из алюминиевых и магниевых сплавов применяют припои ПОЦ (система Zn—Sn). Определите твердость при комнатной температуре металла паяного шва, содержащего заданное количество олова. № 1.4.46*) 20%; № 1.4.47*) 40%; № 1.4.48*) 60%; № 1.4.49*) 80%. При решении используйте правило Н.С. Курнакова, см. данные таблиц 2.1.3, 2.2.11, 2.2.13.
- № 1.4.50 * -№ 1.4.53 * . Для пайки изделий из алюминиевых и магниевых сплавов применяют припои ПОЦ (система Zn–Sn). Определите относительное сужение при комнатной температуре металла паяного шва, содержащего заданное

- количество олова. **№ 1.4.50***) 20%; **№ 1.4.51***) 40%; **№ 1.4.52***) 60%; **№ 1.4.53***) 80%.. При решении используйте правило Н.С. Курнакова, см. данные таблиц 2.1.3, 2.2.11, 2.2.13.
- № 1.4.54*. Для лужения и пайки радиоаппаратуры и изделий из оцинкованного железа применяют припои ПОС (система Sn–Pb). Определите твердость при комнатной температуре металла паяного шва при использовании припоя ПОС 40 (40% Sn). При решении используйте правило Н.С. Курнакова, см. данные таблиц 2.1.3, 2.2.11, 2.2.13.
- №.1.4.55*. Для лужения и пайки радиоаппаратуры и изделий из оцинкованного железа применяют припои ПОС (система Sn—Pb). Определите относительное сужение при комнатной температуре металла паяного шва при использовании припоя ПОС 60 (60% Sn). При решении используйте правило Н.С. Курнакова, см. данные таблиц 2.1.3, 2.2.11, 2.2.13.
- № 1.4.56*—№ 1.4.60*. Для лужения и пайки радиоаппаратуры и изделий из оцинкованного железа применяют припои ПОС (система Sn-Pb). Определите удельное электрическое сопротивление при комнатной температуре металла паяного шва, содержащего заданное количество олова. № 1.4.56*) 10%; № 1.4.57*) 25%; № 1.4.58*) 40%; № 1.4.59*) 55%; № 1.4.60*) 70%. При решении используйте правило Н.С. Курнакова, см. данные таблиц 2.1.3, 2.2.11, 2.2.13.
- № . 1.4.61*. Вкладыши подшипников скольжения наплавляют сплавом системы Pb—Sb, содержащим 35% Pb. При нарушении условий смазки наплавленный слой вкладыша оплавился наполовину. До какой температуры нагрелся вкладыш при работе? Какова структура сохранившегося наплавленного металла? При решении используйте данные таблиц 2.2.10, 2.2.13.
- № 1.4.62*—№ 1.4.66*. Для пайки радиоаппаратуры необходим оловянноцинковый припой ПОЦ (система Zn—Sn) с заданным удельным электросопротивлением. Определите состав сплава с требуемыми свойствами при комнатной температуре. № 1.4.62*) $20 \cdot 10^{-8}$ Ом·м; № 1.4.63*) $17 \cdot 10^{-8}$ Ом·м; № 1.4.64*) $15 \cdot 10^{-8}$ Ом·м; № 1.4.65*) $14 \cdot 10^{-8}$ Ом·м; № 1.4.66*) $12 \cdot 10^{-8}$ Ом·м. При решении используйте правило Н.С. Курнакова, см. данные таблиц 2.1.3, 2.2.11, 2.2.13.
- № 1.4.67*—1.4.71*. В химическом машиностроении для изготовления кислотостойкой аппаратуры применяются сплавы гартблей системы Pb—Sb. Выберите состав сплава, имеющего заданную твёрдость HB (кгс/мм²)при комнатной температуре. № 1.4.67*) HB30; № 1.4.68*) HB25; № 1.4.69*) HB20; № 1.4.70*) HB15; № 1.4.71*) HB10; При решении используйте правило H.C. Курнакова, см. данные таблиц 2.1.3, 2.2.11, 2.2.13.

- № 1.4.72*—1.4.76*. В химическом машиностроении для изготовления кислотостойкой аппаратуры применяются сплавы гартблей системы Pb—Sb. Выберите состав сплава, имеющего заданное относительное сужение при комнатной температуре. № 1.4.72*) 90%; № 1.4.73*) 70%; № 1.4.74*) 50%; № 1.4.75*) 30%; № 1.4.76*) 10%; При решении используйте правило Н.С. Курнакова, см. данные таблиц 2.1.3, 2.2.9, 2.2.11, 2.2.13.
- № 1.4.77–№ 1.4.80. Определите состав эвтектики системы: № 1.4.77) Pb Sb; № 1.4.78) Sn Pb; № 1.4.79) Zn Sn; № 1.4.80) Al Si. Исходные данные для решения задачи в таблице 2.2.9, 2.2.13.

1.5. Диаграмма состояния «железо-цементит», структурно-фазовый анализ железоуглеродистых сплавов

Теория [1-7].

- №. **1.5.1.** Укажите линии ликвидус, солидус и сольвус диаграммы состояния «Fe–Fe₃C». При решении используйте данные таблиц 2.3.1, 2.3.2.
- № 1.5.2. Укажите линии полиморфного превращения диаграммы состояния «Fe–Fe₃C». При решении используйте данные таблиц 2.3.1, 2.3.2.
- № 1.5.3. Цементит является одной из фаз Fe—C сплавов. Различают первичный, вторичный и третичный цементит. Чем отличаются друг от друга разные виды цементита, что у них общего? В каких сплавах каждый из них присутствует? При решении используйте данные таблиц 2.3.1, 2.3.4.
- № 1.5.4. Запишите эвтектическую и эвтектоидную реакции в железоуглеродистых сплавов. В чем их общность и отличие? Как называются сплавы с эвтектоидным и эвтектическим превращением? При решении используйте данные таблиц 2.3.1, 2.3.3.
- № 1.5.5-№ 1.5.8. По диаграмме состояния «Fe-Fe₃C» определите критические точки сплава, содержащего углерода: № 1.5.5) 0,5%; № 1.5.6) 1,5%; № 1.5.7) 3%; № 1.5.8) 5%. Охарактеризуйте фазовые превращения, происходящие в сплаве при его охлаждении из жидкого состояния до комнатной температуры. Как называется сплав данного состава? При решении используйте данные таблиц 2.3.1, 2.3.2.

- № 1.5.9–№ 1.5.16. Определите фазовый состав при эвтектической температуре Fe—C сплава, содержащего заданное количество углерода. № 1.5.9) 2,5%; № 1.5.10) 3%; № 1.5.11) 3,5%; № 1.5.12) 4,3%; № 1.5.13) 5%; № 1.5.14) 5,5%; № 1.5.15) 6%; № 1.5.16) 6,5%; Как называется сплав данного состава? При решении используйте данные таблиц 2.3.1, 2.3.6.
- № 1.5.17—№ 1.5.24. Определите структурный состав при эвтектической температуре Fe—C сплава, содержащего заданное количество углерода. № 1.5.17) 2,5%; № 1.5.18) 3%; № 1.5.19) 3,5%; № 1.5.20) 4,3%; № 1.5.21) 5%; № 1.5.22) 5,5%; № 1.5.23) 6%; № 1.5.24) 6,5%; Как называется сплав данного состава? При решении используйте данные таблиц 2.3.1, 2.3.6.
- № **1.5.25***. Какое минимальное количества перлита при комнатной температуре содержит заэвтектоидная сталь? При решении используйте данные таблиц 2.3.1, 2.3.5, 2.3.6.
- № **1.5.26***. Какое количество перлита при комнатной температуре содержит эвтектический Fe—C сплав? При решении используйте данные таблиц 2.3.1, 2.3.5, 2.3.6.
- № 1.5.27*—№ 1.5.29*. Сколько углерода при комнатной температуре содержит доэвтектоидный Fe—C сплав, если перлита в нем: № 1.5.27*) 20%; № 1.5.28*) 60%; № 1.5.29*) 80%? При решении используйте данные таблиц 2.3.1,2.35,2.3.6.
- № 1.5.30—№ 1.5.32. Сколько феррита при комнатной температуре содержит доэвтектоидный Fe—C сплав, если углерода в нем: № 1.5.30) 0,2%; № 1.5.31) 0,5%; № 1.5.32) 0,75%? При решении используйте данные таблиц 2.3.1,2.3.5,2.3.6.
- № 1.5.33—№ 1.5.35. Сколько углерода при комнатной температуре содержит заэвтектоидный Fe—C сплав, если перлита в нем: № 1.5.33) 90%; № 1.5.34) 85%; № 1.5.35) 80%? При решении используйте данные таблиц 2.3.1, 2.3.5, 2.3.6.
- № 1.5.36—№ 1.5.38. Сколько цементита при комнатной температуре содержит заэвтектоидный Fe—C сплав, если углерода в нем: № 1.5.36) 1%; № 1.5.37) 1,5%; № 1.5.38) 2%? При решении используйте данные таблиц 2.3.1, 2.3.5, 2.3.6.
- № 1.5.39—№ 1.5.44. Сколько перлита при температуре эвтектоидного превращения содержит Fe—C сплав, если углерода в нем: № 1.5.39) 0,2%; № 1.5.40) 0,5%; № 1.5.41) 1%; № 1.5.42) 1,5%; № 1.5.43*) 4%; № 1.5.44*) 5%? При решении используйте данные таблиц 2.3.1, 2.3.5, 2.3.6.
- № 1.5.45*—№ 1.5.50*. Сколько ледебурита при эвтектической температуре содержит Fe—С сплав, если углерода в нем: № 1.5.45*) 2,5%; № 1.5.46*) 3%; № 1.5.47*) 4%; № 1.5.48*) 5%; № 1.5.49*) 5,5%; № 1.5.50*) 6%? При решении используйте данные таблиц 2.3.1, 2.3.5, 2.3.6.

- № 1.5.51—№ 1.5.55. Определите твёрдость по Бринеллю доэвтектоидного Fe—C сплава, содержащего заданное количество углерода: № 1.5.51) 0,15%; № 1.5.52) 0,3%; № 1.5.53) 0,45%; № 1.5.54) 0,6%; № 1.5.55) 0,75%. При решении используйте правило H.C.Курнакова, см. данные таблиц 2.3.1, 2.3.7.
- № 1.5.56—№ 1.5.60. Определите предел прочности доэвтектоидного Fe—С сплава, содержащего заданное количество углерода: № 1.5.56) 0,15%; № 1.5.57) 0,3%; № 1.5.58) 0,45%; № 1.5.59) 0,6%; № 1.5.60) 0,75%. При решении используйте правило Н.С.Курнакова, см. данные таблиц 2.3.1, 2.3.7.
- № 1.5.61—№ 1.5.65. Определите относительное удлинение доэвтектоидного Fe—C сплава, содержащего заданное количество углерода: № 1.5.61) 0,15%; № 1.5.62) 0,3%; № 1.5.63) 0,45%; № 1.5.64) 0,6%; № 1.5.65) 0,75%. При решении используйте правило H.C.Курнакова, см. данные таблиц 2.3.1, 2.3.7.
- № 1.5.66—№ 1.5.70. Определите относительное сужение доэвтектоидного Fe—C сплава, содержащего заданное количество углерода: № 1.5.66) 0,15%; № 1.5.67) 0,3%; № 1.5.68) 0,45%; № 1.5.69) 0,6%; № 1.5.70) 0,75%. При решении используйте правило Н.С.Курнакова, см. данные таблиц 2.3.1, 2.3.7.
- № 1.5.71*—№ 1.5.75*. Определите твёрдость по Бринеллю доэвтектоидной стали, если структура стали содержит перлита: № 1.5.71*) 10%; № 1.5.72*) 25%; № 1.5.73*) 50%; № 1.5.74*) 75%; № 1.5.75*) 90%. При решении используйте данные таблиц 2.3.1, 2.3.6, 2.3.7.
- № **1.5.76***-№ **1.5.80***. Определите предел прочности доэвтектоидной стали, если структура стали содержит перлита: № **1.5.76***) 10%; № **1.5.77***) 25%; № **1.5.78***) 50%; № **1.5.79***) 75%; № **1.5.80***) 90%. При решении используйте данные таблиц 2.3.1, 2.3.6, 2.3.7.
- № 1.5.81*—№ 1.5.85*. Определите относительное удлинение доэвтектоидной стали, если структура стали содержит перлита: № 1.5.81*) 10%; № 1.5.82*) 25%; № 1.5.83*) 50%; № 1.5.84*) 75%; № 1.5.85*) 90%. При решении используйте данные таблиц 2.3.1, 2.3.6, 2.3.7.
- № 1.5.86*—№ 1.5.90*. Определите относительное сужение доэвтектоидной стали, если структура стали содержит перлита: № 1.5.86*) 10%; № 1.5.87*) 25%; № 1.5.88*) 50%; № 1.5.89*) 75%; № 1.5.90*) 90%. При решении используйте данные таблиц 2.3.1, 2.3.6, 2.3.7.
- № 1.5.91—№ 1.5.95. Определение содержание углерода в доэвтектоидном Fe—C сплаве, имеющем заданную твёрдость НВ МПа. № 1.5.91) 1000; № 1.5.92) 1200; № 1.5.93) 1400; № 1.5.94) 1600; № 1.5.95) 1800. При решении используйте правило Н.С.Курнакова, см. данные таблиц 2.3.1, 2.3.7.

- № 1.5.96—№ 1.5.100. Определение содержание углерода в доэвтектоидном Fe—C сплаве, имеющем заданный предел прочности σ_B МПа. № 1.5.96) 300; № 1.5.97) 500; № 1.5.98) 650; № 1.5.99) 700; № 1.5.100) 800. При решении используйте правило Н.С.Курнакова, см. данные таблиц 2.3.1, 2.3.7.
- № 1.5.101—№ 1.5.105. Определение содержание углерода в доэвтектоидном Fe—С сплаве, имеющем заданное относительное удлинение 8 %. № 1.5.101) 45; № 1.5.102) 35; № 1.5.103) 30; № 1.5.104) 25; № 1.5.105) 20. При решении используйте правило Н.С.Курнакова, см. данные таблиц 2.3.1, 2.3.7.
- № 1.5.106—№ 1.5.110. Определение содержание углерода в доэвтектоидном Fe—С сплаве, имеющем заданное относительное сужение ψ %. № 1.5.106) 60; № 1.5.107) 50; № 1.5.108) 45; № 1.5.109) 35; № 1.5.110) 30. При решении используйте правило Н.С.Курнакова, см. данные таблиц 2.3.1, 2.3.7.

1.6. Маркировка, применение конструкционных и инструментальных сплавов

Теория [1-7, 13,15, 16, 20, 21].

- № 1.6.1—№ 1.6.3. Опираясь на марочное обозначение углеродистых сталей, укажите содержание в них углерода и вредных примесей. Охарактеризуйте также применение каждой стали. Марки сталей: № 1.6.1) Ст3кп, 20, 65, У12; № 1.6.2) Ст4пс, 30, 70, У8А; № 1.6.3) Ст6сп, 45, 75, У13. При решении используйте данные таблиц 2.4.2, 2.4.4.
- № 1.6.4—№ 1.6.9. Опираясь на марочное обозначение легированных сталей, укажите содержание в них углерода, легирующих элементов, вредных примесей. Охарактеризуйте также применение каждой стали. Марки сталей: № 1.6.4) 40X, 55C2, 12MX, 09Г2; № 1.6.5) 40XH, 60C2A, 12X1MФ, 14Г2; № 1.6.6) 30XГСА, 60C3A, 20X1M1Ф1ТР, 17ГС; № 1.6.7) 30XГС-Ш, 60C2Г, 25XМФ, 16ГС; № 1.6.8) 40XMA, 60Г, 25X2М1Ф, 09Г2С; № 1.6.9) 45X, 70Г, 18X3MB, 10Г2С1. При решении используйте данные таблиц 2.4.2, 2.4.4.
- № 1.6.10–№ 1.6.12. Опираясь на марочное обозначение легированных сталей, укажите содержание в них углерода и легирующих элементов. Охарактеризуйте также применение каждой стали. Марки сталей: № 1.6.10) X12M, 7X3, P18; № 1.6.11) XBГ, 4XС, P9; № 1.6.12) X, 5XHM, P6M5. При решении используйте данные таблиц 2.4.2, 2.4.5.
- № 1.6.13—№ 1.6.15. Опираясь на марочное обозначение специальных сталей и сплавов, укажите их примерный состав, а также применение. Марки сталей и сплавов: № 1.6.13) 40Х13, 40Х9С2, ХН60Ю; № 1.6.14) 65Х18, 40Х10С2М, ХН70Ю; № 1.6.15) 95Х18, 12Х18Н10Т, ХН78Т. При решении используйте данные таблиц 2.4.2, 2.4.4.

- № 1.6.16—№1.6.18. Опираясь на марочное обозначение сплавов меди, укажите их примерный состав, а также применение. Марки сплавов: № 1.6.16) Л90, БрОФ6,5-0,15, МН19; № 1.6.17) Л68, БрАМц9-2, МНЦ15-20; № 1.6.18) Л60, БрАЖН10-4-4, МНА13-3. При решении используйте данные таблиц 2.4.8, 2.4.9.
- № **1.6.19–№1.6.21.** Опираясь на марочное обозначение цветных сплавов, укажите их основу, а также применение. Марки сплавов: № **1.6.19**) АМг1, МА5, ВТ6; № **1.6.20**) Д16, МА11, ВТ14; № **1.6.21**) В95, МА14, ВТ22. При решении используйте данные таблиц 2.4.8, 2.4.9.
- № **1.6.22**—№ **1.6.24.** Опираясь на марочное обозначение литейных сплавов, укажите их состав или свойства. Марки сплавов: № **1.6.22**) 25Л, СЧ15, ЧС4МШ, МЛ5, ЛЦ40С; № **1.6.23**) 30Л, ВЧ45, МЛ8, ЧС5, ЛЦ38Мц2С2; № **1.6.24**) 45ФЛ, КЧ30-6, ЧХ22, МЛ10, ЛЦ30А3. При решении используйте данные таблиц 2.4.6, 2.4.10
- № 1.6.25–№ 1.6.27. Определите зарубежные аналоги (США, Германия, Япония) отечественных сталей марок: № 1.6.25) Ст3сп, 40, У7, 15ХМ, ШХ15, 12Х18Н9, 20ХМЛ; № 1.6.26) Ст4сп, 20, У8, 40Х, Х12М, 12Х18Н10Т, 20Х13Л; № 1.6.27) Ст5сп, 10, У10, 30ХМА, 95Х18, ХН32Т, 50Л. При решении используйте данные таблиц 2.4.4, 2.4.5, 2.4.12, 2.4.13.

1.7. Эксплуатационные свойства и маркировка специальных сплавов

Теория [1-7, 13, 15, 16].

- № 1.7.1. Какими эксплуатационными свойствами должны обладать проводниковые материалы? Приведите примеры маркировки проводниковых материалов. При решении используйте данные таблиц 2.5.1, 2.5.2.
- №. 1.7.2. Какими эксплуатационными свойствами должны обладать реостатные сплавы? Приведите примеры маркировки реостатных сплавов. При решении используйте данные таблиц 2.5.1, 2.5.2.
- № 1.7.3. Какими эксплуатационными свойствами должны обладать сплавы для нагревательных элементов? Приведите примеры маркировки сплавов для нагревательных элементов на основе Fe–Cr–Al и Cr–Ni. При решении используйте данные таблиц 2.5.1, 2.5.2.
- № 1.7.4—№ 1.7.6. Какими эксплуатационными свойствами должны обладать контактные материалы (материалы для электрических контактов)? Приведите примеры маркировки материалов для: № 1.7.4) разрывных контактов; № 1.7.5) скользящих контактов (токосъемники); № 1.7.6) неподвижных контактов. При решении используйте данные таблиц 2.5.1, 2.5.2.

- № 1.7.7, № 1.7.8. Какими эксплуатационными свойствами должны обладать магнитомягкие сплавы? Приведите примеры маркировки: № 1.7.7) электротехнической стали; № 1.7.8) магнитомягких сплавов на основе никеля.
- № 1.7.9—№ 1.7.11. Какими эксплуатационными свойствами должны обладать магнитотвердые сплавы? Приведите примеры маркировки магнитотвердых сплавов: № 1.7.9) Fe–C; № 1.7.10) Fe–Ni–Al и Fe–Ni–Al–Co; № 1.7.11) Fe–Co–Cr. При решении используйте данные таблиц 2.5.1, 2.5.3.
- № 1.7.12, № 1.7.13. Какими эксплуатационными свойствами должны обладать сплавы для работы в условиях абразивного изнашивания? Приведите примеры маркировки сплавов: № 1.7.12) для абразивного изнашивания и безударных нагрузок; № 1.7.13) для абразивного изнашивания и ударных нагрузок. При решении используйте данные таблиц 2.5.1, 2.5.4.
- № 1.7.14—№ 1.7.17. Какими эксплуатационными свойствами должны обладать сплавы для деталей трибосопряжений? Приведите примеры маркировки: № 1.7.14) сплавов на основе железа для работы в условиях граничного трения; № 1.7.15) сплавов на основе меди для работы в условиях граничного трения; № 1.7.16) композиционных сплавов на основе железа и меди для работы в условиях недостаточной смазки; № 1.7.17) спеченных сплавов для работы при сухом трении. При решении используйте данные таблиц 2.5.1, 2.5.4.
- № 1.7.18—№ 1.7.20. Какими эксплуатационными свойствами должны обладать подшипниковые сплавы? Приведите примеры маркировки подшипниковых сплавов: № 1.7.18) на основе олова и свинца; № 1.7.19) на основе алюминия; № 1.7.20) на основе цинка. При решении используйте данные таблиц 2.5.1, 2.5.4. №№ 1.7.21-1.7.23. Какими эксплуатационными свойствами должны обладать сплавы для армирования режущих инструментов? Приведите примеры маркировки сплавов системы: 1.7.21) WC—Co; 1.7.22) WC—TiC—Co; 1.7.23) WC—TiC—TaC—Co. При решении используйте данные таблиц 2.5.1, 2.5.5.
- № 1.7.24—№ 1.7.27. Какими эксплуатационными свойствами должны обладать сплавы для паяных соединений (припои)? Приведите примеры маркировки и укажите применение припоев на основе: № 1.7.24) Sn+Pb; № 1.7.25) Sn+Zn; № 1.7.26) Cu+Zn; № 1.7.27) Ag. При решении используйте данные таблиц 2.5.1, 2.5.6.

1.8. Термическая и химико-термическая обработка сплавов Теория [1-7, 17].

№ 1.8.1-№ 1.8.3. Пружина изготовлена из стальной проволоки (сталь марки 60). Разработать технологию и режим упрочняющей термической обработки

- пружины, если диаметр проволоки равен: № **1.8.1**) 5 мм; № **1.8.2**) 8 мм; № **1.8.3**) 10 мм. Укажите оборудование, необходимое для выполнения термической обработки. При решении используйте данные таблиц 2.6.7, 2.6.12.
- № 1.8.4—№1.8.6. Пружина изготовлена из стальной проволоки (сталь марки У10). Разработать технологию и режим упрочняющей термической обработки пружины, если диаметр проволоки равен: № 1.8.4) 6 мм; № 1.8.5) 9 мм; № 1.8.6) 12 мм. Укажите оборудование, необходимое для выполнения термической обработки. При решении используйте данные таблиц 2.6.7, 2.6.12.
- № 1.8.7—№ 1.8.9. Сверло изготовлено из стального прутка (сталь марки У12). Разработать технологию и режим упрочняющей термической обработки сверла, если диаметр сверла равен: № 1.8.7) 8 мм; № 1.8.8) 10 мм; № 1.8.9) 12 мм. Укажите оборудование, необходимое для выполнения термической обработки. При решении используйте данные таблиц 2.6.7, 2.6.12.
- № 1.8.10—№ 1.8.12. Вал изготовлен из стального проката (сталь марки 45). Разработать технологию и режим упрочняющей термической обработки вала, если диаметр вала равен: № 1.8.10) 15 мм; № 1.8.11) 20 мм; № 1.8.12) 25 мм. Укажите оборудование, необходимое для выполнения термической обработки. При решении используйте данные таблиц 2.6.7, 2.6.12.
- № 1.8.13 * . Разработать технологию термической обработки измерительного инструмента высокой точности из стали марки X. Поясните назначение отдельных операций упрочняющей обработки. При решении используйте данные таблиц 2.6.1, 2.6.7.
- № 1.8.14*. Разработать технологию термической обработки метчиков из стали марки Р6М5. Поясните назначение отдельных операций упрочняющей обработки. При решении используйте данные таблиц 2.6.1, 2.6.7.
- № 1.8.15 * . Разработать технологию термической обработки разверток из стали марки Р9М4К8. Поясните назначение отдельных операций упрочняющей обработки. При решении используйте данные таблиц 2.6.1, 2.6.7.
- № 1.8.16 * . Разработать технологию термический обработки штампа для холодного деформирования из стали марки X12M. Поясните назначение отдельных операций упрочняющей обработки. При решении используйте данные таблиц 2.6.1, 2.6.7.
- № 1.8.17*. Разработать технологию термический обработки штампа для горячего деформирования из стали марки 5ХНМ. Поясните назначение отдельных операций упрочняющей обработки.

- № 1.8.18 * . Разработать технологию термический обработки пуансона сложной формы для холодной прошивки фигурных отверстий в листовом материале. Материал пунсона сталь марки ХВГ. Поясните назначение отдельных операций упрочняющей обработки.
- № 1.8.19*. Разработать технологию термический обработки калибра высокой точности. Материал калибра сталь марки $X\Gamma$. Поясните назначение отдельных операций упрочняющей обработки.
- № 1.8.20*. Разработать технологию термический обработки измерительной скобы. Материал скобы сталь марки 15X. Поясните назначение отдельных операций упрочняющей обработки.
- № 1.8.21*. Разработать технологию термический обработки плунжеров поршневого насоса. Материал плунжера сталь марки ШХ15. Поясните назначение отдельных операций упрочняющей обработки.
- № 1.8.22*. Разработать технологию термический обработки пружины, для работы в коррозионной среде. Материал пружины сталь марки 40X13. Поясните назначение отдельных операций упрочняющей обработки.
- № 1.8.23*. Разработать технологию термический обработки лопаток газовой турбины. Материал лопаток никелевый сплав марки ХН77ТЮР. Поясните назначение отдельных операций обработки.
- № 1.8.24*. Разработать технологию термический обработки дисков газовой турбины. Материал дисков железоникелевый сплав марки XH35BT. Поясните назначение отдельных операций обработки.
- № 1.8.25*. Разработать технологию термический обработки деталей котельной установки из стали марки 40X9C2 (сильхром). Поясните назначение отдельных операций упрочняющей обработки. При решении используйте данные таблиц 2.6.1, 2.6.7.
- № 1.8.26.—№ 1.8.29. Разработать технологию термической обработки изделий из алюминиевых сплавов марок: № 1.8.26) Д16 (дуралюмин); № 1.8.27) АК6 (ковочный); № 1.8.28) В95 (высокопрочный); № 1.8.29) АВ (авиаль). Поясните назначение отдельных операций термической обработки изделий. При решении используйте данные таблиц 2.6.1, 2.6.7.

- № **1.8.30.** Разработать технологию термической обработки изделий из бронзы марки БрБ2. Поясните назначение отдельных операций термической обработки изделий. При решении используйте данные таблиц 2.6.1, 2.6.7.
- № 1.8.31, № 1.8.32. Разработать технологию термической обработки изделий из магниевых сплавов марок: № 1.8.31) МА11; № 1.8.32) МЛ5. Поясните цель проведения термической обработки изделий. При решении используйте данные таблиц 2.6.1, 2.6.7.
- № 1.8.33. Разработать технологию термической обработки изделий из титанового сплава марки BT5. Поясните цель проведения термической обработки изделий. При решении используйте данные таблиц 2.6.1, 2.6.7.
- № 1.8.34. Разработать технологию термической обработки изделий из титанового сплава марки ВТ9. Поясните цель проведения термической обработки изделий. При решении используйте данные таблиц 2.6.1, 2.6.7.
- № 1.8.35. Разработать технологию упрочняющей обработки изделий из титанового сплава для повышения износостойкости их поверхности. Поясните назначение отдельных операций упрочняющей обработки изделий. При решении используйте данные таблиц 2.6.1, 2.6.7.
- № 1.8.36*. Поршневые пальцы двигателя внутреннего сгорания работают в условиях динамического нагружения и интенсивного изнашивания поверхности изготовлены из стали 20. Предложите рациональную технологию упрочняющей обработки поршневых пальцев. При решении используйте данные таблиц 2.6.1, 2.6.7.
- № 1.8.37*. Шнек экструдера для переработки полиэтилена изготовлен из стали марки 38Х2МЮА (нитраллой). Разработать рациональную технологию упрочняющей обработки шнека экструдера. При решении используйте данные таблиц 2.6.1, 2.6.7.
- № 1.8.38*—№ 1.8.44*. Определите критический диаметр вала, изготовленного из стали марок: № 1.8.38*) 40; № 1.8.39*) 50; № 1.8.40*) 40X; № 1.8.41*) 50X; № 1.8.42*) 50Г; № 1.8.43*) 40X2H2MA; № 1.8.44*) 50XH. При решении используйте данные таблиц 2.6.1, 2.6.9—2.6.11.
- № 1.8.45*—№ 1.8.47*. Подберите марку улучшаемой стали для изготовления вала, обеспечивающую ему сквозную прокаливаемость, если диаметр вала равен: № 1.8.45*) 20 мм; № 1.8.46*) 50 мм; № 1.8.47*) 80 мм. При выборе марки рассмотрите стали, представленные в таблице 2.6.10. При решении используйте также данные таблиц 2.6.1, 2.6.9–2.6.11.

- № **1.8.48**—№ **1.8.50.** Выбрать марку стали с минимальным содержанием углерода, обеспечивающую после закалки поверхностную твердость изделия на уровне: № **1.8.48**) HRC 40; № **1.8.49**) HRC 50; **1.8.50**) HRC 60. При решении используйте данные таблиц 2.6.1, 2.6.8.
- № 1.8.51–№ 1.8.53. Какую максимальную твердость после закалки может иметь изделие из стали марки: № 1.8.51) У7; № 1.8.52) У8) №. 1.8.53) У10? При решении используйте данные таблиц 2.6.1, 2.6.8.

1.9. Расчеты технических сплавов

Теория [1-7, 15, 16, 18, 19].

- № 1.9.1—№ 1.9.3. Опираясь на марочное обозначение углеродистых сталей, оцените их предел прочности в состоянии поставки. Марки сталей: № 1.9.1) Ст3сп, 20; № 1.9.2) Ст4сп, 40; № 1.9.3) Ст5сп, 35. При решении используйте данные таблицы 2.7.1.
- № **1.9.4**—№ **1.9.6.** Опираясь на марочное обозначение углеродистых сталей, оцените их предел текучести в состоянии поставки. Марки сталей: № **1.9.4**) Ст3сп, 20; № **1.9.5**) Ст4сп, 30; № **1.9.6**) Ст5сп, 35. При решении используйте данные таблицы 2.7.1.
- № 1.9.7—№ 1.9.9. Опираясь на марочное обозначение углеродистых сталей, оцените их относительное удлинение в состоянии поставки. Марки сталей: № 1.9.7) Ст4сп, 30; № 1.9.8) Ст5сп, 35; № 1.9.9) Ст3сп, 20. При решении используйте данные таблицы 2.7.1.
- № 1.9.10—№ 1.9.12. Для изготовления ёмкости холодной штамповкой необходима сталь с относительным удлинением в состоянии постаки (%):№ 1.9.10) 20; № 1.9.11) 25; № 1.9.12) 30. Выберите марку углеродистой стали, обеспечивающей требуемое условие. Поясните, требуется ли дополнительная термическая обработка готового изделия. При решении используйте данные таблицы 2.7.2.
- № 1.9.13—№ 1.9.15. Для изготовления вала необходима сталь, имеющая в состоянии поставки предел текучести (кгс/мм²): №1.9.13) 30; № 1.9.14) 35; № 1.9.15) 40. Выберите марку углеродистой стали, обеспечивающей требуемое условие. Поясните, требуется ли дополнительная термическая обработка готового изделия. При решении используйте данные таблицы 2.7.2.

- № 1.9.16—№ 1.9.19. Для изготовления тяги необходима сталь, имеющая в состоянии поставки предел прочности (кгс/мм²): № 1.9.16) 40; № 1.9.17) 50; № 1.9.18) 60; № 1.9.19) 65. Выберите марку углеродистой стали, обеспечивающей требуемое условие. Поясните, требуется ли дополнительная термическая обработка готового изделия. При решении используйте данные таблицы 2.7.2.
- № 1.9.20—№ 1.9.22. Для изготовления U-образного трубного пучка теплообменника необходима стальная труба, имеющая в состоянии поставки относительное сужение: № 1.9.20) 45%; № 1.9.21) 50%; № 1.9.22) 55%. Выберите марку углеродистой стали, обеспечивающей требуемое условие. Поясните, требуется ли дополнительная термическая обработка готового изделия. При решении используйте данные таблицы 2.7.2.
- № 1.9.23*. Определите эквивалент цинка (Zn_{3}) латуни ЛЦ33A6Ж3Мц2 (Zn=33%, Al=6%, Fe=3%, Mn=2%, Cu-остальное). Запишите структурную формулу данного сплава. При решении используйте данные таблицы 2.7.3.
- № 1.9.24 * . Определите эквивалент цинка (Zn₃) латуни ЛАЖ60-1-1 (Cu=60%, Al=1%, Fe=1%, Zn-остальное). Запишите структурную формулу данного сплава. При решении используйте данные таблицы 2.7.3.
- № 1.9.25*—№ 1.9.27*. Сравните стоимость проката одного размера из сталей: № 1.9.25*) 20, 20X, 20X13; № 1.9.26*) 40X, 40XA, 40X13; № 1.9.27*) 20X2, 20XMA, 20XГТ. При решении задачи необходимо учитывать легирование и группу качества стали. Содержание Мо и Ті в сталях следует принять в соответствии с ГОСТ4543. При решении используйте данные таблицы 2.7.4.
- № 1.9.28—№ 1.9.30. При рабочих температурах стального изделия выше 550°С и наличии химически активной среды следует применять жаростойкие стали. Жаростойкость стали определяется в основном содержанием в ней хрома. Определите допустимую рабочую температуру хромистых сталей: № 1.9.28) 20X; № 1.9.29) 20X13; № 1.9.30) 20X28. При решении используйте данные таблицы 2.7.5.
- № 1.9.31—№ 1.9.33. При рабочих температурах стального изделия выше 550°С и наличии химически активной среды следует применять жаростойкие стали. Жаростойкость стали определяется в основном содержанием в ней хрома. Определите марку хромистой стали для рабочей температуры: № 1.9.31) 550°С; № 1.9.32) 800°С; № 1.9.33) 1000°С. При решении используйте данные таблицы 2.7.5.
- № 1.9.34*-№ 1.9.37*. Определите структурный класс высоколегированных сталей, опираясь на эквиваленты Cr_{3KB} и Ni_{3KB} : № 1.9.34*) 12X17; № 1.9.35*)

- 07X17; № **1.9.36***) 12X21H5T; № **1.9.37***) 12X18H10T. При расчете $Cr_{_{3KB}}$ и $Ni_{_{3KB}}$ опирайтесь на марочное обозначение стали. При решении используйте диаграмму Шеффлера, см. таблицу 2.7.6.
- № 1.9.38*. Учитывая аустенитообразующую способность марганца, рассчитайте состав Cr–Ni–Mn стали, структурно эквивалентной стали 12X18H10. Содержание никеля в Cr–Ni–Mn стали принять равным 4%. Сравните стоимость сталей 12X18H10 и Cr–Ni–Mn стали. При решении используйте данные таблицы 2.7.6.
- № 1.9.39*—№ 1.9.41*. Определите структурную принадлежность серого чугуна заданного состава (C, Si, Mn, P, S) и оцените его предел прочности. Состав чугуна (%): № 1.9.39*) 3,6; 2,4; 0,65; 0,3; 0,15; № 1.9.40*) 3,4; 1,9; 0,85; 0,2; 0,15; № 1.9.41*) 3,0; 1,4; 0,9; 0,2; 0,12. При решении используйте данные таблицы 2.7.7.
- № 1.9.42*—№ 1.9.44*. Определите структурную принадлежность серого чугуна заданного состава (C, Si, Mn, P, S) и оцените его твёрдость НВ. Состав чугуна (%): № 1.9.42*) 3,5; 2,3; 0,60; 0,35; 0,2; № 1.9.43*) 3,6; 2,4; 0,85; 0,2; 0,15; № 1.9.44*) 3,1; 1,5; 0,9; 0,25; 0,15. При решении используйте данные таблицы 2.7.7. № 1.9.45—№ 1.9.47. Оцените склонность к растрескиванию при термической обработке сварных конструкций из стали: № 1.9.45) Ст3сп; № 1.9.46) 15ХМ; № 1.9.47) 30ХГСА. Состав сталей уточните по соответствующему ГОСТу. При решении используйте критерии Накамуры и Ито, см. таблицу 2.7.8.
- № **1.9.48**–№ **1.9.50.** Сравните свариваемость сталей марок: № **1.9.48**) 20, 20X; 20X13; № **1.9.49**) Ст3сп, Ст4сп, Ст6сп; № **1.9.50**) 15; 15XM; 15XГТ. Состав сталей уточните по соответствующему ГОСТу. При решении используйте эквивалент углерода, см. таблицу 2.7.8.
- № 1.9.51*—№ 1.9.53*. Определите требуемую температуру подогрева при сварке трубы с толщиной стенки 5 мм из стали: № 1.9.51*) 12ХМ; № 1.9.52*) 22К; № 1.9.53*) Ст5сп. Состав сталей уточните по соответствующему ГОСТу. При решении используйте методику Сефериана, см. таблицу 2.7.9.
- № 1.9.54 * –№1.9.56 * . Определите требуемую температуру подогрева при сварке листа толщиной стенки 7 мм из стали: 1.9.54 *) 15ХМ; 1.9.55 *) 20; 1.9.56 *) Ст4сп. Состав сталей уточните по соответствующему ГОСТу. При решении используйте методику Сефериана, см. таблицу 2.7.9.
- № 1.9.57–№ 1.9.59. Выполнена сварка образцов из стали 15Х1М1Ф. Температура подогрева при сварке 150-220°С. После сварки выполнен отпуск сварного соединения при температуре 550°С. Определить твердость металла

- околошовной зоны, если продолжительность отпуска сварного соединения составила: № **1.9.57**) 1 час; № **1.9.58**) 2 часа; № **1.9.59**) 3 часа. При решении используйте параметр Холомона, см. таблицу 2.7.10.
- № 1.9.60*—№ 1.9.62*. Выполнена сварка образцов из стали 15Х1М1Ф. Температура подогрева при сварке 150-220°С. После сварки выполнен отпуск сварного соединения при температуре 550°С. Как изменится твердость металла околошовной зоны, если продолжительность отпуска увеличить с 2 часов до: № 1.9.60*) 5 часов; № 1.9.61*) 10 часов; № 1.9.62*) 15 часов. При решении используйте параметр Холомона, см. таблицу 2.7.10.
- № 1.9.63*. Выполнена сварка с подогревом образцов из стали 15Х1М1Ф. После сварки выполнен отпуск сварного соединения при температуре 650°С продолжительностью 6 часов. Как изменится твердость металла околошовной зоны, если температуру подогрева со 150°С увеличить до 300°С? При решении используйте параметр Холомона, см. таблицу 2.7.10.
- № 1.9.64—№ 1.9.67. Выбрать марку конструкционной стали, обеспечивающей несущую способность изделию при прочности на уровне σ_B =80 кгс/мм², для изделия заданного диаметра: № 1.9.64) 50 мм; № 1.9.65) 70 мм; № 1.9.66) 90 мм; № 1.9.67) 100 мм. Предложите несколько вариантов решения. При решении используйте данные таблицы 2.7.11.
- № 1.9.68—№ 1.9.72. Силовая деталь имеет диаметр 60 мм. Выбрать марку конструкционной стали, обеспечивающей этой детали несущую способность при прочности (σ_B , кгс/мм²) на заданном уровне: № 1.9.68) 70; № 1.9.69) 75; № 1.9.70) 80; № 1.9.71) 85; № 1.9.72) 90. Предложите несколько вариантов решения. При решении используйте данные таблицы 2.7.11.
- № 1.9.73—№ 1.9.79. Определить уровень прочности при сохранении несущей способности изделия диаметром 80 мм из стали заданной марки: № 1.9.73) 30; № 1.9.74) 35СГ; № 1.9.75) 35ХА; № 1.9.76) 30НЗ; № 1.9.77) 33ХСА; № 1.9.78) 34ХМА; № 1.9.79) 30ХНЗ. При решении используйте данные таблицы 2.7.11.
- № 1.9.80–№ 1.9.86. Определить максимальный диаметр изделия при сохранении несущей при уровне прочности $\sigma_B=85$ кгс/мм² из стали заданной марки: № 1.9.80) 30; № 1.9.81) 35СГ; № 1.9.82) 35ХА; № 1.9.83) 30НЗ; № 1.9.84) 33ХСА; № 1.9.85) 34ХМА; № 1.9.86) 30ХНЗ. При решении используйте данные таблицы 2.7.11.
- № **1.9.87**–№ **1.9.89.** Расположите инструментальные сплавы по возрастанию теплостойкости: № **1.9.87**) Р18; ВКЗ; У7; ХВГ. № **1.8.88**) Т30К4; 9ХВГ; Р9; У9.

№ **1.9.89**) У12; ТТ7К12; 6ХС; Р6М5. При решении используйте данные таблицы 2.7.12.

2. Справочные материалы

2.1. Общие сведения о материалах и их свойствах

Металлические материалы являются основными производственными материалами для машино- и приборостроения. Из 110 известных химических элементов (2000 г.) металлами являются более 80 элементов. По объему применения можно составить следующий ряд металлов (в порядке убывания): Fe (90%), Al (4%), Mg (1,5%), Cu (1%), Zn (1%) и остальные металлы в сумме \approx 2,5%. В чистом виде в технике нашли применение алюминий и медь. Остальные металлы применяются в виде сплавов двух и более компонентов. Компонентами сплавов могут быть как металлы так и неметаллы.

Таблица 2.1.1. Типы кристаллических решеток некоторых металлов

| Название, хим. символ | A_r^1 (№ в ПС 2 ; атомный радиус, пм) | Кристаллические модификации ³ (параметры элемент. ячейки, пм) | Температура существования кристаллической модификации, °С |
|--------------------------|--|--|---|
| Алюминий, Al | 27 (13; 143,1) | K12 (a=404,959) | до 660 |
| Барий, Ва | 137 (56; 217,3) | K8 (a=502,5) | до 729 |
| Бериллий, Ве | 9 (4; 113,3) | Γ12 (a=228,55; | до 1250 |
| | | c=358,32) | |
| | | K8 (a=255,15) | 12501278 |
| Ванадий, V | 51 (23; 132,1) | K8 (a=302,40) | до 1887 |
| Висмут, Ві | 209 (83; 155) | Ромб. (а=454,95; | до 271 |
| | | c=1186,22) | |
| Вольфрам, W | 184 (74; 137,0) | K8 (a=316,522) | до 3410 |

| Название, | A_r^1 | Кристаллические | Температура |
|--------------|----------------------------------|------------------------------------|-----------------|
| хим. символ | , | модификации ³ | существования |
| | (№ B ΠC ² ; | (параметры | кристаллической |
| | атомный | элемент. ячейки, | модификации, °С |
| | радиус, пм) | пм) | |
| | 56 (26; | K8 (a=286,645) | до 911 |
| Железо, Fe | $Fe_{\alpha} \rightarrow 124,1)$ | K12 (a=364,68) | 9111392 |
| | | K8 (a=293,22) | 13921539 |
| Кадмий, Cd | 112 (48; 148,9) | Γ12 (a=297,94; | до 321 |
| | | c=561,86) | 200 |
| Кальций, Са | 40 (20 107.0) | K8 (a=558,84) | до 300 |
| | 40 (20; 197,3) | K8 (a=448,0) | 300450 |
| | | Γ12 (a=397; c=649) | 450839 |
| | | K12 | до 477 |
| Кобальт, Со | 59 (27; 125,3) | (a=354,41) | 455 1420 |
| , | (| Γ12 | 4771430 |
| | | (a=250,7; c=406,9) | |
| Магний, Мд | 24 (12; 160) | Γ12 | до 651 |
| , , | . , , | (a=320,94; c=521,03) | 700 |
| | 25 (55; 124) | K8 (a=891,39) | до 700 |
| Марганец, Мп | | K8 (a=631,45) | 7001079 |
| 1 " | | K12 (a=386,3) | 11401079 |
| 1. | | K8 (a=308,1) | 11401244 |
| Медь, Си | 64 (29; 127,8) | K12 (a=361,47) | до 1083 |
| Молибден, Мо | 96 (42; 136,2) | K8 (a=314,7) | до 2617 |
| Никель, Ni | 59 (28; 124,6) | K12 (a=352,38) | до 1453 |
| Ниобий, Nb | 93 (41; 142,9) | K8 (a=329,86) | до 2450 |
| Олово, Sn | 119 (50; 140,5) | $Sn_{\alpha} \rightarrow A$ лмазн. | до 13 |
| | | (a=648,92) | |
| | | Sn _β →ОЦТ | 13-232 |
| | | (a=583,16; c=318,13) | |
| Свинец, Рь | 207 (82; 175) | K12 (a=495) | до 327 |
| Сурьма, Sb | 122 (51; 182) | Γ12 | |
| T. T. | 40 (22 444.0) | (a=336,9; c=533) | 002 |
| Титан, Ті | 48 (22; 144,8) | Γ12 | до 882 |
| | | (a=295,11; c=468,43) | 002 1660 |
| V C | 50 (04 104 0) | K8 (a=330,65) | 8821660 |
| Хром, Сг | 52 (24; 124,9) | * * | |
| 11 7 | (((20, 122.2) | (a=288,46) | 410 |
| Цинк, Zn | 66 (30; 133,2) | Γ6 | до 419 |
| | | (a=266,47; c=494,69) | |

| Название, хим. символ | A_r^1 (N_2 в ΠC^2 ; атомный радиус, ΠM) | Кристаллические модификации ³ (параметры элемент. ячейки, пм) | Температура существования кристаллической модификации, °С |
|--------------------------|---|--|---|
| Цирконий, Zr | 91 (40; 160) | Γ12 (a=323,21; c=514,77) | До 862 |
| | | K8 (a=361,6) | 8621852 |

Примечания: 1 A_r — относительная атомная масса; 2 ΠC — периодическая система элементов Д.И. Менделеева; 3 — наименование и характеристика кристаллических модификаций металла: K12 — кубическая гранецентрированная (число атомов на ячейку (базис) n=4; коэффициент компактности $\eta=74\%$; координационное число k=12); K8 — кубическая объемноцентрированная (n=2; $\eta=68\%$; k=8); p=68%; p=68%, p=68%,

Таблица 2.1.2. Физические свойства некоторых неметаллов

| 1 иолица 2.1.2. | The recent council of the remaining | | | |
|-----------------|-------------------------------------|------------|-------------------|----------------------|
| Название, | A_r^1 | t_{nn} , | $t_{\kappa un}$, | ρ , |
| хим. символ | (№ B ΠC ² ; | °C | °C | Γ/cm^3 |
| | атомный радиус, | | | (25°C) |
| | пм) | | | |
| Азот, N | 14 (7; 70) | -210 | -196 | $1,25\cdot10^{-3}$ |
| Водород, Н | 1 (1; 30) | -259 | -253 | $0,09 \cdot 10^{-3}$ |
| Кислород, О | 16 (8; 66) | -218 | -183 | $1,43\cdot10^{-3}$ |
| Кремний, Si | 28 (14; 117) | 1410 | 2355 | 2,33 |
| Cepa, S | 32 (16; 104) | 113 | 445 | 2,07 |
| Углерод, С | 12 (6; 77) | ≈3547 | 4828 | 3,51 (алмаз) |
| | | | | 2,26 (графит) |
| Фосфор, Р | 31 (15; 110) | 44 | 280 | 1,82 (белый); 2,2 |
| | | | | (красный); 2,69 |
| | | | | (черный) |

Примечания: 1 A_r — относительная атомная масса; 2 ΠC — периодическая система элементов Д.И. Менделеева. Ковалентный радиус указан в **пикометрах** 1 $\Pi M = 10^{-12} M$.

Таблица 2.1.3. Физико-механические свойства некоторых металлов

| Символ | t_{nn} , | ρ , | α_t , 10^{-6} | $\rho_{_{\mathfrak{I}\!\!\!/}}$, 10^{-8} | HB, | ψ, |
|--------|------------|-------------------|------------------------|---|---------|----|
| | °C | г/см ³ | 1/град | Ом·м | кгс/мм2 | % |
| Al | 660 | 2,7 | 23,1 | 2,65 | | |
| Ba | 729 | 3,6 | 18,1-21 | 50 | | |
| Be | 1551 | 1,8 | 11,5 | 4,0 | | |
| V | 1887 | 6,1 | 8,3 | 24,8 | | |
| Bi | 271 | 9,7 | 13,4 | 106,8 | | |
| W | 3410 | 19,3 | 4,6 | 5,65 | | |
| Fe | 1539 | 7,86 | 11,5 | 9,71 | | |
| Cd | 321 | 8,6 | 29,8 | 6,83 | | |
| Ca | 839 | 1,55 | 22 | 3,43 | | |
| Co | 1480 | 8,9 | 12,5 | 6,24 | | |
| Mg | 651 | 1,74 | 26,1 | 4,38 | | |
| Mn | 1244 | 7,44 | 22 | 185 | | |
| Cu | 1083 | 8,92 | 16,5 | 1,67 | | |
| Mo | 2617 | 10,22 | 5,43 | 5,2 | | |
| Ni | 1453 | 8,9 | 13,3 | 6,84 | | |
| Nb | 2450 | 8,57 | 7,2 | 12,5 | | |
| Sn | 232 | 7,29 | 46,6 | 11,0 | 5,0 | 90 |
| Pb | 327 | 11,3 | 28,1 | 21,2 | 3,5 | 95 |
| Sb | 631 | 6,69 | 8,5 | 39,0 | 32 | 0 |
| Ti | 1660 | 4,54 | 7,14 | 42,0 | | |
| Cr | 1850 | 7,14 | 6,2 | 12,7 | | |
| Zn | 419 | 7,14 | 25,0 | 5,9 | 33 | 0 |
| Zr | 1852 | 6,5 | 5,78 | 42,1 | | |

Примечания: $t_{\Pi \Pi}$ — температура плавления; ρ — плотность; α _t— коэффициент термического расширения; $\rho_{\Im \Pi}$ — удельное электрическое сопротивление.

Обращаем внимание. Значения физических свойств металлов указаны при комнатной температуре. Механические свойства указаны для металлов, которые рассматриваются в задачах (см. 1.4).

Таблица 2.1.4. Характеристики физико-химических свойств материалов

| Определяемые показатели свойств | Для каких материалов используется, характерные значения | | |
|--------------------------------------|--|--|--|
| Жаростойкость | | | |
| Скорость окисления (г/м 2 ·ч) или | Для материалов, работающих в химически | | |
| скорость роста оксидной пленки | активной среде при высоких температурах | | |

| Определяемые показатели свойств | Для каких материалов используется, |
|--|---|
| o P C | характерные значения |
| (мкм/ч). | (выше 500°C). |
| Допустимая рабочая температура, при | (====================================== |
| которой скорость окисления | |
| материала не превышает | |
| допускаемого значения. | |
| Коррозионная стойкость | |
| Скорость электрохимической | Для материалов, работающих в химически |
| коррозии ($\Gamma/M^2 \cdot \Psi$) или скорость | активной среде при наличии электролитов |
| изменения линейных размеров | на поверхности металлов и ее |
| образца (мкм/ч). | электрохимической неоднородности. |
| Степень изменения механических | |
| свойств материала под влияния среды. | |
| Плотность | |
| Масса единицы объема вещества, ρ | Значения р в г/см ³ : |
| [кг/м ³ ; г/см ³]. Максимальную | Fe – 7,8; Al-2,7; Cu-8,9; |
| плотность имеют материалы с | вода – 1; воздух – 0,00129 |
| ненаправленными металлическими | |
| связями. | |
| Температура плавления | |
| Температура фазового перехода | Значения t _{ПЛ} в °С (К) |
| Ж↔ТВ (жидкость↔твёрдое) | Fe – 1539 (1812); Al – 660 (933); |
| Для чистых компонентов фазовый | Cu – 1083 (1356); W – 3380 (3653); |
| переход происходит при постоянной | $H_2O - 0$ (273); $CO_2 - 205$ (68); |
| температуре $t_{\Pi J I}$. | водород — 259 (14); |
| Для сплавов фазовый переход | кислород 219 (54) |
| происходит в интервале температур | |
| ликвидус-солидус. | |
| Дипольный момент | |
| Электрический дипольный момент | Характеризует электрические свойства |
| векторная величина, модуль которой | системы заряженных частиц. |
| равен произведению величины q | |
| заряда на радиус-вектор l , | |
| проведенный от центра отрицательного заряда к | |
| положительного заряда к положительному : $\mu = q \cdot l$, Кл·м | |
| | |
| Удельное электрическое сопротивление 1 Ом·метр (Ом·м) равен удельному Проводники: рэл = 10⁻² Ом·м. рэл | |
| 1 Ом·метр (Ом·м) равен удельному | |
| электрическому сопротивлению вещества, при котором участок | возрастает с ростом температуры. Ag-1,6·10 ⁻⁸ ; Cu-1,8·10 ⁻⁸ ; Al-2,7·10 ⁻⁸ ; Fe-10·10 ⁻⁸ ; |
| (выполненный из этого вещества) | ; Сu-1,8·10 ; Ai-2,7·10 ; Fe-10·10 ; нихром-112·10 ⁻⁸ . |
| электрической цепи длиной 1 м и | Полупроводники: $\rho_{\ni \Pi} = 10^{-5} \dots 10^{8} \text{Ом·м.} \rho_{\ni \Pi}$ |
| площадью поперечного сечения 1 м ² | уменьшается с ростом температуры. Si- $1\cdot10^{\circ}$ |
| имеет сопротивление 1 Ом. | 3 ; Te-4,4·10 ⁻³ ; Se-10·10 ⁻³ ; Ge-460·10 ⁻³ . |
| | Диэлектрики: $\rho_{\rm ЭЛ} = \rho_{\rm ЭЛ} = 10^8 \dots 10^{16} \rm Om \cdot m$. |

| O-managarusa - managaran - mai anai ann | Пля может может по может и очетоя | | | | | |
|---|---|--|--|--|--|--|
| Определяемые показатели свойств | Для каких материалов используется, | | | | | |
| | характерные значения | | | | | |
| | характерные значения стекло -10^{11} ; слюда -10^{14} ; фарфор -10^{14} ; бумага -10^{15} ; эбонит -10^{16} . | | | | | |
| *7 | оумага-10-; эоонит-10 | | | | | |
| Удельная электрическая проводимость | | | | | | |
| 1 Сименс/метр (См/м) равен | Проводники: γ =10 ⁵ 10 ⁸ См/м | | | | | |
| удельной электрической | Полупроводники: $\gamma = 10^{-8} \dots 10^{5}$ См/м | | | | | |
| проводимости участка цепи, | Диэлектрики: $\gamma = 10^{-16} \dots 10^{-8}$ См/м | | | | | |
| имеющего удельное электрическое | | | | | | |
| сопротивление 1 Ом·м. | | | | | | |
| $\gamma = 1/\rho_{\rm ЭЛ}$ | | | | | | |
| Магнитная | я проницаемость | | | | | |
| Магнитная проницаемость, | Ферромагнетики – $\mu \approx 10^4 - 10^5$ | | | | | |
| физическая величина, | Пермаллой – 50000; | | | | | |
| характеризующая связь между | Ni – 300; Fe – 600 | | | | | |
| магнитной индукцией B и магнитным | Парамагнетики – μ≈1 | | | | | |
| полем H в веществе. | Al, Pt, воздух | | | | | |
| μ=B/H, | Диамагнетики – µ < 1: Сu, стекло | | | | | |
| безразмерная величина | | | | | | |
| | итивная сила | | | | | |
| Коэрцитивная сила $\mathbf{H}_{\mathbf{C}}\left(\mathbf{A}/\mathbf{M}\right)$ – | Магнитомягкие материалы (сердечники | | | | | |
| напряженность поля, которая должна | трансформаторов) | | | | | |
| быть приложена к образцу для того, | $H_C = 50 \div 100 \text{ A/M}$ | | | | | |
| чтобы его размагнитить. | Магнитотвердые материалы (постоянные | | | | | |
| | магниты) | | | | | |
| | H _C ≤ 560 кА/м | | | | | |
| | инейного расширения | | | | | |
| Коэффициент линейного | Значения α _t •10 ⁶ , 1/град | | | | | |
| расширения $α_t$ (1/град) | сталь – 11,3; медь – 16,7; алюм. сплав – 22,8; | | | | | |
| характеризует термическое | инвар (Н36) – 1,5; платинит (Н48) – 9,0; | | | | | |
| расширение образца единичной | суперинвар (Н31К6) – 1,0. | | | | | |
| длины при нагревании на 1 град | | | | | | |
| | проводность | | | | | |
| Теплопроводность λ (Вт/(м·К) | Значения λ, Вт/(м⋅К) | | | | | |
| представляет собой перенос тепловой | медь – 399; алюминий – 236; железо – 80; | | | | | |
| энергии в твердых телах, жидкостях и | стекло – 0,7; вода – 0,25; фторопласт-4 – | | | | | |
| газах при макроскопической | 0,24; воздух – 0,034 | | | | | |
| подвижности честиц | | | | | | |
| | я теплоемкость | | | | | |
| Удельная теплоемкость \mathcal{C} (Дж/кг·К) | Металлы имеют удельную теплоемкость в | | | | | |
| - количество энергии, поглощаемой | пределах 100-2000 Дж/(кг-К) | | | | | |
| единицей массы вещества при нагреве | Значения \mathcal{C} , Дж/(кг·К) | | | | | |
| на один градус. | Cu – 385; Fe – 465; Al – 896; | | | | | |
| | вода – 4190; воздух: c_P =1009; c_V =720 | | | | | |
| | | | | | | |

Таблица 2.1.5. Характеристики механических свойств материалов

| Габлица 2.1.5. Характеристики м | леханических свойств материалов | | | | |
|---|--|--|--|--|--|
| Определяемые показатели свойств | Использование показателей свойств в | | | | |
| | инженерной практике | | | | |
| Испытание на растяжение. | Оборудование: разрывная машина. | | | | |
| 1. Физический предел текучести | | | | | |
| $\sigma_T = P_T/F_0$, МПа; кгс/мм ² | Определение допускаемых напряжений | | | | |
| 2. Условный предел текучести | материалов, используемых в проектных | | | | |
| $\sigma_{0,2} = P_{0,2}/F_0$, МПа; кгс/мм ² | расчетах | | | | |
| 3. Предел прочности | $[\sigma] \le 0.67 \cdot \sigma_{0,2}; [\sigma] \le 0.42 \cdot \sigma_B$ | | | | |
| $\sigma_{\rm B}=P_{\rm B}/F_0$, МПа; кгс/мм ² | | | | | |
| 4. Истинное сопротивление | Наибольшее напряжение, | | | | |
| разрыву | предшествующее разрушению | | | | |
| $S_K = P_K/F_K$, МПа; кгс/мм ² | разрывного образца. | | | | |
| 5. Относительное удлинение | Обеспечение надежности материала | | | | |
| $\delta = (l_{K} - l_{0})/l_{0}, \%$ | $\delta_{\text{min}}=15\%$; $\psi_{\text{min}}=45\%$ | | | | |
| 6. Относительное сужение | (для деталей, находящихся в условиях | | | | |
| $\psi = (F_0 - F_K)/F_0, \%$ | объемного нагружения) | | | | |
| | гиб. Оборудование: пресс | | | | |
| 7. Предел прочности при изгибе | Для малопластичных материалов: | | | | |
| $\sigma_{\rm M}={\rm M/W_X,\ M\Pi a;\ \kapparc/mm}^2$ | чугуны, инструментальные стали, стали | | | | |
| М – изгибающий момент, Н·м; | после поверхностного упрочнения и др. | | | | |
| W _X - осевой момент | | | | | |
| сопротивления сечения, м3. | | | | | |
| | борудование: твердомер Бринелля | | | | |
| 8. HB=P/F _{отп} , МПа; кгс/мм ² | Черные металлы | | | | |
| индентор – шарик диаметром 2,5; | HB 140-450: | | | | |
| 5; 10 мм | s=6-3 мм; d=10 мм; P=3000 кгс | | | | |
| нагрузка Р=156÷30000 Н | s=4-2 мм; d=5 мм; P=750 кгс | | | | |
| (15,6 ÷ 3000 кгс). | s<2 мм; d=2,5 мм; P=187,5 кгс | | | | |
| Диаметр индентора и нагрузка на | HB<140: | | | | |
| индентор выбираются в | s>6 мм; d=10 мм; P=1000 кгс | | | | |
| зависимости от природы | s=6-3 мм; d=5 мм; P=250 кгс | | | | |
| материала образца | s<2 мм; d=2,5 мм; P=62,5 кгс | | | | |
| (предполагаемой величины НВ) и | Цветные металлы | | | | |
| его толщины (s). | HB 130 | | | | |
| | s=6-3 мм; d=10 мм; P=3000 кгс | | | | |
| | s=4-2 мм; d=5 мм; P=750 кгс | | | | |
| | s<2 мм; d=2,5 мм; P=187,5 кгс | | | | |
| | HB 35-130 | | | | |
| | s=9-3 мм; d=10 мм; P=1000 кгс | | | | |
| | s=6-3 мм; d=5 мм; P=250 кгс | | | | |

| инженерной практике $<$ 22 мм; $d=2,5$ мм; $P=62,5$ кгс HB 8-35 $>>6$ мм; $d=5$ мм; $d=5$ мк; $P=65,5$ кгс $>>6$ мм; $d=5$ мм; $d=5$ мм; $P=65,5$ кгс $>>6$ мм; $d=5$ мм; $d=5$ мм; $P=15,6$ кгс $>>6$ мм; $d=2,5$ мм; $P=15,6$ кгс $>>6$ мм; $P=$ | Определяемые показатели свойств | Использование показателей свойств в |
|--|--------------------------------------|---|
| | определиемые показатели свойств | |
| НВ 8-35 | | |
| | | |
| $ \begin{array}{c} s=6-3 \text{ мм; } d=5 \text{ мм; } P=65,5 \text{ кгс} \\ s<3 \text{ мм; } d=2,5 \text{ мм; } P=15,6 \text{ кгc} \\ \hline \textbf{Твердость по Роквеллу.} \\ \textbf{Оборудование: твердомер Роквелла} \\ \textbf{Для особо твердых материалов} \\ \textbf{HRA} \rightarrow 70+85 \\ \hline \textbf{10.HRB, безразмерная величина} \\ \textbf{индентор - стальной шарик 1,59} \\ \textbf{мм;} \\ \textbf{нагрузка P}_{\Sigma} = 100 \text{ кrc} \\ \hline \textbf{11.HRC, безразмерная величина} \\ \textbf{индентор - конус 120°;} \\ \textbf{нагрузка P}_{\Sigma} = 150 \text{ krc} \\ \hline \textbf{12.HV} = P/F_{\text{огп}}, \text{ MITa; krc/mm}^2 \\ \textbf{индентор - алмазная пирамида, } \\ \textbf{\sigma} = 136°; \text{ нагрузка P} = 1-30 \text{ krc.} \\ \hline \textbf{Ударный изгиб надреза ниого образца.} \\ \textbf{Иемаже (радиус надреза 1 мм)} \\ \textbf{KCU} = (\textbf{KU}_0 \text{-K} \textbf{V}_{\text{ост}})/F_{\text{II}}, \\ \textbf{Дж/cm}^2; \text{ krc·m/cm}^2. \\ \textbf{14. Ударная вязкость на образце Шарпи (радиус надреза 0,25 мм)} \\ \textbf{KCV} = (\textbf{KV}_0 \text{-KV}_{\text{ост}})/F_{\text{II}}, \\ \textbf{Дж/cm}^2; \text{ krc·m/cm}^2. \\ \textbf{Испытания долговечности} \\ \textbf{15. Предел выносливости при несимметричном цикле напряжений} \\ \textbf{\sigma}_{R}, \tau_{R}, \text{MIIa; krc/mm}^2 \\ \textbf{16. Предел выносливости при симметричном цикле напряжений} \\ \textbf{\sigma}_{-1}, \tau_{-1}, \text{MIIa; krc/mm}^2 \\ \textbf{16. Предел выносливости при симметричном цикле напряжений} \\ \textbf{\sigma}_{-1}, \tau_{-1}, \text{MIIa; krc/mm}^2 \\ \textbf{16. Предел выносливости при симметричном цикле напряжений} \\ \textbf{\sigma}_{-1}, \tau_{-1}, \text{MIIa; krc/mm}^2 \\ \textbf{16. Предел выносливости при симметричном цикле напряжений} \\ \textbf{\sigma}_{-1}, \tau_{-1}, \text{MIIa; krc/mm}^2 \\ \textbf{16. Предел выносливости при симметричном цикле напряжений} \\ \textbf{\sigma}_{-1}, \tau_{-1}, \text{MIIa; krc/mm}^2 \\ \textbf{16. Предел выносливости при симметричном цикле напряжений} \\ \textbf{\sigma}_{-1}, \tau_{-1}, \text{MIIa; krc/mm}^2 \\ \textbf{16. Предел выносливости при симметричном цикле напряжений} \\ \textbf{00}_{-1}, \tau_{-1}, \text{MIIa; krc/mm}^2 \\ \textbf{10}_{-1}, \tau_{-1}, \text{MIIa; krc/mm}^2 \\ \textbf{10}_{-1},$ | | |
| S<3 мм; d=2,5 мм; P=15,6 кгс | | |
| Твердость по Роквеллу. Оборудование: твердомер Роквелла 9.НRА , безразмерная величина индентор — алмазный конус 120°, нагрузка P_{Σ} = 60 кгс Для особо твердых материалов НRА → 70 * 85 10.НRВ, безразмерная величина индентор — стальной шарик 1,59 мм; нагрузка P_{Σ} = 100 кгс Для мягких материалов (цветные сплавы, отожженная сталь) 11.НКС , безразмерная величина индентор — конус 120°; нагрузка P_{Σ} = 150 кгс Для материалов средней твёрдости (закалённая сталь) НКВ → 25 ÷ 100 Твердость по Виккерсу. Оборудование: твердомер Виккерса 12.НV=P/F _{отт} , МПа; кгс/мм² индентор — алмазная пирамида, α =136°; нагрузка P=1-30 кгс. Для черных и цветных металлов и сплавов (универсальный показатель). НV → 8 * 2000 кгс/мм² Ударный изгиб надрезанного образце Менаже (радиус надреза 1 мм) КСU=(КU ₀ -КU _{ост})/F _I , Дж/см², кгс-м/см²: Оценка склонности материала к хрупкому разрушению в общем машиностроении сталь КСU _{min} =3 кгс-м/см² 14. Ударная вязкость на образце Шарпи (радиус надреза 0,25 мм) КСV=(KV ₀ -KV _{ост})/F _{II} , Дж/см²; кгс-м/см². Оценка склонности материала к хрупкому разрушению в особо ответственных случаях (атомное машиностроение и др.) КСV _{min} =2 кгс-м/см² Испытания долговечности 15. Предел выносливости при несимметричном цикле напряжений σ , τ , τ , МПа; кгс/мм² Для определения поведения материала при повторно-переменном приложении нагрузки (материал валов, зубчатых колес и др.) 16. Предел выносливости при симметричном цикле напряжени | | |
| 9.НRA , безразмерная величина индентор — алмазный конус 120° , нагрузка $P_\Sigma = 60$ кгс Для мягких материалов $HRA \rightarrow 70 \div 85$ 10.HRB, безразмерная величина индентор — стальной шарик $1,59$ мм; нагрузка $P_\Sigma = 100$ кгс Для мягких материалов (цветные сплавы, отожженная сталь) $HRB \rightarrow 25 \div 100$ 11.HRC , безразмерная величина индентор — конус 120° ; нагрузка $P_\Sigma = 150$ кгс Для материалов средней твёрдости (закалённая сталь) $HRC \rightarrow 20 \div 67$ Твердость по Виккерсу. Оборудование: твердомер Виккерса 12.HV=P/F _{отп} , MПа; ктс/мм² индентор — алмазная пирамида, $\alpha = 136^\circ$; нагрузка $P = 1-30$ кгс. Для черных и цветных металлов и сплавов (универсальный показатель). $HV \rightarrow 8 \div 2000$ кгс/мм² Ударный изгиб надрезанного образца. Оборудование: маятниковый копер $13. V$ дарная вязкость на образце Менаже (радиус надреза 1 мм) КССU=(KU ₀ -KU _{oct})/F _H , Дж/см²; ктс-м/см²: Оценка склонности материала к хрупкому разрушению в общем машиностроении сталь КСU _{min} = 3 кгс-м/см² 14. Ударная вязкость на образце Шарпи (радиус надреза $0,25$ мм) КСV=(KV ₀ -KV _{oct})/F _H , Дж/см²; ктс-м/см². Оценка склонности материала к хрупкому разрушению в особо ответственных случаях (атомное машиностроении и др.) КСV _{min} = 2 кгс-м/см² Испытания долговечности 15. Предел выносливости при несимметричном цикле напряжений σ_R , τ_R , МПа; кгс/мм² Для определения поведения материала при повторно-переменном приложении нагрузки (материал валов, зубчатых колес и др.) 16. Предел выносливости при симметричном цикле напряжений σ_R , τ_R , МПа; кгс/мм² | Тверлость по Роквеллу () | |
| индентор — алмазный конус 120°, нагрузка $P_{\Sigma}=60$ кгс 10.HRB, безразмерная величина индентор — стальной шарик 1,59 мм; HRB—25÷100 11.HRC , безразмерная величина индентор — конус 120°; нагрузка $P_{\Sigma}=150$ кгс 12.HV=P/F _{отп} , МПа; кгс/мм² индентор — алмазная пирамида, $\alpha=136^\circ$; нагрузка $P=1-30$ кгс 13.Ударнай изгиб надрезанного образце Менаже (радиус надреза 1 мм) КСU=(KU ₀ -KU _{oct})/F _н , Дж/см²; кгс·м/см². 14. Ударная вязкость на образце Шарпи (радиус надреза 0,25 мм) КСV=(KV ₀ -KV _{oct})/F _н , Дж/см²; кгс·м/см². 15. Предел выносливости при несимметричном цикле напряжений σ_R , τ_R , МПа; кгс/мм² 16. Предел выносливости при симметричном цикле напряжений σ_{-1} , τ_{-1} , МПа; кгс/мм² | | |
| нагрузка P_{Σ} = 60 кгс 10.HRB, безразмерная величина индентор – стальной шарик 1,59 мм; нагрузка P_{Σ} = 100 кгс 11.HRC , безразмерная величина индентор – конус 120°; нагрузка P_{Σ} = 150 кгс Твердость по Виккерсу. Оборудование: твердомер Виккерса 12.HV=P/ $F_{\text{отт}}$, МПа; кгс/мм² индентор – алмазная пирамида, α =136°; нагрузка P =1-30 кгс. Ударный изгиб нагрезанного образце Менаже (радиус надреза 1 мм) КСU=(KU ₀ -KU ₀ -ку-ку-с)/ $F_{\text{п}}$, D =2. 14. Ударная вязкость на образце Марии (радиус надреза 0,25 мм) КСV=(KV ₀ -KV ₀ -ку)/ $F_{\text{п}}$, D =2. 15. Предел выносливости при несимметричном цикле напряжений σ_R , τ_R , МПа; кгс/мм² 16. Предел выносливости при симметричном цикле напряжений σ_{-1} , τ_{-1} , МПа; кгс/мм² | | |
| $ \begin{array}{c} 10. \text{HRB}, \ \text{безразмерная величина} \\ \text{индентор} - \text{стальной шарик } 1,59 \\ \text{мм;} \\ \text{нагрузка } P_{\Sigma} = 100 \ \text{кгс} \\ \hline 11. \text{HRC}, \ \text{безразмерная величина} \\ \text{индентор} - \text{конус } 120^\circ; \\ \text{нагрузка } P_{\Sigma} = 150 \ \text{кгc} \\ \hline \hline \textbf{Твердость по Виккерсу.} \\ \hline 12. \text{HV=P/F}_{\text{огп}}, \text{МПа; кгс/мм}^2 \\ \text{индентор} - \text{алмазная пирамида,} \\ \alpha = 136^\circ; \text{ нагрузка } P = 1-30 \ \text{кгc.} \\ \hline \textbf{Ударный изгиб надрезанного образца} \\ \text{Мелаже (радиус надреза 1 мм)} \\ \text{KCU=(KU_0-KV_{\text{осг}})/F_{\text{в.}},} \\ \text{Дж/см}^2; \text{ кгc·м/см}^2 \\ \hline 14. \text{Ударная вязкость на образце} \\ \text{Шарпи (радиус надреза 0,25 мм)} \\ \text{KCV=(KV_0-KV_{\text{осг}})/F_{\text{в.}},} \\ \text{Дж/см}^2; \text{ кгc·м/см}^2 \\ \hline \textbf{Испытания долговечности} \\ \hline 15. \ \text{Предел выносливости при несимметричном цикле напряжений} \\ \hline \sigma_{R}, \tau_{R}, \text{ МПа; кгc/мм}^2 \\ \hline 16. \ \text{Предел выносливости при симметричном цикле напряжений} \\ \hline \sigma_{-1}, \tau_{-1}, \text{ МПа; кгc/мм}^2 \\ \hline \end{array}$ | | 11101 770.03 |
| индентор — стальной шарик 1,59 мм; нагрузка $P_{\Sigma} = 100$ кгс 11.HRC , безразмерная величина индентор — конус 120°; нагрузка $P_{\Sigma} = 150$ кгс Твердость по Виккерсу. Оборудование: твердомер Виккерса 12.HV=P/ $F_{\rm orm}$, МПа; кгс/мм² индентор — алмазная пирамида, $\alpha = 136^\circ$; нагрузка $P = 1-30$ кгс. Ударный изгиб надрезаниого образца. Оборудование: маятниковый копер 13.Ударная вязкость на образце Менаже (радиус надреза 1 мм) КСU=(KU ₀ -KU _{ocr)} / $F_{\rm H}$, $\mathcal{I}_{\rm M}$ /см²; кгс·м/см². 14. Ударная вязкость на образце Шарпи (радиус надреза 0,25 мм) КСV=(KV ₀ -KV _{ocr)} / $F_{\rm H}$, $\mathcal{I}_{\rm M}$ /см²; кгс·м/см². 15. Предел выносливости при несимметричном цикле напряжений σ_R , τ_R , МПа; кгс/мм² 16. Предел выносливости при симметричном цикле напряжений σ_{-1} , τ_{-1} , МПа; кгс/мм² | | Лла магуму материалов (претице |
| мм; нагрузка $P_{\Sigma} = 100$ кгс 11.HRC , безразмерная величина индентор − конус 120°; нагрузка $P_{\Sigma} = 150$ кгс Твердость по Виккерсу. Оборудование: твердомер Виккерса 12.HV=P/F _{отп} , МПа; ктс/мм² индентор − алмазная пирамида, $\alpha = 136^\circ$; нагрузка $P = 1-30$ кгс. Ударный изгиб надрезанного образце. Менаже (радиус надреза 1 мм) КСU=(KU ₀ -KU _{ост})/ $P_{\rm H}$, Z дж/см²; кгс·м/см². 14. Ударная вязкость на образце. Шарпи (радиус надреза 0,25 мм) КСV=(KV ₀ -KV _{0ст})/ $F_{\rm H}$, Z дж/см²; кгс·м/см². 14. Ударная вязкость на образце. Шарпи (радиус надреза 0,25 мм) КСV=(KV ₀ -KV _{0ст})/ $F_{\rm H}$, Z дж/см²; кгс·м/см². 15. Предел выносливости при несимметричном цикле напряжений G_R , τ_R , МПа; кгс/мм² 16. Предел выносливости при симметричном цикле напряжений G_{-1} , τ_{-1} , МПа; кгс/мм² | | |
| нагрузка $P_{\Sigma} = 100$ кгс 11.HRC , безразмерная величина индентор – конус 120°; нагрузка $P_{\Sigma} = 150$ кгс Твердость по Виккерсу. Оборудование: твердомер Виккерса 12.HV=P/ $F_{\text{отп}}$, МПа; кгс/мм² Индентор – алмазная пирамида, $\alpha = 136^{\circ}$; нагрузка $P = 1-30$ кгс. Ударный изгиб надрезанного образце. Менаже (радиус надреза 1 мм) КСU=(KU ₀ -KU _{0ст})/ $F_{\text{н}}$, Дж/см²; кгс-м/см²: 14. Ударная вязкость на образце Шарпи (радиус надреза 0,25 мм) КСV=(KV ₀ -KV _{0ст})/ $F_{\text{н}}$, Дж/см²; кгс-м/см². 15. Предел выносливости при несимметричном цикле напряжений σ_R , τ_R , МПа; кгс/мм² Испытания долговечности 16. Предел выносливости при симметричном цикле напряжений σ_{-1} , τ_{-1} , МПа; кгс/мм² | | |
| $ \begin{array}{c} 11. \text{HRC} , \text{безразмерная величина} \\ \text{индентор} - \text{конус} 120^\circ ; \\ \text{нагрузка} P_\Sigma = 150 \text{кгc} \\ \hline \textbf{Твердость по Виккерсу.} \text{Оборудование: твердомер Виккерса} \\ 12. \text{HV=P/F}_{\text{отп}} , \text{МПа; кгc/mm}^2 \\ \text{индентор} - \text{алмазная пирамида,} \\ \alpha = 136^\circ ; \text{нагрузка} P = 1-30 \text{кгc.} \\ \hline \textbf{Ударный изгиб надрезанного образца.} \text{Оборудование: маятниковый копер} \\ 13. \text{Ударная вязкость на образце} \\ \text{Менаже (радиус надреза 1 мм)} \\ \text{КCU=(KU_0-KU_{ocr})/F_{\text{H}}} , \\ \text{Дж/cm}^2 ; \text{кгc-m/cm}^2 : \\ \hline 14. \text{Ударная вязкость на образце} \\ \text{Шарпи (радиуc надреза 0,25 мм)} \\ \text{KCV=(KV_0-KV_{ocr})/F_{\text{H}}} , \\ \text{Дж/cm}^2 ; \text{кгc-m/cm}^2 . \\ \hline \textbf{Испытания} \text{долговечности} \\ \hline 15. \text{Предел выносливости при несимметричном цикле} \\ \text{напряжений} & \text{Для определения поведения материала} \\ \text{при повторно-переменном приложении} \\ \text{напряжений} & \text{Для определения поведения материала} \\ \text{при повторно-переменном приложении} \\ \text{нагрузки (материал валов, зубчатых колес и др.)} \\ \text{колес и др.)} \\ \hline \text{колес и др.} \\ \hline \text{машиностроно-переменном приложении} \\ \text{нагрузки (материал валов, зубчатых колес и др.)} \\ \hline \text{колес и др.} \\ \hline \text{материал валов, зубчатых колес и др.} \\ \hline \text{материчном цикле напряжений} \\ \hline \text{при повторно-переменном приложении} \\ \text{нагрузки (материал валов, зубчатых колес и др.)} \\ \hline \text{колес и др.} \\ \hline \text{материал валов, зубчатых колес и др.} \\ \hline материал валов и материал валов и$ | , | 11KD-723 · 100 |
| индентор — конус 120° ; нагрузка $P_\Sigma = 150$ кгс Твердость по Виккерсу. Оборудование: твердомер Виккерса 12.HV=P/ $F_{\text{отп}}$, МПа; кгс/мм² индентор — алмазная пирамида, $\alpha = 136^\circ$; нагрузка $P = 1-30$ кгс. Ударный изгиб надрезанного образца. Оборудование: маятниковый копер 13.Ударная вязкость на образце Менаже (радиус надреза 1 мм) КСU=(KU $_0$ -KU $_{\text{ост}}$)/ $F_{\text{н}}$, | | Лля материалов средней трёрлости |
| нагрузка $P_{\Sigma} = 150$ кгсHRC $\rightarrow 20$ ÷67Твердость по Виккерсу. Оборудование: твердомер Виккерса12.HV=P/ $F_{\text{отп}}$, МПа; кгс/мм²Для черных и цветных металлов и сплавов (универсальный показатель). HV $\rightarrow 8$ ÷2000 кгс/мм²ударный изгиб надрезанного образца. Оборудование: маятниковый коперОценка склонности материала к хрупкому разрушению в общем машиностроении сталь КСU $_{\text{min}}$ =3 кгс·м/см²14. Ударная вязкость на образце Шарпи (радиус надреза 0,25 мм) КСV=(KV $_{0}$ -KV $_{\text{ост}}$ / F_{H} , дж/см²; кгс·м/см².Оценка склонности материала к хрупкому разрушению в особо ответственных случаях (атомное машиностроение и др.) КСV $_{\text{min}}$ =2 кгс·м/см²15. Предел выносливости при несимметричном цикле напряжений σ_{R} , τ_{R} , МПа; кгс/мм²Для определения поведения материала при повторно-переменном приложении нагрузки (материал валов, зубчатых колес и др.)16. Предел выносливости при симметричном цикле напряжений σ_{-1} , τ_{-1} , МПа; кгс/мм²Для определения поведения материала к хрупкому разрушению в особо ответственных случаях (атомное машиностроение и др.) КСV $_{\text{min}}$ =2 кгс·м/см² | | |
| Твердость по Виккерсу. Оборудование: твердомер Виккерса 12.HV= $P/F_{\text{отп}}$, МПа; кгс/мм² индентор — алмазная пирамида, α =136°; нагрузка P =1-30 кгс. Ударный изгиб надрезанного образца. Оборудование: маятниковый копер 13.Ударная вязкость на образце Менаже (радиус надреза 1 мм) КСU=(KU ₀ -KU _{ocr})/ F_{H} , дж/см²; кгс·м/см². 14. Ударная вязкость на образце Шарпи (радиус надреза 0,25 мм) КСV=(KV ₀ -KV _{ocr})/ F_{H} , ответственных случаях (атомное машиностроение и др.) КСV=(KV ₀ -KV _{ocr})/ F_{H} , ответственных случаях (атомное машиностроение и др.) КСV _{min} =2 кгс·м/см² 15. Предел выносливости при несимметричном цикле напряжений σ_R , τ_R , МПа; кгс/мм² 16. Предел выносливости при симметричном цикле напряжений σ_{-1} , τ_{-1} , МПа; кгс/мм² | | |
| 12.HV= $P/F_{\text{отп}}$, МПа; кгс/мм² индентор – алмазная пирамида, α =136°; нагрузка P =1-30 кгс. Ударный изгиб надрезанного образца. Оборудование: маятниковый копер 13.Ударная вязкость на образце Менаже (радиус надреза 1 мм) КСU=(KU ₀ -KU _{ocr})/ F_{H} , Дж/см²; кгс·м/см²: 14. Ударная вязкость на образце Шарпи (радиус надреза 0,25 мм) КСV=(KV ₀ -KV _{ocr})/ F_{H} , Дж/см²; кгс·м/см². 14. Ударная вязкость на образце Шарпи (радиус надреза 0,25 мм) КСV=(KV ₀ -KV _{ocr})/ F_{H} , Дж/см²; кгс·м/см². 15. Предел выносливости при несимметричном цикле напряжений σ_R , τ_R , МПа; кгс/мм² 16. Предел выносливости при симметричном цикле напряжений σ_{-1} , τ_{-1} , МПа; кгс/мм² | | |
| индентор — алмазная пирамида, $\alpha=136^\circ$; нагрузка $P=1-30$ кгс. $HV \rightarrow 8 \div 2000$ кгс/мм² V дарный изгиб надрезанного образца. Оборудование: маятниковый копер 13. Ударная вязкость на образце Менаже (радиус надреза 1 мм) $KCU=(KU_0-KU_{ocr})/F_H$, \mathcal{A} /ж/см²; кгс·м/см².: \mathcal{A} /ж/см²; кгс·м/см².: \mathcal{A} /ж/см²; кгс·м/см². \mathcal{A} /ж/см² жгс·м/см². \mathcal{A} /ж/см²; кгс·м/см². \mathcal{A} /ж/см²; кгс·м/см². \mathcal{A} /ж/см² жгс·м/см². \mathcal{A} /ж/см² жгс·м/см². \mathcal{A} /ж/см² жгс·м/см². \mathcal{A} /ж/см² жгс·м/см² \mathcal{A} /ж/с | | |
| $ \begin{array}{c} \alpha = 136^{\circ}; \ \text{нагрузка P=1-30 кгс.} & \text{HV} \rightarrow 8 \div 2000 \ \text{кгc/mm}^2 \\ \hline \textbf{Ударный изгиб надрезанного образца.} & \text{Оборудование: маятниковый копер} \\ 13. \ \ \ \ \ \ \ \ \ \ \ \ \ \ \ \ \ \ \$ | | |
| Ударный изгиб надрезанного образца. Оборудование: маятниковый копер13.Ударная вязкость на образце Менаже (радиус надреза 1 мм) КСU=(KU0-KU $_{ocr}$)/ $F_{\rm H}$, Дж/см²; кгс·м/см².:Оценка склонности материала к хрупкому разрушению в общем машиностроении сталь КСU $_{min}$ =3 кгс·м/см²14. Ударная вязкость на образце Шарпи (радиус надреза 0,25 мм) КСV=(KV $_{0}$ -KV $_{ocr}$)/ $F_{\rm H}$, Дж/см²; кгс·м/см².Оценка склонности материала к хрупкому разрушению в особо ответственных случаях (атомное машиностроение и др.) КСV $_{min}$ =2 кгс·м/см²Испытания долговечности15. Предел выносливости при несимметричном цикле напряжений σ_R , τ_R , МПа; кгс/мм²Для определения поведения материала при повторно-переменном приложении нагрузки (материал валов, зубчатых колес и др.)16. Предел выносливости при симметричном цикле напряжений σ_{-1} , τ_{-1} , МПа; кгс/мм²Для определения поведения материала при повторно-переменном приложении нагрузки (материал валов, зубчатых колес и др.) | | |
| 13. Ударная вязкость на образце Менаже (радиус надреза 1 мм) КСU=(KU_0 - KU_{ocr})/ $F_{\rm H}$, Z | | |
| Менаже (радиус надреза 1 мм) КСU=(KU_0 - KU_{ocr})/ F_H , \mathcal{L} , $$ | | |
| $KCU=(KU_0-KU_{oct})/F_{\rm H}$, Δm ашиностроении сталь $KCU_{min}=3~{\rm krc\cdot m/cm^2}$ 14. Ударная вязкость на образце Шарпи (радиус надреза 0,25 мм) $KCV=(KV_0-KV_{oct})/F_{\rm H}$, Δm ответственных случаях (атомное машиностроение и др.) Δm | | |
| Дж/см 2 ; кгс·м/см 2 .сталь КС 2 мгс·м/см 2 14. Ударная вязкость на образце Шарпи (радиус надреза 0,25 мм) КСV=(KV $_0$ -KV $_{oct}$)/F $_{\rm H}$, Дж/см 2 ; кгс·м/см 2 .Оценка склонности материала к хрупкому разрушению в особо ответственных случаях (атомное машиностроение и др.) КСV $_{\rm min}$ =2 кгс·м/см 2 Испытания долговечностиИспытания долговечности15. Предел выносливости при несимметричном цикле напряжений σ_R , τ_R , МПа; кгс/мм 2 Для определения поведения материала при повторно-переменном приложении нагрузки (материал валов, зубчатых колес и др.) | | 1 |
| 14. Ударная вязкость на образце Шарпи (радиус надреза 0.25 мм) КСV=(KV $_0$ -KV $_{\text{ост}}$)/ F_{H} , хрупкому разрушению в особо ответственных случаях (атомное машиностроение и др.) КСV $_{\text{min}}$ =2 кгс·м/см 2 | | |
| Шарпи (радиус надреза 0,25 мм) КСV=(KV_0 - KV_{oct})/ F_H , χ дж/см²; кгс·м/см². Испытания долговечности 15. Предел выносливости при несимметричном цикле напряжений σ_R , τ_R , МПа; кгс/мм² 16. Предел выносливости при симметричном цикле напряжений σ_{-1} , τ_{-1} , МПа; кгс/мм² хрупкому разрушению в особо ответственных случаях (атомное машиностроение и др.) КСV $_{min}$ =2 кгс·м/см² Для определения поведения материала при повторно-переменном приложении нагрузки (материал валов, зубчатых колес и др.) | | |
| $KCV=(KV_0-KV_{oct})/F_{_{\rm H}}$, ответственных случаях (атомное машиностроение и др.) $KCV_{\min}=2\ {\rm Krc\cdot m/cm}^2$ | | |
| Дж/см²; кгс·м/см². машиностроение и др.) КСV $_{min}$ =2 кгс·м/см² Испытания долговечности 15. Предел выносливости при несимметричном цикле напряжений σ_R , τ_R , МПа; кгс/мм² Для определения поведения материала при повторно-переменном приложении нагрузки (материал валов, зубчатых колес и др.) 16. Предел выносливости при симметричном цикле напряжений σ_{-1} , τ_{-1} , МПа; кгс/мм² колес и др.) | | |
| | $KCV = (KV_0 - KV_{OCT})/F_H$, | |
| Испытания долговечности15. Предел выносливости при несимметричном цикле напряжений σ_R , τ_R , МПа; кгс/мм²Для определения поведения материала при повторно-переменном приложении нагрузки (материал валов, зубчатых колес и др.)16. Предел выносливости при симметричном цикле напряжений σ_{-1} , τ_{-1} , МПа; кгс/мм²колес и др.) | Дж/см²; кгс·м/см². | машиностроение и др.) |
| 15. Предел выносливости при несимметричном цикле напряжений σ_R , τ_R , МПа; кгс/мм 2 Для определения поведения материала при повторно-переменном приложении нагрузки (материал валов, зубчатых колес и др.) σ_{-1} , τ_{-1} , МПа; кгс/мм 2 | | |
| несимметричном цикле напряжений Для определения поведения материала при повторно-переменном приложении нагрузки (материал валов, зубчатых колес и др.) $\sigma_{-1}, \tau_{-1}, \text{М}\Pi \text{a}; \text{кгс/мм}^2$ | | я долговечности |
| напряжений σ_R , τ_R , МПа; кгс/мм² Для определения поведения материала при повторно-переменном приложении нагрузки (материал валов, зубчатых колес и др.) σ_{-1} , τ_{-1} , МПа; кгс/мм² | | |
| σ_R , τ_R , МПа; кгс/мм² при повторно-переменном приложении нагрузки (материал валов, зубчатых колес и др.) σ_{-1} , τ_{-1} , МПа; кгс/мм² | | |
| 16. Предел выносливости при симметричном цикле напряжений σ_{-1}, τ_{-1} , МПа; кгс/мм² нагрузки (материал валов, зубчатых колес и др.) | - | |
| 16. Предел выносливости при симметричном цикле напряжений σ_{-1}, τ_{-1} , МПа; кгс/мм ² колес и др.) | $\sigma_R, 	au_R$, МПа; кгс/мм 2 | |
| симметричном цикле напряжений σ_{-1}, τ_{-1} , МПа; кгс/мм 2 | | |
| $\sigma_{-1}, 	au_{-1}$, МПа; кгс/мм 2 | симметричном цикле напряжений | колес и др.) |
| | | |
| 17. Предел длительной прочности Для изделий из жаропрочных | 17. Предел длительной прочности | Для изделий из жаропрочных |

| Определяемые показатели свойств | Использование показателей свойств в инженерной практике |
|---|--|
| $\sigma_{	au}^{t}$, МПа; кгс/мм 2 | материалов, кратковременно работающих при высоких температурах |
| 18. Предел ползучести $\sigma^t_{\delta/\tau}$, МПа; кгс/мм 2 | Для изделий из жаропрочных материалов, длительно работающих при высоких температурах |
| 19. Относительная износостойкость £, безразмерная величина | Для оценки сопротивления изнашиванию элементов трибосопряжений. |

Дополнительные пояснения

1, 2, 3, 4, 5,6: P_i — соответствующая нагрузка на образце (см. ниже схему диаграммы растяжения); F_0 , F_K — площадь поперечного сечения образца до и после испытания; I_0 , I_K — длина рабочей части образца до и после испытания; **7:** М— изгибающий момент на образце; W_x — осевой момент сопротивления образца; **8, 12:** P— нагрузка на индентор; F_{orn} — площадь поверхности отпечатка; **13, 14:** KU_0 - KU_{ocr} ; KV_0 - KV_{ocr} — энергия, затраченная на разрушение образца Менаже и Шарпи, соотвенно; F_H — площадь сечения образца в надрезе; **15, 16:** σ_R , σ_{-1} — предел выносливости по нормальным напряжениям; τ_R , τ_{-1} — то же по касательным напряжениям; **17:** σ_τ^t — напряжение, которое вызывает разрушение материала при температуре t за время τ ; **18:** $\sigma_{\delta/\tau}^t$ — напряжение, под действием которого материал при температуре t деформируется на величину δ за время τ ; **19:** ϵ — отношение износа образца к износу некоторого эталона, измеренных в определенных единицах.

Диаграмма растяжения «Р–∆l»

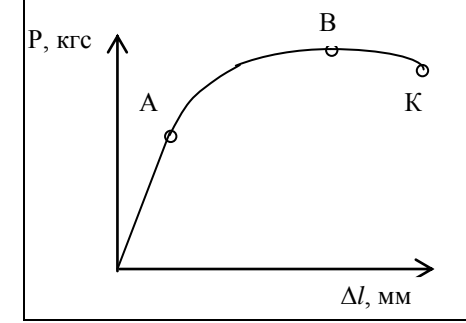


Диаграмма растяжения «P– Δl » представляет собой графическую зависимость растягивающего усилия (P) от абсолютного удлинения (Δl) разрывного образца. P_A = P_T — усилие текучести; P_B — усилие образования шейки; P_K — усилие разрушения.



Таблица 2.1.6. Единая шкала твердости C_9 по Роквеллу

Характеристика: С целью обеспечения единства измерений в нашей стране с 01.07.1980 г. введен *государственный специальный эталон и единая шкала твердости* C_3 по *Роквеллу* (ГОСТ 8.064-79). Все образцовые и рабочие средства измерения твердости настроены и поверяются по шкале C_3 . Твердость, измеренную по шкале C_3 , воспроизводимой этим эталоном, обозначают HRC $_3$, в отличие от обозначения HRC ранее применявшегося в промышленности.

Пересчет:
$$HRC \rightarrow HRC_3^*$$

$$HRC_3 = 2,6958 + 0,9714 \cdot HRC ; HRC = 20-65.$$
Пересчет: $HRC_3 \rightarrow HRC^*$

$$HRC = -2,775 + 1,0294 \cdot HRC_3 ; HRC_3 = 22,1-65,8.$$
* Данные [23]

 Таблица 2.1.7.
 Нормативная документация на техническую продукцию

Виды нормативной документации В России используются следующие основные виды нормативной документации на техническую продукцию: ГОСТы, ОСТы, ТУ и др. ГОСТ – это аббревиатура от словосочетания «государственный стандарт». Соответствующие ГОСТы разрабатываются различными организациями, специализирующимися на определенных областях деятельности. Разработанные ГОСТы регистрирует Федеральное агентство по техническому регулированию и метрологии. ГОСТ – одна из основных категорий стандартов в РФ. Федеральный Закон «О техническом регулировании» от 27 декабря 2002 г. в целях гармонизации российской системы технического регулирования с международной предусматривает постепенную замену ГОСТов техническими регламентами. До тех пор пока

Виды нормативной документации

не разработаны технические на промышленные сплавы, ГОСТы обязательны, если речь идет о безопасности людей, сохранности окружающей среды и имущества (муниципального, государственного, частного).

На продукцию разрабатывают стандарты общих технических условий, которые содержат общие требования к группам однородной продукции, и технических условий, которые содержат требования к конкретной продукции.

OCT – отраслевой стандарт устанавливаются на те виды продукции, которые являются объектами государственной стандартизации; на нормы, правила, требования, понятия и обозначения, регламентация которых необходима для обеспечения оптимального качества продукции данной отрасли. Объектами отраслевой стандартизации в частности могут быть отдельные виды продукции ограниченного применения, технологическая оснастка и инструмент, предназначенные для применения в данной области, сырье, материалы, полуфабрикаты внутриотраслевого применения, отдельные виды товаров народного потребления. Также объектами могут быть технические нормы и типовые технологические процессы, специфичные для данной отрасли, нормы, требования и методов в области организации проектирования; производства и эксплуатации промышленной продукции и товаров народного потребления.

ТУ – технические условия, это документ, устанавливающий технические требования, которым должны удовлетворять конкретное изделие, материал, вещество и пр. или их группу. Кроме того, в них должны быть указаны процедуры, с помощью которых можно установить, соблюдены ли данные требования.

Технические условия является техническим документом, который разрабатывается по решению разработчика (изготовителя) или по требованию заказчика (потребителя) продукции. Технические условия являются неотъемлемой частью комплекта конструкторской или другой технической документации на продукцию, а при отсутствии документации должны содержать полный комплекс требований.

| Маркировка основных видов нормативных документов | | | | | | |
|--|---------------------|-----------------|--|--|--|--|
| Аббревиатура | Схема маркировки | | | | | |
| ГОСТ | Государственный | ГОСТ+№*+год** | | | | |
| | стандарт СССР | | | | | |
| ГОСТ-Р | Государственных | ГОСТ-Р+№*+год** | | | | |
| | стандарт России | | | | | |
| OCT | Отраслевой стандарт | OCT+№*+год** | | | | |
| ТУ | Технические условия | ТУ+№*+год** | | | | |
| РД | Руководящий | РД+№*+год** | | | | |

| | документ | |
|------|---------------------|---------------|
| ВН | Ведомственная норма | ВН+№*+год** |
| ВНП | Ведомственная норма | ВНП+№*+год** |
| | проектирования | |
| ВНТП | Ведомственная норма | ВНТП+№*+год** |
| | технологического | |
| | проектирования | |
| ВСН | Ведомственная | BCH+№*+год** |
| | строительная норма | |

Примечание: № – регистрационный номер в уполномоченном государственном органе; **год** – год введения в действие НТД

Стандарты на методы механических испытаний материалов и металлических полуфабрикатов

ГОСТ 1497–84. Металлы. Методы испытания на растяжение.

ГОСТ 2999–75. Металлы. Метод измерения твёрдости алмазной пирамидой по Виккерсу.

ГОСТ 3248–81. Металлы. Метод испытания на ползучесть.

ГОСТ 3565-80. Металлы. Метод испытания на кручение.

ГОСТ 3728–78. Трубы. Метод испытания на загиб.

ГОСТ 3845–75. Трубы металлические. Метод испытания гидравлическим давлением.

ГОСТ 8693-80. Трубы металлические. Метод испытания на бортование.

ГОСТ 8694–75. Трубы. Метод испытаний на раздачу.

ГОСТ 8695–75. Трубы. Метод испытаний на сплющивание.

ГОСТ 9012–59. Металлы. Методы испытаний. Измерение твёрдости по Бринеллю.

ГОСТ 9013–59. Металлы. Методы испытаний. Измерение твёрдости по Роквеллу.

ГОСТ 9450–76. Измерение микротвёрдости вдавливанием алмазных наконечников.

ГОСТ 9454–78. Металлы. Метод испытания на ударный изгиб при пониженной, комнатной и повышенной температурах.

ГОСТ 10145-81. Металлы. Метод испытания на длительную прочность.

ГОСТ 11150–84. Металлы. Методы испытания на растяжение при пониженных температурах.

ГОСТ 14019–2003. Металлы. Методы испытания на изгиб.

ГОСТ 23273—78. Металлы и сплавы. Измерение твёрдости методом упругого отскока бойка (по Шору).

ГОСТ 26007–83. Расчеты и испытания на прочность. Методы механических испытаний металлов. Методы испытаний на релаксацию напряжений.

ГОСТ 27208-87 Отливки из чугуна. Методы механических испытаний.

Стандарты на методы механических испытаний материалов и металлических полуфабрикатов

Стандарты на методы испытания сварных соединений

ГОСТ 3242–79. Швы сварных соединений. Методы контроля качества.

ГОСТ 6996–66. Сварные соединения. Методы определения механических свойств.

ГОСТ 22161–76. Машины, механизмы, паровые котлы, сосуды и аппараты судовые. Нормы и правила гидравлических и воздушных испытаний.

Таблица 2.1.8. Значения характеристик механических свойств материалов при комнатной температуре

| Металл (символ); | НВ | σ_{B} | δ | Ψ | |
|--|--------------|-----------------------|-----|------|--|
| сплав, марка | МПа % | | | | |
| Материалы в ра | авновесном с | остоянии | | | |
| Бериллий (Ве) | | 550 | 2 | | |
| Железо (Fe _α) | 850 | 280 | 50 | 70 | |
| Олово (Sn $_{\beta}$) | 50 | 20 | 40 | 90 | |
| Свинец (Рb) | 35 | 15 | 70 | 95 | |
| Сурьма (Sb) | 320 | 110 | 0,5 | 0 | |
| Цинк (Zn) | 330 | 130 | 0,5 | 0 | |
| Эвтектоидная сталь, У8 | 2200 | 820 | 15 | 20 | |
| Эвтектический чугун | 8000 | | 0 | 0 | |
| Цементит Fe ₃ C | 9000 | | 0 | 0 | |
| Титановый сплав, ВТ5 | | 800 | 12 | | |
| Латунь, Л90 | 530 | 260 | 45 | 80 | |
| Латунь, ЛМц58-2 | 850 | 400 | 40 | 52,5 | |
| Латунь, ЛЦ40С | 750 | 215 | 16 | | |
| Бронза, БрОФ4-0,25 | 630 | 340 | 50 | 85 | |
| Бронза, БрО10Ф1 | 900 | 270 | 6 | 10 | |
| Деформируемый сплав, АМц | 300 | 130 | 20 | | |
| Деформируемый сплав, АМг6 | 700 | 170 | 20 | | |
| Литейный сплав, АК12 | 500 | 130 | 2 | | |
| Сплавы после те | рмического | упрочнения | I | | |
| Улучшенная сталь, 40 | 3500 | 500 | 15 | 52 | |
| Улучшенная сталь, 40ХН2МА | | 1100 | 12 | 50 | |
| Низкоотпущенная сталь, 40ХГСНЗВА | | 2000 | 11 | 43 | |
| Сталь после ВТМО, 30Х5М2СФА | | 2200 | | 40 | |
| Мартенситно-стареющая сталь, 03X12K15M10 | | 2500 | 6 | 30 | |

| Металл (символ); | HB | σ_{B} | δ | Ψ | | |
|--|------------------------------------|-----------------------|----------|-------------------------------|--|--|
| сплав, марка | МПа | | | <u>γ</u> % | | |
| Метастабильная аустенитная сталь | 1411 | 1800 | 20-30 | | | |
| (трипсталь), 30Х9Н8М4Г2С2 | | 2000 | 20 30 | | | |
| Инструментальная сталь, У13 | HRC64 | _ | _ | _ | | |
| Титановый сплав, ВТ22 | 400 | 1450 | 6 | KCU =30 Дж/см ² | | |
| Бронза, БрБ2 | 400 | 1250 | 2,5 | Дж/см | | |
| Деформируемый сплав, Д16 | 1050 | 440 | 20 | | | |
| Деформируемый сплав, В95 | 1500 | 540 | 10 | | | |
| Литейный сплав, АК9 | 750 | 260 | 4 | | | |
| | | | | | | |
| | онные матер | | 1 | * | | |
| Спеченная алюминиевая пудра, САП-1 (6-8% Al_2O_3) | 300 | 70 | 1 | 11* | | |
| Спеченная алюминиевая пудра, САП-4 (18-22% Al ₂ O ₃) | 450 | 15 | 1 | 17* | | |
| Волокна (средни | й диаметр во. | локна, мкм) | | | | |
| Углерод или графит (5,8-7,6) | , <u> </u> | 1700 | 110-210* | | | |
| 1 1 () // | | 3400 | | | | |
| Бор на вольфрамовой проволоке | | 2710 | 110 | 0-160* | | |
| (102-142) | | 4060 | | | | |
| Al_2O_3 (3) | | 2030 | | 66* | | |
| Сталь 18X15H5AM3 (150) | | 3500 | | 48* | | |
| | | 3800 | | | | |
| Нитевидные монокристалл | ты (средний , | | | | | |
| Сапфир, Al_2O_3 (0,51-11) | | 4000 | 110 | 0-620* | | |
| 70 70 70 71 71 | | 23600 | | * | | |
| Карборунд, SiC (0,51-11) | | 13500 40600 | 440 |)-1320 [*] | | |
| Материалы высокой твердо | сти, химичес | | а или ма | рка | | |
| Алмаз | НV100000 МПа | | | | | |
| Кубический нитрид бора, BN | HV90000 МПа | | | | | |
| Твердый сплав, ВК3 | HRA89,5; σ _M = 1100 ΜΠα | | | | | |
| Твердый сплав, BK25 HRA82; σ_{M} =2000 МПа | | | | | | |
| Примечания· * Уледьная прочност | гь (отношени | е препепа п | почності | u v | | |

Примечания: * Удельная прочность (отношение предела прочности к удельному весу $\sigma_B/(\rho \cdot g)$, км); физически характеризует длину проволоки из данного материала, обрывающейся под собственным весом.

Таблица 2.1.9. Дефекты кристаллического строения металлов

| Наименование дефекта | Проявление дефекта |
|----------------------|---|
| Вакансии | Реализация явления диффузии |
| Дислокации | Явление упрочнения |
| Границы зерен | Зернистость структуры влияет на прочность |
| | металла |

Количественные соотношения, связанные с проявлением дефектов

Закон Фика. Количество вещества, диффундирующего через единицу площади поверхности раздела в единицу времени, прямо пропорционально градиенту концентрации

$$m = -D \cdot (dc/dx), \tag{1}$$

здесь $D[m^2/c]$ – коэффициент самодиффузии.

Формула Аррениуса для определения коэффициента самодиффузии $D = -D_0 \cdot e^{-Q/RT},$ (2)

 $D_0 \, [\text{м}^2/\text{c}]$ — предэкспоненциальный множитель; Q [Дж/моль] — энергия активации; R= 8,31 Дж/(моль·град) — универсальная газовая постоянная; T [K] — температура.

Плотность дислокаций ρ [см-2] характеризует суммарную длину дислокаций в единице объема металла

$$\rho = 1/V$$
.

Влияние ρ в кристаллической решётке сплавов на их прочность характеризует диаграмма И.А. Одинга [4, с. 68]. Увеличения прочности металла можно добиться уменьшением плотности дислокаций менее $10^6 \, \text{cm}^{-2}$ (бездислокационные кристаллы) или увеличением ρ более $10^8 \, \text{cm}^{-2}$ (сплавы, упрочнённые легированием, термообработкой и др.).

Закон Холла-Петча характеризует влияние зернистости микроструктуры металла на его прочность

$$\sigma_{\rm T} = \sigma_0 + k \cdot d^{-1/2} \quad , \tag{3}$$

здесь σ_T – предел текучести металла; σ_0 – постоянное слагаемое; k – размерный множитель; d – размер зерна микроструктуры;

Таблица 2.1.10. Значение параметров самодиффузии для некоторых металлов

| Металл (символ) | Тпл, К | $D_0, M^2/c$ | Q, кДж/моль |
|-----------------|--------|----------------------|-------------|
| Вольфрам (W) | 3653 | 5,4·10 ⁻⁵ | 504,5 |
| Тантал (Та) | 3273 | 2,0.10-4 | 460,5 |
| Молибден (Мо) | 2873 | 5,0.10-5 | 405,7 |
| Хром (Ст) | 2148 | 2,0.10-5 | 308,6 |
| Железо (Fe) | 1812 | 2,0.10-4 | 251,2 |

Примечания: $T_{\it ПЛ}$ – температура плавления; D_0 – предэкспоненциальный множитель в уравнении для коэффициента диффузии (см. формулу для определения коэффициента самодиффузии в таблице 2.1.9); Q – энергия активации.

Таблица 2.1.11. Количественное сравнение значений твёрдости, определенной разными методами

Обоснование: Среди методов определения твёрдости, указанных в таблице 2.1.5, полной универсальностью обладает метод Виккерса, поскольку в качестве индентора он предполагает использование алмазной пирамиды. Для количественного сравнения значений твердости, определенной разными методами, предлагается сравниваемые величины HB, HRA, HRB, HRC переводить в твердость по Виккерсу, а затем сравнивать между собой однородные величины твердости $HV_x(HB_x)$, $HV_x(HRA_x)$, $HV_x(HRB_x)$, $HV_x(HRC_x)$.

Расчетный переход к твёрдости по Виккерсу HV_x

Расчетный метод перехода $H_x \rightarrow HV_x$ основан на использовании соответствующих уравнений регрессии

$$HV(HB) = 50 + 0.482301 \ HB + 0.001149 \ HB^2$$
 (1)

$$HV(HRA) = 2331 - 81,4776 HRA + 0,7657 HRA^{2}$$
 (2)

$$HV(HRB) = 252 - 5{,}7681 HRB + 0{,}0561 HRB^{2}$$
 (3)

$$HV(HRC) = 318 - 10,527673 \ HRC + 0,304221 \ HRC^2$$
 (4)

Примечания: Уравнения 1-4 получены обработкой данных по твердости сталей и сплавов [16]. Интервалы изменения аргумента: 1 - HB = 75-712 кгс/мм²; 2 - HRA = 50-85; 3 - HRB = 55-100; 4 - HRC = 18-66.

Примечания: Уравнения 1-4 получены обработкой данных по твердости сталей и сплавов [16]. Интервалы изменения аргумента: 1 - HB = 75-712 кгс/мм²; 2 - HRA = 50-85; 3 - HRB = 55-100; 4 - HRC = 18-66.

Табличный переход к твёрдости по Виккерсу HV $_{\rm x}$ Соотношение единиц твёрдости HV, HB, HRA, HRC, HRB *

| HV | HB | HRA | HRC | HRB | HV | HB | HRA | HRC | HRB |
|------|-----|------|------|-----|-----|-----|------|------|------|
| 1220 | 782 | 89 | 72 | | 294 | 290 | 66,0 | 31,0 | _ |
| 1016 | 712 | 85,1 | 66,4 | | 286 | 283 | 65,6 | 30,1 | _ |
| 951 | 688 | 84,3 | 65,0 | | 278 | 275 | 65,2 | 29,0 | |
| 907 | 670 | 83,6 | 63,9 | | 271 | 269 | 64,8 | 28,1 | |
| 866 | 659 | 83,0 | 62,9 | _ | 242 | 241 | 62,8 | 24,0 | 100 |
| 828 | 637 | 82,4 | 61,8 | _ | 235 | 235 | 62,3 | 23,0 | 99 |
| 804 | 627 | 82,0 | 61,1 | | 229 | 229 | 61,8 | 22,0 | 98,2 |
| 771 | 611 | 81,4 | 60,0 | _ | 222 | 222 | 61,1 | 20,9 | 97,2 |
| 739 | 597 | 80,9 | 59,0 | _ | 217 | 217 | 61,0 | 20,1 | 96,5 |
| 710 | 582 | 80,3 | 57,9 | | 212 | 212 | 60,1 | 19,0 | 95,5 |
| 683 | 583 | 79,7 | 56,9 | _ | 208 | 207 | 59,7 | 18,1 | 94,8 |
| 658 | 555 | 79,2 | 55,8 | _ | 204 | 204 | 60,0 | _ | 94 |
| 643 | 547 | 78,8 | 55,1 | _ | 198 | 198 | 58,6 | _ | 93 |

| HV | HB | HRA | HRC | HRB | HV | HB | HRA | HRC | HRB |
|-----|-----|------|------|-----|-----|-----|------|-----|------|
| 620 | 534 | 78,3 | 54,1 | | 193 | 194 | 58,0 | | 92 |
| 599 | 522 | 77,7 | 53,1 | _ | 188 | 189 | 57,4 | _ | 90,9 |
| 574 | 506 | 77,0 | 51,8 | _ | 183 | 185 | 56,9 | _ | 90,1 |
| 556 | 495 | 76,5 | 50,9 | _ | 182 | 183 | 56,0 | _ | 89 |
| 539 | 484 | 76,0 | 50,0 | | 175 | 177 | 55,6 | | 88 |
| 523 | 474 | 75,5 | 49,1 | | 172 | 174 | 55,1 | | 87,1 |
| 504 | 460 | 74,9 | 47,9 | _ | 168 | 170 | 54,5 | _ | 86,1 |
| 490 | 451 | 74,4 | 47,0 | | 164 | 166 | 53,9 | | 85 |
| 473 | 438 | 73,8 | 45,9 | | 162 | 163 | 53,4 | | 84,1 |
| 460 | 429 | 73,3 | 45,1 | _ | 158 | 159 | 52,8 | _ | 83 |
| 445 | 417 | 72,7 | 44,1 | | 156 | 156 | 52,3 | | 82,1 |
| 431 | 406 | 72,2 | 43,1 | | 147 | 147 | 50,6 | | 79 |
| 417 | 395 | 71,6 | 42,1 | _ | 144 | 144 | 50,0 | _ | 77,9 |
| 401 | 383 | 71,0 | 40,9 | | 141 | 141 | | | 77 |
| 389 | 373 | 70,4 | 40,0 | | 139 | 139 | _ | | 76 |
| 378 | 363 | 70,0 | 39,1 | | 134 | 134 | _ | | 74,1 |
| 364 | 352 | 69,4 | 38,0 | | 130 | 130 | | | 72,2 |
| 352 | 341 | 68,8 | 36,9 | | 121 | 121 | | | 68 |
| 342 | 333 | 68,4 | 36,0 | _ | 115 | 115 | | _ | 64,9 |
| 331 | 323 | 67,8 | 34,9 | | 112 | 112 | | | 63,1 |
| 322 | 315 | 67,4 | 34,1 | _ | 109 | 109 | _ | _ | 61 |
| 311 | 306 | 66,9 | 33,0 | | 104 | 104 | _ | | 58,1 |
| 303 | 298 | 66,5 | 32,1 | | 100 | 100 | | | 54,9 |

^{*}Данные [16].

Примечания:

- 1. Указанные в таблице значения твёрдости НВ соответствуют значениям твердости по Бринеллю, определенным с помощью шарика D=10 мм при нагрузке $P=30~\rm kH~(3000~krc)$.
- 2. Числа твёрдости, выделенные **жирным шрифтом**, приняты ГОСТами 2999 (HV), 9012 (HB) и 9013 (HR).

Пояснения: При необходимости определения HV_x для ранжируемого значения H_x , несовпадающего с табличным значением твёрдости, следует применять линейную интерполяцию для перевода $H_x \rightarrow HV_x$

$$HV_x = HV_1 + \frac{HV_2 - HV_1}{H_2 - H_1} \cdot (H_2 - H_x),$$

здесь H_x — значение твёрдости (HB_x , HRA_x , HRB_x , HRC_x), подлежащее ранжированию; H_1 , H_2 — интервал твёрдости ранжируемых показателей, внутри которого находится значение H_x ; HV_x — искомое значение сравниваемого показателя $H_x \rightarrow HV_x$; HV_1 , HV_2 — табличные значения

сравниваемого показателя твёрдости по Виккерсу ($H_1 \rightarrow HV_1$, $H_2 \rightarrow HV_2$), индекс 2 присвоен большему значению показателей твёрдости.

Пример. Определим значение HV_x для ранжируемого значения твёрдости по Бринеллю HB_x =390. По таблице выбираем значения вспомогательных величин: HB_1 =383, HV_1 =401, HB_2 =395, HV_2 =417. По формуле линейной интерполяции определяем искомое значение твёрдости по Виккерсу HV_x

$$HV_x = 401 + \frac{417 - 401}{395 - 383} \cdot (395 - 390) = 408$$

Таблица 2.1.12. Анизотропия свойств кристаллов и металлических полуфабрикатов

Анизотропия — различие свойств кристалла в зависимости от направления испытания. **А.** монокристалла обусловлена различной насыщенностью атомами разных направлений вследствие наличия кристаллического строения. Поликристаллы являются изотропными, т.е. у них отсутствует **А.** свойств.

Анизотропия свойств металлических полуфабрикатов

Стальные металлические полуфабрикаты имеют полосчатую ферритоперлитную структуру, ориентированную вдоль прокатки. Наличие такой полосчатой структуры вызывает сильную ${\bf A}$ свойств металла, т.е. различие свойств образцов, вырезанных вдоль и поперек прокатки. ${\bf A}$ свойств проката характеризуют отношением свойств металла в поперечном ${\bf X}_{\rm поп}$ и продольном ${\bf X}_{\rm прод}$ направлениях. В основном снижение поперечных свойств проката проявляется на характеристиках пластичности (ψ) и вязкости (KCU), прочностные свойства при этом менее чувствительны к полосчатости структуры металла. Обычно ударная вязкость имеет коэффициент анизотропии 0.5 (KCU $_{\rm пол}/{\rm KCU}_{\rm пол}=0.5$).

Свойства металла проката могут быть улучшены путем повышения чистоты металла по сере и кислороду, используя современные методы выплавки (вакуумирование металла) или уменьшения строчечности проката совершенствованием методов прокатки («поперечная прокатка»), коэффициент анизотропии ударной вязкости при этом достигает значений до 0.7-0.8.

Для стального горячекатаного проката наблюдается **А.** свойств также по толщине листа. Так в поверхностном слое листа наблюдаются микронадрывы, волосовины и другие дефекты. Поэтому при использовании горячекатаных листов предусматривается припуск толщины листовой заготовки для удаления дефектного слоя.

Таблица 2.1.13. Практическое применение некоторых металлов

Алюминий

В промышленности алюминий (А.) применяется как в чистом виде, так и в виде

Алюминий

сплавов. Конструкционные сплавы **A.** (силумины Al–Si, дуралюмины Al–Cu–Mn, магналии Al–Mg) обладают высокой удельной прочностью. В алюминиевых резервуарах большой ёмкости хранят и транспортируют жидкие газы (метан, кислород, водород и т. д.), азотную и уксусную кислоты, чистую воду, перекись водорода и пищевые масла. **A.** широко применяют для изготовления оборудования и аппаратов пищевой промышленности, для упаковки пищевых продуктов (в виде фольги), для производства разного рода бытовых изделий.

Пудра алюминиевая комкованная (САП) применяется для изготовления спеченных и деформированных алюминиевых сплавов. В настоящее время резко возросло потребление сплавов А. для отделки зданий, архитектурных, транспортных и спортивных сооружений. Сверхчистый А. употребляют в производстве электрических конденсаторов и выпрямителей, действие которых основано на способности окисной плёнки электрический ток только в одном направлении. А., очищенный зонной плавкой, применяется для синтеза полупроводниковых соединений типа $A_{III}B_{V}$, применяемых для производства полупроводниковых приборов. Чистый А. используют в производстве разного рода зеркал отражателей. А. высокой чистоты применяют для предохранения металлических действия атмосферной поверхностей ОТ коррозии (плакирование, алюминиевая краска). Обладая относительно низким сечением поглощения нейтронов, А. применяется как конструкционный материал в ядерных реакторах. Порошок алюминиевый применяется ДЛЯ синтеза алюминийорганических соединений.

Бериллий

Основные достоинства сплавов бериллия (**Б.**) – высокая удельная прочность (порядка 30 км) и удельная жёсткость до температур 600...800°С, высокая теплоёмкость и малое поперечное сечение захвата нейтронов; основные недостатки – низкая пластичность при комнатной и криогенных температурах, токсичность. Изделия и полуфабрикаты из сплавов **Б.** получают главным образом методами порошковой металлургии, реже литьём. В промышленности используется бериллизация – поверхностное диффузионное насыщение стали и др. сплавов **Б.** В результате этого повышается твёрдость стали, жаростойкость при 800...1000°С и коррозионная стойкость. **Б.** и его сплавы (главным образом с медью – бериллиевые бронзы) применяются в электротехнике, электронике, промышленности средств связи, ядерном реакторостроении (замедлители и отражатели тепловых нейтронов), аэрокосмической технике.

Ванадий

95% ванадия (В.) применяется в металлургии для легирования сталей

(быстрорежущие, низколегированные инструментальные и и струкциионные). Чистый металлический **В.** используют в атомной энергетике (оболочки для тепловыделяющих элементов, трубы) и в производстве электронных приборов. Соединения **В.** применяют в химической промышленности как катализаторы, в сельском хозяйстве и медицине, в текстильной, лакокрасочной, резиновой, керамической, стекольной, фото и кинопромышленности.

Вольфрам

В виде компонента сплавов вольфрам (**B.**) используется в легированных конструкционных и инструментальных сталях, инструментальных сплавах на основе карбида вольфрама (WC), в жаропрочных сплавах на Fe+Ni и Ni основе. В чистом виде вольфрам **B.** применяют для нитей накала электроламп, а также для изготовления деталей электровакуумных приборов в радиоэлектронике и рентгенотехнике.

Железо

Железо (Ж.) — важнейший металл современной техники. Более 90% металлических материалов являются сплавами Ж. (стали, чугуны). Сплавы Ж. применяются как конструкционные, инструментальные и специальные материалы.

Кобальт

Кобальт используют в качестве легирующего элемента в жаропрочных и жаростойких сталях и сплавах, для изготовления постоянных магнитов, для легирования быстрорежущей стали, для наплавочных материалов и др.

Магний

Основное применение металлического магния (М.) – производство сплавов на его основе. Сплавы М. пригодны для работы при криогенных, нормальных и повышенных температурах. Благодаря малой плотности, высокой удельной прочности, способности поглощения энергии удара и вибрационных колебаний, отличной обрабатываемости резанием сплавы М. широко используются в машиностроении, прежде всего для снижения массы повышения жёсткости. M. ИΧ широко металлотермических процессах получения трудновосстанавливаемых редких металлов (Ti, Zr, Hf, U и других), используют для раскисления и десульфурации металлов и сплавов. Смеси порошка М. с окислителями служат как осветительные и зажигательные составы.

Медь

Использование меди (**М.**) в технике обусловлено её высокой электропроводностью, пластичностью, теплопроводностью. Свыше 50 % добываемой **М.** применяют в электротехнической промышленности. Около 30-40 % **М.** используют в виде различных конструкционных сплавов, среди которых наибольшее значение имеют латуни (Cu+Zn), различные виды бронз (оловянная, алюминиевая, свинцовая, бериллиевая и др.), а также

медноникелевые сплавы (мельхиор, нейзильбер, манганин, константан и др.).

Молиблен

70-80 % добываемого молибдена (М.) идёт на производство легированных сталей. Металлический М. используют для изготовления анодов, сеток, катодов, держателей нити накала в электролампах. Молибденовые проволока и лента широко используются в качестве нагревателей для высокотемпературных печей.

Никель

Подавляющая часть никеля (**H.**) используется для получения сплавов с др. металлами (Fe, Cr, Cu и др.), отличающихся высокими механическими, антикоррозионными, магнитными или электрическими и термоэлектрическими свойствами. В связи с развитием реактивной техники и созданием газотурбинных установок особенно важны жаропрочные и жаростойкие хромоникелевые сплавы. **H.** используется также для производства щелочных аккумуляторов и антикоррозионных покрытий. Ковкий **H.** в чистом виде применяют для изготовления листов, труб и т.д. **H.** используется также в химической технологии как катализатор многих химических процессов.

Ниобий

или его сплавов изготовляют: детали летательных Из чистого ниобия аппаратов; оболочки для урановых и плутониевых тепловыделяющих элементов; контейнеры и трубы для жидких металлов; детали электрических конденсаторов; «горячую» арматуру электронных (для радарных установок) генераторных мощных ламп (аноды, катоды, сетки др.); коррозионноустойчивую аппаратуру химической промышленности. вводят нержавеющие хромоникелевые В предотвращения их межкристаллитной коррозии, в стали др. типов - для улучшения их свойств.

Олово

До 40% олова (**О.**) идёт на лужение консервной жести, остальное расходуется на производство припоев, подшипниковых и типографских сплавов. Двуокись **О.** SnO_2 применяется для изготовления жаростойких эмалей и глазурей. Соль **О.** станнит натрия $Na_2SnO_3 \cdot 3H_2O$ используется в протравном крашении тканей. Кристаллический SnS_2 («сусальное золото») входит в состав красок, имитирующих позолоту. Станнид ниобия Nb_3Sn – один из наиболее используемых сверхпроводящих материалов.

Свинец

Свинец применяют: в производстве свинцовых аккумуляторов; для изготовления заводской аппаратуры, стойкой в агрессивных газах и жидкостях; как материал для защиты от действия рентгеновских лучей (контейнеры для хранения радиоактивных веществ, аппаратура рентгеновских кабинетов и др.); для изготовления оболочек электрических

кабелей, защищающих их от коррозии и механических повреждений. Свинцовые сплавы применяют: в качестве припоев; подшипниковых сплавов; типографских сплавов; для отливки дроби и сердечников пуль; для решеток свинцовых аккумуляторов.

Сурьма

Сурьма применяется в основном в виде сплавов на основе свинца и олова для подшипниковых сплавов, аккумуляторных пластин, кабельных оболочек, сплавов, применяемых в полиграфии (гарт), и др.

Титан

Основная часть титана (Т.) расходуется на нужды авиационной и ракетной техники и морского судостроения. Т. (ферротитан) используют в качестве лигирующей добавки к качественным сталям и как раскислитель. Технический Т. идет на изготовление емкостей, химических реакторов, трубопроводов, арматуры, насосов, клапанов и других изделий, работающих в агрессивных средах. Из компактного Т. изготавливают сетки и другие детали элетктровакуумных приборов, работающих при высоких температурах. Карбид Т. (TiC), обладающий высокой твёрдостью, входит в состав инструментальных твёрдых сплавов, используемых для изготовления режущих инструментов и в качестве абразивного материала. Двуокись Т. (TiO₂) и титанат бария (ВаТiO₃) служат основой титановой керамики, а титанат бария – важнейший сегнетоэлектрик.

Хром

Использование хрома (X.) основано на его жаропрочности и устойчивости против коррозии. X. применяют: для выплавки хромистых сталей (хромаль, хромель, хромансиль). Алюмино- и силикотермический X. используют для выплавки хромоникелевых сплавов (НИХРОМ, НИМОНИК). X. используют для получения декоративных коррозионно-стойких покрытий (хромирование). Порошковый X. применяют в производстве металлокерамических изделий и материалов для сварочных электродов. Из смеси хромита ($FeCr_2O_4$) и магнезита ($MgCO_3$) изготовляют огнеупорные изделия.

Цинк

Около половины производимого цинка (**Ц.**) расходуется на защиту стали от коррозии (ЦИНКОВАНИЕ). Цинковые сплавы применяются в качестве конструкционных (латунь, нейзильбер) и специальных (подшипниковые сплавы). **Ц.** применяется для рафинирования свинца от благородных металлов. В виде порошка **Ц.** служит восстановителем в ряде химикотехнологических процессов: в производстве гидросульфита, при осаждении золота из промышленных цианистых растворов, меди и кадмия при очистке растворов цинкового купороса и др. Многие соединения **Ц.** являются люминофорами, например три основных цвета на экране кинескопа зависят

от ZnS-Ag (синий цвет), ZnSe-Ag (зелёный цвет) и Zn₃(PO₄) $_2$ ·Mn (красный цвет). Наиболее распространённые химические источники тока (например, Лекланше элемент, окиснортутный элемент) имеют в качестве отрицательного электрода **Ц.**

Таблица 2.1.14.

Рекристаллизация сплавов

При холодной деформации (см. ниже) металл приобретает волокнистую структуру, происходит деформационное упрочнение (наклёп) металла (повышается прочность, снижается пластичность). При этом структура термодинамически неустойчивой. металла становится Последующее нагревание выше определённой температуры $(t_{\Pi P})$ приводит разупрочнению металла (снижается прочность, восстанавливается пластичность).

Рекристаллизация — процесс зарождения и роста новых зёрен с меньшим количеством дефектов строения, чем в волокнистой структуре деформированного металла. В отличии от перекристаллизации (изменение типа кристаллической решётки при нагревании вследствие полиморфного превращения), присущей некоторым металлам, рекристаллизация является явлением, присущим всем металлам и сплавам.

А.А.Бочвар получил формулу для определения температурного порога рекристаллизации ($T_{\Pi P},\,t_{\Pi P}$)

 $T_{\Pi P} = k \cdot T_{\Pi \Pi}, \quad K$

 $T_{\Pi\Pi}$ — температура плавления металла (для сплавов температура солидус), K; k — коэффициент, зависящий от вида металла (k=0,15 для чистых металлов; k=0,4 технически чистые металлы; k=0,55 сплавы).

Переход от «Кельвинов» к «Градусам Цельсия» $\to t_{\Pi P} = T_{\Pi P} - 273$.

В зависимости от соотношения температуры обработки давлением $t_{\text{ОБР}}$ и температуры рекристаллизации $t_{\text{ПР}}$ различают следующие виды деформации: холодная $\rightarrow t_{\text{ОБР}} < t_{\text{ПР}}$; горячая $\rightarrow t_{\text{ОБР}} > t_{\text{ПР}}$.

Рекристаллизационный отжиг – термическая обработка, служащая для восстановления пластичности металла после холодного деформирования.

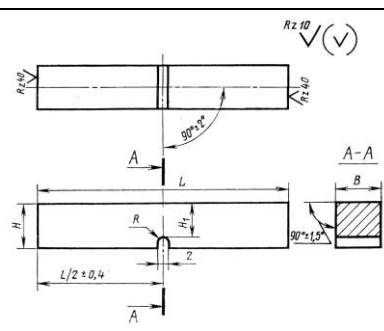
$t_{PEKP.OTX} > t_{\Pi P}$

Температуры рекристаллизации, рекристаллизационного отжига и горячей обработки металлов давлением

| | Температура, град С | | | | |
|----------------|-----------------------------|-----------------------|-------------------|--|--|
| Металл, символ | $t_{\Pi P}$ для $k{=}0{,}4$ | t _{РЕКР.ОТЖ} | горячей обработки | | |
| | | | давлением | | |
| Железо, Fe | 450 | 600700 | 1300800 | | |
| Сталь | 450 | 600700 | 1300 (1100)800 | | |
| Медь, Си | 270 | 450500 | 800600 | | |
| Латунь | 250 | 400500 | 750600 | | |
| Алюминий, Al | 100 | 250350 | 460350 | | |
| Молибден, Мо | 900 | 14001600 | 14002000 | | |

Таблица 2.1.15. Надрезанные образцы для ударного изгиба

По ГОСТ 9454—78 ударная вязкость КСU (образец Менаже), КСV (образец Шарпи), КСТ (образец с трещиной нормированной глубины) определяется на надрезанных образцах по результатам их испытания ударным изгибом на маятниковом копре (см. таблицу 2.1.5). На рисунке показан образец с U-образным надрезом (образец Менаже). Рекомендуемые ГОСТ 9454—78 размеры образцов с U-образным и V-образным надрезом представлены в таблице.

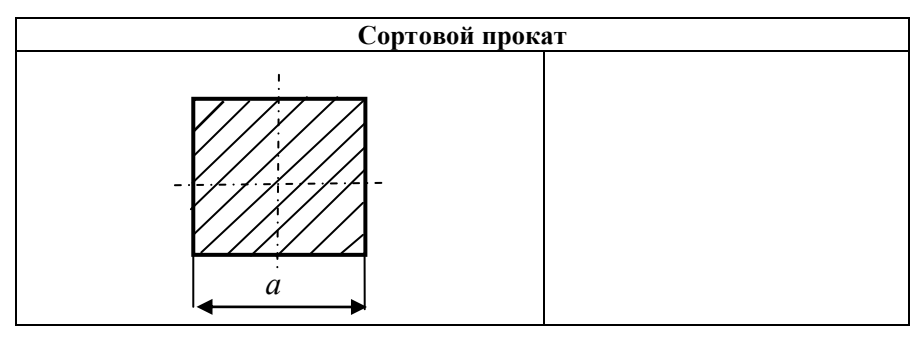


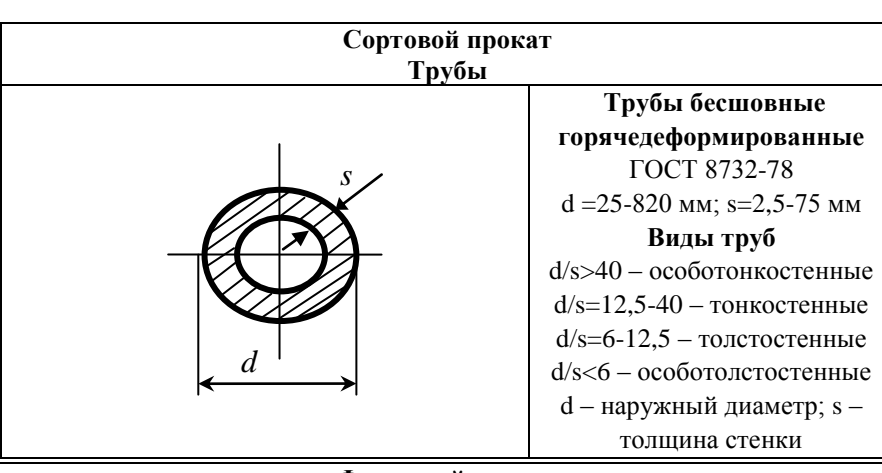
| | Концентратор | Тип | R $L\pm0.6$ | | В | $H \pm 0,1$ | H_1 | |
|--|----------------------|-----|------------------|----|---------------|-------------|-------------|--|
| | | | | L | MM | | 1 | |
| | | 1 | | 55 | 10±0,1 | 10 | 8±0,1 | |
| | <i>U</i> (Менаже) | 2 | | | 7,5 ± 0,1 | 10 | 8 ± 0,1 | |
| | | 3 | | | 5±0,05 | 10 | 8 ± 0,1 | |
| | | 4 | | | $2 \pm 0,05$ | 8 | 6±0,1 | |
| | | 5 | 1±0,1 | | $10\pm0,1$ | 10 | $7 \pm 0,1$ | |
| | | 6 | | | $7,5 \pm 0,1$ | 10 | $7 \pm 0,1$ | |
| | | 7 | | | $5 \pm 0,05$ | 10 | $7 \pm 0,1$ | |
| | | 8 | | | $10\pm0,1$ | 10 | $7 \pm 0,1$ | |
| | | 9 | | | $7,5 \pm 0,1$ | 10 | $5 \pm 0,1$ | |
| | | 10 | | | 5 ± 0.05 | 10 | $5 \pm 0,1$ | |
| | | 11 | | | $10\pm0,1$ | 10 | $8 \pm 0,1$ | |
| | <i>V</i> (Шарпи) | 12 | 0.25 ± 0.025 | 55 | $7,5 \pm 0,1$ | 10 | $8 \pm 0,1$ | |
| | | 13 | 0,23 ±0,025 | | 5 ± 0.05 | 10 | $8 \pm 0,1$ | |
| | | 14 | | | 2 ± 0.05 | 8 | $6 \pm 0,1$ | |

Образцы типа 1–4 являются предпочтительными при решении задач №№ 1.2.41–1.2.56.

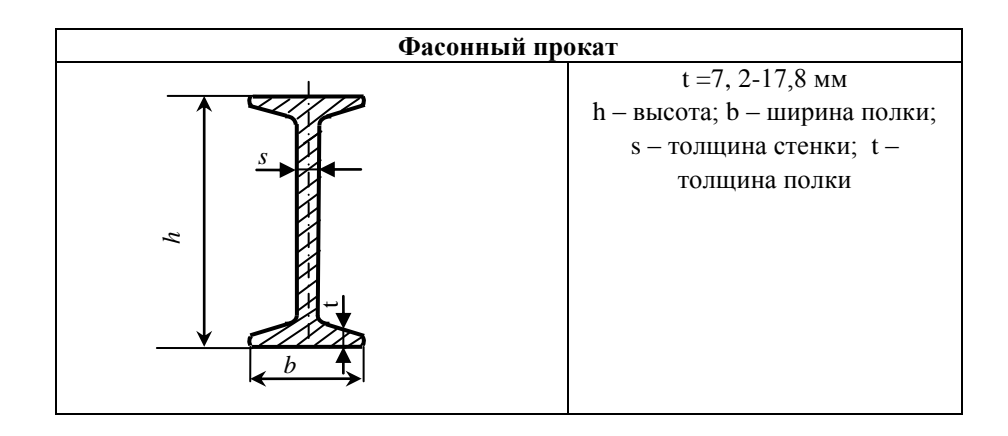
Таблица 2.1.16. Некоторые виды металлических полуфабрикатов

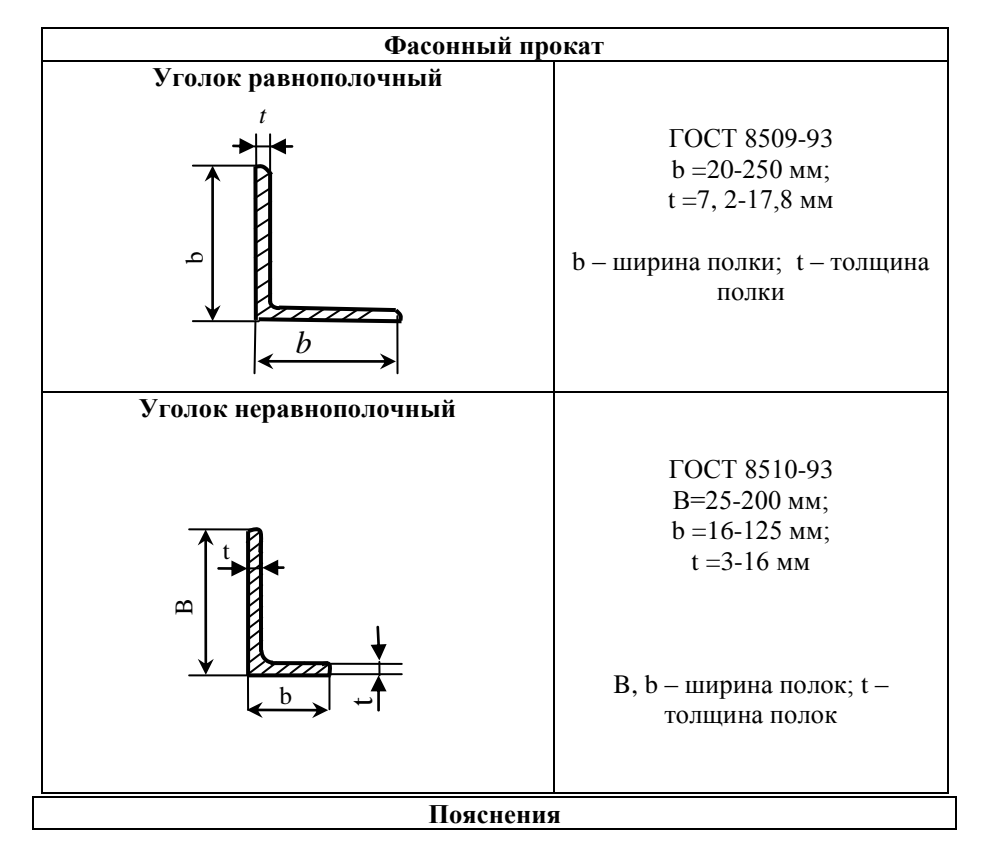
| Вид сечения | ГОСТ; размеры, мм |
|-------------|---|
| Листовой пр | окат |
| S b | Прокат горячекатаный ГОСТ 19903-90 s=0,4-160 мм; b= мм; l= мм Прокат холоднокатаный ГОСТ 19904-90 s=0,35-5 мм; b=500-2350 мм; l=1000-6000 мм. Виды листового проката s<0,2 мм — фольга s=0,2-4 мм — тонкий лист s>4 мм — толстый лист s, b, l — толщина, ширина, длина |
| Сортовой пр | , , |
| Круглый | Прокат обычной точности |
| | ГОСТ 2950-88 $d=5-200 \text{ мм}$ Прокат калиброванный ГОСТ 7417-75 $d=3-100 \text{ мм}$ Прокат со специальной отделкой поверхности (серебрянка) ГОСТ 14955-77 $d=0,2-50 \text{ мм}$ В, $H-$ размеры сечения надрезанного образца (см. таблицу 1 учебного пособия) Соотношение между диаметром проката и размерами сечения надрезанного образца $d^2 = B^2 + H^2$ |
| Квадратный | W D 111 |
| • • | ГОСТ 2591-88 a=6-200 мм |









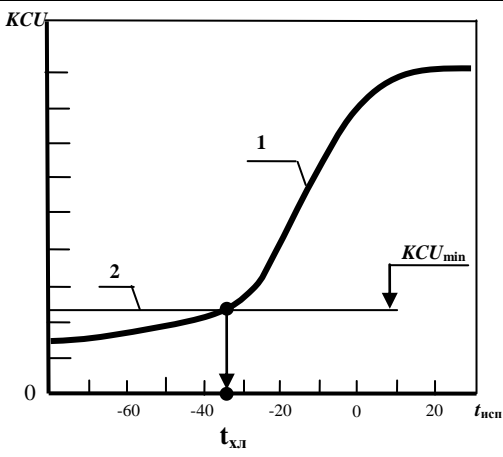


Пояснения

При выборе типа образца лимитирующим является размер исследуемого полуфабриката, ограничивающий сечение ударного образца. Для листового и фасонного проката тип образца согласуйте с толщиной ѕ или t. При этом необходимо также предусмотреть возможность снятия дефектного слоя на поверхности проката при изготовлении образца, чтобы избежать анизотропии свойств металла по толщине надрезанного образца. Минимальный припуск на механическую обработку составляет 0,5 мм на сторону. При выборе типа образца следует отдавать предпочтение образцам типа 1, 2, 3, 4. (таблица 2.1.15).

Таблица 2.1.17. Порог хладноломкости стали

Под порогом хладноломкости принято понимать интервал температур испытания, в котором разрушение металла образца переходит от вязкого разрушение к хрупкому. Практическое значение порога хладноломкости для инженерной практики состоит в том, что знание его значения позволяет определить температурный интервал применения данной стали при эксплуатации. Рабочая температура эксплуатации изделия всегда должна быть выше порога хладноломкости стали. Упрощённый метод определения порога хладноломкости $t_{x_{7}}$ состоит в использовании табличных значений ударной вязкости стали и нормативного запаса вязкости KC_{\min} стального изделия. На рисунке показана схема упрощенного определения $t_{x_{7}}$.



Графические построения определения порога ДЛЯ хладноломкости стали, опираясь на табличные значения ударной вязкости: температурная зависимость ударной вязкости для исследуемой стали; уровень нормированного запаса ударной вязкости ДЛЯ стального изделия.

При упрощенном определении порога хладноломкости его величина определяется как абсцисса точки пересечения кривой 1 (температурная зависимость ударной вязкости) и изолинии 2 (уровень нормативного запаса вязкости для стального изделия).

Таблица 2.1.18. Уравнения регрессии^{*} для пересчёта «твёрдость ↔ предел прочности»

| Эмпирическая формула | Интервал изменения аргумента | | | | |
|---|---|--|--|--|--|
| Сталь без термообработки или после отжига | | | | | |
| $\sigma_{\scriptscriptstyle B} = 0.36 \cdot HB$ | <i>HB</i> = 86–368 | | | | |
| $\sigma_{\scriptscriptstyle B} = 10,885 \cdot e^{0,02HRB}$ | HRB=52-100 | | | | |
| $HB = 2.81 \cdot \sigma_B$ | $\sigma_{\scriptscriptstyle B}$ =30–130 | | | | |
| $HRB = 49,54 \cdot \ln \sigma_{\scriptscriptstyle B} - 117$ | $\sigma_B = 34-83$ | | | | |
| Сталь термообработанная (зака | ленная или закалённая + отпущенная) | | | | |
| $\sigma_{\scriptscriptstyle B} = 0.34 \cdot HB - 2$ | <i>HB</i> = 177–450 | | | | |
| $\sigma_B = 38.8 \cdot e^{0.0303HRC}$ | HRC=20-67 | | | | |
| $HB = 2.92 \cdot \sigma_{\scriptscriptstyle B} + 5$ | $\sigma_{\scriptscriptstyle B}$ =60–155 | | | | |
| $HRC = 32,86 \cdot \ln \sigma_B - 120$ | σ_B =77–310 | | | | |

^{*}Уравнения регрессии получены по данным [22].

Размерность величин, входящих в эмпирические формулы: [σ_B], [HB] в кгс/мм². Для перехода к размерности механических напряжений СИ используйте приближенный пересчёт 1 кгс/мм² ≈ 10 МПа.

Пояснения: При пользовании приведёнными уравнениями регрессии следует иметь ввиду, что они позволяют оценивать свойства только углеродистых сталей. Приведённые уравнения нельзя применять: для высоколегированных сталей в сложном структурном состоянии; для сталей после поверхностного упрочнения; в холоднодеформированном состоянии, при наличии анизотропии структуры и свойств; для сталей в высокопрочном состоянии, например, после термомеханической обработки; для специальных сталей, имеющих отличный от углеродистых сталей механизм упрочнения, в частности для мартенситно-стареющих сталей и в некоторых других случаях.

2.2. Двойные сплавы

Таблица 2.2.1. Основные термины и понятия по теме «Двойные сплавы»

| термин – определение. пояснения. | | | | | | |
|--|--|--|--|--|--|--|
| Чистый металл – металл, имеющий суммарное количество примесей | | | | | | |
| 0,001-0,01 %. Ч.м. используются для электротехнических целей, реализации | | | | | | |
| химических технологий и др. | | | | | | |

Технически чистый металл — металл, имеющий суммарное количество примесей $0,1\div0,5$ %. **Т.ч.м.** используются для получения технических сплавов.

Термин - определение. Пояснения.

Сплав — вещество, полученное сплавлением двух и более компонентов. С. обозначаются символами компонентов сплава: Fe-C, Cu-Zn, Cu-Ni и др. Обобщенно С. обозначается А-В. Классификация сплавов представлена в таблице 2.2.2. Состав сплавов характеризуется массовыми, атомными или объемными долями (таблица 2.2.3).

Компонент сплава – составляющая сплава. **К. с.** может быть металлом (Fe, Cu, Ni, Al и др.), неметаллом (C, Si и др.), соединением (Fe₃C, WC, CuAl₂ и др.).

Фаза — обособленная часть сплава, отделенная от других частей сплава поверхностью раздела, при переходе через которую свойства сплава изменяются скачкообразно. В сплаве **Ф.** представляют собой: чистые компоненты (A, B), твердые растворы (A(B), B(A)), химические соединения $(A_m B_n)$.

Критическая точка — температура, при которой в сплаве происходят фазовые превращения (изменения фазового состава). В зависимости от характера превращения **К.т.** имеют собственные имена: ликвидус, солидус, сольвус и др. (таблица 2.2.4).

Кристаллизация — образование кристаллов из паров, растворов, расплавов, веществ, находящихся в твёрдом состоянии (аморфном или другом кристаллическом), в процессе электролиза и при химических реакциях. **К.** является примером фазового перехода 1-го рода и сопровождается выделением теплоты (скрытая теплота кристаллизации).

К. первичная – переход металла из жидкого или парообразного состояния в твёрдое с образованием кристаллической структуры.

 К. вторичная – образование новых кристаллов в твёрдом кристаллическом вещёстве.

Для начала **К.** необходимо, чтобы процесс был выгоден системе и сопровождался уменьшением её свободной энергии.

Кристаллит – монокристалл неправильной формы, не имеющий характерной кристаллической огранки. К **К.** относят дендриты, зерна кристаллические металлических слитков, горных пород, минералов и т.д.

Температура кристаллизации — температура, при которой происходит переход вещества в кристаллическое состояние (см. таблицу 2.2.4).

Степень переохлаждения — разность между теоретической и фактической температурой кристаллизации. Увеличение С.п. сплава приводит к измельчению зёрен слитка.

Термин - определение. Пояснения.

Твердый раствор A(B) или α , β – раствор одного компонента (растворенное вещество (B)) в другом (растворитель (A)). **Т.р.** имеет кристаллическую решётку растворителя и однотипные зёрна структуры. Различают **Т.р.** замещения и внедрения. **Т.р.** замещения возможны при различии атомных радиусов компонентов сплава не более 15% (размерный фактор), примеры: Cu(Ni), Cu(Au), Bi(Sb), Ge(Si) и др. **Т.р.** внедрения возникают при сплавлении металлов с неметаллами, имеющими малый атомный радиус (H, N, C, B), примеры: феррит – Fe_{α} (C); аустенит – $Fe_{\gamma}(C)$ и др. **Т.р.** существует в интервале концентраций, растворимость компонентов **Т.р.** увеличивается с ростом температуры.

Химическое соединение A_nB_m — фаза, образующаяся в случае, когда компоненты сплава вступают в химическую реакцию. **Х.с.** имеет ионный или металлический тип межатомной связи. С неметаллами (**H**) металлы (**Me**) в сплавах образуют **Х.с.** вида Me_nH_m (оксиды, сульфиды, карбиды и др.). Такие **Х.с.** являются фазами постоянного состава. Между собой в сплавах металлы образуют **Х.с.** переменного состава, называемые металлическими соединениями или интерметаллидами (FeCr, FeSb, NiSb и др.).

Механическая смесь компонентов сплава образуется, когда они не способны к взаимному растворению в твердом состоянии и не вступают в химическую реакцию друг с другом. **М.с.**, образующаяся из жидкой фазы при постоянной температуре называется **эвтектикой** (например, ледебурит Fe—C сплавов) из твердой фазы — **эвтектоидом** (например, перлит Fe—C сплавов).

Составляющие **M.с.** сохраняют свою кристаллическую решётку. **M.с.** могут представлять собой: [A+B], $[A+\beta]$, $[A+A_mB_n]$ и др. варианты.

Диаграмма состояния системы — графическое изображение фазового (или структурно-фазового) состава сплавов системы в зависимости от температуры (ось ординат) и концентрации компонентов (ось абсцисс). Д.с. обозначаются символами компонентов: Pb—Sb, Zn—Sn и др. Первый символ в обозначении находится на правой ординате Д. с., второй — на левой. Ось абсцисс принято маркировать содержанием второго компонента Д. с., иногда ось абсцисс имеет двойную маркировку (например, Д.с. Fe—Fe₃C маркируется по углероду и цементиту). Некоторые Д.с., используемые в задачах сборника, представлены в таблице 2.2.13.

Фазовый состав сплава — совокупность фаз, образующих сплав данного состава при данной температуре $\Phi C = \Sigma \Phi_i$. При анализе **Ф.с.** сплава определяют компонентный состав фаз (правило концентраций), и их относительное количество (правило отрезков).

Термин - определение. Пояснения.

Структурно-фазовый состав сплава — совокупность элементов структуры сплава данного состава при комнатной температуре. В сплавах, не имеющих в структуре элементов в виде механических смесей (эвтектика или эвтетоид), С-ф.с. и фазовый состав идентичны СФС≡ФС. Количество эвтектики или эвтектоида в сплаве определяется по правилу треугольника.

Структура – наблюдаемое строение сплава. В зависимости от способа наблюдения строения сплава различают макро- и микроструктуру.

Макроструктура — строение сплава, видимое невооруженным глазом или при небольшом увеличении в 30-40 раз. М. можно исследовать по излому и на макрошлифах (темплетах). Исследованием макрошлифа можно определить: форму и расположение зёрен в литом металле; волокна (деформированные кристаллиты) в поковках и штамповках; макродефекты, нарушающие сплошность металла (усадочная рыхлость, газовые пузыри, раковины, трещины и т.д.); химическую неоднородность (ликвация) сплава, вызванную процессом неравновесной кристаллизации или созданную термической или химико-термической (цементация, азотирование и др.) обработкой.

Микроструктура – строение металла, наблюдаемое с помощью микроскопа (оптического или электронного). Элементами М. являются зёрна (сечение кристаллитов плоскостью шлифа). Зёрна могут фазами механическими смесями компонентов сппава (эвтектиками эвтектоидами). Для наблюдения М. в оптическом микроскопе исследуемого сплава изготовляют микрошлиф (небольшой фрагмент металла, помещенный в оправку, который шлифуют, полируют и подвергают травлению для выявления границ зерен). Световой микроскоп позволяет проводить наблюдение М. при увеличении до 2000 раз. Для исследования поверхности изломов применяются растровые электронные микроскопы обладают большой глубиной резкости $(P\Theta M)$ которые разрешающую способность до 3·10⁻⁸ м.

Тонкая структура (субструктура) — структура металла, имеющая размеры, близкие к межатомным расстояниям. **Т.с.** наблюдается с помощью электронного микроскопа в режиме отражения или на просвет. Электронный микроскоп позволяет исследовать объекты до $2 \cdot 10^{-10}$ м.

Таблица 2.2.2. Классификация сплавов

| Опорный признак | Наименование вида сплава | | |
|-------------------|---|--|--|
| Число компонентов | Двойной | | |
| число компонентов | Тройной и др. | | |
| | Однофазный (фаза: твердый раствор, интерметаллид) | | |
| Число фаз | Многофазный (фазы: чистый компонент, твердый | | |
| | раствор, химическое соединение) | | |
| Основа | Железный | | |

| Опорный признак | Наименование вида сплава | | | |
|--------------------|--|--|--|--|
| | Алюминиевый | | | |
| | Медный | | | |
| | Никелевый и др. | | | |
| Основной | Хромистая сталь | | | |
| легирующий элемент | Бериллиевая бронза и др. | | | |
| | Конструкционный (для деталей машин, | | | |
| | воспринимающих нагрузки) | | | |
| Назначение | Инструментальный (для режущего, деформирующего | | | |
| Пазначение | и мерительного инструмента) | | | |
| | Специальный (обладает определённым физико- | | | |
| | химическим свойством) | | | |
| | Антифрикционный | | | |
| | Жаропрочный | | | |
| Основное | Жаростойкий | | | |
| эксплуатационное | Износостойкий | | | |
| свойство | Химически стойкий | | | |
| | С особыми физическими свойствами (тепловые, | | | |
| | магнитные, электрические) | | | |
| | Деформируемый (для получения металлических | | | |
| Технология | полуфабрикатов) | | | |
| изготовления | Литейный (для получения фасонных отливок) | | | |
| изделий | Спеченный (изделия получают методами | | | |
| | порошковой металлургии) | | | |
| | Термически упрочняемый | | | |
| Технология | Термически неупрочняемый | | | |
| | Химико-термическое упрочнение | | | |
| упрочнения | Деформационное упрочнение | | | |
| | Другие виды упрочнения | | | |

Таблица 2.2.3. Расчет состава сплавов

| Массовые доли компонентов сплава $C\!-\!D\!-\!L$ | | | | |
|--|--|--|--|--|
| Обозначения: x_C , x_D , x_L — массовая доля компонентов; m_C , m_D , m_L — масса | | | | |
| компонентов в сплаве; $m_{\text{СПЛ}}$ – масса сплава. | | | | |
| Определение: Массовая доля компонента – отношение массы компонента к | | | | |
| массе сплава, взятое в процентах. | | | | |
| | | | | |

Проверка: $x_C + x_D + x_L = 100 \%$

Примечание: Массовые доли используются при рассмотрении вопросов производства и практического применения сплавов. Массовые доли — наиболее употребительная характеристика состава сплавов в инженерном материаловедении. Использование массовых долей в тексте расчетов может дополнительно не оговариваться.

Атомные доли компонентов сплава $\,C\!-\!D\!-\!L\,$

Обозначения: y_C, y_D, y_L – атомная доля компонентов; n_C, n_D, n_L – число атомов компонента; n_{CIII} – число атомов в сплаве; $A_r(C), A_r(D), A_r(L)$ – относительная атомная масса элементов, образующих компоненты сплава; x_C, x_D, x_L – массовая доля компонентов.

Определение: Атомная доля компонента – отношение числа атомов компонента к общему числу атомов в определенном количестве сплава, взятое в процентах.

Формулы:
$$y_C = \frac{n_C}{n_{CII.I}} \cdot 100\%$$
; $y_D = \frac{n_D}{n_{CII.I}} \cdot 100\%$; $y_L = \frac{n_L}{n_{CII.I}} \cdot 100\%$;

Проверка: $y_C + y_D + y_L = 100\%$

Пересчет:

массовые доли → атомные доли

$$y_{C} = \frac{x_{C}}{x_{C} + x_{D} \cdot \frac{A_{r}(C)}{A_{r}(D)} + x_{L} \cdot \frac{A_{r}(C)}{A_{r}(L)}} \cdot 100\%$$

$$y_{D} = \frac{x_{D}}{x_{D} + x_{C} \cdot \frac{A_{r}(D)}{A_{r}(C)} + x_{L} \cdot \frac{A_{r}(D)}{A_{r}(L)}} \cdot 100\%$$

$$y_{L} = \frac{x_{L}}{x_{L} + x_{C} \cdot \frac{A_{r}(L)}{A_{r}(C)} + x_{D} \cdot \frac{A_{r}(L)}{A_{r}(D)}} \cdot 100\%$$

Пересчет:

атомные доли → массовые доли

$$\begin{aligned} x_C &= \frac{y_C \cdot A_r(C)}{y_C \cdot A_r(C) + y_D \cdot A_r(D) + y_L \cdot A_r(L)} \cdot 100\% \\ x_D &= \frac{y_D \cdot A_r(D)}{y_C \cdot A_r(C) + y_D \cdot A_r(D) + y_L \cdot A_r(L)} \cdot 100\% \end{aligned}$$

$$x_{L} = \frac{y_{L} \cdot A_{r}(L)}{y_{C} \cdot A_{r}(C) + y_{D} \cdot A_{r}(D) + y_{L} \cdot A_{r}(L)} \cdot 100\%,$$

здесь A_r – атомная масса компонента сплава, см. таблицы 2.1.1, 2.1.2.

Примечание: Атомные доли используются преимущественно при анализе взаимосвязи состав ↔ свойства сплавов, компоненты которых образуют химические соединения. Использование атомных долей в расчетах обязательно оговаривается в тексте.

Объемные доли компонентов сплава C-D-L

Обозначения: v_C, v_D, v_L – объемная доля компонентов; V_C, V_D, V_L – объем, занимаемый компонентами сплава; V – объем сплава; m_C, m_D, m_L – масса компонентов сплава; ρ_C, ρ_D, ρ_L – плотность компонентов сплава; x_C, x_D, x_L – массовая доля компонентов.

Определение: Объемная доля компонента – отношение объема, занимаемого компонентом в определенном количестве сплава, к объему сплава, взятое в процентах.

Формулы:
$$v_C = \frac{V_C}{V_{CIII}} \cdot 100\,\%$$
 или $v_C = \frac{\frac{m_C}{\rho_C}}{\frac{m_C}{\rho_C} + \frac{m_D}{\rho_D} + \frac{m_L}{\rho_L}} \cdot 100\%$ $v_D = \frac{V_D}{V_{CIII}} \cdot 100\,\%$ или $v_D = \frac{\frac{m_D}{\rho_D}}{\frac{m_C}{\rho_C} + \frac{m_D}{\rho_D} + \frac{m_L}{\rho_L}} \cdot 100\%$ $v_L = \frac{V_L}{V_{CIII}} \cdot 100\,\%$ или $v_L = \frac{\frac{m_L}{\rho_C}}{\frac{m_C}{\rho_C} + \frac{m_D}{\rho_D} + \frac{m_L}{\rho_L}} \cdot 100\%$ Проверка: $v_C + v_D + v_L = 100\,\%$

Пересчет:

массовые доли → объемные доли

$$v_C = \frac{x_C}{x_C + x_D \cdot \frac{\rho_C}{\rho_D} + x_L \cdot \frac{\rho_C}{\rho_L}} \cdot 100\%$$

$$v_D = \frac{x_D}{x_D + x_C \cdot \frac{\rho_D}{\rho_C} + x_L \cdot \frac{\rho_D}{\rho_L}} \cdot 100\%$$

$$v_L = \frac{x_L}{x_L + x_C \cdot \frac{\rho_L}{\rho_C} + x_D \cdot \frac{\rho_L}{\rho_D}} \cdot 100\%$$

Примечание: Объемные доли используются для сплавов, компоненты которых не взаимодействуют друг с другом и значительно различаются по плотности, например конструкционные чугуны, композиционные материалы и др. Использование объемных долей в расчетах обязательно оговаривается в тексте.

Таблица 2.2.4. Критические точки металлов и сплавов

| Название точки | Фазовое превращение | Примечания | | |
|---|---|---|--|--|
| (обозначение) | при охлаждении | | | |
| | (нагревании) | | | |
| Ликвидус, t_L (точка первичной кристаллизации) $\mathcal{K} \!$ | Начало выпадения твердой фазы TB в жидком расплаве \mathcal{K} (конец расплавления твердой фазы). | Для чистых компонентов и эвтектических сплавов t_L и t_S | | |
| Солидус, t_S (точка первичной кристаллизации) $\mathcal{K} \!$ | Конец выпадения твердой фазы <i>ТВ</i> в жидком расплаве <i>Ж</i> (начало расплавления твердой фазы). | совпадают — это температура плавления компонента t_{n_1} , т.е. $t_{n_2} = t_L = t_S$ | | |
| Сольвус, t_C (точка вторичной кристаллизации) $TB \!\!\!\!\!\leftrightarrow \!$ | Выпадение вторичной фазы TB_{II} в результате снижения растворимости компонентов сплава в твердом состоянии (растворение одной из фаз в результате повышения растворимости компонентов сплава в твердом состоянии). | Вторичная фаза представляет собой химическое соединение A_nB_m | | |
| Точка Кюри | Приобретение | Не связано с | | |
| (точка магнитного | ферромагнитных свойств | перекристаллизацией. | | |
| превращения) | твердой фазой (потеря | <i>Ni</i> − 360 ° <i>C</i> | | |

| Название точки (обозначение) | Фазовое превращение при охлаждении (нагревании) | Примечания |
|--|--|--|
| | ферромагнитных свойств твердой фазой). | Fe – 768 °C Co – 1150 °C |
| Полиморфное превращение, $t_{\alpha\beta}$ (точка перекристаллизации) $TB_{\alpha} \leftrightarrow TB_{\beta}$ | Переход высокотемпературной TB_{β} аллотропической формы в низкотемпературную TB_{α} (переход низкотемпературной аллотропической формы в высокотемпературную) | Для сплавов перекристаллизация проходит в интервале температур |

Таблица 2.2.5.

Кривая охлаждения сплава

Кривая охлаждения — зависимость температуры сплава от времени. Для исследования температуры сплава при охлаждении используется плавильная печь с устройством для регистрации температуры (см. рис. 1).

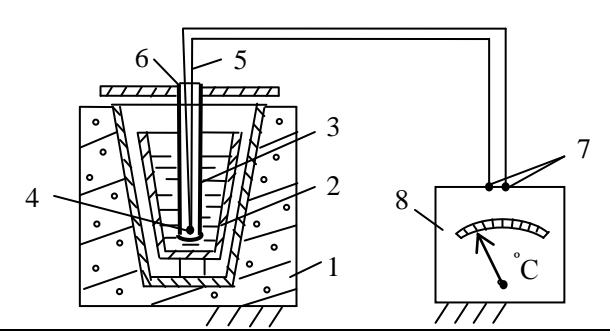


Рис. 1. Принципиальная экспериментальной установки схема ДЛЯ исследования кинетики охлаждения сплава при кристаллизации: плавильная печь: 2 тигель; 3 расплав навески исследуемого сплава; 4 горячий спай термопары; 5 провода термопары; 6 защитный колпачок термопары; 7 холодный спай термопары; 8 гальванометр.

Кривая охлаждения строится по данным хронометража охлаждения сплава с помощью команды «Мастер диаграмм» программы *Excel* (см. рис. 2).

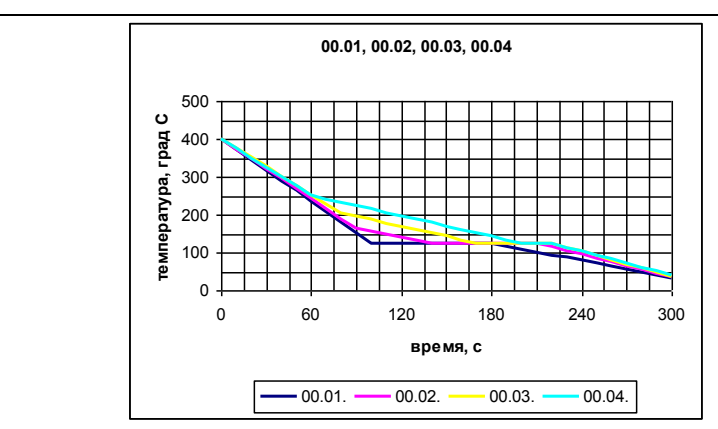


Рис. 2. Кривые охлаждения сплавов: 00.01 — эвтектический сплав; 00.02—00.04 — сплавы с эвтектикой.

Критические точки сплава (см. таблицу 2.2.4) определяются по кривой охлаждения, как абсциссы точек перегибов кривой охлаждения.

Таблица 2.2.6. Термокинетическая диаграмма кристаллизации сплава

Термокинетическая диаграмма кристаллизации (ТКДК) сплава — зависимость скорости охлаждения сплава от температуры. Для исследования кинетики кристаллизации в лабораторных работах используются виртуальные сплавы двойных систем, имеющие эвтектическое превращение: Ag–Cu, Al–Si, Bi–Cd, Cd–Pb, Cd–Zn, Pb–Bi, Pb–Sb, Sn–Bi, Sn–Pb, Zn–Sn.

Если имеется таблица хронометража охлаждения сплава, то скорость охлаждения сплава может быть определена численным дифференцированием температуры сплава по времени с помощью команды «Редактор формул» программы *Excel*. Для численного дифференцирования трансформируется таблица хронометража охлаждения сплава (см. таблицу). В столбцах «С», «Е», «G», «І» вычисляются значения скорости охлаждения сплава.

| | A (1) | B (2) | C (3) | D (4) | E (5) | F (6) | G (7) | H (8) | I (9) |
|----|--------|-------|--------|-------|--------|-------|--------|-------|--------|
| 1 | Спл | 00.01 | 00.01 | 00.02 | 00.02 | 00.03 | 00.03 | 00.04 | 00.04 |
| 2 | «B», % | | | | | | | | |
| 3 | τ, c | ° C | град/с |
| 4 | 0 | | | | | | | | |
| 5 | 10 | | | | | | | | |
| 6 | 20 | | | | | | | | |
| | | | | | | | | | |
| 32 | 280 | | | | | | | | |
| 33 | 290 | | | | | | | | |

Из ТКДК значение критической температуры сплава определяется как абсцисса порогового изменения скорости охлаждения сплава (см. рис. 1–4).

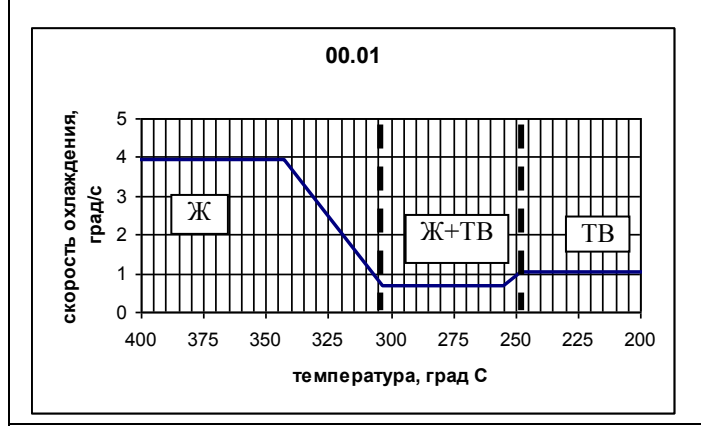


Рис. 1. ТКДК сплава без эвтектики $(t_L=303^{\circ}C; t_S=248^{\circ}C)$

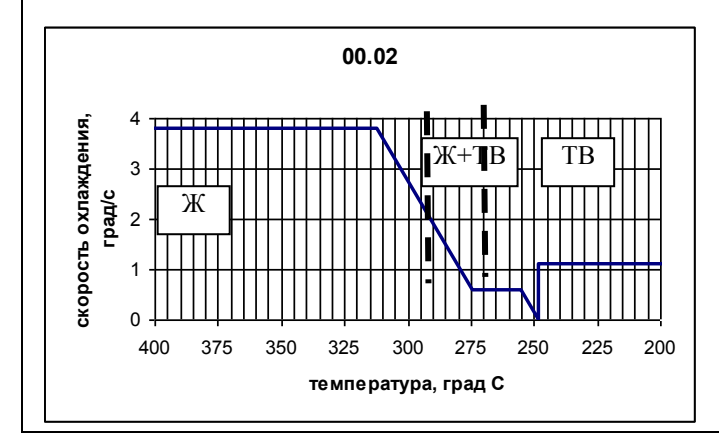


Рис. 2. ТКДК сплава с эвтектикой $(t_L=274^{\circ}C; t_S=t_{\rm 3BT}=248^{\circ}C)$

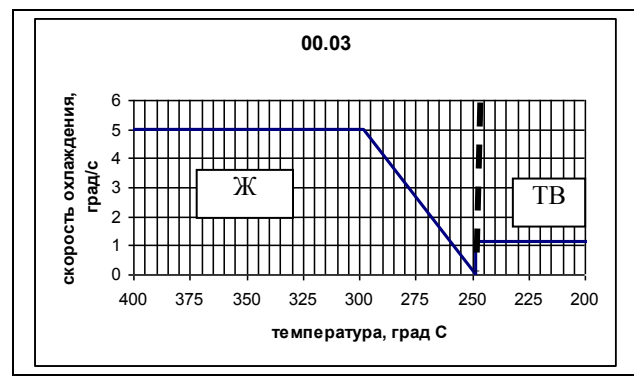


Рис. 3. ТКДК эвтектического сплава (t_I= $t_S=t_{\ni BT}=248^{\circ}C)$

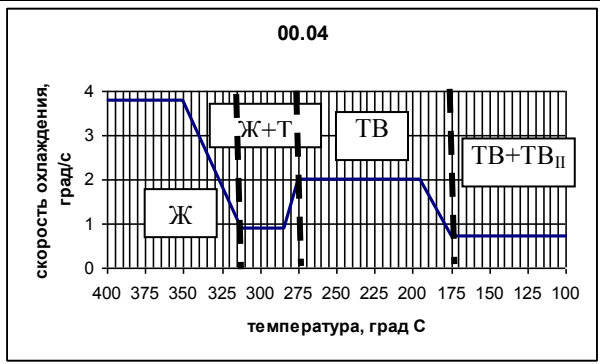
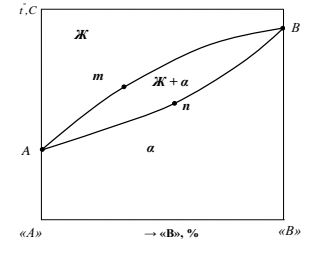


Рис. 4. ТКДК сплава, имеющего вторичную кристаллизацию $(t_L = 312^{\circ}C;$ $t_S = 275^{\circ}C; t_C = 175^{\circ}C)$

Таблица 2.2.7. Типовые диаграммы состояния двойных систем

Описание диаграммы состояния, Схема диаграммы состояния системы Общие обозначения: Ж – жидкая фаза; А, В – температура плавления компонентов «А», «В»; α, β, γ – твердые растворы; С – эвтектическая точка; х_С эвтектическая концентрация. Компоненты сплава образуют



непрерывный ряд твердых растворов. **Линии**: AmB- ликвидус; AnB- солидус.

Системы: Cu - Ni, Bi - Sb и др.

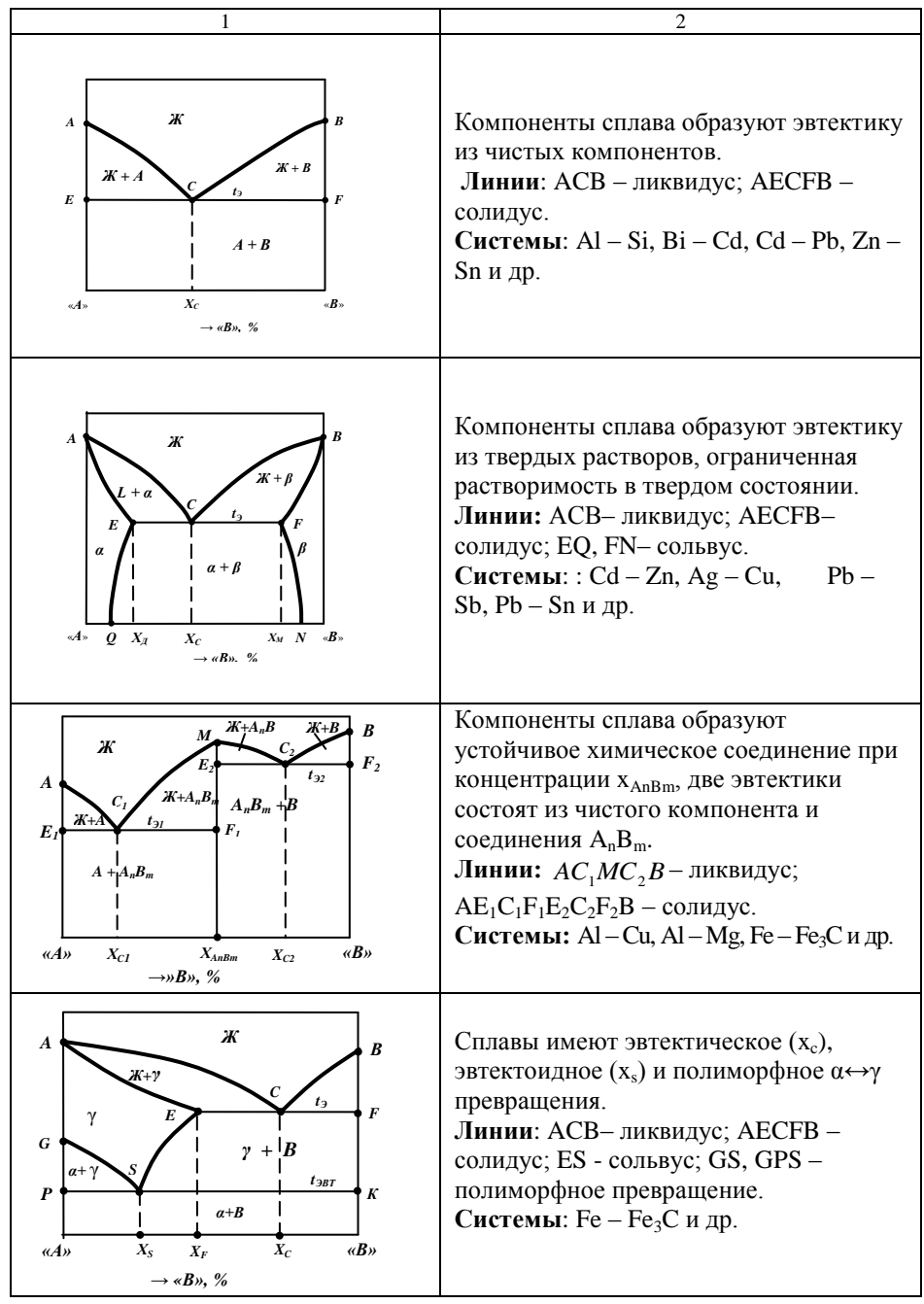
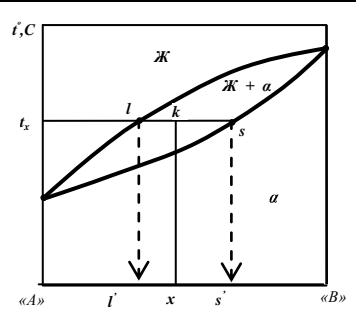


Таблица 2.2.8. Определение состава фаз сплава по диаграмме состояния (правило концентраций)

Определение: Состав фаз сплава k_i характеризуется абсциссами соответствующих концов коноды.

Исходные данные и выполняемые действия: Рассматриваем сплав в твердожидком состоянии. Состав исследуемого сплава x температура исследуемого сплава t_x . Конфигуративная точка сплава k (x, t_x). На изотерме t_x построена конода lks. Определены абсциссы концов коноды l', s'.

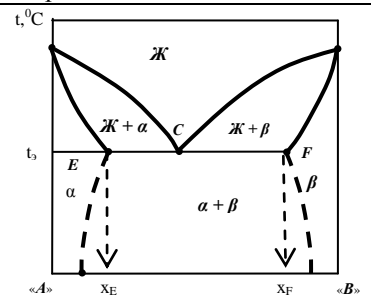


Расчетные формулы

Состав жидкой фазы $\mathcal{K} \rightarrow l'$ Состав твердой фазы $TB \rightarrow s'$

Примечание: ось абсцисс диаграммы состояния обычно маркируется в % компонента «В».

Исходные данные и выполняемые действия: Рассматриваем сплав в твердом состоянии при эвтектической температуре t_3 . Эвтектический сплав имеет состав x_C . Эвтектика состоит из твердых растворов $\mathfrak{I}=(\alpha_3+\beta_3)$. Определены абсциссы концов эвтектической прямой x_E , x_F .



Расчетные формулы

Состав твёрдого раствора $\,\alpha_{\ni}\,$

$$\alpha_{\ni} \rightarrow x_E$$

Состав твёрдого раствора $\beta_{\mathfrak{I}}$

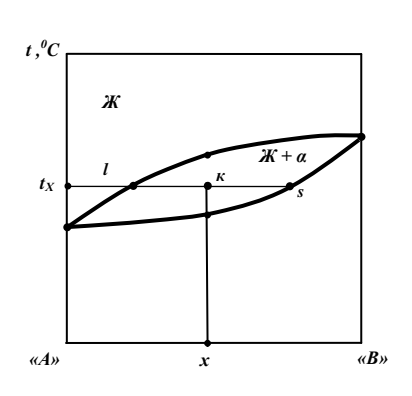
$$\beta_{\ni} \to x_F$$

Примечание: ось абсцисс диаграммы состояния обычно маркируется в % компонента «В».

Таблица 2.2.9. Определение относительного количества фаз сплава по диаграмме состояния (правило отрезков)

Определение: Количество фаз в сплаве характеризуется отрезками коноды; отрезки коноды между точкой сплава k_i и точками l_i и s_i , определяющими состав фаз, обратно пропорциональны количествам этих фаз.

Исходные данные и выполняемые действия: Рассматриваем сплав в твердожидком состоянии. Состав исследуемого сплава x, температура исследуемого сплава t_x . Конфигуративная точка сплава $k(x,\,t_x)$. На изотерме t_x построена конода lks. Измерена длина коноды lks и составляющих её отрезков lk и ks.



Расчетные формулы

Относительное количество жидкой фазы

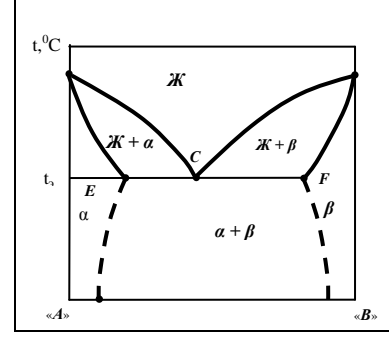
$$\mathcal{K} = \frac{ks}{lks}$$

Относительное количество твердой фазы

$$TB = \frac{lk}{lks}$$

Примечание: длины отрезков подставляются в масштабе построения диаграммы состояния.

Исходные данные и выполняемые действия: Рассматриваем сплав в твердом состоянии при эвтектической температуре t_3 . Эвтектический сплав имеет состав x_C . Роль коноды выполняет эвтектическая прямая EF. Измерена длина эвтектической прямой EF и составляющих её отрезков EC и CF.



Расчетные формулы

$$\alpha_{3} = \frac{\widehat{CF}}{EF}$$

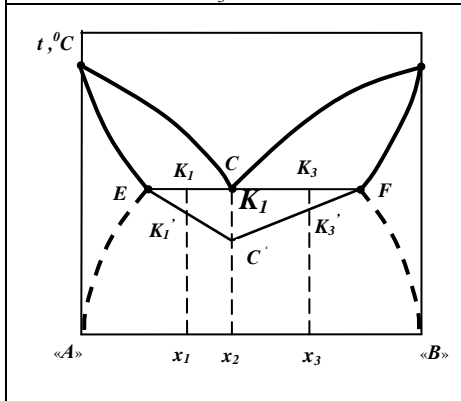
$$\beta_{3} = \frac{EC}{EF}$$

Примечание: соотношение фаз в эвтектике постоянно для всех сплавов, содержащих эвтектику

Таблица 2.2.10. Определение относительного количества эвтектики в структуре сплава по диаграмме состояния (правило треугольника)

Определение: Относительное количество эвтектики в сплаве определяется из треугольника эвтектики и характеризуется длиной катета, совпадающего с концентрационным уровнем сплава.

Исходные данные и выполняемые действия: Рассматриваем сплав в твердом состоянии. На эвтектической прямой ЕСF построены два треугольника ЕСС' (доэвтектические сплавы) и FCC' (заэвтектические сплавы). Обращаем внимание, что длина катета СС' не влияет на результаты расчета и выбирается произвольно, например 15 мм. Заданы сплавы трех концентрационных уровней: доэвтектический x_1 , эвтектический x_2 = x_C и заэвтектический x_3 .



Расчетные формулы

Количество эвтектики в доэвтектическом сплаве

$$\mathfrak{I}_{1} = \frac{EK_{1}}{EC}$$

Количество эвтектики в эвтектическом сплаве

$$\vartheta_2 = \frac{EK_2}{EC} = \frac{FK_2}{FC} = 1$$

Количество эвтектики в заэвтектическом сплаве

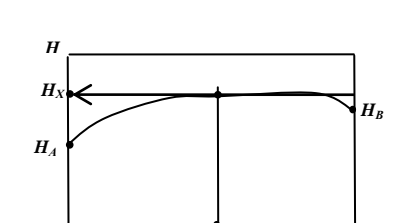
$$\Theta_3 = \frac{FK_3}{FC}$$

Таблица 2.2.11. Прогнозирование физико-механических свойств сплавов по диаграмме состояния (правило Н.С.Курнакова)

Общие пояснения: H_A , H_B — свойства компонентов сплава при комнатной температуре; x — состав исследуемого сплава; x_{AnBm} — состав сплава, соответствующий химическому соединению; H_X — свойства исследуемого сплава при комнатной температуре, экстремальное значение свойства сплава в сингулярной точке (состава x_{AnBm}) при комнатной температуре.

Диаграмма состояния Диаграмма «состав-свойство»

диаграмма состояния ,°С а



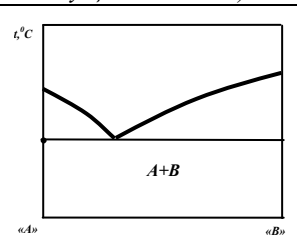
X

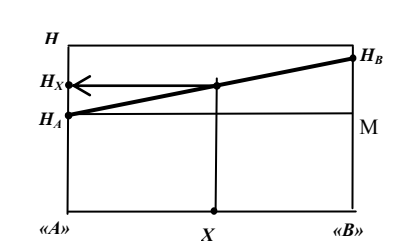
«B»

Диаграмма «состав-свойство»

Пояснения: В области однофазного твердого раствора свойства сплава в зависимости от концентрации компонентов изменяются нелинейно (по закону цепной линии).

((A))





Пояснения: В области двухфазных механических смесей свойства сплавов аддитивны к концентрации компонентов, т.е. изменяются линейно между значениями свойств сплавов, ограничивающих двухфазную область.

Пример: Графическое решение треугольника H_AH_BM . Прямая задача — анализ сплава: известны H_A , H_B , X; определить H_X

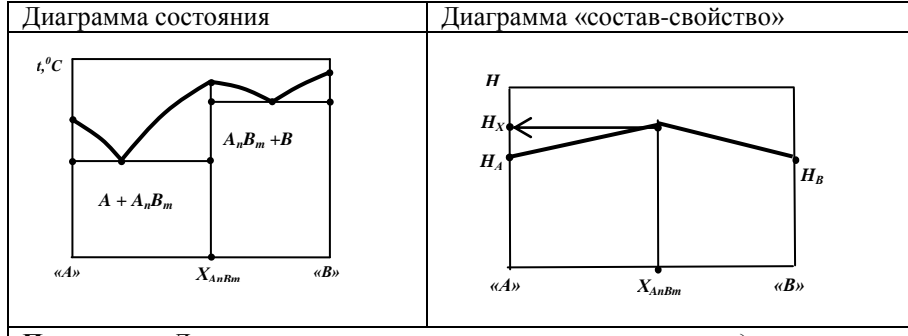
$$H_X = H_A + \frac{H_B - H_A}{100} \cdot X.$$

здесь H_X имеет размерность H_A и H_B .

Обратная задача – синтез сплава: H_A , H_B , H_X ; определить X

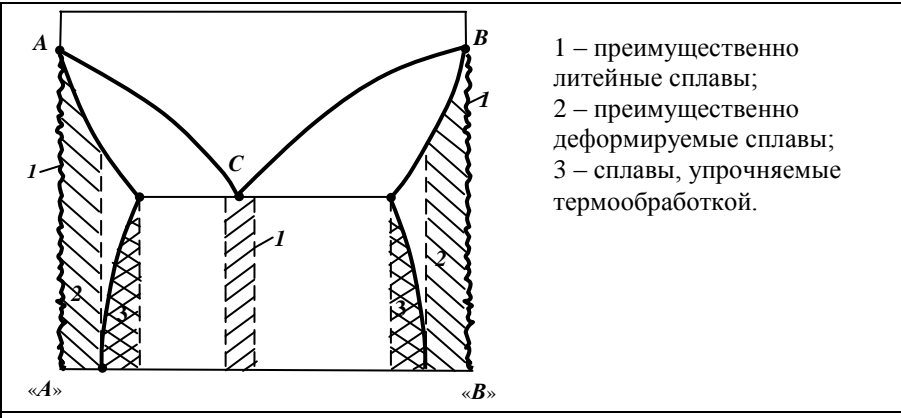
$$X = \frac{H_X - H_A}{H_B - H_A} \cdot 100 , \%$$

здесь двухфазная область ограничена точками 0 и 100%.



Пояснения: Для сплавов, соответствующих химическому соединению на диаграмме «состав-свойство» имеет место сингулярная (особая) точка, при этом свойства сплава достигают экстремума.

 Таблица 2.2.12. Прогнозирование технологических свойств сплавов по диаграмме состояния (правило А.А. Бочвара)

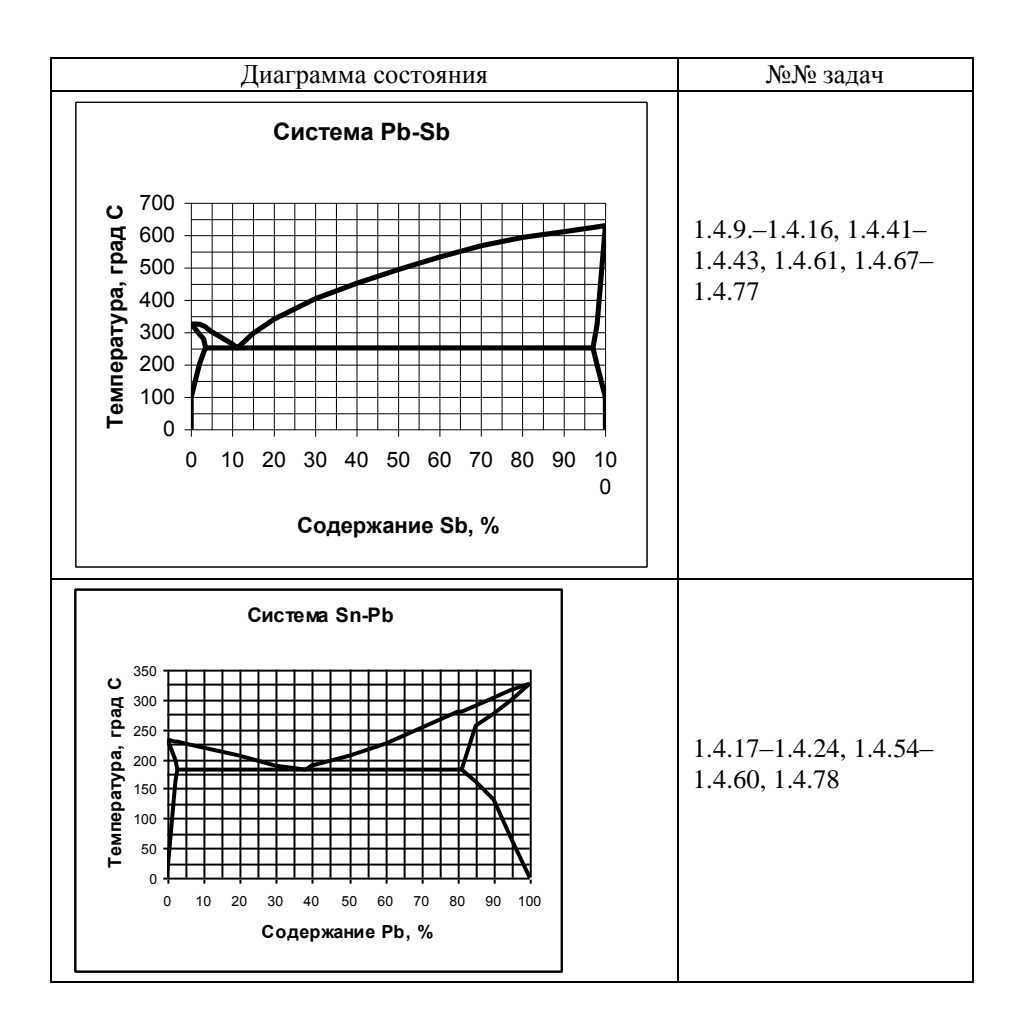


Пояснения:

- 1. Эвтектические сплавы и чистые компоненты обладают высокой жидкотекучестью и несклонны к образованию горячих трещин при сварке.
- 2. Сплавы в области однофазных твердых растворов обладают высокой технологической пластичностью (хорошо куются, прокатываются и т.п.).
- **3.** Сплавы, имеющие выделение вторичных фаз, термически упрочняются по схеме «закалка+старение».

Таблица 2.2.13. Диаграммы состояния некоторых двойных систем

| Диаграмма состояния | №№ задач |
|---------------------|-----------------|



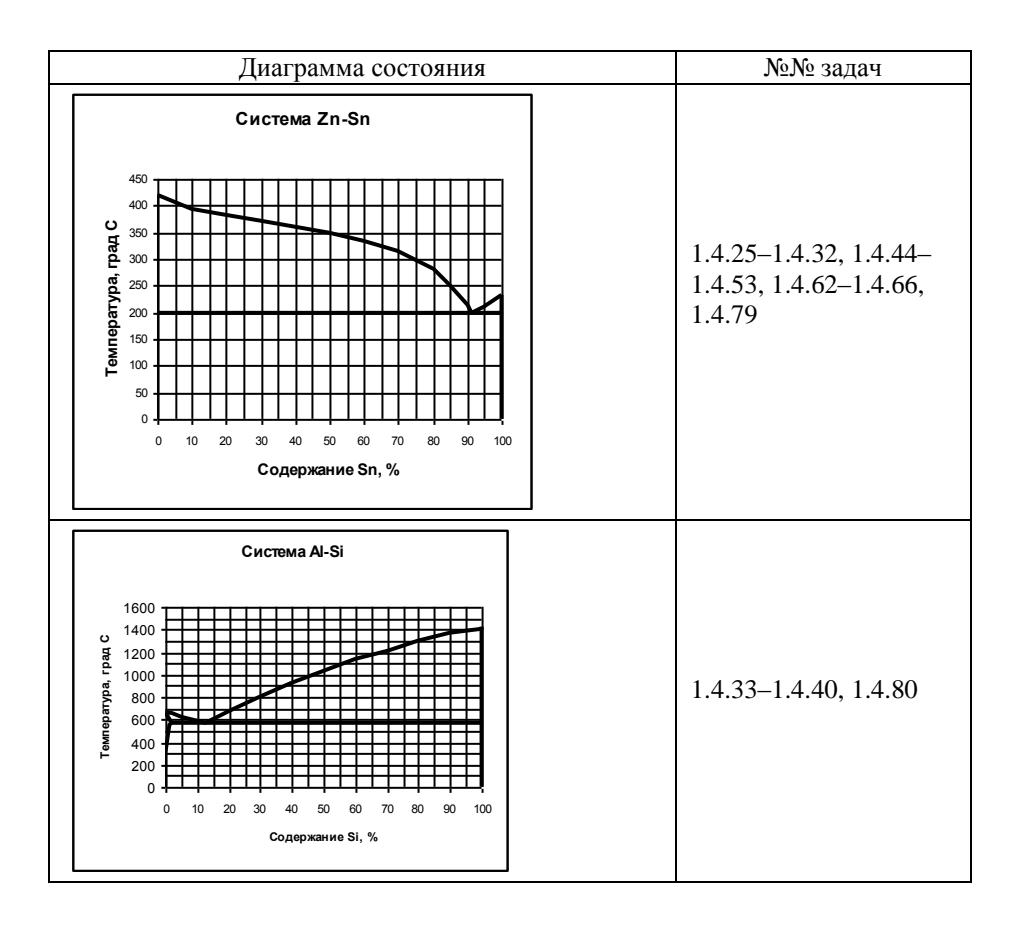
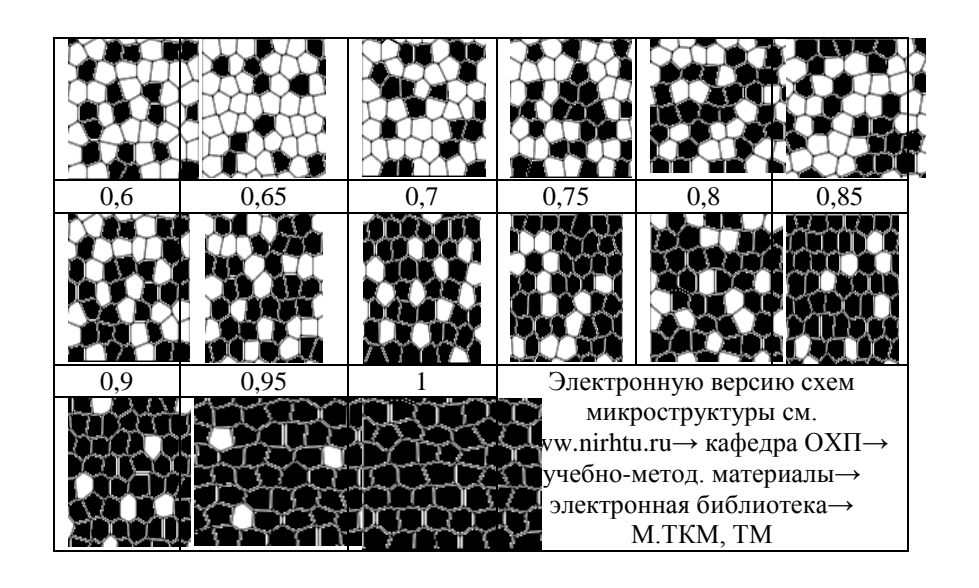


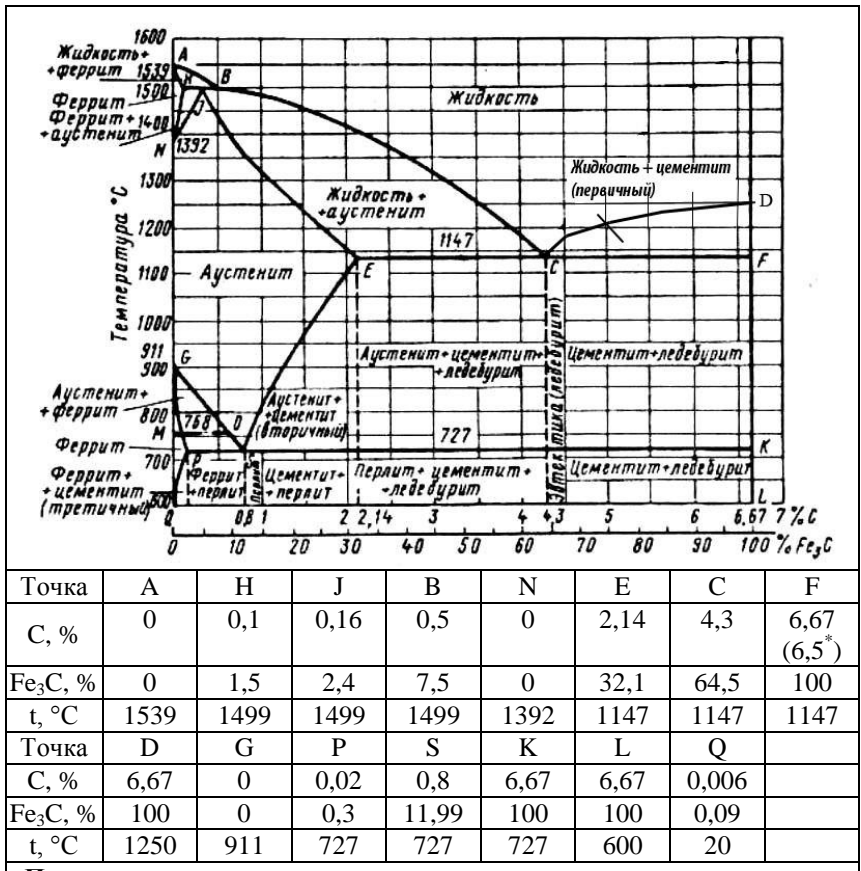
Таблица 2.2.14. Шаблоны схем микроструктуры сплавов с эвтектикой

| | тектики окраг окраску. Шаб | | | | |
|-----|-------------------------------|-----|------|-------|------|
| - | и количества эв | | | • • • | |
| 0 | 0,05 | 0,1 | 0,15 | 0,2 | 0,25 |
| | | | | | |
| 0,3 | 0,35 | 0,4 | 0,45 | 0,5 | 0,55 |



2.3. Диаграмма состояния «Fe-Fe₃C»

Таблица 2.3.1. Узловые точки диаграммы состояния «Fe-Fe₃C»



Примечание: содержание углерода и цементита указано в массовых долях; * уточненное значение содержания углерода в цементите при эвтектической температуре.

Таблица 2.3.2. Описание узловых точек диаграммы состояния «Fe-Fe₃C»

| Точка | Описание точки |
|-------|---|
| A | Точка плавления железа; пересечение линий: АВСО (ликвидус), |
| | AHJECFD (солидус) |
| Н | Точка предельной растворимости углерода в |
| | высокотемпературном феррите; пересечение линий: AHJECFD |
| | (солидус), NH (высокотемпературное полиморфное |
| | превращение γ↔δ) |
| J | Перитектическая точка; пересечение линий: НЈВ |

| Точка | Описание точки |
|-------|---|
| | (перитектическая изотерма 1499°С), АНЈЕСГО (солидус), NJ |
| | (высокотемпературное полиморфное превращение $\gamma \leftrightarrow \delta$) |
| В | Пересечение линий: НЈВ (перитектическая изотерма 1499°C), ABCD (ликвидус) |
| N | Точка высокотемпературного полиморфного превращения железа $\gamma \!$ |
| Е | Точка предельной растворимости углерода в аустените, пересечение линий: AHJECFD (солидус), SE (сольвус) |
| С | Эвтектическая точка; пересечение линий: ABCD (ликвидус), AHJECFD (солидус) |
| F | Точка цементита, лежащая ЕСF(эвтектическая изотерма 1147°C) |
| D | Точка плавления цементита; пересечение линий: ABCD (ликвидус), AHJECFD (солидус) |
| G | Точка низкотемпературного полиморфного превращения железа $\alpha \leftrightarrow \gamma$ |
| P | Точка предельной растворимости углерода в низкотемпературном феррите; пересечение линий: GP (низкотемпературное полиморфное превращение α↔γ), PSK (эвтектоидная изотерма 727°C), PQ (сольвус) |
| S | Эвтектоидная точка; пересечение линий: GS (низкотемпературное полиморфное превращение α↔γ), PSK (эвтектоидная изотерма 727°C), SE (сольвус) |
| K | Точка цементита, лежащая PSK (эвтектоидная изотерма 727°C) |
| L | Точка цементита при температуре 600°C |
| Q | Точка предельной растворимости углерода в феррите при комнатной температуре |

Таблица 2.3.3. Изотермические превращения Fe-C сплавов

| The state of the s | |
|--|--|
| Наименование превращения | Изотермическая реакция |
| Перитектическое превращение на линии НЈВ при 1499°С | $\Phi_{\!\scriptscriptstyle H} + \mathcal{K}_{\!\scriptscriptstyle B} 	o A_{\!\scriptscriptstyle J}$ |
| Эвтектическое превращение на линии ECF при 1147°C | $\mathcal{K}_C \to [A_E + \mathcal{U}] = \mathcal{I}$ |
| Эвтектоидное превращение на линии PSK при 727°C | $A_S \to [\Phi_P + \mathcal{L}] = \Pi$ |

Обозначения: \mathcal{H}_B , \mathcal{H}_C — жидкость с концентрацией точки B, C; Φ_H , Φ_P — феррит с концентрацией точки H, P; A_E , A_S — аустенит с концентрацией точки E, S; Ц — цементит; Л—педебурит; П—перлит.

Таблица 2.3.4. Фазы и структурные составляющие Fe-С сплавов

| Термин | Определение, характеристика |
|-----------|--|
| Феррит | Феррит (Ф) – твердый раствор углерода в α -железе: Fe _{α} (C), Φ. Ф. существует в сплавах при температуре ниже 727°C. При |
| | 727°С Ф содержит 0,02% углерода (точка P), при 20°С – 0,006% |
| | углерода (точка Q). Свойства Φ : HB=900 МПа, σ_B =280 МПа, δ =50%, ψ =70%. |
| Аустенит | Аустенит (A) – твердый раствор углерода в γ -железе: $Fe_{\gamma}(C)$, A. |
| | А существует в сплавах при температуре выше 727°С. При |
| | 727°C A содержит 0,8% углерода (точка S), при 1147°C – 2,14% |
| | углерода (точка Е). |
| Цементит | Цементит (Ц) – карбид железа, химическое соединение: Fe ₃ C, |
| | Ц. При любой температуре Ц содержит 6,67% углерода (точки |
| | D, F, K, L). |
| Ледебурит | Ледебурит (Л) – механическая смесь аустенита и цементита |
| | (эвтектика). Л содержит 4,3% углерода. При температуре ниже |
| | 727°C аустенит ледебурита распадается на перлит и цементит. |
| Перлит | Перлит (П) – механическая смесь феррита и цементита |
| | (эвтектоид). П содержит 0,8% углерода. Свойства П: НВ=1900 |
| | MΠa, σ_B =850 MΠa, δ =15%, ψ =20%. |
| Графит | Графит (Г) – свободный углерод, образующийся в сплавах Fe– |
| | С в результате графитизации белых доэвтектических чугунов. |

Таблица 2.3.5. Структурная классификация Fe-С сплавов

| | 1 7 7 1 | | |
|-----------------|------------------------------------|------------------------|---|
| С,% | Название сплава | Структура при 20° С | Применение |
| 0,006 - 0,02 | Техническое железо | Φ + Π III | Сердечники трансформаторов |
| 0,02 – 0,8 | Доэвтектоидная сталь | Ф+П | Детали машин и конструкций |
| 0,8 | Эвтектоидная сталь | П | Режущий и мерительный |
| 0.8 - 2.14 | Заэвтектоидная сталь | $\Pi + \coprod_{\Pi}$ | инструмент |
| 2,14 – 4,3 | Доэвтектический чугун ¹ | Ф+П+Г | Конструкционные сплавы (фасонные отливки) |
| 4,3 | Эвтектический чугун | Л | Исследовательские |
| 4,3 - 6,67 | Заэвтектический чугун | Л+Ц | сплавы |

Расшифровку обозначений фаз и структурных составляющих Fe-C сплавов см. в таблице 2.3.4.

Пояснения:

В Fe – С сплавах различают три вида цементита $\mathbf{U_I}$, $\mathbf{U_{II}}$, $\mathbf{U_{II}}$. $\mathbf{U_I}$ (первичный $\mathbf{U_{\cdot}}$) кристаллизуется из жидкой фазы в виде кристаллов игольчатой формы; наблюдаются в структуре заэвтектических чугунов. $\mathbf{U_{II}}$ (вторичный $\mathbf{U_{\cdot}}$), $\mathbf{U_{III}}$

(третичный **Ц.**) образуются при вторичной кристаллизации из аустенита и феррита, соответственно. **Ц** $_{\Pi}$ обнаруживается в виде сетки по границам зерен аустенита.

Примечания:

1— Различают доэвтектический белый чугун (весь углерод в сплаве находится в виде цементита Fe_3C) и конструкционный чугун (углерод помимо цементита находится в свободном виде в виде графита); структура доэвтектических конструкционных чугунов характеризуется структурой матрицы (Φ , Φ + Π , Π) и формой графитных включений (серый чугун — пластинчатый графит Γ_{nn} , ковкий — хлопьевидный графит Γ_{xn} и высокопрочный — шаровидный графит Γ_{mn}). Наличие в структуре свободного графита определяет многие эксплуатационные свойства чугунов (антифрикционность и др.), а наличие эвтектики — ледебурита определяет их хорошие литейные свойства. Конструкционные чугуны подпадают под определение композиционного материала.

Таблица 2.3.6. Расчеты фазового и структурного состава Fe-C сплавов

| Определение сод | ержания углерода в стали по микроструктуре | |
|---|---|--|
| Доэвтектоидная сталь | $C = 0.8 \cdot \frac{\Pi}{100}, \%$ | |
| Заэвтектоидная сталь | $C = 0.8 \cdot \frac{\Pi}{100} + 6.67 \cdot \frac{II}{100}, \%$ | |
| Пояснения: П, Ц – кол | ичество перлита и цементита в микроструктуре стали, | |
| соответственно, % | | |
| | Фазовый анализ сплавов | |
| Компонентный состав фаз определяется по правилу концентраций (см. таблицу 2.2.6). Относительное количество фаз в сплаве определяется по правилу отрезков (см. таблицу 2.2.7). | | |
| | Структурный анализ сплавов | |
| Определение количеств | а эвтектики – ледебурита (Л) и эвтектоида – перлита | |
| (П) проводится по правилу треугольника (см. таблицу 2.2.8). | | |
| Доэвтектический чугун | $\mathcal{I} = \frac{E\kappa}{EC} \times 100, \%$ | |
| Заэвтектический чугун | $\mathcal{I} = \frac{F\kappa}{FC} \times 100, \%$ | |
| Доэвтектоидная сталь | $\Pi = \frac{P\kappa}{PS} \times 100^{\circ} \%$ | |
| Заэвтектоидная сталь | $\Pi = \frac{K\kappa}{KS} \times 100, \%$ | |
| Пояснения: k- конфигу | уративная точка сплава (расположена на | |

ECF, Pk, PS, Kk, KS – отрезки эвтектоидной изотерме PSK. Отрезки линий диаграммы состояния в расчетные формулы подставляются в масштабе построения.

 Таблица 2.3.7.
 Анализ и синтез доэвтектоидного сплава по правилу Н.С.Курнакова

Доэвтектоидные Fe—C сплавы (доэвтектоидные стали) при комнатной температуре содержат 0,006...0,8 % углерода и представляют собой двухфазные сплавы (состоят из феррита и цементита). Структурно доэвтектоидные сплавы представляют собой ферритно-цементитную двухфазную смесь с разным количеством эвтектоида — перлита (см. таблицу 2.3.6). По правилу Н.С.Курнакова зависимость состав — свойство для доэвтектоидных сплавов имеет линейный характер. Для этих сплавов возможно решение задач материаловедческого анализа и синтеза сплава.

| Анализ сплава «Содержание углерода X- | → Свойство Н _Х » |
|--|-----------------------------|
| $HB_x = 892 + 1259 \cdot x$ | (1) |
| $\sigma_{\rm Bx} = 276 + 718 \cdot x$ | (2) |
| $\delta_{\rm x} = 50.3 - 44.{\rm x}$ | (3) |
| $\psi_{x} = 70.4 + 63 \cdot x$ | (4) |
| Синтез сплава «Свойство H _X →Содержа | ние углерода Х» |
| $x(HB) = 0,000794 \cdot HB - 0,7086$ | (5) |
| $x(\sigma_B) = 0.001393 \cdot \sigma_B - 0.384035$ | (6) |
| $x(\delta) = 1,140286 - 0,022686 \cdot \delta$ | (7) |
| $x(\psi) = 1,1176 - 0,01588 \cdot \psi$ | (8) |

Пояснения: x — содержание углерода в сплаве, %; HB — твёрдость сплава, $M\Pi a$; σ_B — предел прочности сплава, $M\Pi a$; δ — относительное сужение сплава, %: ψ — относительное сужение сплава, %.

Интервал изменения параметров, входящих в уравнения регрессии1-8: x=0,006...0,8 %; HB=900...1900 МПа; σ_B =280...850 МПа; δ =15...50%; ψ =20...70%.

2.4. Конструкционные и инструментальные сплавы

 Таблица 2.4.1.
 Условное обозначение легирующих элементов при маркировке сплавов железа

| Элемент (символ) | Буква ¹ | Элемент (символ) | Буква ¹ |
|------------------|--------------------|------------------|--------------------|
| Азот (N) | A^2 | Медь (Си) | Д |
| Алюминий (Al) | Ю | Молибден (Мо) | M |
| Бор (В) | P | Никель (Ni) | Н |
| Ванадий (V) | Ф | Ниобий (Nb) | Б |
| Вольфрам (W) | В | Свинец (Рb) | C^4 |
| Железо (Fe) | основа | Селен (Se) | Е |

| Кобальт (Со) | К | Титан (Ті) | T |
|----------------------------|---|------------|---|
| Кремний (Si) | C | Хром (Ст) | X |
| Марганец (Mn) ³ | Γ | Фосфор (Р) | П |

Примечания: 1— в маркировке сплавов железа используются буквы русского алфавита; 2— при наличии в стали азота буква «А» записывается в середине марки; 3— жирным шрифтом указаны часто встречающиеся легирующие элементы в сплавах железа; 4— при маркировке конструкционной стали высокой обрабатываемости резанием (автоматная сталь).

Таблица 2.4.2. Классификационная таблица сплавов железа

| признак Признаком ∑ л.э=0 углеродистая сталь ∑ л.э=2,5 % низколегированная сталь ∑ л.э=2,5-10 % среднелегированная сталь ∑ л.э=10-50 % высоколегированная сталь ∑ л.э=10-50 % высоколегированная сталь ∑ л.э>50 % сплав на железоникелевой или никелевой основе Способ производства (содержание кремния) Si=0,1% сталь кипящая («кп» в конце марки) Si=0,1-0,17% сталь спокойная («сп» в конце марки) Качество (содержание серы и фосфора) S=0,055-0,06 % сталь обыкновенного качества S, P по 0,035 % сталь высококачественная («А» указывается в конце марки) S, P по 0,025 % сталь высококачественная («-III» указывается в конце марки) С<0,2% стороительная — сталь для сварных конструкций; машиностроительная — сталь для сварных конструкций; машиностроительная — сталь цементуемая (для цементации) 0,3 <c<0,5%< td=""> сталь для силовых деталей машин (улучшаемая) 0,5<c<0,7%< td=""> рессорно-пружинная сталь — для упругих элементов машин инструментальная сталь — для упругих элементов машин инструментальная сталь — сталь для режущего, мерительного и деформирующего инструмента (подробнее см. таблицу 2.4.3) чугун<th>Количественный</th><th>Название сплавов в соответствии с классификационным</th></c<0,7%<></c<0,5%<> | Количественный | Название сплавов в соответствии с классификационным | |
|---|--|---|--|
| ∑ л.э=0 углеродистая сталь ∑ л.э<2,5 % низколегированная сталь ∑ л.э=2,5-10 % среднелегированная сталь ∑ л.э=10-50 % высоколегированная сталь ∑ л.э>50 % сплав на железоникелевой или никелевой основе ∑ л.э>50 % сплав на железоникелевой или никелевой основе ∑ л.э>50 % сплав на железоникелевой или никелевой основе ∑ л.э>50 % сплав на железоникелевой или никелевой основе ∑ л.э>50 % сплав камелам (содержание кремния) Si=0,1-0,17% сталь полуспокойная (жиз» в конце марки) Качество (содержание марки) Качество (содержание серы и фосфора) S=0,055-0,06 % P=0,05-0,07 % сталь обыкновенного качества S, P по 0,035 % сталь высококачественная («А» указывается в конце марки) S, P по 0,015 % сталь особовысококачественная («-III» указывается в конце марки) С<0,2% Применение² (содержание углерода) Сторойтельная – сталь для сварных конструкций; машиностроительная – сталь для срежущего, мерительного и деформирующего инструмента (подробнее см. таблицу 2.4.3) 0,5 <c<0,7%< th=""> мерительного и деформирующего инструмента (подробнее см. таблицу 2.4.3) чугун – литейный конструкционный материал для работы в условиях абразивного изнашивания<</c<0,7%<> | признак | | |
| ∑ л.3 2,5 % низколегированная сталь ∑ л.3=2,5-10 % среднелегированная сталь ∑ л.3=10-50 % высоколегированная сталь ∑ л.3>50 % сплав на железоникелевой или никелевой основе Способ производства (содержание кремния) Si<0,1% | | Химический состав¹ (содержание л.э .) | |
| ∑ л.э=2,5-10 % среднелегированная сталь ∑ л.э=10-50 % высоколегированная сталь ∑ л.э>50 % сплав на железоникелевой или никелевой основе Si<0,1% | | углеродистая сталь | |
| ∑ л.э=10-50 % высоколегированная сталь ∑ л.э>50 % сплав на железоникелевой или никелевой основе Способ производства (содержание кремния) Si<0,1% сталь кипящая («кп» в конце марки) Si=0,15-0,35% сталь спокойная («сп» в конце марки) Качество (содержание серы и фосфора) S=0,055-0,06 % P=0,05-0,07 % сталь обыкновенного качества S, P по 0,035 % сталь качественная S, P по 0,025 % сталь высококачественная («А» указывается в конце марки) S, P по 0,015 % сталь особовысококачественная («-Ш» указывается в конце марки) С<0,2% Применение² (содержание углерода) строительная – сталь для сварных конструкций; машиностроительная – сталь для сварных конструкций; машиностроительная – сталь цементуемая (для цементации) 0,3<<<<0,5% сталь для силовых деталей машин (улучшаемая) 0,5< рессорно-пружинная сталь – для упругих элементов машин инструментальная сталь – сталь для режущего, мерительного и деформирующего инструмента (подробнее см. таблицу 2.4.3) чугун – литейный конструкционный материал; – литой или наплавочный материал для работы в условиях абразивного изнашивания | Σ л.э<2,5 % | низколегированная сталь | |
| ∑ л.>>50 % сплав на железоникелевой или никелевой основе Si<0,1% сталь кипящая («кп» в конце марки) Si=0,1-0,17% сталь полуспокойная («сп» в конце марки) Si=0,15-0,35% сталь спокойная («сп» в конце марки) S=0,055-0,06 % P=0,05-0,07 % сталь обыкновенного качества S, P по 0,025 % сталь высококачественная S, P по 0,015 % сталь высококачественная («А» указывается в конце марки) С<0,2% Применение² (содержание углерода) Сталь сособовысококачественная («-Ш» указывается в конце марки) Применение² (содержание углерода) С<0,2% сталь для сварных конструкций; машиностроительная – сталь для сварных конструкций; машиностроительная – сталь для упругих элементов машин 0,5 <c<0,7%< th=""> рессорно-пружинная сталь – для упругих элементов машин инструментальная сталь – сталь для режущего, мерительного и деформирующего инструмента (подробнее см. таблицу 2.4.3) чугун – литейный конструкционный материал; – литой или наплавочный материал для работы в условиях абразивного изнашивания</c<0,7%<> | Σ л.э=2,5-10 % | среднелегированная сталь | |
| Способ производства (содержание кремния) Si<0,1% | | высоколегированная сталь | |
| Si<0,1% сталь кипящая («кп» в конце марки) Si=0,1-0,17% сталь полуспокойная («кп» в конце марки) Si=0,15-0,35% сталь спокойная («кп» в конце марки) S=0,055-0,06 % P=0,05-0,07 % сталь обыкновенного качества S, P по 0,035 % сталь качественная S, P по 0,025 % сталь высококачественная («А» указывается в конце марки) S, P по 0,015 % сталь особовысококачественная («-Ш» указывается в конце марки) С<0,2% | Σ л.э>50 % | | |
| Si=0,1-0,17% сталь полуспокойная («пс» в конце марки) Si=0,15-0,35% сталь спокойная («сп» в конце марки) S=0,055-0,06 % P=0,05-0,07 % сталь обыкновенного качества S, P по 0,035 % сталь качественная сталь высококачественная («А» указывается в конце марки) S, P по 0,015 % сталь особовысококачественная («-Ш» указывается в конце марки) таль особовысококачественная («-Ш» указывается в конце марки) С<0,2% | | Способ производства (содержание кремния) | |
| Si=0,15-0,35% сталь спокойная («сп» в конце марки) S=0,055-0,06 % P=0,05-0,07 % сталь обыкновенного качества S, P по 0,035 % сталь качественная сталь высококачественная («А» указывается в конце марки) S, P по 0,025 % сталь высококачественная («-Ш» указывается в конце марки) конце марки С<0,2% сталь особовысококачественная («-Ш» указывается в конце марки) | Si<0,1% | сталь кипящая («кп» в конце марки) | |
| Качество (содержание серы и фосфора) S=0,055-0,06 % P=0,05-0,07 % сталь обыкновенного качества S, P по 0,035 % сталь качественная S, P по 0,025 % сталь высококачественная («А» указывается в конце марки) S, P по 0,015 % сталь особовысококачественная («-Ш» указывается в конце марки) С<0,2% | Si=0,1-0,17% | сталь полуспокойная (« пс » в конце марки) | |
| S=0,055-0,06 % P=0,05-0,07 % сталь обыкновенного качества S, P по 0,035 % сталь качественная сталь высококачественная («А» указывается в конце марки) S, P по 0,025 % сталь особовысококачественная («-Ш» указывается в конце марки) применение² (содержание углерода) С<0,2% | Si=0,15-0,35% | сталь спокойная («сп» в конце марки) | |
| Р=0,05-0,07 % S, Р по 0,035 % сталь качественная S, Р по 0,025 % сталь высококачественная («А» указывается в конце марки) S, Р по 0,015 % сталь особовысококачественная («-Ш» указывается в конце марки) Применение² (содержание углерода) строительная − сталь для сварных конструкций; машиностроительная − сталь цементуемая (для цементации) 0,3 <c<0,5% (подробнее="" (улучшаемая)="" 0,5<c<0,7%="" 2.4.3)="" td="" абразивного="" в="" деталей="" деформирующего="" для="" и="" изнашивания<="" или="" инструмента="" инструментальная="" конструкционный="" литейный="" литой="" материал="" материал;="" машин="" мерительного="" наплавочный="" работы="" режущего,="" рессорно-пружинная="" силовых="" см.="" сталь="" таблицу="" упругих="" условиях="" чугун="" элементов="" −=""><td></td><td>Качество (содержание серы и фосфора)</td></c<0,5%> | | Качество (содержание серы и фосфора) | |
| F=0,05-0,07 % S, P по 0,035 % сталь качественная S, P по 0,025 % сталь высококачественная («А» указывается в конце марки) Применение² (содержание углерода) С троительная – сталь для сварных конструкций; машиностроительная – сталь цементуемая (для цементации) 0,3 < C < 0,5 % | S=0,055-0,06 % | OTOHI ON HUIODAHHOFO POHACTRO | |
| S, P по 0,025 % сталь высококачественная («А» указывается в конце марки) S, P по 0,015 % сталь особовысококачественная («-Ш» указывается в конце марки) C<0,2% | | | |
| S, P по 0,015 % сталь особовысококачественная («-Ш» указывается в конце марки) Применение² (содержание углерода) C<0,2% | | сталь качественная | |
| Марки) Применение² (содержание углерода) С<0,2% строительная – сталь для сварных конструкций; машиностроительная – сталь цементуемая (для цементации) 0,3 <c<0,5% (подробнее="" (улучшаемая)="" 2.4.3)="" td="" абразивного="" в="" деталей="" деформирующего="" для="" и="" изнашивания<="" или="" инструмента="" инструментальная="" конструкционный="" литейный="" литой="" материал="" материал;="" машин="" мерительного="" наплавочный="" работы="" режущего,="" рессорно-пружинная="" силовых="" см.="" сталь="" таблицу="" упругих="" условиях="" чугун="" элементов="" –=""><td>S, Р по 0,025 %</td><td colspan="2">сталь высококачественная («А» указывается в конце марки)</td></c<0,5%> | S, Р по 0,025 % | сталь высококачественная («А» указывается в конце марки) | |
| Применение² (содержание углерода) С<0,2% строительная – сталь для сварных конструкций; машиностроительная – сталь цементуемая (для цементации) 0,3 <c<0,5% (подробнее="" (улучшаемая)="" 2.4.3)="" td="" абразивного="" в="" деталей="" деформирующего="" для="" и="" изнашивания<="" или="" инструмента="" инструментальная="" конструкционный="" литейный="" литой="" материал="" материал;="" машин="" мерительного="" наплавочный="" работы="" режущего,="" рессорно-пружинная="" силовых="" см.="" сталь="" таблицу="" упругих="" условиях="" чугун="" элементов="" –=""><td>S, Р по 0,015 %</td><td colspan="2"></td></c<0,5%> | S, Р по 0,015 % | | |
| С<0,2% строительная – сталь для сварных конструкций; машиностроительная – сталь цементуемая (для цементации) 0,3 <c<0,5% (подробнее="" (улучшаемая)="" 0,5<c<0,7%="" 2.4.3)="" td="" абразивного="" в="" деталей="" деформирующего="" для="" и="" изнашивания<="" или="" инструмента="" инструментальная="" конструкционный="" литейный="" литой="" материал="" материал;="" машин="" мерительного="" наплавочный="" работы="" режущего,="" рессорно-пружинная="" силовых="" см.="" сталь="" таблицу="" упругих="" условиях="" чугун="" элементов="" –=""><td></td><td></td></c<0,5%> | | | |
| C<0,2% | | Применение² (содержание углерода) | |
| цементации) 0,3 <c<0,5% (подробнее="" (улучшаемая)="" 0,5<c<0,7%="" 2.4.3)="" td="" абразивного="" в="" деталей="" деформирующего="" для="" и="" изнашивания<="" или="" инструмента="" инструментальная="" конструкционный="" литейный="" литой="" материал="" материал;="" машин="" мерительного="" наплавочный="" работы="" режущего,="" рессорно-пружинная="" силовых="" см.="" сталь="" таблицу="" упругих="" условиях="" чугун="" элементов="" —=""><td></td><td></td></c<0,5%> | | | |
| 0,3 < C < 0,5 % сталь для силовых деталей машин (улучшаемая) 0,5 < C < 0,7 % рессорно-пружинная сталь — для упругих элементов машин инструментальная сталь — сталь для режущего, мерительного и деформирующего инструмента (подробнее см. таблицу 2.4.3) чугун — литейный конструкционный материал; — литой или наплавочный материал для работы в условиях абразивного изнашивания | C<0,2% | машиностроительная – сталь цементуемая (для | |
| 0,5 <c<0,7%< td=""> рессорно-пружинная сталь — для упругих элементов машин 0,7<c<2,5%< td=""> инструментальная сталь — сталь для режущего, мерительного и деформирующего инструмента (подробнее см. таблицу 2.4.3) 2,5<c<4,0%< td=""> чугун — литейный конструкционный материал; — литой или наплавочный материал для работы в условиях абразивного изнашивания</c<4,0%<></c<2,5%<></c<0,7%<> | | | |
| 0,7 <c<2,5% (подробнее="" 2.4.3)="" td="" абразивного="" в="" деформирующего="" для="" и="" изнашивания<="" или="" инструмента="" инструментальная="" конструкционный="" литейный="" литой="" материал="" материал;="" машин="" мерительного="" наплавочный="" работы="" режущего,="" см.="" сталь="" таблицу="" условиях="" чугун="" —=""><td>0,3<c<0,5%< td=""><td>сталь для силовых деталей машин (улучшаемая)</td></c<0,5%<></td></c<2,5%> | 0,3 <c<0,5%< td=""><td>сталь для силовых деталей машин (улучшаемая)</td></c<0,5%<> | сталь для силовых деталей машин (улучшаемая) | |
| о,7<С<2,5% инструментальная сталь – сталь для режущего, мерительного и деформирующего инструмента (подробнее см. таблицу 2.4.3) чугун — литейный конструкционный материал; — литой или наплавочный материал для работы в условиях абразивного изнашивания | 0.5/C/0.7% | рессорно-пружинная сталь – для упругих элементов | |
| 0,7 <c<2,5% (подробнее="" 2.4.3)="" td="" абразивного="" в="" деформирующего="" для="" и="" изнашивания<="" или="" инструмента="" конструкционный="" литейный="" литой="" материал="" материал;="" мерительного="" наплавочный="" работы="" см.="" таблицу="" условиях="" чугун="" —=""><td>0,5<c<0,770< td=""><td>машин</td></c<0,770<></td></c<2,5%> | 0,5 <c<0,770< td=""><td>машин</td></c<0,770<> | машин | |
| (подробнее см. таблицу 2.4.3) чугун – литейный конструкционный материал; – литой или наплавочный материал для работы в условиях абразивного изнашивания | | | |
| 2,5 <c<4,0% td="" абразивного="" в="" для="" изнашивания<="" или="" конструкционный="" литейный="" литой="" материал="" материал;="" наплавочный="" работы="" условиях="" чугун="" —=""><td>0,7<c<2,5%< td=""><td></td></c<2,5%<></td></c<4,0%> | 0,7 <c<2,5%< td=""><td></td></c<2,5%<> | | |
| 2,5 <c<4,0% td="" абразивного="" в="" для="" изнашивания<="" или="" конструкционный="" литейный="" литой="" материал="" материал;="" наплавочный="" работы="" условиях="" —=""><td></td><td>(подробнее см. таблицу 2.4.3)</td></c<4,0%> | | (подробнее см. таблицу 2.4.3) | |
| – литой или наплавочный материал для работы в условиях абразивного изнашивания | | | |
| – литои или наплавочный материал для раооты в условиях абразивного изнашивания | 2,5 <c<4,0%< td=""><td> – литейный конструкционный материал; </td></c<4,0%<> | – литейный конструкционный материал; | |
| | | – литой или наплавочный материал для работы в | |
| | | условиях абразивного изнашивания | |
| | Примечания: 1. | Легирующие элементы Л. э. обозначаются в марке сплава | |

| Количественный | Название сплавов в соответствии с классификационным |
|----------------|---|
| признак | признаком |

буквами русского алфавита (см. таблицу 2.4.1); количество Л. э. — после буквы в целых процентах (как правило).
2. Приведена классификация в основном для углеродистых и низколегированных сталей, для высоколегированных сталей применение определяется также легированием (видом и количеством Л.э.).

Функциональная классификация сталей Таблица 2.4.3.

| Применение | ГОСТ | C, % | | |
|------------------------------------|------------------------|-------------------|--|--|
| Конструкционная строительная сталь | | | | |
| Для сварных конструкций | 380–2005 | менее 0,2 | | |
| | 19282-73 | 0,09-0,15 | | |
| Для арматуры | 5781-82 | 0,2-0,35 | | |
| Конструкционная маші | иностроитель | ная сталь | | |
| Для деталей, получаемых глубокой | 380-2005 | менее 0,15 | | |
| вытяжкой | 1050-88 | менее 0,06 | | |
| Для деталей, обрабатываемых на | 1414–75 | 0,12-0,40 | | |
| станках автоматах | | 0,12-0,40 | | |
| Для деталей котлов | 5520–79 | 0,12-0,22 | | |
| Для сварных деталей, работающих | 20072-74 | 0,12-0,25 | | |
| при повышенных температурах | | · · · | | |
| Для цементуемых деталей | 1050–88 | 0,08-0,25 | | |
| для цемент уемых деталей | 4543–71 | 0,15-0,25 | | |
| | 380–2005 | 0,28-0,49 | | |
| Для силовых деталей | 1050-88 | 0,3-0,50 | | |
| | 4543-71 | 0,3-0,50 | | |
| Для упругих элементов | 14959–79 | $(0,65-0,85)^{1}$ | | |
| | 14959 ² –79 | $(0,47-0,75)^2$ | | |
| Инструмента | льная сталь | | | |
| Для инструмента для холодной | 1435–99 | 0,7-1,3 | | |
| обработки давлением и резанием | 5950-2000 | 0,8-2,2 | | |
| Для инструмента для горячей | 5950-2000 | | | |
| обработки пластическим | | 0,3-0,8 | | |
| деформированием | | | | |
| Для колец и тел качения | 801–78 | 1,0 | | |
| подшипников качения | | 1,0 | | |
| Для инструмента для станочной | 19265–73 | 0,7-1,10 | | |
| обработки (быстрорежущая сталь) | | 0,7 1,10 | | |
| Специаль | ная сталь | 1 | | |
| Для сварного оборудования, | 5632–72 | менее 0,08 | | |
| работающего в коррозионной среде | 2022 /2 | | | |

| Применение | ГОСТ | C, % |
|-----------------------------------|------|----------|
| Для силовых деталей, работающих в | | 0,08-0,2 |
| особых условиях | | |
| Для деталей смешанного | | 0,2-0,4 |
| применения, работающих в особых | | |
| условиях | | |
| Для инструмента и пружин, | | 0,4–0,95 |
| работающих в особых условиях | | |

| Литейная сталь | | | |
|---|--------|-----------|--|
| Для деталей сварно-литых конструкций | | 0,15-0,25 | |
| Для силовых литых деталей | 977–88 | 0,30-0,45 | |
| Для деталей дробильного оборудования | | 1,1-1,3 | |
| Для литого режущего инструмента | | 0,8-0,9 | |
| Примечание: 1 – углеродистая сталь; 2 – легированная сталь. | | | |

Таблица 2.4.4. Деформируемые конструкционные стали

| Группа сплавов, ГОСТ | Схема маркировки | Марки |
|--|--|---|
| Сталь обыкновенного качества ^{1; 2} , ГОСТ 380–2005 | Ст+№марки+ раскисление («кп», «пс», «сп») | Ст0, Ст1кп, Ст1пс, Ст1сп, Ст2кп, Ст2пс, Ст2сп, Ст3кп, Ст3пс, Ст3сп, Ст4кп, Ст4пс, Ст4сп, Ст5пс, Ст5сп, Ст6пс, Ст6сп |
| Сталь качественная конструкционная ² , ГОСТ 1050–88 | %С×100+ раскисление («кп», «пс») | 05кп, 08кп,08пс, 08, 10кп, 10пс, 10, 20кп, 20пс, 20, 25, 30, 35, 40, 45, 50, 55, 60 |
| Сталь для котлов и сосудов, работающих | %C×100+K | углеродистая: 15К, 16К, 18К, 20К, 22К |
| под давлением ³ , ГОСТ 5520–79 | %С×100+ЛЭ+ %ЛЭ | легированная: 09Г2С, 16ГС, 10Г2С1, 17ГС, 17Г1С, 14ХГС, 12ХМ, 10Х2М, 12Х1МФ |
| Сталь легированная конструкционная ² , ГОСТ 4543–71 | %С×100+ЛЭ+%Л Э+ гр. качества «А» или «-Ш» в конце марки | 15X, 15XA, 20X, 30X, 35X, 40X, 45X, 50X, 15Γ, 20Γ, 25Γ, 30Γ, 40Γ, 45Γ, 50Γ, 20XΓΡ, 30XΓΤ, 25XΓΜ, 30XΓC, 30XΓCA, 30XΓC-Ш, 40XH, 38X2H2MA, 38X2MHOA |
| Сталь рессорно- | %C×100+ЛЭ+%Л | 65, 70, 75, 80, 85, 60Γ, 70Γ, 55C2, |
| пружинная ⁴ , | Э+ гр. качества | 55C2A, 60C2, 60C2A, 60C3A, |
| ГОСТ 14959–79 | «А» в конце | 60C2Γ, 50XΓ, 55XΓP,50XΦA, |

| Группа сплавов, ГОСТ | Схема маркировки | Марки |
|---|------------------------------|--|
| | марки | 60C2H2A |
| Сталь низколегированная универсальная ⁵ , ГОСТ 19282–73 | %С×100+ЛЭ+ %ЛЭ | 09Г2, 14Г2, 12ГС, 16ГС, 17ГС, 17Г1С, 09Г2С, 10Г2С1, 10Г2БД, 15Г2СФД, 14Г2АФ, 16Г2АФ, 18Г2АФпс, 14ХГС, 15Г2АФДпс, 10ХСНД, 10ХСНДП, 15ХСНД |
| Сталь для армирования ж/б конструкций ⁶ , ГОСТ 5781–82 | %С×100+ЛЭ+ %ЛЭ | 18Г2С, 20ХГ2Ц, 25Г2С, 35ГС |
| Сталь теплоустойчивая ⁷ , ГОСТ 20072–74 | %С×100+ЛЭ+ %ЛЭ | перлитная: 12МХ; 12Х1МФ; 20Х1М1Ф1ТР; 20Х1М1Ф1Б1; 25Х1МФ; 25Х2М1Ф; 18Х3МВ; 20Х3МВФ; мартенситная:15Х5; 15Х5М; 15Х5ВФ; 12Х8ВФ |
| Сталь высоколегированная ⁸ , ГОСТ 5632–72 | %С×100+ЛЭ+ %ЛЭ | 9 –20X13, 40X13, 65X13, 14X17H2, 03X23H6, 12X18H10Т и др.; 10 – 40X9C2, 40X10C2M, 12X18H10T, 20X23H18 и др. 11 – 12X18H10T, 20X23H18 и др. |
| Сплав на Fe+Ni основе (Ni<50%), ГОСТ 5632-72 | ХН+%Nі+ЛЭ | 9 – 06XH28MДТ, 03XH28МДТ и др.; 10 – XH38BT, XH28МТ, XH45Ю и др.; 11 – XH35BT, XH38BT, XH45Ю и др. |
| Сплав на Ni основе (Ni>50%), ГОСТ 5632-72 | H+%Ni+ЛЭ или XH+%Ni+ЛЭ | 9 – Н70МФВ, ХН65МВ и др. 10 – ХН60Ю, ХН70Ю, ХН78Т, ХН75МБТЮ и др.; 11 – ХН60Ю, ХН70Ю, ХН78Т, ХН75МБТЮ и др. |

Примечания

1 — примерное содержание углерода определяется по формуле C=0,07·№; 2 — применение определяется содержанием углерода (см. таблицу 2.4.2); 3 — для котельного оборудования; 4 — для упругих элементов; 5 — для сварных конструкций; 6 — арматура периодического профиля; 7 — для деталей, работающих в нагруженном состоянии при температуре до 600°С в течении длительного времени; 8 — применение определяется содержанием углерода и легированием (см. таблицу 2.4.3); 9 — преимущественно коррозионностойкие сплавы; 10 — преимущественно жаростойкие сплавы $t_{pa\bar{o}} > 550$ °C; 11 — преимущественно жаропрочные сплавы $t_{pa\bar{o}} > 550$ °C.

Таблица 2.4.5. Деформируемые инструментальные стали

| Группа сплавов, ГОСТ | Схема маркировки | Марки |
|--|--|--|
| Сталь нелегированная инструментальная ГОСТ 1435–99 | У+%С×10+ группа качества («А») | У7, У8, У9, У10, У11, У12, У13, У7А, У8А, У9А, У10А, У11А, У12А, У13А |
| Сталь легированная инструментальная, ГОСТ 5950–2000 | %C×10+ЛЭ+%ЛЭ | 2 – 9ХФ, 13Х12Х1, 9ХВГ, 9Г2Ф, 8Х6НФТ и др. 3 – 7Х3, 5ХНМ, 5ХНВ, 4ХС, 3Х3М3Ф и др. |
| | ЛЭ+%ЛЭ (C>1%) | 2 – ХВ4Ф, Х, ХВГ, Х12 и др. |
| Сталь подшипниковая ⁴ , ГОСТ 801–78 | ШХ+%Cr×10+ ЛЭ+%ЛЭ | ШХ4, ШХ15, ШХ15-Ш, ШХ15СГ, ШХ15СГ-Ш, ШХ20СГ и др. |
| Сталь быстрорежущая ⁵ , ГОСТ 19265–73 | P+%W+ ЛЭ+%ЛЭ (C=0,71,1%; Cr=2%; V=13%) | P18, P9, P6M5, 11P3AM3Ф2, P6M5Ф3, P12Ф3, P18К5Ф2, P9К5, P6M5K5, P9M4K8, P2AM9K5 |

Примечания

1 — для инструмента для обработки дерева, для ручной обработки металла; 2 — для инструмента для обработки в холодном состоянии $t_{o\delta p}$ < 300° C; 3 — для инструмента для обработки в горячем состоянии $t_{o\delta p}$ > 300° C; 4 — для тел качения и колец подшипников качения (C=0,7...1,1%, Cr V); 5 — для станочного режущего инструмента.

Таблица 2.4.6.

Литейные сплавы железа

| Группа сплавов, ГОСТ | Схема маркировки | Группы марок |
|--|--|------------------|
| Сталь литейная, ГОСТ 977-88 | %C×100+Л | 1 |
| | %C×100+ЛЭ+%ЛЭ+Л | 2; 3; 4; 5; 6; 7 |
| Чугун с пластинчатым графитом (серый), ГОСТ 1412–85 | C Ч $+\sigma_B$ кгс/мм 2 | 1 |
| Чугун с шаровидным графитом (высокопрочный). ГОСТ 7293–85 | BЧ+ $\sigma_{\rm B}$ кгс/мм ² | 2 |
| Чугун с вермикулярным графитом, ГОСТ 28394–89 | ЧВГ+ $\sigma_{\rm B}$ кгс/мм 2 | 3 |
| Чугун ковкий, ГОСТ 1215–79 | KY+ σB κγc/mm2+δ % | 4 |
| Чугун легированный, ГОСТ 7769-82 | Ч+ЛЭ+%ЛЭ+Ш Ш – шаровидный графит | 5 |

Марки сплавов

Марки сталей: 1 – конструкционная нелегированная: 15Л, 20Л, 25Л, 30Л, 35Л, 40Л, 45Л, 50Л и др.; 2 – конструкционная легированная: 20ГЛ, 35XГСЛ,45ФЛ, 12ДХН1МФЛ, 30X3С3ГМЛ, 03H12 X5M3ТЮЛ и др.; **3** – специальная коррозионностойкая: 20Х13Л, 09Х17Н3СЛ, 15Х25ТЛ, 14Х18Н4Г4Л, 12Х18Р9ТЛ; 4 – специальная жаростойкая: 20Х5МЛ, 40X9C2Л, 35X23H7CЛ, 55X18Г14C2TЛ; **5** – специальная жаропрочная: 20Х12ВНМФЛ, 35Х18Н24С2Л, 20Х21Н46В8РЛ; 6 – специальная износостойкая: 110Г13Л, 110Г13Х2БРЛ,130Г14ХМФАЛ; 7 – специальная быстрорежущая: 85Х4М5Ф2В6Л (Р6М5Л), 90Х4М4Ф2В6Л (Р6М4Ф2Л). Марки чугунов с указанием структуры матрицы Ф-ферритная; П-перлитная; Φ +П-феррито-перлитная; Б-бейнитная: **1** – серый: СЧ10; СЧ15 (Ф); СЧ18; СЧ20; СЧ21; СЧ24; СЧ25 (Ф+П); СЧ30; СЧ35 (П); 2 – высокопрочный: ВЧ35 (Φ); BY40; BY50, BY60 (Φ + Π); BY70; BY80 (Π); BY100 (Ξ); **3** – c вермикулярным графитом ЧВГ30; ЧВГ35; ЧВГ40; ЧВГ45; 4 – ковкий КЧ30-6, K433-8; K435-10; K437-12; K445-7; K455-5; K455-4; K460-3; K465-3; КЧ70-2; КЧ80-1,5; 5 – легированный для специальных отливок (обозначение л.э. см. в таблице 2.4.1): жаростойкие – ЧХ1, ЧХ2, ЧС5, ЧС5Ш, ЧЮХШ; коррозионностойкие – ЧС13, ЧС15 (ферросилид), ЧС17 (ферросилид), ЧС15М4 (антихлор), ЧС17М3 (антихлор), ЧНХТ, ЧНХМД, ЧНМШ, ЧНДХМІІІ; износостойкие – ЧХЗТ, ЧХ9Н5, ЧГ6СЗІІІ, ЧГ7Х4, ЧХЗХМДІІІ, ЧН2Х, ЧН4Х2; коррозионностойкие и жаростойкие – ЧХ22С. ЧХ28: жаростойкие и износостойкие – ЧХЗ, ЧХ16, ЧХЗ2, ЧЮ6С5, ЧЮ7Х2; жаропрочные и маломагнитные – ЧН11Г7Ш, ЧН15Д3Ш, ЧН19Х3Ш; жаропрочный, хладостойкий, маломагнитный – ЧН20Д2Ш.

Таблица 2.4.7. Подгруппы сталей и сплавов никеля, имеющие собственные названия

Подгруппа, марки, особенности применения

Сталь легированная конструкционная ГОСТ 4543-71

Хромансили

Среднеуглеродистая хромокремнемарганцовая сталь. Марки: 20ХГСА, 25ХГСА, 30ХГС, 30ХГСА, 35ХГСА. Применяется для ответственных сварных и штампованных деталей, применяемых в улучшенном состоянии: ходовые винты, оси, валы, червяки, коленчатые валы, штоки и др.

Нитраллои

Среднеуглеродистая сталь хромоалюминиевая с молибденом марки 38X2MЮА. Применяется для изготовления азотируемых деталей. Поверхностный азотированный слой имеет большую твердость (до 1200 HV) и износостойкость.

Сталь высоколегированная ГОСТ 5632-72

Сильхромы

Среднеуглеродистые жаростойкие и жаропрочные стали. Марки: 40Х9С2, 40Х10С2М. В зависимости от требуемого уровня эксплуатационных свойств С. дополнительно легируют Мо (до 0,9%) и Si (до 1,8%). Устойчивы против окисления на воздухе и в содержащих серу средах до 850-950°С; С. применяются главным образом для изготовления тарелок клапанов двигателей внутреннего сгорания, а также деталей котельных установок, колосников и др.

Сплавы никеля ГОСТ 5632-72

Хастеллои

Коррозионностойкие никелевые сплавы типа Ni — Мо и Ni — Cr — Мо, содержат 15-30% Мо, до 16% Сr, дополнительно легируются кобальтом и др. элементами Для предупреждения межкристаллитной коррозии содержание углерода в X. снижено до 0,02-0,05%. Марки: H70МФВ, XH65МВ, XH65МВУ. X. Применяются как кислотостойкие сплавы, обладают высокой жаропрочностью до 800°С после термообработки закалка+старение. Однако максимальное упрочнение X. соответствует минимуму коррозионной стойкости.

Нимоники

Дисперсионно твердеющие жаропрочные сплавы на основе никеля, содержащие Cr, Ti, Al. Марки: XH77TЮ, XH77TЮР и др. **H.** применяются для лопаток турбин реактивных двигателей.

Инконели

Гомогенный жаропрочный и жаростойкий (основное свойство) сплав, содержащий ~ 15% хрома и до 9% железа. Марки: ХН80ТБЮ, ХН70ВМТЮ и др. **И.** применяются как конструкционный материал для деталей газотурбинных двигателей, сверхзвуковых самолётов, ракет и др. **И.** отличаются высокими прочностью и ударной вязкостью при температурах до 900°С, нечувствительностью к надрезам при низких (до -78 °С) температурах. **И.** обладают хорошей свариваемость, поэтому их применяют в качестве сварочного материала при получении сварных соединений, работающих при высокой температуре.

Сталь литейная ГОСТ 977-88

Гадфильда сталь

Износостойкая сталь с высоким содержанием марганца (11- 14%) марки: 110Г13Л, 110Г13Х2БРЛ и др. Из Г.с. изготовляют рельсовые крестовины, части стрелочных переводов, щёки дробилок и другие детали, подвергающиеся истиранию при больших удельных давлениях.

 Таблица 2.4.8.
 Условное обозначение легирующих элементов при маркировке цветных сплавов

| Элемент (символ) | Буква¹ | Элемент (символ) | Буква¹ |
|-------------------------|-------------------------|------------------|-------------------------|
| A люминий 2 (Al) | основа ³ , А | Мышьяк (As) | Мш |
| Бериллий (Ве) | Б | Никель (Ni) | Н |
| Железо (Fe) | Ж | Олово (Sn) | основа ⁵ , О |

| Кадмий (Cd) | Кд | Свинец (Pb) | основа ⁶ , С |
|---------------|-------------------------|--------------|-------------------------|
| Кобальт (Со) | К (Ко) | Сурьма (Sb) | Су |
| Кремний (Si) | К (Кр) | Серебро (Ад) | Ср |
| Магний (Мд) | Мг | Фосфор (Р) | Φ |
| Марганец (Mn) | Мц | Цинк (Zn) | основа ⁷ , Ц |
| Медь (Си) | основа ⁴ , М | | |

Примечания: 1 — буква русского алфавита; 2 — жирным шрифтом выделены часто употребляемые легирующие элементы в цветных сплавах; 3-7 основа сплавов: 3—алюминиевые конструкционные сплавы, подшипниковые сплавы; 4—бронзы, латуни, Cu-Ni сплавы, припои ПМЦ; 5—оловянные баббиты; припои ПОС, ПОЦ; 6—свинцовые баббиты; 7-латуни, подшипниковые сплавы, припои ПОЦ.

Таблица 2.4.9. Деформируемые цветные сплавы

| Схема маркировки | Марки | | |
|---|---|--|--|
| Алюминиевые сплавы ГОСТ 4784–97 | | | |
| Система | Марки | | |
| Al-Mn | АМц; АМцС, Д12 | | |
| Al-Mg-Si | АД31; АД31Е; АД33; АД35; АВ (авиаль) | | |
| Al-Cu-Mg-Mn | Д1, Д16, В65, Д18, Д19, Д21, Д20, ВД17 | | |
| (дуралюмины) | | | |
| Al-Zn-Mg-Cu | 1915, 1925, B65, B95, B93, B95-1, B95-2 | | |
| (высокопрочные сплавы | | | |
| Al-Cu-Mg-Si (ковочные | AK4, AK4-1, AK6, AK8, 1201, 1105 | | |
| сплавы) | | | |
| Al-Mg (магналии) | AMr1, AMr2, AMr3, AMr4, AMr5, AMr6 | | |
| Маг | ниевые сплавы ГОСТ 14957–76 | | |
| МА + №марки | MA5; MA11; MA14; MA19 | | |
| Латунь | (основа Cu+Zn) ГОСТ 15527-2004 | | |
| Л+ЛЭ+%Сu+%ЛЭ; | Л90, Л68, Л63, Л60, ЛА77-2, ЛАН59-3-2, | | |
| Zn - остальное | ЛН65-5, ЛЖМц59-1-1, ЛМц58-2, ЛО70-1, | | |
| Zii - Octalibrioc | ЛК80-3 и др. | | |
| Бронза (основа Си) | | | |
| 1 | онза оловянная ГОСТ 5017–2006 | | |
| Бр+ЛЭ+%ЛЭ | БрОФ6,5-0,15; БрОФ6,5-0,4; БрОФ2-0,25; | | |
| Си – остальное | БрОФ4-0,25; БрОЦ4-3; БрОЦС4-4-2,5 и др. | | |
| Брог | нза безоловянная ГОСТ 18175–78 | | |
| | БрА5; БрА7; БрАМц9-2; БрАМц10-2; БрАЖ9- | | |
| Бр+ЛЭ+%ЛЭ | 4; БрАЖН10-4-4; БрБ2; БрБНТ1,7; БрБНТ1,9; | | |
| Си – остальное | БрБНТ1,9Мг; БрБКМц3-1; БрКН1-3; БрМц5; | | |
| Cu octusibnoc | БрАЖНМц9-4-4-1; БрКд1; БрМг0,3; БрХ1; | | |
| | БрХЦр; БрНХК2,5-0,7-0,6 | | |
| | | | |
| Медно-никелевые сплавы (основа Cu+Ni) ГОСТ 492–2006 | | | |

| Схема маркировки | Марки | | |
|--|--|--|--|
| | МН95-5; МН25; МНА6-1,5 (куниаль-Б); | | |
| | МНА13-3 (куниаль А); | | |
| МН+ЛЭ+%Nі+%Ј | IЭ МНЦ15-20, МНЦ12-24, МНЦ18-20, МНЦС16- | | |
| Си – остальное | 29-1,8 (нейзильберы); | | |
| | МН19, МНЖ5-1, МНЖМц10-1-1, МНЖМц30- | | |
| | 1-1 (мельхиоры) | | |
| Т | Титановые сплавы ГОСТ 19807–91 | | |
| α -сплавы → ВТ+№ма | рки ВТ5; ВТ5-1 | | |
| псевдо -α -сплавы→ | | | |
| ОТ+№марки | OT4-1; OT4 | | |
| ВТ+№марки | BT20 | | |
| $(\alpha+\beta)$ -сплавы \rightarrow | BT6; BT14; BT16: BT22 | | |
| ВТ+№марки | | | |

Примечания: Системы алюминиевых сплавов: **1**. Al-Mn; **2**. Al-Mg-Si; **3**. Al-Cu-Mg-Mn (дуралюмины); **4**. Al-Zn-Mg-Cu (высокопрочные сплавы); **5**. Al-Cu-Mg-Si (ковочные сплавы); **6**. Al-Mg-Si-Cu-Mn (авиаль).

Алюминиевые сплавы ГОСТ 1583–93 A+JJ+%JJ=

Таблица 2.4.10.

Литейные цветные сплавы

| АК12 (АЛ2 ¹), АК9, АК9ч (АЛ4), АК8л (АЛ34), АК7, АК7ч (АЛ9), АК7пч |
|--|
| (АЛ9-1), АК9Су, АК5М (АЛ5), АК5Мч (АЛ5-1), АК5М2, АК5М2, АК8М |
| (АЛ32), АК5М4, АК8М3, АК8М3ч (ВАЛ-8), АК9М2, АК12М2, |
| АК12ММгН (АЛ30), АК12М2МгН (АЛ25), АК21М2,5Н2,5 (ВКЖЛС-2), |
| АМ5 (АЛ19), АМ4,5Кд (ВАЛ-10), АМг5К (АЛ13), АМг5Мц (АЛ28), |
| АМг6л (АЛ23), АМг10 (АЛ27), АМг11 (АЛ22), АМг7 (АЛ29), АК7Ц9 |
| (АЛ11), АК9Ц6, АЦ4Мг (АЛ24) |
| Магниевые сплавы ГОСТ 2856-79 |
| МЛ+№ марки |
| МЛ5; МЛ8; МЛ12; МЛ9; МЛ10; МЛ15 |
| Латунь (основа Cu+Zn) ГОСТ 17711–93 |
| $\Pi U + \% Zn + \Pi O + \% \Pi O$ (Сu – остальное) |
| ЛЦ40С, ЛЦ38Мц2С2, ЛЦ30А3, ЛЦ23А6Ж3Мц2, ЛЦ16К4, ЛЦ14К3С3 |
| Бронза (основа Си) |
| Бронза оловянная ГОСТ 613–79 |
| <i>Бр+ЛЭ+% ЛЭ</i> (Си – остальное) |
| БрО3Ц7С5Н1, БрО3Ц12С5, БрО4С17, БрО5Ц5С5, БрО10Ц2, БрО10Ф1 |
| Бронза безоловянная ГОСТ 493–79 |
| $Ep + \mathcal{I}O + \mathcal{N}O + \mathcal{I}^2$ (Си – остальное) |
| БрА9Мц2Л; БрА10Мц2Л; БрА9Ж3Л; БрА10Ж3Мц2Л; БрА10Ж4Н4Л; |

БрА11Ж6Н6; БрА9Ж4Н4Мц1; БрА7Мц15Ж3Н2Ц2; БрС30; БрСу3Н3Ц3С20Ф

Титановые сплавы

 $BT+\mathcal{N}_{\mathcal{D}}$ марки $+\mathcal{J}_{\mathcal{I}}$

ВТ5Л; ВТ3-1Л; ВТ14Л; ВТ20Л

Примечания: 1 – в скобках указана старая маркировка алюминиевых литейных сплавов; 2 – «Л» в конце марки литейной бронзы указывается в случае, если бронза одного состава выпускается в виде деформируемого и литейного сплава (пример: сплавы БрА9Мц2Л и БрАМц9-2 в таблице 2.4.9).

Таблица 2.4.11. Подгруппы цветных сплавов, имеющие собственные названия

Сплавы системы *Си-Ni*

Монель-металл

Никель-медный сплав, легированный железом и марганцем, марки НМЖМц28-2,5-1,5. **М.-м.** обладает высокой коррозионной стойкостью (на воздухе, в воде, во многих кислотах и крепких щелочах) в сочетании со сравнительно высокой механической прочностью; жаростоек до 500°С. **М.-м.** применяется для изготовления деталей и аппаратов в химической, судостроительной, медицинской, нефтяной, текстильной и других отраслях промышленности.

Мельхиоры

Сплавы, содержащие Ni =5-30%, отличаются высокой стойкости против коррозии в воздушной атмосфере, пресной и морской воде. Марки М.: МН19, МНЖ5-1, МНЖМц10-1-1, МНЖМц30-1-1. Увеличенное содержание Ni, а также добавки Fe и Mn обеспечивают М. повышенную коррозионную и кавитационную стойкость, особенно в морской воде и в атмосфере водяного пара. Благодаря Ni, М., в отличие от латуней и бронз, имеет не желтоватый, а серебристый цвет, который в сочетании с высокой коррозионной стойкостью предопределил применение сплава МН19 для изготовления посуды и др. изделий массового потребления, в том числе чеканных.

Нейзильберы

Сплавы, содержащие 5-35% Ni и 13-45% Zn. При повышенном содержании никеля **H.** имеет красивый белый цвет с зеленоватым или синеватым отливом и высокую стойкость против коррозии. **H.** применяется в электротехнике (плоские пружины реле), для производства посеребрённой посуды и художественных изделий, называемых мельхиоровыми, приборов точной механики, медицинского инструмента, паровой и водяной арматуры.

Куниали

Сплавы, содержащие 4-20% Ni и 1-4% Al. Марки: МНА 13-3 (К. А), МНА

6-1,5 (**К.** Б). **К.** отличаются высокой коррозионной стойкостью в атмосферных условиях, пресной и морской воде. **К.** А после закалки и старения имеет: $\sigma_B \ge 700$ МПа (70 кгс/мм²) , $\delta \ge 7\%$. В нагартованном состоянии **К.** А имеет σ_B до 950 МПА (95 кгс/мм²) при $\delta = 2-4\%$. **К.** применяются для изготовления деталей специального назначения, которые должны обладать одновременно прочностью и высокой коррозионной стойкостью.

Сплавы алюминия

Дуралюмин (дюралюминий)

Сплавы системы Al-Cu-Mg-Mn, упрочняемые термической обработкой. Марки Л.: Д1, Д16, Д18, Д19, Д21, Д20. На закалённом **Д.** было открыто явление упрочнения при естественном старении (А. Вильм, 1906). Из Д. методом полунепрерывного литья отливают слитки, которые подвергают обработке давлением (прокатке, прессованию и т.п.) для получения плит, листов, профилей, труб, проволоки для заклёпок, поковок и др. полуфабрикатов. Д. закаливают в воде при температуре около 500°C и затем подвергают естественному старению в течение 4 сут или реже искусственному старению при температуре около 190°С. После такой термической обработки предел прочности Д. разных марок составляет примерно 400-500 МПа (40-50 кг/мм 2). Д. широко применяют в авиации. Из сплава Д1 изготовляют лопасти воздушных винтов, из Д16 $unah zoym b^{1}$, $hep b hop b^{2}$, тяги управления и др. Кроме того, Д. используют для строительных конструкций, кузовов грузовых автомобилей, обсадных $mpy \delta^3$ др. Сплав Д18 – один из основных заклепочных алюминиевых сплавов. Заклепки из Д. Д18 ставят в конструкцию после закалки и естественного старения.

Ковочные сплавы

Сплавы системы Al-Cu-Mg-Si, упрочняемые термообработкой. Марки **К.** с.: АК4, АК4-1, АК6, АК8. К. с. обладают хорошей пластичностью и стойки к образованию трещин при горячей пластической деформации. Ковку и штамповку **К. с.** ведут при 450-475°C, их применяют после закалки и искусственного старения. Сплавы с пониженным содержанием меди (АК6) отличаются лучшей технологической пластичностью, прочностью $(\sigma_B=360M\Pi a)$. К. c. используются ДЛЯ средненагруженных деталей сложной формы: большие крыльчатки, фитинги 4 , качалки, крепежные детали. **К. с.** с повышенным содержанием меди (АК8) хуже обрабатываются давлением, но более прочны и применяются для высоконагруженных деталей несложной формы: подмоторные рамы, пояса лонжеронов и др.

Высокопрочные сплавы

Сплавы системы Al-Zn-Mg-Cu отличаются высокой прочностью (σ_B =600-700 МПа) после термообработки. Марки **B.c.**: B65, B95, BД17, B93,

В96Ц, В91, В92. Наибольшее упрочнение вызывает закалка (465-475°С) и старение (140°С, 16 ч). **В.с.** применяются в авиации для высоконагруженных деталей конструкций, работающих в основном в условиях сжатия (обшивка, *стрингеры* шпангоуты, лонжероны и др.).

Сплавы системы Al-Mg, характеризующиеся высокой коррозионной свариваемостью, стойкостью, хорошей высокой пластичностью. Деформируемые **М.** (1-7% Mg): АМг1, АМг2, АМг3, АМг4, АМг5, АМг6; литейные М. (4-13% Мд): АМг4К1,5М, АМг5К (АЛ13), АМг5МЦ (АЛ28), АМг6л (АЛ23), АМг10 (АЛ27), АМг11 (АЛ22), АМг7 (АЛ29). Литейные **М.** имеют прочность $\sigma_R = 340-380$ МПа $(34-38 \text{ кгс/мм}^2)$, $\delta = 10-20\%$; деформируемые сплавы имеют прочность $\sigma_{\rm R}$ = 80-340 MH/м² (8-34 кгс/мм²). 20-40%]. Деформируемые Μ. применяются конструкционного (сварные конструкции, заклёпки) и декоративного материала.

Силумины

Сплавы Al-Si (кремний 4-13%, в некоторых марках до 23%) повышенной коррозионной стойкости во влажной и морской атмосферах. Марки С.: AK12(АЛ2), AK9ч(АЛ4), AK8л (АЛ34), AK7ч(АЛ9), AK5M2, AK5M7, AK6M2, AK8M (АЛ32), AK5M4, AK8M3, AK9M2, AK12M2, AK12MMrH (АЛ30), AK12M2MrH (АЛ25), AK12M2,5H2,5 (ВКЖЛС-2) и др. С. применяются для изготовления деталей сложной конфигурации, главным образом в авто- и авиастроении.

Авиаль

Деформируемый сплав марки AB: Mg 0,45-0,9%; Si 0,5-1,2%; Cu 0,2- 0,6%; Mn 0,15-0,35% (или Cr в том же количестве); Fe не более 0,5%; Zn не более 0,1%, остальное - Al. A. обладает высокой пластичностью, удовлетворительной коррозионной стойкостью. Применяется для производства сложных по форме деталей средней прочности, в частности кованых и штампованных (лопасти винтов вертолётов, профили и обшивку для строительных конструкций, кованые детали двигателей и т. п.).

$CA\Pi$

САП (спечённая алюминиевая пудра) — сплавы на основе Al — Al_2O_3 . САП получают путём холодного брикетирования алюминиевой пудры (порошка), вакуумной дегазации брикетов (отжига) и последующего спекания нагретых брикетов под давлением. Содержание чешуек Al_2O_3 в САП колеблется в пределах 6 — 22%. С увеличением содержания Al_2O_3 предел прочности сплава повышается от 300 — 320 МПа для САП1 (6 — 9% Al_2O_3) до 440 — 460 МПа для САП4 (18 — 22% Al_2O_3), а относительное сужение сплавов при этом снижается от 5 — 8% до 1,5 — 2%. САП обладают высокой жаропрочностью до 500°C.

Примечания

Примечания

1 шпангоут – прямая или криволинейная балка набора корпуса судна (или фюзеляжа самолёта); 2 нервюра – в авиастроении, элемент поперечного силового набора каркаса крыла, оперения и др. частей летательного аппарата, предназначенный для придания им формы профиля. Н. закрепляются на продольном силовом наборе и служат основой для крепления обшивки; 3 обсадная труба – труба для крепления стенок скважины при бурении; 4 фитинг – соединительная часть трубопровода, устанавливаемая в местах его разветвлений, поворотов, переходов на др. диаметр, а также при необходимости частой сборки и разборки труб; Ф. подразделяются на угольники (изменяют направление на 90°), тройники (обеспечивают ответвление в одном направлении), кресты (обеспечивают ответвление в двух направлениях), муфты (соединяют трубы прямого участка), пробки, колпаки (используют для герметичной заделки концов труб) и др.; 5 лонжерон – основной силовой элемент конструкции многих инженерных сооружений (самолётов, автомобилей, мостов, кораблей и других): Л. располагаются по длине конструкции и совместно со стрингерами образуют у самолётов продольный набор каркаса крыльев, фюзеляжа, оперения, рулей и элеронов. У автомобилей и вагонов 2 Л., соединённые поперечными элементами, образуют раму (шасси), несущую кузов, колёса и двигатель; Л. имеют двугавровое, швеллерное, коробчатое или фигурное сечение и изготовляются из металлических профилей и листов; 6 стрингер – продольный элемент конструкции корпуса (каркаса) судна, летательного аппарата, вагона и т.п.; к С., связанным с поперечными элементами конструкции (шпангоутами, бимсами), крепится (заклёпками, сваркой, склейкой) обшивка.

 Таблица 2.4.12.
 Принципы маркировки некоторых групп сталей по стандартам индустриальных стран

| Россия | США | Германия | Япония | |
|---------------------------|---|--|-----------------------------|--|
| | Деформируемые стали | | | |
| | Обыкновен | ного качества | | |
| | № стандарта + Grade | | | |
| Ст + № марки | Grade-марка: A, B, C, D | $St + \sigma_B$, $\kappa \Gamma c / mm^2$ | SS + σ_B , M Πa | |
| | Grade– марка: σ _T , ksi * | | | |
| Углеродистые качественные | | | | |
| % C × 100 | $Y_1 Y_2 Y_3 Y_3$ $Y_1 = 1; Y_2 = 0;$ $Y_3 Y_3 = \% C \times 100$ | | $S + \% C \times 100 + C$ | |

| Россия | США | Германия | Япония |
|---|---|--|---|
| Конструкционные низколегированные | | | |
| % С×100+ЛЭ+%ЛЭ | $Y_1 Y_2 Y_3 Y_3$ $Y_1 = JT3; Y_2 =$ %JT3; $Y_3 Y_3 = \% C \times 100$ | % С×100+ ЛЭ+%ЛЭ×К К-коэффициент | S+ЛЭ+№ гр.+%С×100 |
| F | Высоколегированн | ная конструкционна | Я |
| % С×100+ЛЭ+%ЛЭ | $X_1 X_2 X_2 X_1 = \Pi \Theta$ $X_2 X_2 = \mathbb{N}_2$ марки | X+% С×100+ЛЭ+%ЛЭ | SUS + № AISI |
| | Инструм | ентальная | |
| У + %C×10 % C×10+ЛЭ+%ЛЭ ЛЭ+%ЛЭ | № гр. + % C × 100 | % С×100+ ЛЭ+%ЛЭ×К Х+% С×100+ ЛЭ+%ЛЭ К-коэффициент | SK + № марки SKD + № марки |
| | Быстро | режущая | |
| P + % W | | S+%W+%Mo+%V +%Co | SKH + № марки |
| | Литейн | ые стали | |
| | Нелегированные | | |
| % C × 100 +Л | № стандарта + Grade Grade – марка; ов-от в МПа | $GS + \sigma_B$, kgc/mm ² $GS + C + \%C \times 100$ | SC+ σ_B , МПа |
| | Низколег | тированные | |
| % С×100+ЛЭ+ %ЛЭ+Л | № стандарта + марка марка: буквы и цифры | GS+%C×100 +ЛЭ+%ЛЭ×К К-коэффициент | SC + ЛЭ + категория SC + марка марка: буквы и цифры |
| Высоколегированные | | | |
| % С×100+ЛЭ+ %ЛЭ+Л | J + №UNS | GS+X+% C×100+ ЛЭ+%ЛЭ | SCS + № марки |
| Примечания: 1ksi = 1lbf/in ² (фунт-сила на квадратный дюйм) - | | | |
| единица измерения механического напряжения, основанная на неметрических единицах силы (фунт) и линейного размера (дюйм), применяемая в Великобритании и США. 1 ksi = 6,9 МПа = 0,69 кгс/мм 2 . Пример: σ_T =70 ksi = 485 МПа=48,5 кгс/мм 2 . | | | |

 Таблица 2.4.13.
 Зарубежные аналоги некоторых отечественных сталей

| Россия | США | Германия | Я пония | |
|------------------------------|-------------------------------------|-------------------|-----------------|--|
| Сталь обыкновенного качества | | | | |
| Ст3 сп | ASTM A283 C* | St 37-3 | _ | |
| Ст4 сп | ASTM A131 A* | St 44-2 | SM41 A | |
| Ст5 сп | - | St 50-2 | SS50 | |
| Ст6 сп | _ | St 60-2 | _ | |
| | Сталь качественна | я конструкционная | I | |
| 10 | ASTM A29M | Ck10 | S10C | |
| | 1010* | | | |
| 20 | ASTM A29M | Ck22 | S20C | |
| | 1020* | | | |
| 30 | ASTM A29M | Ck30 | S30C | |
| | 1030* | | | |
| 40 | ASTM A29M | Ck40 | S40C | |
| | 1040* | | | |
| 50 | ASTM A29M | Ck50 | S50C | |
| | 1050 [*] | | | |
| 60 | ASTM A29M | Ck60 | S58C | |
| | 1060* | | | |
| C | таль низколегирова | нная конструкцион | ная | |
| 15XA | ASTM A29M | 15Cr3 | SCr415 | |
| | 5115* | | | |
| 12XH3A | _ | 14NiCr10 | SNC815H | |
| 40X | ASTM A29M | 41Cr4 | SCr440 | |
| | 5140 [*] | | | |
| 15XM | _ | _ | SMC415 | |
| 30XMA | ASTM A304 | 25CrMo4 | SMC432 | |
| | 4130H* | | | |
| 38Х2МЮА | ASTM A355 | 41CrAlMo5 | SACM645 | |
| | ClassA* | | | |
| | Сталь рессор | но-пружинная | | |
| 60C2A | ASTM A322 | 65Si7 | SUP7 | |
| | 9260* | | | |
| 50ΧΓΑ | ASTM A304 | 55Cr3 | SUP9A | |
| | 5155H* | | 201711 | |
| Сталь подшипниковая | | | | |
| ШХ15 | ASTM A535 | 100Cr6 | SUI2 | |
| | 52100 [*] | | ·- v | |
| | Сталь углеродистая инструментальная | | | |
| У7 | _ | C70W2 | SK7 | |
| У8 | _ | _ | SK6 | |
| . 0 | | 1 | _ D110 | |

| Россия | США | Германия | Япония |
|----------------|------------------------|--------------------|----------|
| У9 | ASTM A686 W | _ | _ |
| | 1-81/2* | | |
| У10 | ASTM A686 W | _ | SK4 |
| | 1-91/2* | | |
| У11 | ASTM A686 W | _ | SK3 |
| | 1-101/2* | | |
| У12 | ASTM A686 W | _ | SK2 |
| | 1-111/2* | | |
| | Сталь легированна: | | Я |
| X12M | AISI D2** | X165CrMoV12 | SKD11 |
| 4Х5МФ1С | AISI H13** | X40CrMoV5.2 | SK61 |
| | Сталь быст | рорежущая | |
| Р18К5Ф2 | ASTM A600 | S18-2-5 | SKH3 |
| | T4* | | |
| | Сталь высоко | легированная | |
| 12X17 | AISI 430** | X8Cr17 | SUS430 |
| 20X13 | AISI 420** | X20Cr13 | SUS420J1 |
| 40X13 | AISI 420FSe** | X40Cr13 | SUS420J2 |
| 95X18 | AISI 440 FSe** | X102CrMo17 | SUS440C |
| 12X18H9 | AISI 302** | X12CrNiTi18 9 | SUS302 |
| 12X18H10T | AISI 321H** | X12CrNiTi18 9 | _ |
| Спла | вы на железоникел | евой и никелевой о | снове |
| 06ХН28МДТ | _ | X3NiCrCuMoTi | SCS23 |
| | | 27 23 | |
| XH32T | Incolloy-810**** | X10NiCrAlTi 32 | NCF800 |
| | | 20 | |
| Н70МФВ | Hastelloy-B2**** | _ | _ |
| XH65MB | Hastelloy- C276**** | S-NiMo15Cr15 | _ |
| | C276**** | W | |
| Сталь литейная | | | |
| 50Л | ASTM A732M | GS-60 | SCC5 (A) |
| | 4A* | | |
| 20ХМЛ | ASTM A356M | GS-17CrMo5 5 | SCPH 21 |
| | 5* | | |
| 20Х13Л | UNS J91153*** | G-X20Cr 14 | SCS 2 |

Примечания: * обозначение в системе ASTM (ASTM – Американское Общество Испытания Материалов); ** обозначение в системе AISI (AISI – Американский Институт Чугуна и Стали); *** обозначение в системе UNS (UNS – универсальная система обозначения сталей и сплавов); **** индивидуальное наименование сплава.

2.5. Специальные сплавы

Таблица 2.5.1. Номенклатура и эксплуатационные свойства специальных сплавов

Наименование группы. Основное эксплуатационное свойство

Коррозионностойкие. Коррозионная стойкость (см. таблицу 2.1.4).

Жаростойкие. Жаростойкость (см. таблицу 2.1.4).

Жаропрочные. Жаропрочность (см. таблицу 2.1.4).

Износостойкие. Износостойкость (см. таблицу 2.1.5).

Подшипниковые. Антифрикционность – характеристика материала, объединяющая комплекс свойств, обеспечивающих его нормальную работу в условиях трения. А. определяется в основном такими параметрами, как коэффициент трения, износостойкость, термостойкость материала несущая способность трибосопряжения. Прирабатываемость – свойство подшипникового материала обеспечивать незначительные силы трения, интенсивность изнашивания и вероятность заедания приработки при трении по заданному материалу вала с применением материала (ГОСТ 18282-88) или заланного смазочного подшипникового материала уменьшать силу трения, температуру интенсивность изнашивания в процессе приработки (ГОСТ 27674-88, СТ и CO 4378/1-83.).

Фрикционные. Коэффициент трения — отношение силы трения F к реакции T, направленной по нормали к поверхности касания, возникающей при приложении нагрузки, прижимающей одно тело к другому: f = F/T. **К. т.** — характеристика, применяемая при выполнении технических расчётов, характеризующих фрикционное взаимодействие двух тел. Для фрикционного материала **К.т.** должен иметь стабильное высокое значение (обычно $f=0,3\div0,35$, редко $f=0,5\div0,6$).

Проводниковые. Высокая *удельная проводимость* см. таблицу (2.1.4); *пластичность* (см. таблицу 2.1.5).

Для образцовых сопротивлений. Высокое *удельное* электрическое сопротивление (см. таблицу 2.1.4) стабильное при изменении рабочей температуры.

Для нагревательных элементов. Высокое удельное электрическое сопротивление (см. таблицу 2.1.4); жаростойкость (см. таблицу 2.1.4).

Контактные. Низкое *переходное сопротивление*. Дополнительно: для разрывных контактов, для периодического замыкания и размыкания цепи \rightarrow *температура плавления* (см. таблицу 2.1.4); для скользящих контактов, для токосъёма в пантографах \rightarrow *износостойкость* (см. таблицу 2.1.5); для неподвижных контактов, для передачи энергии через зажимной контакт \rightarrow *коррозионная стойкость* (см. таблицу 2.1.4).

Магнитомягкие (магнитномягкие). Низкое значение коэрцитивной силы

Наименование группы. *Основное эксплуатационное свойство* (см. таблицу 2.1.4)

Магнитотвёрдые (магнитнотвёрдые). Высокое значение *коэрцитивной силы* (см. таблицу 2.1.4).

Припои. Для мягких припоев высокая *удельная проводимость* (см. таблицу 2.1.4); Для твердых припоев *прочность* (см. таблицу 2.1.5).

Инструментальные. *Твердость* (см. таблицу 2.1.5); *красностойкость* – способность режущей кромки инструмента сохранять твердость при нагреве до высокой температуры (см. таблицу 2.7.12).

Таблица 2.5.2. Сплавы с особыми электрическими свойствами

| Подгруппа | Схема маркировки | Марки | | |
|-------------------------|-------------------------------------|--|--|--|
| Материалы проводниковые | | | | |
| Алюминий | АД+Σ примесей | АДоч $(0,02^1)$; АД $000 (0,2^1)$; | | |
| ГОСТ 4784–97 | | АД00 (0,3 ¹); АД0 (0,5 ¹) М00б (0,01 ¹); М0б (0,03 ¹); М1 | | |
| Медь | М+ Σ примесей | | | |
| ГОСТ 859-2001 | | $(0,1^1);M2(0,3^1);M3(0,5^1)$ | | |
| Сплавы д | ля образцовых сопрот | ивлений (реостатные) | | |
| Cu – Ni сплавы | МН+ЛЭ+%Nі+%ЛЭ | манганин – МНМц3-12, | | |
| ГОСТ 492–73 | Си – остальное | МНМцАЖ3-12-0,3-0,3 | | |
| | | константан – МНМц40-1,5 | | |
| | | копель – МНМц43-0,5 | | |
| Сп | лавы для нагреватель | ных элементов | | |
| Fe-Cr-Al сплавы | X+%Cr+IO+%Al | Фехраль: Х15Ю5; Х23Ю5; | | |
| ГОСТ 10994–74 | | Х23Ю5Т; Х27Ю5Т | | |
| ГОСТ 12766.1-90 | | | | |
| Cr – Ni сплавы | X+%Cr+H+%Ni+ | Нихром: Х10Н90; Х20Н80; | | |
| ГОСТ 10994–74 | ЛЭ+%ЛЭ | X30H70; X40H60; X50H50; | | |
| ГОСТ 12766.1-90 | | Х20Н75БТЮ; Х25Н60В15Т | | |
| Материалы контактные | | | | |
| | Разрывные конт | акты | | |
| Ag, Ag+Cu | Компонентный | Слабонагруженные контакты | | |
| W, Mo, W+Mo | состав | Высоконагруженные контакты | | |
| Скользящие контакты | | | | |
| Композиционные | МГ+%Графита | МΓ3, МΓ5 | | |
| материалы | Си – основа | | | |
| Си+Графит, | СГ+%Графита | СГ3, СГ5 | | |
| Аg+Графит | Ag – основа | | | |
| Неподвижные контакты | | | | |
| Цветные металлы и | Маркировка | Cu, Zn, латунь | | |
| сплавы | металла или сплава | | | |
| Примечания: 1 – суп | Примечания: 1 – сумма примесей в %; | | | |
| | | | | |

Таблица 2.5.3. Сплавы с особыми магнитными свойствами

| Подгруппа | Схема маркировки | Марки | | |
|---|--|---|--|--|
| | | ников трансформаторов | | |
| Сталь | • | 10895; 20895; 10864; 20864; | | |
| электротехническая | | 10848; 20848 и др. | | |
| нелегированная | | - | | |
| ΓΟCT 3836–83 | Цифровая по | | | |
| Сталь | эксплуатационным | 3311; 3411; 3412; 3413; 3414; | | |
| электротехническая | свойствам | 3404; 3405; 3406; 3407; 2421; | | |
| легированная | | 2431; 2412; 2431; 2411; 2412; | | |
| ГОСТ 21427.1–83 | | 24114 и др. | | |
| ГОСТ 21427.2-83 | | | | |
| Материалы маг | нитомягкие для радио | технических устройств | | |
| Сплавы | %Ni+H+ЛЭ+ гр. | Высоколегированные | | |
| прецизионные Fe – Ni | качества (А) | ≈80%Ni: 79HM; 79HMA; | | |
| (пермаллои) | | 83НФ; 80НМ; 80НЮ; | | |
| ГОСТ 10160-75 | | 80НХС; 78Н; 77НМД; | | |
| ГОСТ 10994–74 | | 76НХД; 74НМД. | | |
| | | Низколегированные | | |
| | | ≈50%Ni:45H; 50XHC. | | |
| Материалы магнитотвёрдые для постоянных магнитов | | | | |
| | | | | |
| Сплавы | Е+ЛЭ+%ЛЭ | EX3; EX5K5; EX9K15M2; | | |
| Сплавы прецизионные (стали, | | | | |
| Сплавы прецизионные (стали, закалённые на | | EX3; EX5K5; EX9K15M2; | | |
| Сплавы прецизионные (стали, закалённые на мартенсит) | | EX3; EX5K5; EX9K15M2; | | |
| Сплавы прецизионные (стали, закалённые на | Е+ЛЭ+%ЛЭ | EX3; EX5K5; EX9K15M2; EB6 | | |
| Сплавы прецизионные (стали, закалённые на мартенсит) | | EX3; EX5K5; EX9K15M2; EB6 | | |
| Сплавы прецизионные (стали, закалённые на мартенсит) ГОСТ 10994–74 Литые Fe – Ni –Al и | Е+ЛЭ+%ЛЭ Ю+ЛЭ+%ЛЭ+ хар. структуры | EX3; EX5K5; EX9K15M2; EB6 ЮНД4; ЮНТС; ЮНДКИ; ЮНДК; ЮНДКБА; | | |
| Сплавы прецизионные (стали, закалённые на мартенсит) ГОСТ 10994–74 Литые Fe – Ni –Al и Fe – Ni –Al – Co | E+ЛЭ+%ЛЭ Ю+ЛЭ+%ЛЭ+ хар. | EX3; EX5K5; EX9K15M2; EB6 ЮНД4; ЮНТС; ЮНДКИ; ЮНДК; ЮНДКБА; ЮНДКТ5БА; ЮНДКТ5АА; | | |
| Сплавы прецизионные (стали, закалённые на мартенсит) ГОСТ 10994–74 Литые Fe – Ni –Al и | Е+ЛЭ+%ЛЭ Ю+ЛЭ+%ЛЭ+ хар. структуры | EX3; EX5K5; EX9K15M2; EB6 ЮНД4; ЮНТС; ЮНДКИ; ЮНДК; ЮНДКБА; | | |
| Сплавы прецизионные (стали, закалённые на мартенсит) ГОСТ 10994–74 Литые Fe – Ni –Al и Fe – Ni –Al – Co | Е+ЛЭ+%ЛЭ Ю+ЛЭ+%ЛЭ+ хар. структуры (А-столбчатая, | EX3; EX5K5; EX9K15M2; EB6 ЮНД4; ЮНТС; ЮНДКИ; ЮНДК; ЮНДКБА; ЮНДКТ5БА; ЮНДКТ5АА; | | |
| Сплавы прецизионные (стали, закалённые на мартенсит) ГОСТ 10994–74 Литые Fe – Ni –Al и Fe – Ni –Al – Co | Е+ЛЭ+%ЛЭ Ю+ЛЭ+%ЛЭ+ хар. структуры (А-столбчатая, АА- | EX3; EX5K5; EX9K15M2; EB6 ЮНД4; ЮНТС; ЮНДКИ; ЮНДК; ЮНДКБА; ЮНДКТ5БА; ЮНДКТ5АА; | | |
| Сплавы прецизионные (стали, закалённые на мартенсит) ГОСТ 10994–74 Литые Fe – Ni –Al и Fe – Ni –Al – Co ГОСТ 17809–72 | Е+ЛЭ+%ЛЭ Ю+ЛЭ+%ЛЭ+ хар. структуры (А-столбчатая, АА- монокристаллич., И- магнитная изотропия) | EX3; EX5K5; EX9K15M2; EB6 ЮНД4; ЮНТС; ЮНДКИ; ЮНДК; ЮНДКБА; ЮНДКТ5БА; ЮНДКТ5АА; ЮНДКТ8 | | |
| Сплавы прецизионные (стали, закалённые на мартенсит) ГОСТ 10994–74 Литые Fe – Ni –Al и Fe – Ni –Al – Co ГОСТ 17809–72 | Е+ЛЭ+%ЛЭ Ю+ЛЭ+%ЛЭ+ хар. структуры (А-столбчатая, АА- монокристаллич., И- магнитная изотропия) %Cr+X+%Co+K+ | EX3; EX5K5; EX9K15M2; EB6 ЮНД4; ЮНТС; ЮНДКИ; ЮНДК; ЮНДКБА; ЮНДКТ5БА; ЮНДКТ5АА; ЮНДКТ8 28X10K; 28X10KA; | | |
| Сплавы прецизионные (стали, закалённые на мартенсит) ГОСТ 10994–74 Литые Fe – Ni –Al и Fe – Ni –Al – Co ГОСТ 17809–72 Деформируемые Fe – Co – Cr | Е+ЛЭ+%ЛЭ Ю+ЛЭ+%ЛЭ+ хар. структуры (А-столбчатая, АА- монокристаллич., И- магнитная изотропия) | EX3; EX5K5; EX9K15M2; EB6 ЮНД4; ЮНТС; ЮНДКИ; ЮНДК; ЮНДКБА; ЮНДКТ5БА; ЮНДКТ5АА; ЮНДКТ8 28X10K; 28X10KA; 25X15K; 25X15KA; | | |
| Сплавы прецизионные (стали, закалённые на мартенсит) ГОСТ 10994–74 Литые Fe – Ni –Al и Fe – Ni –Al – Co ГОСТ 17809–72 | Е+ЛЭ+%ЛЭ Ю+ЛЭ+%ЛЭ+ хар. структуры (А-столбчатая, АА- монокристаллич., И- магнитная изотропия) %Cr+X+%Co+K+ | ЕХ3; EX5K5; EX9K15M2; EB6 ЮНД4; ЮНТС; ЮНДКИ; ЮНДК; ЮНДКБА; ЮНДКТ5БА; ЮНДКТ5АА; ЮНДКТ8 28X10K; 28X10KA; 25X15K; 25X15KA; 23X15K5ФA; 30X23K; | | |
| Сплавы прецизионные (стали, закалённые на мартенсит) ГОСТ 10994–74 Литые Fe – Ni –Al и Fe – Ni –Al – Co ГОСТ 17809–72 Деформируемые Fe – Co – Cr | Е+ЛЭ+%ЛЭ Ю+ЛЭ+%ЛЭ+ хар. структуры (А-столбчатая, | ЕХ3; EX5K5; EX9K15M2; EB6 ЮНД4; ЮНТС; ЮНДКИ; ЮНДК; ЮНДКБА; ЮНДКТ5БА; ЮНДКТ5АА; ЮНДКТ8 28X10K; 28X10KA; 25X15K; 25X15KA; 23X15K5ФA; 30X23K; 30X23KA; 22X15KA; | | |
| Сплавы прецизионные (стали, закалённые на мартенсит) ГОСТ 10994–74 Литые Fe – Ni –Al и Fe – Ni –Al – Co ГОСТ 17809–72 Деформируемые Fe – Co – Cr | Е+ЛЭ+%ЛЭ Ю+ЛЭ+%ЛЭ+ хар. структуры (А-столбчатая, | ЕХ3; EX5K5; EX9K15M2; EB6 ЮНД4; ЮНТС; ЮНДКИ; ЮНДК; ЮНДКБА; ЮНДКТ5БА; ЮНДКТ5АА; ЮНДКТ8 28X10K; 28X10KA; 25X15K; 25X15KA; 23X15K5ФA; 30X23K; | | |

Таблица 2.5.4. Сплавы с особыми триботехническими свойствами

| Подгруппа | Схема маркировки | Марки | |
|--|--|--|--|
| Сплавы износостойкие (I) | | | |
| Чугун легированный ¹ ГОСТ 10051–75 | Э+%С×100+ЛЭ+%ЛЭ | Типы электродов: 1a – Э-80X4C, Э-320X23Г2С2Т; 16 – Э300X28H4C4, Э-225X10Г10С | |
| Сталь высокомарганцов истая (сталь Гадфильда) ² ГОСТ977 –88 | %C×100+ЛЭ+%ЛЭ+Л | 110Г13Л, 110Г13Х2БРЛ, 110Г13ФТЛ, 130Г14ХМФАЛ, 120Г10ФЛ | |
| Чугун антифрикционны й ³ ГОСТ 1585–85 | АЧ+ФГВ+№марки ФГВ – форма графитных включений | на основе серого чугуна: АЧС-1; АЧС-2; АЧС-3; АЧС-4; АЧС-5; АЧС-6; на основе высокопрочного чугуна: АЧВ-1; АЧВ-2; на основе ковкого чугуна: АЧК-1; АЧК-2 | |
| | Сплавы подшипни | ковые (II) | |
| Баббиты оловянные и свинцовые ГОСТ 1320–74 | Б+%Sn+добавки+% добавок | оловянные: Б88 ⁴ , Б83 ⁵ , Б83С ⁶ ; свинцовые: Б16 ⁷ , БН ⁸ , БС6 ⁹ | |
| Сплавы алюминиевые антифрикционны е ГОСТ 14113–78 | А+ЛЭ+%ЛЭ | AO3-7; AO9-2; AO6-1; AO9-1; AO20-1; AH-2,5; ACM; AMCT | |
| Сплавы цинковые антифрикционны е ГОСТ 21437–95 | Ц+ЛЭ+%ЛЭ+Л ¹⁰ | ЦАМ9-1,5Л ⁷ ; ЦАМ9-1,5; ЦАМ10-5Л; ЦАМ10-5 | |
| Бронзографиты ¹¹ | БрОГр+%Sn+ %графита | БрОГр 10-3, БрОГр 9-3, БрОГр8-4 | |
| Железографиты ¹² | ЖГр+%графита +%пф ¹³ ЖГр+%графита+добавки +%довавок | ЖГр-1-20пф; ЖГр-2-20пф; ЖГр- 3-20пф; ЖГр-3-Д ¹⁴ -3; ЖГр-3-Цс ¹⁵ -4; ЖГр-1-Дс ¹⁶ -3 | |
| | Материалы фрикционные (III) | | |
| Сплавы на основе железа ¹⁷ | ФМК+№марки | ФМК-8, ФМК-11. | |
| Примечания | | | |

Примечания

I – основным эксплуатационным свойством является износостойкость (см.

Примечания

таблицу 2.1.5.): 1 — электроды покрытые металлические для ручной дуговой наплавки поверхностных слоёв с особыми свойствами (1а — абразивное изнашивание без ударных нагрузок; 1б — абразивное изнашивание с ударными нагрузками); 2 — применяется для деталей дробильного оборудования (броневые плиты шаровых мельниц, дробящие плиты щёковых дробилок), стрелочных переводов на ж.-д. транспорте и др. (ударно-абразивное изнашивание и повышенное давление); 3 — применяется для условий граничного трения чугунной втулки со стальным валом (сырым или термообработанным);

 II – основным эксплуатационным свойством является антифрикционность (см. 2.1.5.); подшипниковые сплавы являются конструкционными, т.е. их применяют в виде биметалла (стальная втулка+слой подшипникового сплава толщиной 0,3÷3 мм) для работы в условиях жидкостного трения: 4 - Sb = 7%, Cu=3%, Cd=1%; 5 - Sb = 11%, Cu=6%; **6** - Sb=10%, Cu=6%, Pb=1%; **7** - Sb=16%, Cu=2%; **8** - Sn=10%, Sb=14%, As=1%, Ni=0,5%; 9 - Sb=6%, Cu=0,3%; 10 - буква «Л» в маркировке литого сплава; 11 - пористый композиционный материал на основе меди (пористость 20-25%), поры наполнены маслом; бронзографит имеет низкий коэффициент трения, высокую износостойкость t_{na6}=80÷90°C; 12 - пористый композиционный материал на основе железа (пористость 17-27%), поры наполнены маслом; железографит имеет низкий коэффициент трения, высокую износостойкость; $t_{\text{paf}} = 100 \div 150^{\circ}\text{C}$; 13 – перлитноферритная структура; **14**– добавка Cu; **15**– добавка ZnS; **16** – добавка Cu₂S; III - основным эксплуатационным свойством является стабильно высокий коэффициент трения; фрикционные материалы применяют для работы в режиме сухого трения в дисковых и др. тормозах, муфтах сцепления автомобилей, фрикционных узлах приборов: 17 - спеченные сплавы Fe-Cu-Ni-C (графит) с добавками W, Cr, Cu₂S, BaSO₄, получаемые методами порошковой металлургии;

Таблица 2.5.5. Сплавы твердые спечённые ГОСТ 3882-74

| Подгруппа | Схема маркировки | Марки |
|------------------------|---|---|
| Сплавы WC–Co | B+K+%Co WC - остальное | 1. BK3; BK4; BK6; BK8 2. BK10; BK15 3. BK20; BK25 |
| Сплавы Ti–WC–Co | T+%TiC+K+%Co WC - остальное | 4. T30K4; T15K6; T5K10 |
| сплавы Ti-TaC-WC-Co | TT+%(TiC+TaC)+ K+%Co WC - остальное | 5. TT7K12; TT8K6 |
| | | |

Применение: 1. для армирования режущего инструмента при обработке материалов, дающих прерывистую стружку; **2.** для армирования

волочильных досок и бурового инструмента; **3.** для армирования штампового инструмента. **4.** для армирования инструмента для высокоскоростного резания сталей; **5.** для армирования инструмента для тяжелых условий резания (черновая обработка стальных слитков, отливок, поковок).

Таблица 2.5.6. Припои – сплавы для образования паяных соединений

| Группа | Схема маркировки | Марки |
|-----------------|-----------------------------|----------------------------|
| 1. Оловянно- | | ПОС 90; ПОС 61; ПОС 40; |
| свинцовые | ПОС+ЛЭ+%Sn+%ЛЭ | ПОС 10; ПОССу 61-0,5 и др. |
| ГОСТ 21930-76 | | |
| 2. Оловянно- | | ПОЦ-90; ПОЦ-70; ПОЦ-60; |
| цинковые | ПОЦ+ЛЭ+%Sn+%ЛЭ | ПОЦ-40 |
| | | |
| 3. Медно- | | ПМЦ36; ПМЦ48; ПМЦ54 |
| цинковые | ПМЦ+%Си | |
| ГОСТ 23137-78 | | |
| 4. Латуни | 24.0 | Л63, Л68 |
| 5. Латуни | см. таблицу 2.4.9 | ЛК62-05, ЛКН56-03-6 |
| 6-8. Серебряные | | 6. ПСр 72, ПСр 62, ПСр 50 |
| ГОСТ19738-74 | ПСт н ПО н 0 / А с н 0 / ПО | 7. ПСрМЦН 55-31-12-2 |
| | ПСр+ЛЭ+%Ад+%ЛЭ | 8. ПСрМц 85-15, |
| | | ПСрМНМц 65-28-2-5 |

Применение припоев

1. для лужения и пайки: ПОС 90 – внутренних швов пищевой посуды и медицинской аппаратуры, $t_{\Pi\Pi}=183...220$ °C; ПОС 61 – электропечатных радиоаппаратуры, схем, точных приборов высокогерметичными швами, где недопустим перегрев, t_{ПЛ}=183...190°C ПОС 40 – электроаппаратуры, деталей из оцинкованного железа герметичными швами, $t_{\Pi \Pi} = 183...238$ °C; ПОС 10 – поверхностей электрических аппаратов, приборов, реле, для заливки и лужения контрольных пробок топок паровых котлов, $t_{\Pi \Pi}$ =268...299°C; ПОССу 61-05 – электрической аппаратуры, пайки элементов печатных плат, обмоток электрических машин, оцинкованных радиодеталей при жёстких требованиях к температуре, $t_{\Pi J}$ = 183...189°С. 2. Для пайки алюминиевых и магниевых сплавов. 3. Для пайки большинства металлов и сплавов. 4. Для пайки меди и стали. 5. Для пайки чугуна. 6. Для пайки и лужения меди, медных и медно-никелевых сплавов, никеля, титана, нейзильбера, латуней и бронз: ПСр 72, $t_{\Pi\Pi}$ = 779°C; ПСр 62, $t_{\Pi\Pi}$ = 723...650°С; ПСр 50, t_{ПЛ}= 860...779°С . **7.** Для пайки твердосплавных пластин при армировании режущего инструмента. 8. Кислотостойкие припои.

2.6. Термическая и химико-термическая обработка сплавов Таблица 2.6.1. Виды термической обработки (*TO*) сплавов

| Таблица 2.6.1. Виды те | рмической обработки (ТО) сплавов |
|--|---|
| Наименование – определение | Назначение |
| 1. Отжиг – <i>TO</i> , в результате | Повышение пластичности металла, |
| которой металлы или сплавы | снятие внутренних напряжений. |
| приобретают структуру, | |
| близкую к равновесной. | |
| 2. Закалка – <i>TO</i> , в результате | Упрочняющая обработка сплавов, |
| которой в сплавах образуется | имеющих фазовые превращения в |
| неравновесная структура. | твердом состоянии: переменная |
| | растворимость (выделение вторичной |
| | фазы); полиморфные превращения |
| | твердых растворов; распад |
| | высокотемпературного твердого раствора |
| | по эвтектоидной реакции и др. |
| | В сплавах с особыми свойствами |
| | позволяет изменить структурно- |
| | чувствительные физические или |
| | химические свойства: увеличить |
| | удельное электросопротивление или |
| | коэрцитивную силу, повысить |
| 2.11 | коррозионную стойкость. |
| 3. Нормализация – <i>TO</i> , в | Обеспечение обрабатываемости |
| результате которой металл | резанием; получение прочности большей, чем при отжиге, но меньшей чем при |
| испытывает полную перекристаллизацию | закалке. |
| (промежуточный вид ТО | закалке. |
| между отжигом и закалкой). | |
| 4. Отпуск и старение – <i>TO</i> , в | Сочетание закалки с отпуском или |
| результате которой в | старением предполагает получение более |
| предварительно закаленных | высокого уровня эксплуатационных и |
| сплавах происходят фазовые | физических свойств металла по |
| превращения, приближающие | сравнению с отожженным состоянием. |
| их структуру к равновесной | |
| 5. Термомеханическая | Применяется для ответственных изделий |
| обработка (ТМО) стали | из легированных сталей. |
| (пластическая деформация + | ТМО позволяет получить: |
| термообработка) – ТМО | $\sigma_{\rm B}$ до 3000 МПа (300 кгс/мм ²), |
| состоит в нагреве стали до | $\delta=6\div8\%$. |
| аустенитного состояния, | Закалка+низкий отпуск дает: |
| деформации в аустенитном | $\sigma_{\rm B}$ до 2000 МПа (200 кгс/мм ²), |

| Наименование – определение | Назначение |
|------------------------------------|---------------------------------------|
| состоянии и охлаждении | $\delta = 3 \div 4\%$ |
| наклепанного аустенита, | |
| после чего – низкий отпуск. | |
| 6. Химико-термическая | Применяют для повышения твердости и |
| обработка (ХТО) – обработка | износостойкости поверхности изделия; |
| сплава, состоящая из | повышения сопротивления усталости и |
| насыщения поверхности | контактной выносливости, а также для |
| изделия некоторым | защиты изделий от электрохимической и |
| элементом и последующей | газовой коррозии. |
| термической обработки (или | |
| без нее). | |
| 7. Обработка холодом – | Применяют для сталей, содержащих |
| охлаждение закаленной стали, | более 0,5% углерода, с целью |
| в структуре которой имеется | уменьшения количества остаточного |
| остаточный аустенит, до | аустенита после закалки. После О.х. |
| температуры ниже 0°С. | повышается твёрдость стали, |
| | повышаются магнитные характеристики, |
| | стабилизируются размеры изделий. |

Режимные параметры ТО

- **1.** Температура отжига $t_{\text{отж}}$ зависит от состава сплава и разновидности отжига; $V_{\text{охл}}$ =30÷200 град/час (охлаждение с печью).
- 2. Для получения неравновесной структуры сплав нагревают выше температуры фазового превращения в твердом состоянии, после чего быстро охлаждают, чтобы зафиксировать неравновесную структуру и предотвратить равновесное превращение. При наличии эвтектоидного превращения прочность возрастает либо вследствие мартенситного фазового перехода Fe-С и др. сплавы, либо из-за реакции, понижения температуры эвтектоидной приводящей зерен эвтектоидной смеси (дисперсионно-твердеющие измельчению сплавы: мартенситно-стареющие стали, нимоники и др.). Если в 20÷25°C результате закалки при фиксируется состояние высокотемпературного твердого раствора (сплавы Al-Cu, Cu-Ве и др.) значительного упрочнения сплава непосредственно после закалки не происходит; основное упрочнение создается при повторном низкотемпературном нагреве искус ственное старение) или во время выдержки при 20÷25°С (естественное старение).
- **3.** Применяется для конструкционных сталей после горячей обработки давлением и фасонного литья. $t_{\text{норм}} = A_{\text{C3}} + 70^{\circ}\text{C}$; охлаждение на спокойном воздухе. Для легированных сталей после нормализации проводят отпуск при $650 \div 750^{\circ}\text{C}$ для улучшения обрабатываемости резанием.
- 4. Термин «отпуск» используют обычно применительно к сплавам,

Режимные параметры *ТО*

испытывающим при закалке полиморфные превращения (стали. двухфазные алюминиевые бронзы, некоторые сплавы титана). Термин «старение» применяют к сплавам, не претерпевающим при закалке полиморфного превращения (алюминиевые сплавы, аустенитные стали, никелевые сплавы и др.). В большинстве сплавов после закалки получают пересыщенный твердый раствор (или смесь твёрдых растворов); в этом случае основным процессом при отпуске и старении является распад пересыщенного твердого раствора. Температуру и выдержку выбирают таким образом, чтобы равновесное состояние при ТО не достигалось, как это происходит при отжиге. $V_{\text{охп}}$ с температуры отпуска или старения не влияет на структуру и свойства сплавов, исключение составляют некоторые легированные стали (отпускная хрупкость II рода).

- **5.** Различают высокотемпературную термомеханическую обработку (**BTMO**) и низкотемпературную (**HTMO**). **BTMO**: нагрев $t > A_{C3} +$ деформация $\epsilon = 20...30\%$ + немедленная закалка с низким отпуском. **HTMO**: нагрев $t > A_{C3} +$ переохлаждение аустенита до 600...400°C+ деформация $\epsilon = 75...90\%$ + низкий отпуск.
- 6. Различают три стадии XTO: I протекают химические реакции в исходной (окружающей) среде, в результате которых образуются активные диффундирующие элементы, по-видимому, в ионизированном состоянии; II – происходит адсорбция [адсорбция, поглощение к.-л. вещества из газообразной среды или раствора поверхностным слоем жидкости или твёрдого тела (следует отличать от абсорбщии - поглощение веществ из газовой смеси жидкостями)] или хемосорбция [хемосОрбция, химическая сорбция, поглощение жидкостью или твёрдым телом веществ образованием окружающей среды, сопровождающееся более узком смысле хемосорбцию рассматривают как соединений (в химическое поглощение вещества поверхностью твёрдого тела, т. е. как химическую адсорбцию] диффундирующих элементов в поверхностный слой изделия, при этом возникает градиент концентрации (движущая сила для следующей стадии **XTO**); III – диффузионное проникновение элемента в глубь поверхности обрабатываемого изделия, которое сопровождается образованием твердых растворов или фазовой перекристаллизацией. Стадия диффузии определяет скорость технологического процесса ХТО. После ХТО возможна термическая обработка (после цементации закалка низкий отпуск) или XTO не сопровождается заключительной термообработкой (азотирование).
- **6.** Температурный режим обработки холодом определяется положением нижней мартенситной точки M_K (см. таблицу 2.6.2). Для большинства сталей M_K лежит ниже -80° С. Применяют для многих изделий, изготовленных из высокоуглеродистых сталей, для получения высокой

Режимные параметры *ТО*

твёрдости и (или) стабилизации размера (цементованные детали, режущий и мерительный инструмент, шарикоподшипники и т.д.).

Таблица 2.6.2.

Критические точки стали

| Обозначение | Линия диаграммы «Fe-Fe ₃ C» | Происходящее фазовое превращение | |
|---|--|---|--|
| $A_{l}(A_{rl}, A_{cl})$ | PSK | A_{r1} — окончание распада аустенита при образовании перлита. A_{c1} — начало превращения перлита в аустенит. | |
| A ₂ | МО | A_{r2} — приобретение ферритом магнитных свойств при охлаждении стали. A_{c2} — потеря ферритом магнитных свойств при нагревании стали. | |
| $A_3 (A_{r3}, A_{c3})$ | GOS | А_{г3} – начало распада аустенита с образованием феррита. А_{с3} – получение однородного аустенита. | |
| A ₄ (A _{r4} , A _{c4}) | NJ | A_{r4} — получение однородного аустенита (высокотемпературное). A_{c4} — начало распада аустенита с образованием феррита (высокотемпературное). | |
| $A_{cm}(A_{rm}, A_{cm})$ | SE | A _{rm} – начало распада аустенита с образованием вторичного цементита. A _{cm} – получение однородного аустенита. | |
| $M_{ m H}$ | _ | Начало мартенситного превращения (температура M_H зависит от состава стали). | |
| M_{K} | _ | Окончание мартенситного превращения (температура M_K зависит от состава стали). | |

Примечание: индекс «г» указывает на критическую точку при охлаждении сплава; индекс «с» указывает на критическую точку при нагревании сплава.

Таблица 2.6.3. Фазы и структурные составляющие ТО сталей

| Наименование Описание, свойства | | |
|---------------------------------|---|--|
| Исходные фазы. | | |
| Аустенит – твердый | В углеродистых сталях А. существует в интервале | |

| Наименование | Описание, свойства |
|--|--|
| раствор на основе | температур А ₃ -А ₄ . В сталях, легированных Ni, Mn, N |
| Fe_{γ} | и др., А3 понижается до отрицательных температур и |
| $A = Fe_{\gamma}(C)$ | при комнатной температуре в сталях сохраняется |
| · | аустенитная структура. Такие стали называются |
| | аустенитными (12X18H10, 10X14AГ15 и др.). В |
| | аустенитных сталях не происходят фазовые |
| | превращения при нагревании, поэтому для них |
| | возможна только термическая обработка без |
| | полиморфных превращений. |
| <i>Феррит</i> – твердый | В углеродистых сталях Ф. существует при |
| раствор на основе | температурах ниже А ₃ . В сталях, легированных Сг, |
| Fe_{α} | Мо, W, V, Si, Ti и др., повышается температура A ₃ и |
| $\Phi = \operatorname{Fe}_{\alpha}(C)$ | понижается A ₄ . у – область на диаграмме «Fe-Fe ₃ C» |
| | при этом становится замкнутой. Однофазные стали, |
| | имеющие ОЦК решетку во всем диапазоне |
| | температур, называются ферритными (08X13, 12X17, |
| | 15X25T и др.). В ферритных сталях не происходят |
| | фазовые превращения при нагревании, поэтому для |
| | них возможна только термическая обработка без |
| | полиморфных превращений. |
| Цементит – | Ц. содержит 25% С (атомные доли) или 6,67% С |
| химическое | (массовые доли). Ц. входит в состав перлита |
| соединение Fe ₃ C | (эвтектоид). В заэвтектоидных сталях Ц. выделяется |
| | в интервале температур A_{cm} - A_1 в виде вторичной |
| | фазы (сетка по границам зерён перлита). В продуктах |
| | изотермического распада аустенита Ц. имеет |
| | пластинчатое строение. В структурах отпуска |
| | закаленной стали Ц. имеет зернистое строение. |
| | ного и промежуточного превращений аустенита. |
| <i>Перлит</i> – ферритно- | П. – продукт перлитного превращения |
| цементитная смесь | переохлажденного аустенита вблизи точки A_1 . Π . |
| (эвтектоид) | содержит 0,8% С, имеет пластинчатое строение с |
| $\Pi = (\Phi + \Pi)$ | размером пластин $\Delta_0 = 0,7 \cdot 10^{-3}$ мм. Твердость П. HRC |
| | 20. |
| Сорбит – ферритно- | С. – продукт перлитного превращения |
| цементитная смесь | переохлажденного аустенита при $t = 650670$ °C. С. |
| $C = (\Phi + \Pi)$ | имеет пластинчатое строение с размером пластин Δ_0 = |
| | 0,25·10 ⁻³ мм. Твердость С. HRC 2530. |
| Tpoocmum – | Т. – продукт перлитного превращения |
| ферритно- | переохлажденного аустенита при $t = 600550$ °C. Т. |
| цементитная смесь | имеет пластинчатое строение с размером пластин Δ_0 = |

| Наименование | Описание, свойства | | |
|--|---|--|--|
| $T = (\Phi + \coprod)$ | $0,1\cdot10^{-3}$ мм. Твердость Т. HRC 40. | | |
| Бейнит (игольчатый | Б. – продукт промежуточного превращения | | |
| троостит) | переохлажденного аустенита. Б. состоит из феррита | | |
| | и цементита. Феррит Б. имеет повышенное | | |
| | содержание углерода: $400^{\circ}\text{C} - 0.1\%$, $300^{\circ}\text{C} - 0.2\%$. Б. | | |
| | имеет мелкопластинчатое (игольчатое) строение. | | |
| | Твердость Б. зависит от температуры | | |
| | переохлаждения исходного аустенита: 500°C – | | |
| | HRC47, 400°C – HRC49, 300°C – HRC56. | | |
| | ы стали после закалки и закалки+ отпуск. | | |
| Мартенсит закалки | М. з. представляет собой пересыщенный твердый | | |
| – структура | раствор углерода в Fe_{α} с содержанием углерода, как в | | |
| закаленной стали | первичном аустените, имеет тетрагональную | | |
| | кристаллическую решетку. Твердость М. з. | | |
| | определяется степенью тетрагональности кристаллической решетки и зависит от содержания в | | |
| | М. з. углерода: 0,3% – HRC49; 0,5% – HRC59; 0,7% | | |
| | – HRC63; 1% – HRC65. | | |
| Мартенсит отпуска | · | | |
| – структура | пересыщенного $Fe_{\alpha}(C)$ с неоднородной | | |
| закаленной стали | концентрацией углерода и еще необособившихся | | |
| после отпуска при | частиц карбида. М. о. имеет структуру игольчатого | | |
| t _{отп} =120÷170°С | типа. Отпуск на М.о. называется низким. | | |
| Троостит отпуска | Т.о. представляет собой смесь феррита и цементита. | | |
| – структура | Цементит в Т.о. имеет зернистое строение с | | |
| закаленной стали | размером частиц $d_{\mu} = 0.3 \cdot 10^{-5}$ мм. Твердость Т.о. | | |
| после отпуска при | составляет НВ 400. Отпуск на троостит называется | | |
| t _{отп} =400°C | средним. | | |
| Сорбит отпуска – | С. о. представляет собой смесь феррита и цементита. | | |
| структура | Цементит в C. о. имеет зернистое строение с | | |
| закаленной стали | размером частиц $d_{ij} = 10 \cdot 10^{-5}$ мм. Твердость С. о. | | |
| после отпуска при | НВ250. Отпуск на сорбит называется высоким. | | |
| t _{отп} =550600°C Перлит отпуска – | П. о. представляет собой смесь феррита и цементита. | | |
| Перлит отпуска – Структура | П. о. представляет сооби смесь феррита и цементита. Цементит П. о. имеет зернистое строение с размером | | |
| закаленной стали | частиц $d_{\rm u}$ = $30 \cdot 10^{-5}$ мм. Твердость П. о. составляет | | |
| после отпуска при | нв 150. | | |
| $t_{\text{orn}} = 700^{\circ}\text{C}$ | | | |
| -0111 / 0 0 C | | | |

Таблица 2.6.4.

Виды отжига

| Название отжига | Технологические параметры |
|-----------------|---------------------------|
| | |

| 1. | Стали: У7-У13, X, 9ХС, ХВГ, 7Х3, ХВ4, | | |
|--------------------------|---|--|--|
| Рекристаллизационный | $6XB2C t_{otx} = 670700^{\circ}C$, $\tau_{otx} = 1$ vac. | | |
| | Стали: X12, X12M, X12Ф1 t _{отж} = 730750°C | | |
| | Стали: P9, P18 t _{отж} = 760780°C | | |
| 2. Полный | $t_{\text{отж}} = A_{\text{C3}} + 30^{\circ}\text{C}$. Выдержка до полного | | |
| (перекристаллизационный) | прогрева. Медленное охлаждение (с печью) | | |
| | до 600°C, затем – с любой скоростью. | | |
| 3. Неполный | $t_{\text{отж}} = A_{\text{C3}} - A_{\text{C1}}$. Выдержка до полного | | |
| | прогрева. Медленное охлаждение (с печью) | | |
| | до 600°C, затем – с любой скоростью. | | |
| 4. На зернистый перлит | Предварительный нагрев до A _{ст} + 30°C для | | |
| (сфероидизация) | разрыва сетки вторичного цементита. | | |
| | $t_{\text{отж}} = A_{\text{C1}} + 25^{\circ}\text{C}$. Выдержка до полного | | |
| | прогрева. Медленное охлаждение (с печью) | | |
| | до 550°С. | | |
| 5. Изотермический | Нагрев до A_{C3} ; быстрое охлаждение (перенос | | |
| | в другую печь) и выдержка при | | |
| | A _{C1} +(50100°С); охлаждение на воздухе. | | |
| 6. Патентирование | Нагрев до A _{C3} +30-50°C; охлаждение и | | |
| (разновидность | выдержка в соляной ванне 450-600°C до | | |
| изотермической | образования сорбита. После этого | | |
| обработки) | проводится волочение (пропуск через | | |
| 5 H 11 | фильеры). | | |
| 7. Диффузионный | Для сталей: t _{нагр} =11001200°C; | | |
| (гомогенизация) | $v_{\text{нагр}} = 100150$ град/час. $\tau_{\text{выд}} = 816$ час. | | |
| | Для устранения крупнозернистости стали | | |
| | после гомогенизации проводится отжиг | | |
| | металла. | | |
| | Для слитков крупнозернистость после | | |
| | гомогенизации устраняется в процессе | | |
| | обработки давлением. Общая | | |
| | продолжительность процесса (нагрев, | | |
| | выдержка, охлаждение) 50100 часов. | | |

Назначение видов отжига

- **1.** Снятие наклепа холоднодеформированного металла, восстановление деформационной способности металла.
- **2.** Применяется для к*онструкционной стали* для уменьшения твердости, снятия напряжений и исправления структуры после ковки. Сталь получает мелкозернистую структуру с равномерным распределением перлита и феррита.
- **3.** Применяется для *доэвтектоидной стали* для снятия внутренних напряжений и улучшения обрабатываемости резанием в случае, если

Назначение видов отжига

горячая обработка давлением выполнена правильно (не привела к росту зерна и образованию видманштеттовой структуры). Происходит перекристаллизация только перлитной составляющей структуры.

- **4.** Применяется для заэвтектоидной стали для снижения твердости, улучшения обрабатываемости резанием и подготовки стали к последующей закалке. Сталь с зернистым перлитом при *TO* менее склонна к перегреву, образованию трещин и деформации при закалке.
- **5.** Применяется для л*егированной стали* для снижения твердости и получения однородной структуры по сечению изделия (слиток, отливка).
- **6.** Применяется для *проволоки из углеродистой стали* для образования сорбита с высокой плотностью дислокаций в результате наклепа. Патентирование+наклеп при волочении позволяет получить для проволоки из стали 0.6-0.8%С σ_B =300-450 кгс/мм².
- 7. Применяется для слитков и крупных фасонных отливок из легированной стали, а также для алюминиевых сплавов для выравнивания состава сплава по сечению изделия (для уменьшения ликвационной неоднородности сплава).

Таблица 2.6.5.

Виды и способы закалки

| Наименование | Характеристика; технологические параметры | | |
|---|--|--|--|
| 1. Виды закалки | | | |
| По температуре нагрева под закалку | | | |
| 1.1. Полная | Сталь под закалку нагревается до аустенитного | | |
| | состояния, применяется для доэвтектоидных сталей; | | |
| | $t_{\text{зак}} = A_{\text{C3}} + 50^{\circ} \text{C}$ | | |
| 1.2. Неполная | Сталь под закалку нагревается до аустенитно- | | |
| | цементитного состояния, применяется для | | |
| | заэвтектоидных сталей; $t_{\text{зак}} = A_{\text{C1}} + 50^{\circ}\text{C}$ | | |
| По глубине проникновения фазового превращения | | | |
| | при нагреве под закалку | | |
| 1.3. Объемная | Сквозной прогрев детали до температуры закалки. | | |
| | Глубина закаленного слоя детали определяется | | |
| | прокаливаемостью стали. | | |
| 1.4. | Изделие нагревается пламенем газовой горелки и | | |
| Поверхностная | немедленно охлаждается водой для получения | | |
| газопламенная | мартенсита в поверхностном слое. Используется для | | |
| | крупногабаритных изделий и в полевых условиях. | | |
| 1.5. Закалка | Изделие нагревается в индукторе токами высокой | | |
| ТВЧ | частоты (ТВЧ) и немедленно охлаждается спрейером | | |

| Наименование | Характеристика; технологические параметры | |
|--|--|--|
| | (душевое устройство). Глубина закаленного слоя при | |
| | нагреве ТВЧ определяется в основном частотой тока. | |
| 2. Способы закалки (по способу охлаждения от температуры | | |
| | закалки) | |
| 2.1. В одном | До полного охлаждения изделие находится в одном | |
| охладителе | охладителе (углеродистая сталь d>5мм охлаждается в | |
| | воде, легированная сталь – в масле). | |
| 2.2. | Деталь быстро охлаждается в воде до температуры | |
| Прерывистая в | М _н +100°С, затем переносится в масло или | |
| двух средах | охлаждается на воздухе. Медленное охлаждение в | |
| | мартенситном интервале способствует уменьшению | |
| | внутренних напряжений. | |
| 2.3. Струйчатая | Охлаждение детали проводится струей воды в | |
| | специальном душевом устройстве (спрейер). | |
| 2.4. C | Охлаждается только рабочая часть закаливаемого | |
| самоотпуском | инструмента. Затем инструмент вынимают из воды и | |
| | отпускают за счет тепла, аккумулированного в | |
| | неохлажденной части изделия. Температура | |
| | самоотпуска определяется по цветам побежалости | |
| | изделия. | |
| 2.5. Ступенчатая | Первая стадия охлаждения происходит в соляной | |
| | ванне при $t_{\text{среды}} > M_{\text{H}}$. После выдержки в ванне | |
| | следует медленное охлаждение детали, при котором | |
| | происходит мартенситное превращение. | |
| 2.6. | Закаливаемая деталь помещается в расплав соли с | |
| Изотермическая | температурой 250-350°C. Время выдержки в расплаве | |
| | соли составляет 40-60 мин. (определяется временем | |
| | изотермического распада аустенита). После | |
| | выдержки медленное охлаждение. | |
| 2.7. Обработка | Сразу после закалки изделие охлаждают до | |
| холодом | температур ниже M_{K} . Для получения отрицательных | |
| | температур применяют специальные хладоагенты | |
| | (сухой лед, фреон и др.). | |

Назначение видов и способов закалки

- 1.1. Для конструкционных сталей.
- 1.2. Для инструментальных сталей.
- **1.3.** Для силовых деталей, работающих в условиях объемного нагружения.
- **1.4, 1.5.** Для получение твердого поверхностного слоя детали с сохранением вязкой сердцевины. Металл имеет высокую усталостную прочность за счет наличия в поверхностном слое остаточных напряжений

Назначение видов и способов закалки

сжатия. Применяется для углеродистых (55ПП, 40, 45) и низколегированных сталей (40X, 45X, 40XH).

- **2.1.** Для несложных деталей из углеродистых и легированных сталей. Наиболее простой способ закалки.
- **2.2.** Для инструментальной стали. Способ закалки требует от термиста достаточной квалификации.
- **2.3.** Закалка части детали. Обеспечивается более глубокая прокаливаемость стали, чем при закалке погружением в охладитель. Охлаждение при закалке ТВЧ.
- **2.4.** Для ударного инструмента (зубила, кузнечный инструмент) для обеспечения плавного снижения твердости от режущей части к центру сечения и далее к хвостовой части инструмента.
- **2.5.** Для деталей из углеродистой стали размером 10-12 мм, из легированной стали 20-30 мм. Две ступени охлаждения позволяют снизить внутренние напряжения и деформацию при закалке.
- **2.6.** Для деталей сложной формы и больших размеров из легированной стали. После изотермической закалки сталь имеет несколько меньшую твердость, чем при других способах закалки, и повышенную пластичность.
- **2.7**. Для уменьшения количества остаточного аустенита, получения максимальной твердости и стабилизации размеров (инструмент, цементованные детали, тела качения и кольца шарикоподшипников).

Таблица 2.6.6. Виды отпуска функциональных групп стальных изделий

| Группа изделий | Режим отпуска, структура отпущенной стали* |
|----------------|--|
| (вид отпуска) | Tomini omjeka, orpjkrjea omjademion orasin |
| Силовые | $t_{\text{отп}} = 500680$ °C. $\tau_{\text{отп}} = 12$ часа для деталей небольшого |
| детали | сечения и $\tau_{\text{отп}} = 38$ часов для массивных деталей (валы, |
| (высокий) | диски газовых турбин и др.). Охлаждение на воздухе или в |
| | воде (для некоторых легированных сталей, подверженных |
| | отпускной хрупкости II рода). После высокого отпуска сталь |
| | имеет структуру сорбита отпуска см. таблицу 2.6.3. |
| Упругие | $t_{\text{отп}} = 350450$ °C. $\tau_{\text{отп}} = 12$ часа. Охлаждение на воздухе. |
| элементы | После среднего отпуска сталь имеет структуру троостита |
| (средний) | отпуска см. таблицу 2.6.3. |
| Режущий и | $t_{\text{отп}} = 120250$ °C. $\tau_{\text{отп}} = 0,52$ часа в зависимости от сечения |
| мерительный | инструмента. При $t_{\text{отп}} = 100120$ °C $\tau_{\text{отп}} = 1015$ часов. |
| инструмент | Охлаждение на воздухе. После низкого отпуска сталь имеет |
| (низкий) | структуру мартенсита отпуска см. таблицу 2.6.3. |
| Примечание: 3 | * температурно-временной режим отпуска указан для изделий |

| Группа изделий (вид отпуска) | Режим отпуска, структура отпущенной стали* |
|------------------------------|--|
| из углеродистой стал | īИ. |

Таблица 2.6.7. Технология *ТО* стальных изделий и изделий из цветных сплавов

Технология ТО изделия — совокупность операций термообработки для конкретного изделия (с указанием режимов нагрева, выдержки и охлаждения). Для реализации термообработки используются нагревательные печи и закалочные ванны. При необходимости нагрев и охлаждение при ТО производится в расплавах солей или щелочей. Для контроля качества термической обработки используются твердомеры (в основном Роквелла, шкала С). Различают одинарную (отжиг, нормализация) и двойную (закалка+отпуск) термообработку. В ряде случаев изделия проходят более сложную термическую обработку. Например, заготовки из легированных сталей, при необходимости, проходят отжиг или нормализацию для улучшения обрабатываемости резанием, а после размерной обработки подвергаются термическому упрочнению (закалка+отпуск). Ниже в таблице представлены режимы упрочняющей ТО для некоторых групп стальных изделий, а также изделий из цветных сплавов.

| Группа изделий | Марка стали, сплава | Режимы ¹ <i>ТО</i> |
|----------------|--|---|
| Конструкі | ционные углеродисты | е и низколегированные стали |
| | Ст6, 30, 45 и др. | Полная закалка(вода) + высокий отпуск (воздух) |
| | 30X, 45X, 30XM и др. | Полная закалка (масло) $+$ высокий отпуск (вода 2 или масло) |
| | 30ХГСНА, 40ХГСН3ВА, 40ХН2СМА и др. | Полная закалка(масло) + низкий отпуск (воздух) |
| Силовые детали | 30ХГСА, 40ХН, 40ХН2МА и др. | Термомеханическая обработка: ВТМО: Нагрев до аустенитного состояния + деформация 20-40% в аустенитном состоянии + закалка + низкий отпуск. НТМО: Нагрев до аустенитного состояния + переохлаждение аустенита (до 400-600°С) + деформация (50-90%) + низкий отпуск. |
| | 38Х2МЮА | Закалка+Высокий отпуск+Азотирование |

| Группа изделий | Марка стали, | Режимы ¹ <i>ТО</i> |
|------------------|-------------------|---|
| труппа поделин | сплава | T CARTINIES TO |
| | 10, 20, 15X, 20X, | Цементация+Закалка |
| | 18ΧΓΜ. 20ΧΗ, | (масло)+Низкий отпуск |
| | 30XГТ и др. | (Macsio) Triiskiii Offiyek |
| | 65, 70 и др. | Полная закалка (масло) + Средний |
| | 05, 70 и др. | отпуск (воздух) |
| | У10, У12 и др. | Неполная закалка (масло) + |
| Упругие детали | у 10, у 12 и др. | Средний отпуск (воздух) |
| | 50ХФА и др. | Полная закалка (масло) + Средний |
| | золфа и др. | |
| 11 | | отпуск (воздух) |
| Инструментальны | | l n |
| Режущий и | У7, У8 и др. | Закалка (неполная с нагревом в |
| мерительный | | соляной ванне и охлаждением из |
| инструмент | | воды в масло) + Отпуск низкий |
| | | (воздух) |
| Режущий | ХВГ, 9ХС и др. | Закалка (неполная ступенчатая с |
| инструмент | | нагревом в соляной ванне и |
| сложной формы | | охлаждением в расплаве щелочи) + |
| | | Отпуск низкий (воздух) |
| Режущий | Х, ХГ, ХВГ, 9ХС | Закалка+Обработка холодом (- |
| инструмент | | 5080°С)+Отпуск низкий |
| высокой точности | | (120140°С; 2448 часов) |
| Плоские | 15, 20, 15X, 20X, | Цементация. Закалка в масле. |
| измерительные | 12ХН3А и др. | Отпуск: низкий, воздух |
| инструменты | | |
| Штампы для | Х12М, Х12Ф1 и | Закалка (ступенчатая с медленным |
| холодного | др. | двухступенчатым нагревом под |
| дефомирования | | закалку в печи или соляной ванне, |
| | | $t_{3ak} = 10001030$ °С, охлаждение в |
| | | расплаве щелочей) + Отпуск |
| | | (двойной $t_{orn}=180200$ °C и $t_{orn}=320350$ °C, охлаждение на |
| | | воздухе; крепежную часть штампов |
| | | дополнительно отпускают при |
| | | 600700°C). |
| Штампы для | 7X3; 5XHM; 5XГН | Закалка (нагрев под закалку в |
| горячего | и др. | соляной ванне, t_{3ak} = 830880°C, |
| деформирования | * | охлаждение в масле) + Отпуск |
| • | | (t _{отп} =400550°С, охлаждение на |
| | | воздухе; крепежную часть штампов |
| | | дополнительно отпускают при |
| | | 600700°C). |
| Режущий | P18, P6M5, | Закалка (нагрев под закалку в |

| Группа изделий | Марка стали, | Режимы ¹ <i>TO</i> | | | |
|--|------------------|---|--|--|--|
| | сплава | | | | |
| инструмент для | Р9М4К8 и др. | соляной ванне, $t_{\text{зак}}$ = 12001300°C, | | | |
| станочной | | охлаждение в масле и расплаве | | | |
| обработки | | соли при 500-600°C) + Отпуск | | | |
| металла | | (трехкратный $t_{\text{отп}} = 550570$ °C, | | | |
| | | охлаждение на воздухе) | | | |
| Тела качения, | ШХ4, ШХ15, | Закалка 810°С, вода-масло; отпуск | | | |
| кольца | ШХ15СГ | 150°С, воздух | | | |
| подшипников, | | | | | |
| плунжеры, | | | | | |
| ролики | | | | | |
| толкателей | | | | | |
| Высо | | иальные стал и сплавы | | | |
| I/ | Мартенси | | | | |
| Клапаны впуска и | 40X9C2, | Закалка (t _{зак} =10001050°С, | | | |
| выпуска ДВС, | 40Х10С2М и др. – | охлаждение в масле) + Отпуск | | | |
| трубки | жаростойкие | (t _{отп} =750780°С, охлаждение на | | | |
| рекуператоров | 1537113.63 | воздухе) | | | |
| Бандажи, | 15X11MΦ, | Закалка $(t_{3ak}=1000-1050^{\circ}C,$ | | | |
| диафрагмы, | 20Х12ВНМФ и др. | охлаждение в масле) + Отпуск (t _{отп} | | | |
| болты гайки, | – жаропрочные | > t _{раб} , охлаждение на воздухе) | | | |
| шпильки при t _{раб} =600°C | | | | | |
| Режущий и | 30X13, 40X13, | Закалка 10001050°С. масло; | | | |
| мерительный | 95X18 | отпуск 200300°С, воздух или | | | |
| инструмент, | | масло | | | |
| пружины, | | | | | |
| рессоры и др. | | | | | |
| | Мартенситно- | | | | |
| Наиболее | 03H18K9M5T, | Закалка (t _{зак} =800860°С, | | | |
| ответственные | 03Н12К15М5 и др. | охлаждение на воздухе) + Старение | | | |
| силовые детали в | · 1 | (температура 480520°С) | | | |
| авиации, | | | | | |
| ракетной технике, | | | | | |
| судостроении | | | | | |
| J 1 | Феррит | ные | | | |
| Крепёжные | 12X17 и др. | Термообработка без полиморфного | | | |
| детали при | . Tr . | превращения. Отжиг $t_{\text{отж}}$ = | | | |
| $t_{pa6}=850^{\circ}C$ | | 760780°С, охлаждение на | | | |
| Теплообменники, | 08Х17Т и др. | воздухе. | | | |
| трубы | 0021/1 и др. | воздуне. | | | |
| труоы | Аустени | THI IA | | | |
| | Аустени | HIDIC | | | |

| Группа изделий | Марка стали, | Режимы ¹ <i>TO</i> | | | | |
|-----------------------------|-------------------|---|--|--|--|--|
| | сплава | | | | | |
| Сварные | 12X18H10T и др. – | Термообработка без полиморфного | | | | |
| аппараты и | гомогенные | превращения. Закалка – | | | | |
| сосуды под | | аустенизация (t _{зак} =10501100°С, | | | | |
| давлением при | | вода) + Стабилизирующий отпуск | | | | |
| $t_{pa6} = -196650$ °C | | t _{отп} =750°C, воздух) | | | | |
| Детали арматуры | 45Х14Н14В2М и | Термообработка без полиморфного | | | | |
| и трубопроводов | др. – | превращения. Закалка – | | | | |
| при t _{раб} =650°C | дисперсионно | аустенизация (t _{зак} =10501100°С, | | | | |
| 1 pao | твердеющие | вода) + Старение (при 600750°C) | | | | |
| | Аустенитные мет | | | | | |
| Детали | 25H25M4Γ, | Термообработка без полиморфного | | | | |
| авиаконструкций, | 30Х9Н8М4Г2С2 и | превращения. Закалка – | | | | |
| броневой лист, | др. | аустенизация (t _{зак} =10001100°С, | | | | |
| проволока тросов | Ap. | вода) + Обжатие (5080% при | | | | |
| проволока гросов | | температуре 400600°C) | | | | |
| | Сплавы на Fe+N | | | | | |
| Ответственные | XH32T, XH35BT, | Термообработка без полиморфного | | | | |
| | ХН77ТЮР | превращения. Закалка – | | | | |
| детали газовых | AH//HOF | аустенизация t _{зак} =11001250°C, | | | | |
| турбин | | | | | | |
| | | вода; старение при 850900°С 10 | | | | |
| | 11 | часов, при 700°С 50 часов, воздух | | | | |
| | Цветные с | | | | | |
| ~ | Сплавы аль | | | | | |
| Строительные | Дуралюмины Д1, | Закалка $t_{3ак} = 495510$ °C, холодная | | | | |
| конструкции, | Д16, Д20 | вода; старение 190°С 10 час; | | | | |
| кузова грузовых | | | | | | |
| автомобилей, | | | | | | |
| детали самолетов | | | | | | |
| Подмоторные | Ковочные АК6, | Закалка t _{зак} =505520°С, вода; | | | | |
| рамы, фитинги, | AK8 | старение 150165°С 615 час; | | | | |
| крепёжные детали | | | | | | |
| и др. | | | | | | |
| Обшивка, | Высокопрочные | Закалка t _{зак} =460470°C, вода; | | | | |
| стрингеры, | B95, B96 | старение 135-145°С 16час; | | | | |
| шпангоуты, | | - | | | | |
| лонжероны и др. | | | | | | |
| при t _{раб} = | | | | | | |
| | | | | | | |

| Группа изделий | Марка стали, | Режимы ¹ <i>TO</i> |
|-------------------|-------------------|---|
| | сплава | |
| Листы, трубы, | Авиаль АВ | Закалка t _{зак} =515525°C, вода; |
| лопасти винтов | | старение 160°С 12час. |
| вертолётов и др. | | |
| | Сплавы меді | и-бронзы |
| Пружины, сетки, | БРКН1-3, | Закалка t _{зак} =800°C, вода; старение |
| антифрикционные | БрКМц3-1 | 500°C |
| детали | | |
| Пружины, | БрБ2 | Закалка t _{зак} =770780°С, вода; |
| мембраны, | | старение 300350°С, 2 час. |
| кулачки, | | _ |
| шестерни и др. | | |
| | Сплавы м | агния |
| Штампованные и | MA5, MA11, | Закалка t _{зак} =380540°С, вода; |
| сварные детали | МА12, МА14 и др. | старение 175200°С |
| Литые детали | МЛ4, МЛ5, МЛ6, | Закалка t _{зак} =380540°С, вода; |
| (картеры, коробки | МЛ8 и др. | старение 300315°С. |
| передач и др.) | - | |
| | (α+β) сплаві | ы титана |
| Штамповки, | BT3-1, BT9, BT14, | Закалка (нагрев до (α+β) области, |
| поковки, прутки | BT22 | вода) + Старение (480550°С). |
| | | ХТО: азотирование при 850950°C |
| | | 30-60 час. в атмосфере N _{2.} |

Примечания: **1** - при указании вида закалки или отпуска соответствующий режим см. в таблицах **2.6.5**, **2.6.6**; **2** – легированные стали, подверженные отпускной хрупкости (30X, 35X, 38XA, 40X, 45X, 50 Γ 2, 30X Γ T, 40X Φ A и др.), после высокого отпуска охлаждаются в воде.

Таблина 2.6.8. Закаливаемость стали

Под закаливаемостью понимают способность стали повышать твердость в результате закалки. Закаливаемость стали определяется в первую очередь содержанием в стали углерода. Чем больше в мартенсите углерода, тем выше его твердость. Легирующие элементы оказывают относительно небольшое влияние на закаливаемость стали.

Эмпирическая формула для определения твердости мартенсита в зависимости от содержания углерода в стали

$$HRC_M = 16,49 + 144,575341 \cdot C - 144,098182 \cdot C^2 + 47,795428 \cdot C^3$$
, (1) здесь С – содержание углерода в стали, %.

Пояснения: формула (1) позволяет определять твердость мартенсита в углеродистых и легированных сталях, содержащих 0,1-1,2% углерода.

Эмпирическая формула для определения содержания углерода в стали для достижения требуемой твердости мартенсита

$$C = 13,9 - 1,35855156 \ HRC_M + 0,0487592 \ HRC_M^2 - 0,0007566 \ HRC_M^3 + 0,00000432 \ HRC_M^4,\%$$
 (2)

здесь HRC_м – требуемая твердость мартенсита.

Пояснения: формула (2) позволяет определять содержание углерода в углеродистых и легированных сталях при твердости мартенсита в интервале HRC_M = 30÷65.

Таблица 2.6.9. Прокаливаемость и полумартенситная твердость стали

Под **прокаливаемостью** понимают способность стали получать закаленный слой с мартенситной или троосто-мартенситной структурой и высокой твердостью на ту или иную глубину. Прокаливаемость определяется критической скоростью охлаждения, зависящей от состава стали. За глубину закаленного слоя условно принимают расстояние от поверхности до зоны с полумартенситной структурой (50% мартенсита + 50% троостита). Твердость полумартенситной структуры HRC_{ПМ} (полумартенситная твердость) зависит в основном от содержания углерода и в меньшей степени от легирования стали.

Прямая задача – определение $HRC_{\Pi M}^{\ \ *}$ по заданному количеству углерода в стали

$$HRC_{\Pi M}$$
=18,756+20,011·C+198,63·C²-230,07·C³, (1) здесь $HRC_{\Pi M}$ – искомое значение полумартенситной твёрдости; С –

здесь НКС $_{\text{ПМ}}$ – искомое значение полумартенситнои твердости; С – известное значение содержания углерода в стали, %.

Обратная задача — определение требуемого содержания углерода в стали C^* для достижения заданного значения $HRC_{\Pi M}$

$$C=0,3776-0,0281\cdot H+0,001H^2-7E-06\cdot H^3,$$
 (2)

здесь C – искомое значение содержания углерода в стали, %; H – известное значение полумартенситной твёрдости $HRC_{\Pi M}$.

* Уравнения регрессии получены по данным [7].

Пояснения: уравнения (1, 2) получены для C=0,125-0,575%; $HRC_{IIM}=25-55$.

Таблица 2.6.10. Торцовая закалка и характеристическое расстояние стали

Прокаливаемость стали по ГОСТ5657–69 определяют методом торцовой закалки. При этом цилиндрический образец, нагретый до температуры

закалки, помещают в специальную установку, где он охлаждается водой с торца. После охлаждения образца до комнатной температуры измеряют твердость его поверхности по образующей цилиндра (на лыске). По этим данным определяют **характеристическое расстояние** $X_{\text{ПМ}}$ для стали, из которой изготовлен образец. $X_{\text{ПМ}}$ представляет собой расстояние по образующей от торца цилиндрического образца для торцовой закалки до точки, в которой твердость металла равна $HRC_{\text{ПМ}}$ (см. таблицу 2.6.9). Ниже приведены эмпирические формулы для решения прямой и обратной задачи прокаливаемости для некоторых марок конструкционных сталей.

Прямая задача — определение $X_{\Pi M}$ по зависимости твердость поверхности образца — координата точки x = f (HRC) для некоторого значения HRC $_{\Pi M}$, определяемого содержанием углерода в стали (см. таблицу 2.6.9).

$$x = 140,59 - 12,198350 \times HRC + 0,401886 \times HRC^{2} -$$

$$-0,005697 \times HRC^{3} + 29E - 06 \times HRC^{4} \qquad (1)$$

$$x = 459,29 - 48,10767759 \times HRC + 1,89321673 \times HRC^{2} -$$

$$-0,0326893 \times HRC^{3} + 0,00020812 \times HRC^{4} \qquad (2)$$

$$x = 364,2 - 27,38591311 \times HRC + 0,80981539 \times HRC^{2} -$$

$$-0,01067796 \times HRC^{3} + 0,00005138 \times HRC^{4} \qquad (3)$$

$$x = 152,72 - 2,19839554 \times HRC - 0,16625582 \times HRC^{2} +$$

$$+0,00491403 \times HRC^{3} - 0,00003689 \times HRC^{4}(4)$$

$$x = 408,94 - 37,70713351 \times HRC + 1,31818201 \times HRC^{2} -$$

$$-0,02025185 \times HRC^{3} + 0,00011461 \times HRC^{4}(5)$$

$$x = 2099,9 - 73,947 \times HRC + 0,6504 \times HRC^{2}(6)$$

$$x = 910,35 - 52,63488992 \times HRC + 1,08748805 \times HRC^{2} -$$

$$-0,00774323 \times HRC^{3}(7)$$

Пояснения: (1) сталь 40 HRC=22÷53; (2) сталь 50 HRC = 21÷51; (3) сталь 40X HRC =28÷54; (4) сталь 50X HRC =31÷63; (5) сталь 50Г HRC =23÷57; (6) сталь 40X2H2MA HRC =48÷54; (7) сталь 50XH HRC =45÷56.

Данные для решения задач №№ 1.8.31-1.8.33:

сталь $40 \to X_{\Pi M} = 5,3$ мм; сталь $40X \to X_{\Pi M} = 8,7$ мм; сталь $40X2H2MA \to X_{\Pi M} = 50$ мм.

Обратная задача — определение HRC по зависимости координата точки \rightarrow твердость поверхности образца HRC = f(x) для некоторого значения координаты x.

$$HRC = 11,72 + 55,80589221 \ x - 25,06977522 \ x^2 + 4,7790368 \ x^3 - 0.4633569 \ x^4 + 0.02250361 \ x^5 - 0.00043489 \ x^6$$
 (8)

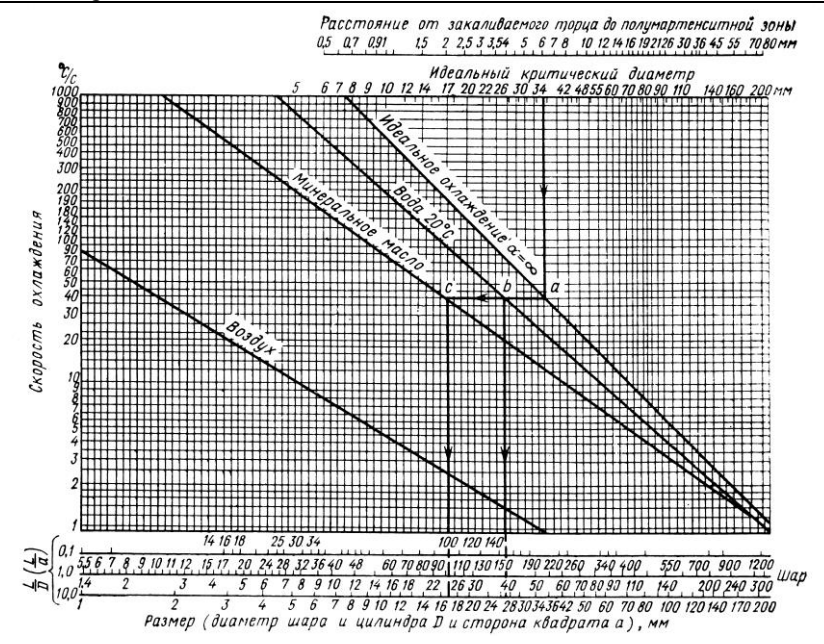
$$HRC=43,8+11,22331819\ x-5,76749071\ x^2+0,93949387\ x^3-0,072390166\ x^4+0,00269004\ x^5-0,00003875\ x^6$$
 (9)
$$HRC=55,36-0,303217\ x-0,147028\ x^2+0,007328\ x^3-0,000104\ x^4$$
 (10)
$$HRC=61,33+1,455432\ x-0,388073\ x^2+0,017552\ x^3-0,000237\ x^4$$
 (11)
$$HRC=61,16-2,070647\ x-0,336244\ x^2+0,031263\ x^3-0,000683\ x^4$$
 (12)
$$HRC=54,31-0,10185929\ x-0,00788555\ x^2+0,00028748\ x^3-0,00000279\ x^4$$
 (13)
$$HRC=55,25+0,480784\ x-0,042824\ x^2+0,000973\ x^3-0,00001\ x^4$$
 (14)
$$\mathbf{Пояснения:}\ (8)\ {\rm сталь}\ 40\ x=1,5\div13\ {\rm mm;}\ (9)\ {\rm сталь}\ 50\ x=1,5\div21\ {\rm mm;}\ (10)\ {\rm сталь}\ 40\ x=1,5\div30\ {\rm mm;}\ (11)\ {\rm сталь}\ 50\ X=1,5\div36\ {\rm mm;}\ (12)\ {\rm сталь}\ 50\ X=1,5\div39\ {\rm mm;}\ (13)\ {\rm сталь}\ 50\ X=1,5\div39\ {\rm mm;}\ (14)\ {\rm ctanh}\ 50\ X=1,5\div39\ {\rm ctanh}\$$

MM.

Уравнения регрессии (1-14) получены обработкой данных [15] для средних значений твердости в полосах прокаливаемости сталей.

Таблица 2.6.11. Определение критического диаметра стали и изделия по номограмме прокаливаемости

Диаметр заготовки, в центре которой после закалки в данной охлаждающей среде образуется полумартенситная структура (см. таблицу 2.6.9), называют **критическим** диаметром \mathcal{A}_{K} (\mathcal{A}_{KB} , \mathcal{A}_{KM} , \mathcal{A}_{KBO3}). Для определения критического диаметра используется номограмма прокаливаемости М.Е.Блантера.



Описание номограммы:

ось абсцисс: верхняя — значения идеального критического диаметра $Д_{\infty}$ в мм; нижняя — линии критических диаметров для тел простейшей формы (шара, цилиндра, параллелепипеда с квадратным основанием); цилиндры и параллелепипеды рассматриваются с разными отношениями L/D, L/D (L — высота цилиндра и параллелепипеда; D — диаметр цилиндра, а — сторона основания параллелепипеда).

ось ординат (логарифмическая) — значения скорости охлаждения $v_{\text{охл}}$ в град/с;

дополнительные линии: в верхней части номограммы параллельно оси абсцисс расположена **линия характеристического расстояния**, на которой откладывается расстояние $X_{\Pi M}$ от закаливаемого торца до конца полумартенситной зоны 50% мартенсита + 50% троостита (пределы 0,5÷80 мм); косые линии — **линии охладителей** (идеальное охлаждение, вода 20°C, минеральное масло, воздух).

$$(1)X_{nM} \to (2)\mathcal{A}_{K\infty} \to \begin{cases} \mathcal{A}_{KB}(3^{\prime}) \\ \mathcal{A}_{KM}(3^{\prime\prime}) \\ \mathcal{A}_{K6030}(3^{\prime\prime\prime}) \end{cases}$$

Пользование номограммой: На номограмме нанесены линии, позволяющие значение идеального критического диаметра \mathcal{A}_{∞} перевести в критические диаметры в воде \mathcal{A}_{KB} , в масле \mathcal{A}_{KM} , на воздухе \mathcal{A}_{KBO3J} для тел, простой геометрической формы. Этот

переход в виде шагов $1 \rightarrow 2 \rightarrow 3$ выполняется по номограмме графически (см. ключ номограммы): здесь шаг $1 \rightarrow X_{\Pi M}$ определяется по данным торцовой закалки (см. таблицу 2.6.10) и откладывается на линии характеристического расстояния;

шаг $2 \to \mathcal{A}_{\infty}$ определяется по номограмме перенесением значений $X_{\Pi M}$ на верхнюю ось абсцисс;

шаг 3', 3'', $3''' \to \mathcal{I}_{KB}$, \mathcal{I}_{KM} , $\mathcal{I}_{KBO3\mathcal{I}}$ определяются по номограмме перенесением соответствующих точек \mathcal{I}_{∞} сначала на линии охладителей (в зависимости от охладителя при закалке), а затем на линии критических диаметров для тела заданной геометрической формы (пластина, L/D=0,1; шар, L/D=1; вал, L/D=10).

Таблица 2.6.12. Оборудование и инструмент для термической обработки

Термическая обработка изделий на машиностроительном или ремонтном предприятии проводится в термическом цехе или на термическом участке. К основному оборудованию термического цеха относятся: нагревательные печи, установки индукционного нагрева, закалочные ванны и другое подобное, с помощью которого выполняются основные технологические операции. К дополнительному оборудованию термического цеха относятся: правильные прессы, оборудование очистного отделения (моечные машины, травильные ванны, пескоструйные и дробеструйные установки и др.). К вспомогательному оборудованию термического цеха относятся: контрольноизмеритетельная аппаратура, твердомеры, установки приготовления защитных атмосфер и обработки холодом, всевозможные грузоподъёмные и транспортные устройства.

| Наименование | Назначение | | | | | | | |
|-------------------|---|--|--|--|--|--|--|--|
| Нагревательная | Нагрев и выдержка изделия по заданному режиму при | | | | | | | |
| печь | закалке и отпуске. | | | | | | | |
| Закалочная ванна, | Охлаждение при закалке сталей перлитного и | | | | | | | |
| заполненная | аустенитного класса; охлаждение после высокого | | | | | | | |
| охладителем | отпуска легированных сталей, подверженных | | | | | | | |
| | отпускной хрупкости II рода. | | | | | | | |
| Криокамера с | Обработка холодом некоторых изделий из | | | | | | | |
| хладоагентом | инструментальных сталей. | | | | | | | |
| Твердомер | Контроль качества термической обработки изделия. | | | | | | | |
| Роквелла | | | | | | | | |

| Кузнечные клещи Для помещения изделия в печь и выемки из печи. |
|--|
|--|

Таблина 2.6.13.

Источники криогенных температур

При обработке холодом инструмента и технологической оснастки применяются криоаппараты, в которых в качестве источника отрицательных температур используются различные криоагенты.

| Криоагент (формула) | Температура кипения, град С |
|---|-----------------------------|
| Аммиак (NH ₃) | -33,5 |
| Углекислота (H ₂ CO ₃) | - 78,5 |
| Хлористый метил (CH ₃ Cl) | - 23,7 |
| Азот (N ₂) | - 195,8 |
| Фреон (СН(СН ₃) ₃) | - 29,4 |
| Этилен (C ₂ H ₄) | - 105,2 |
| Метан (СН ₄) | - 161,5 |
| Кислород (О2) | - 183 |
| Смесь твёрдой углекислоты: | |
| с хлористым метилом (CH ₃ Cl) | - 82 |
| с хлороформом (CHCl ₃) | – 77 |
| с этиловым эфиром (C_2H_5O C_2H_5) | –77 |
| с трёххлористым фосфором (PCl ₃) | – 76 |
| с этиловым спиртом (C_2H_5OH) | - 7 2 |
| с хлористым этилом (C_2H_5Cl) | - 60 |
| с ацетоном (C ₃ H ₆ O) | −78 |

2.7. Расчеты технических сплавов

Таблица 2.7.1. Решение прямой задачи материаловедения для углеродистых конструкционных сталей

Прямая задача материаловедения состоит в определении свойств стали по правилу Н.С.Курнакова. При этом реализуется следующая логическая цепочка: **марочное обозначение стали** \rightarrow **содержание углерода в стали** \rightarrow **искомое значение характеристики механических свойств стали**. Поскольку конструкционные углеродистые стали являются двухфазными сплавами зависимости «состав — свойство» для них являются линейными, т. е. уравнения регрессии имеют вид $y=a_0+a_1\cdot x$, здесь y — искомое значение свойства; x — известное содержание углерода.

Стали обыкновенного качества ГОСТ 380-94

Стали обыкновенного качества преимущественно используются в строительстве как наиболее дешевые, технологичные и обладающие прочностью, достаточной для изготовления металлоконструкций различного назначения. Для всех сталей обыкновенного качества, кроме Ст0, справедлива формула для примерного определения содержания углерода С =

0,07·№_{марки}, %.

$$\sigma_T = 20,856 + 25,495 \cdot C$$
 (1); $\sigma_B = 33,193 + 64,851 \cdot C$ (2)

$$\delta_5 = 33,381 - 41,832 \cdot C(3)$$

Уравнения регрессии (1-3) получены обработкой данных по свойствам сталей обыкновенного качества по ГОСТ535. Пределы варьирования параметров в уравнениях (1-3): C=0,18÷0,34%; σ_T = 25÷32 кгс/мм²; σ_B = 43-60 кгс/мм²; δ_S =15÷26%.

Стали качественные конструкционные ГОСТ 1050-88

Стали углеродистые качественные находят широкое применение в технике, так как в зависимости от содержания углерода и термической обработки обладают разнообразными механическими и технологическими свойствами. Содержание углерода в сталях определяется делением марки стали на 100: С=№ марки/100.

$$\sigma_T = 17,035 + 40,392 \cdot C$$
 (4); $\sigma_R = 27,577 + 70,577 \cdot C$ (5);

$$\delta_5 = 33,938 - 38,075 \cdot C$$
 (6); $\psi = 62,544 - 46,094 \cdot C$ (7)

Уравнения регрессии (4-7) получены обработкой данных по свойствам качественных конструкционных сталей по ГОСТ1050. Пределы варьирования параметров в уравнениях (4-7): С=0,08÷0,6%; σ_T = 20÷41 кгс/мм²; σ_B = 33÷69 кгс/мм²; δ_5 =12÷33%; ψ =35÷55%.

Таблица 2.7.2. Решение обратной задачи материаловедения для углеродистых конструкционных сталей

Обратная задача материаловедения состоит в выборе марки стали для обеспечения заданного уровня механических свойств. Для решения задачи используется правило Н.С.Курнакова. При этом реализуется следующая логическая цепочка: **заданное значение характеристики механических свойств стали** — **содержание углерода в стали** — **марочное обозначение стали**. Поскольку конструкционные углеродистые стали являются двухфазными сплавами зависимости «состав-свойство» для них являются линейными, т. е. уравнения регрессии имеют вид $x=a_0+a_1\cdot y$, здесь узаданное значение свойства; x- искомое содержание углерода.

Стали обыкновенного качества ГОСТ 380-94

Стали обыкновенного качества преимущественно используются в строительстве как наиболее дешевые, технологичные и обладающие прочностью, достаточной для изготовления металлоконструкций различного назначения. Зная содержание углерода C (%) марка стали определяется $N_{\text{Рмалки}}$ =C/0,07.

$$C = -0.7878 + 0.0385 \cdot \sigma_T$$
 (1); $C = -0.4425 + 0.0141 \cdot \sigma_B$ (2);

$$C = 1,0194 - 0,0282 \cdot \delta_5$$
 (3)

Уравнения регрессии (1-3) получены обработкой данных по свойствам

сталей обыкновенного качества по ГОСТ535. Пределы варьирования параметров в уравнениях (1-3): С=0,18÷0,34%; σ_T = 25÷32 кгс/мм²; σ_B = 43÷60 кгс/мм²; δ_5 =15-26%.

Стали качественные конструкционные ГОСТ 1050-88

Стали углеродистые качественные находят широкое применение в технике, так как в зависимости от содержания углерода и термической обработки обладают разнообразными механическими и технологическими свойствами. Зная содержание углерода С (%) марка стали определяется $N_{\text{\tiny MADKU}} = C/100$.

$$C = -0.4235 + 0.0245 \cdot \sigma_T (4); C = -0.3884 + 0.014 \cdot \sigma_B (5);$$

$$C = 0.8917 - 0.027 \cdot \delta_5 \quad (6); C = 1.3212 - 0.0212 \cdot \psi \quad (7)$$

Уравнения регрессии (4-7) получены обработкой данных по свойствам качественных конструкционных сталей по ГОСТ1050. Пределы варьирования параметров в уравнениях (4-7): C=0,08÷0,6%; σ_T = 21÷41 кгс/мм²; σ_B = 34÷69 кгс/мм²; δ_S =12÷31%; ψ =35÷55%.

Таблица 2.7.3. Определение эквивалента цинка Zn_Э для латуней

Для латуней критерием оценки деформируемости и обрабатываемости резанием служит содержание цинка Zn≤39%. При таком содержании цинка латунь имеет однофазную структуру – это α-латунь. Латуни со структурой αфазы марок от Л96 (4% Zn) до Л62 (38% Zn) пластичны, при холодной обработке давлением склонны к деформационному упрочнению. Двухфазная α+β латунь будет иметь большую прочность, чем однофазная, но при этом она будет иметь Zn>39%, что приведет к резкому снижению пластичности латуни. Латунь, являясь самым доступным цветным сплавом, применяется в случаях, когда изделию по условиям эксплуатации необходимо обеспечить прочность, коррозионную стойкость и износостойкость. Такое сочетание свойств обеспечивается введением в латунь Al, Sn, Si и ряда других легирующих элементов. При легировании латуни названными элементами а и в фазы представляют собой твердые растворы не только цинка, но и легирующих элементов, поэтому двухфазную структуру легированный сплав имеет при содержании цинка меньше предельного значения 39%. Понятие об эквивалентной замене элементов в сплаве применительно к латуням позволяет многокомпонентную латунь условно заменить двухкомпонентным Cu - Zn сплавом. В этом случае рассматривается система Cu - Zn₂ «медь эквивалент цинка».

$$Zn_{3} = \frac{Zn + \sum k_{i} \cdot x_{i}}{Cu + Zn + \sum k_{i} \cdot x_{i}} \times 100\%,$$

здесь Cu, Zn, x_i — содержание компонентов в сплаве (медь, цинк, легирующие элементы), %; k_i — коэффициент эквивалентности соответствующего легирующего элемента.

| Элемент | Si | Al | Sn | Mg | Cd | Pb | Fe | Mn | Ni |
|---------|----|----|----|----|----|----|-----|-----|-------|
| k_i | 11 | 5 | 2 | 2 | 1 | 1 | 0,9 | 0,5 | - 1,4 |

Структурная формула латуни зависит от содержания в сплаве цинка (для легированного сплава – от эквивалента цинка Zn_3). Если латунь содержит $Zn_3 \le 39\%$, то она является однофазным сплавом: $\Phi C \equiv CmC \rightarrow \alpha$. Если латунь содержит $Zn_3 > 39\%$, то она является двухфазным сплавом

 $\Phi C \equiv CmC \rightarrow \alpha + \beta$.

Таблица 2.7.4 Расчет индекса стоимости сталей

Индекс стоимости стали C_{cmanl} (отношение стоимости сплава к стоимости железа) зависит от вида легирующих элементов и их количества в сплаве, а также от его группы качества (содержания вредных примесей). Формула для оценки индекса стоимости легированной стали, а также сплава на железоникелевой и никелевой основе имеет вил

$$C_{cmanu} = [C_{Fe} \cdot (1 - \sum x_i) + \sum C_i \cdot x_i] \cdot k_{FK},$$

здесь C_{Fe} =1, C_i — индекс стоимости железа и i — го легирующего элемента, соответственно; x_i — массовая доля i — го легирующего элемента; $k_{\Gamma K}$ — коэффициент качества сплава, характеризующий влияние на индекс стоимости группы качества стали (для стали обыкновенного качества $k_{\Gamma K}$ = 1; для качественной — $k_{\Gamma K}$ = 1,17; для высоко- и особовысококачественной — $k_{\Gamma K}$ = 1,52).

| Металл | C_{i} | Металл | C_{i} | Металл | C_{i} | Металл | C_{i} |
|--------|---------|--------|---------|--------|---------|--------|---------|
| Al | 6 | Fe | 1 | Cu | 8 | Nb | 800 |
| Al | 3100* | Co | 230 | Cu | 400* | Pb | 10 |
| V | 144 | Si | 5 | Mo | 180 | Ti | 160 |
| W | 75 | Mn | 10 | Ni | 40 | Cr | 25 |

Примечание: звездочкой отмечены индексы стоимости для металла особой чистоты.

Таблица 2.7.5. Жаростойкость сталей

Жаростойкость (окалиностойкость) характеризует сопротивление металла окислению при высоких температурах. При рабочих температурах стального изделия выше 550° С и наличии химически активной среды следует применять жаростойкие стали. Для повышения жаростойкости сталь легируют элементами (Cr, Al, Si), способствующими образованию плотных окислов (Cr_2O_3 , Al_2O_3 , SiO_2), наличие которых на поверхности изделия тормозит дальнейшее окисление железа. Жаростойкость стали определяется в основном содержанием в ней хрома. Важно, что жаростойкость стали является структурно нечувствительной характеристикой, т.е. жаростойкость стали зависит только от её состава и

не зависит от структуры.

Определение рабочей температуры стали по содержанию хрома

$$t_{pa\delta} = 506 + 44,135943 \cdot Cr - 0,794808 \cdot Cr^2, \%$$
 (1)

Определение содержания хрома в стали для заданной рабочей температуры

$$Cr = 6.33 - 0.034687 \cdot t_{poo} + 0.000045 \cdot t_{poo}^2, ^{\circ} C$$
 (2)

Примечание: Уравнения регрессии (1, 2) получены по данным [4]. Пределы варьирования параметров в уравнениях (1,2): $t_{pa6}=500\div1100^{\circ}$ C; $Cr=0\div30\%$.

Таблица 2.7.6. Структурная диаграмма нержавеющих сталей

Нержавеющие стали бывают ферритного (Ф), мартенситного (М), аустенитного (А) и промежуточных (Ф+М, Ф+М, А+Ф) классов. Структурная принадлежность стали определяется графически по диаграмме Шеффлера в зависимости от эквивалента хрома $Cr_{_{3KB}}$ и эквивалента никеля $Ni_{_{3KB}}$ стали.

Эквиваленты $Cr_{_{_{^{9KB}}}}$ и $Ni_{_{_{9KB}}}$

$$Cr_{_{9KG}} = Cr + 2Si + 1,5Mo + 5V + 5,5Al + 1,75Nb + 1,5Ti + 0,75W$$
 (1)

$$Ni_{3K6} = Ni + 0.5Mn + 30C + 30N + 0.3Cu$$
, (2)

здесь символы легирующих элементов обозначают их массовые доли в %; множители при символах – коэффициенты активности соответствующих элементов.

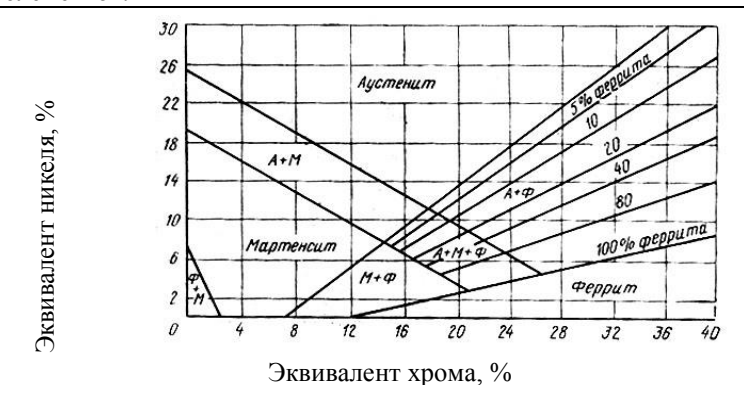


Таблица 2.7.7 Определение структурной принадлежности чугунов и оценка их механических свойств

Структурная принадлежность чугуна

Структурная принадлежность чугуна определяется наличием в структуре

сплава эвтектики, количество которой определяется составом чугуна. Содержание в чугуне эвтектики характеризуется степенью эвтектичности S_{\Im} (доли)

$$S_{9} = \frac{C}{4,30 - 0,3 \cdot (Si + P)} , \tag{1}$$

здесь C, Si, P — содержание (%) углерода, кремния, фосфора. Чугуны с S $_3$ <1 называют доэвтектическими, с S $_3$ =1— эвтектическими, S $_3$ >1—

Для оценки структурной принадлежности чугуна используется также эквивалент углерода СЕ (%) чугуна, величина которого с учетом влияния кремния и фосфора определяется по формуле

$$CE = C + 0.3 \cdot (Si + P) \tag{2}$$

Чугуны с CE < 4,3 называют доэвтектическими, с CE = 4,3 – эвтектическими, CE > 4,3 – заэвтектическими.

Оценка механических свойств серого чугуна *

Характер влияния основных элементов на прочность и твердость серого чугуна отражают зависимости

$$\sigma_B=80,2-15,3\cdot C-4,8\cdot Si+4,6\cdot Mn+22,3\cdot S\pm2,56$$
, (3)
 $HB=244-7,2\cdot C-13,9\cdot Si+21,0\cdot Mn+170,0\cdot S\pm12,46$,(4)
 здесь C, Si, Mn, S – массовая доля элементов, %;
 σ_B , HB – кгс/мм².

Расчет прочности и твердости по формулам (3, 4) дает результаты в ряде случаев отличные от данных ГОСТ1412. Влияние эвтектичности S_{\Im} (см. формулу 1) на прочность и твердость серого чугуна описывается формулами

$$\sigma_B = 102 - 82, 5 \cdot S_{\odot} \quad \text{kfc/mm}^2 \tag{5}$$

$$HB = 538 - 355 \cdot S_3 \text{ KFC/MM}^2$$
 (6)

Данные [11].

заэвтектическими.

Таблица 2.7.8. Оценка свариваемости сталей и склонности к растрескиванию сварных конструкций

Оценка свариваемости

Свариваемостью стали называется способность металла образовывать сварные соединения. Свариваемость является основным технологическим свойством сталей, используемых для изготовления сварных изделий в различных отраслях машиностроения.

Свариваемость качественно оценивается степенью соответствия свойств сварного соединения аналогичным свойствам основного металла, а также наличием сварочных дефектов в виде трещин, пор, неметаллических

включений и т.п. По свариваемости стали подразделяются на четыре группы : **хорошо сваривающиеся** (обычная технология сварки — без подогрева до сварки и в процессе сварки и без последующей термообработки);

удовлетворительно сваривающиеся (в нормальных производственных условиях трещин не образуется или для предупреждения образования трещин необходим предварительный нагрев, а также предварительная и последующая термообработка);

ограниченно сваривающиеся (в обычных условиях сварки склонны к образованию трещин – обязательный подогрев и термическая обработка до и после сварки);

плохо сваривающиеся (для сварных конструкций не применяются, обязателен подогрев и термообработка до и после сварки).

Критерий свариваемости – эквивалент углерода

Обобщенно влияние содержания углерода, легирующих элементов и примесей на качество сварного соединения характеризуется так называемым эквивалентом углерода СЕ. Согласно ГОСТ 27772–88 эквивалент углерода предложено определять по формуле

$$CE = C + \frac{Mn}{6} + \frac{Si}{24} + \frac{Cr}{5} + \frac{Mo}{4} + \frac{Ni}{40} + \frac{Cu}{13} + \frac{V}{14} + \frac{P}{2},\% (1)$$

здесь символы элементов выражают массовые доли этих элементов; множители при символах представляют собой коэффициенты активности данных элементов.

Эквивалент углерода следующим образом характеризует свариваемость сталей:

CE<0,35 – сварка не вызывает затруднений;

 $CE = 0.35 \div 0.6$ — сварка проводится с соблюдением мер предосторожности; CE > 0.6 — вероятность образования трещин возрастает и необходимы

СЕ>0,6 – вероятность образования трещин возрастает и необходими специальные меры предосторожности.

Оценка склонности к растрескиванию сварных соединений

При изготовлении сварных конструкций наблюдаются случаи появления трещин (растрескивания) в сварных швах, подвергающихся термической обработке. Особая опасность такого рода повреждений заключается в том, что неразрушающий контроль сварных соединений часто проводится до термической обработки и, следовательно, не исключено, что сварные конструкции, допущенные к эксплуатации, будут иметь дефекты в виде трещин, расположенных в высоконагруженных местах.

Критерий растрескивания – критерии Накамуры и Ито*

Влияние химического состава сталей на склонность сварных соединений к растрескиванию при термообработке контролируется критерием Накамуры $\Delta G'$ и критерием Ито P_{SR}

$$\Delta G' = 10C + Cr + 3.3Mo + 8.1V - 2$$
, % (2)

$$P_{SR} = Cr + Cu + 2Mo + 10V + 7Nb + 5Ti - 2$$
, % (3)

здесь символы элементов выражают массовые доли этих элементов; множители при символах представляют собой коэффициенты активности данных элементов.

Склонными к растрескиванию сварных соединений считаются стали, имеющие критерий Ито $P_{SR}>0$. Критерий Накамуры следующим образом характеризует склонность металла сварного шва к образованию трещин при термообработке:

 $\Delta G' < 1,5$ – сталь не склонна к растрескиванию;

 $\Delta G' > 2$ – сталь склонна к растрескиванию;

 $\Delta G' = 1,5 \div 2$ – промежуточная область.

* Данные [18].

Таблица 2.7.9. Определение расчетной температуры подогрева при РДС по Сефериану

Подогрев при сварке изделий РДС является технологической мерой, предупреждающей закалку зоны термического влияния шва и позволяющей предотвратить образование холодных трещин при сварке. Д.Сефериан [19] предложил методику расчетного определения температуры T_{Π} подогрева при сварке, учитывающую химический состав стали и толщину свариваемых листов. Методика Сефериана основана на использовании эквивалента углерода (СЕ см. таблицу 2.7.8) как меры закаливаемости стали с поправкой на толщину листов s и введении ряда поправочных коэффициентов.

$$T_{II} = 350 \cdot \sqrt{CE \cdot (1 + 0.005 \cdot s) - 0.25}, ^{\circ} C$$

здесь СЕ- %; s – мм; 0,005 – коэффициент толщины; 0,25 – верхний предел содержания углерода в углеродистых свариваемых сталях.

Обращаем внимание. Полученные расчетом значения T_Π следует рассматривать как ориентировочные, поскольку температура подогрева при сварке ответственных стыков определяется действующей нормативнотехнической документацией по сварке.

Таблица 2.7.10. Расчет параметров старения сварных образцов из теплостойкой стали 15X1M1Ф

Старение металла околошовной зоны сварных конструкций проявляется в склонности к хрупким разрушениям металла в зоне термического влияния при термической обработке или эксплуатации в условиях ползучести. Процессы старения металла околошовной зоны сварного соединения исследуют в зависимости от **температурно-временного параметра Холомона** H_P

$$H_P = T_{omn} \cdot (20 + \lg \tau) \cdot 10^{-3}$$
,

здесь $T_{\text{отп}}$ – температура отпуска сварного соединения, $K; \tau$ – время выдержки при отпуске, час.

Температура отпуска 550°C, подогрев при сварке 150÷200°C

$$H_P = 6-16 \rightarrow HV = 285 + 2.5 \cdot H_P$$

 $H_P = 16 - 18 \rightarrow HV = -77.92 + 24.592 \cdot H_P$

Температура отпуска 550°С, подогрев при сварке 300÷350°С

$$H_P = 6-16 \rightarrow HV = 277 + 0.5 \cdot H_P$$

 $H_P = 16-18.5 \rightarrow HV = -188.08 + 30.047 \cdot H_P$

Температура отпуска 650°С, подогрев при сварке 150÷200°С

$$H_P = 6 - 17.5 \rightarrow HV = 269.13 + 3.4783 \cdot H_P$$

 $H_P = 17.5 - 18.5 \rightarrow HV = -396.02 + 41.353 \cdot H_P$
 $H_P = 18.5 - 21.2 \rightarrow HV = 1621.9 - 67.367 \cdot H_P$

Температура отпуска 650°C, подогрев при сварке 300÷350°C

$$H_P = 6 - 18,6 \rightarrow HV = 232,48 + 6,2129 \cdot H_P$$

 $H_P = 18,6 - 21,5 \rightarrow HV = 1354,1 - 53,299 \cdot H_P$

Уравнения регрессии для определения твердости HV сварных образцов из стали $15X1M1\Phi$ в зависимости от параметра Холомона по данным [18].

Таблица 2.7.11. Влияние на прочность конструкционных сталей абсолютных размеров образцов

Учет влияния абсолютных размеров на механические свойства материала образцов необходим при выполнении проектных расчетов деталей с целью обеспечения максимальной несущей способности изделий.

Масштабный коэффициент предела прочности $k_{d\sigma}$ характеризует количественно влияние на предел прочности σ_{Bi} абсолютных размеров образца

$$\sigma_{Bi} = \sigma_{B0} \cdot k_{d\sigma}, \qquad (1)$$

здесь σ_{B0} — базовое значение предела прочности стали (для образца диаметром d_0 = 50 мм).

Для практического использования при выборе марки стали, обеспечивающей требуемый уровень прочности силовой детали заданного размера дополнительно введем коэффициент материала k_M , который представляет собой отношение предела прочности σ_{Bi} к некоторому базовому значению σ_{Bb} , в качестве которого примем предел прочности для стали $30~\sigma_{Bb}=75~{\rm krc/mm}^2$. Тогда σ_{Bi} стали определится по формуле

$$\sigma_{\rm B0} = \sigma_{\rm BE} \cdot k_{\rm M},$$
 (2)

| O_{Bi} — O_{Bi} - O_{Bi} - $N_{d\sigma}$, (3) | | | | | | | | | | | |
|---|---|----------|----------|-----------------------|-----------------------------------|----------|---------|--|--|--|--|
| Базовое значение предела прочности $\sigma_{B0}~({ m krc/mm}^2)$ и коэффициента материала | | | | | | | | | | | |
| | $k_{\scriptscriptstyle M}$ для конструкционных сталей | | | | | | | | | | |
| Марка стали | 30 | 34XMA | 30XH3 | | | | | | | | |
| σ_{B0} | σ _{B0} 75 87 87 | | | | | 103 | 127 | | | | |
| k_{M} | 1 | 1,16 | 1,16 | 1,27 | 1,43 | 1,37 | 1,69 | | | | |
| | ения прои | зведения | коэффиц | иентов k _d | _σ · k _M для | конструк | ционных | | | | |
| | | | висимост | | | | | | | | |
| d _i , мм | 30 | 35СГ | 35XA | 30H3 | 33XCA | 34XMA | 30XH3 | | | | |
| 25 | 1,16 | 1,53 | 1,44 | _ | _ | _ | | | | | |
| 30 | 1,12 | 1,44 | 1,33 | 1,6 | _ | _ | | | | | |
| 35 | 1,08 | 1,33 | 1,29 | 1,47 | _ | 1,67 | | | | | |
| 40 | 1,04 | 1,27 | 1,24 | 1,4 | 1,64 | 1,53 | | | | | |
| 45 | 1,01 | 1,21 | 1,20 | 1,32 | 1,49 | 1,44 | | | | | |
| 50 | 1 | 1,17 | 1,16 | 1,27 | 1,41 | 1,37 | 1,69 | | | | |
| 55 | 0,97 | 1,13 | 1,13 | 1,23 | 1,36 | 1,33 | 1,58 | | | | |
| 60 | 0,96 | 1,11 | 1,11 | 1,2 | 1,31 | 1,28 | 1,53 | | | | |
| 65 | 0,95 | 1,09 | 1,09 | 1,16 | 1,27 | 1,25 | 1,46 | | | | |

1.14

1.12

1.11

1.1

1.08

1.07

1,06

1.04

1.04

1.03

1,03

1,03

1,03

1.07

1,07

1.04

1.03

1,03

1.03

1,03

1.02

1,01

1,01

1,01

1,01

1,01

1.24

1,20

1.17

1.15

1.13

1.13

1,12

1.11

1.08

1.07

1.07

1,07

1,07

1.23

1,20

1.17

1.15

1.14

1.13

1,13

1.11

1.11

1.11

1.11

1,11

1,11

1.43

1,39

1,36

1,32 1,29

1,28

1,25

1.24

1.23

1.21

1,2

1,19

1,19

(3)

 $\sigma_{\rm D} = \sigma_{\rm DE} \cdot k_{\rm A} \cdot k_{\rm A}$

Примечание: Приведенные значения k_M и $k_{d\sigma} \cdot k_M$ получены по данным С.М. Баранова [6, с. 284] для постоянного значения относительного сужения ψ =40% и ударной вязкости KCU = 6 кгс·м/см².

Примеры пользования таблицей:

Тогла

70

75

80

85

90

95

100

105

110

115

120

125

130

0,93

0,93

0,93

0,92

0,92

0,92

0,92

0,92

0,92

0,92

0,92

0,92

0,92

1,07

1,06

1.03

1.01

1.01

1.00

0,99

0.98

0.97

0.97

0,97

0,97

0,97

1. Выбрать марку конструкционной стали, обеспечивающей несущую способность изделию при прочности на уровне σ_B =80 кгс/мм², для изделия диаметром 120 мм.

Рассматриваем строку таблицы d_i =120 мм, в ячейках которой поставим значения σ_{Bi} , посчитанные по формуле (3)

| d _i , мм | 30 | 35СГ | 35XA | 30H3 | 33XCA | 34XMA | 30XH3 | | | |
|---------------------|--|------|------|------|-------|-------|-------|--|--|--|
| 120 | 0,92 | 0,97 | 1,01 | 1,03 | 1,07 | 1,11 | 1,2 | | | |
| | Расчётные значения σ_{Bi} , кгс/мм ² | | | | | | | | | |
| 120 | 69 | 73 | 76 | 77 | 80 | 83 | 90 | | | |

Из таблицы видно, что прочность на уровне σ_B =80 кгс/мм² при диаметре изделия 120 мм обеспечивают стали 33XCA, 34XMA, 30XH3A.

2. Выбрать марку конструкционной стали, обеспечивающей детали диаметром 70 мм несущую способность при прочности на уровне σ_B =110 кгс/мм².

Рассматриваем строку таблицы d_i =70 мм, в ячейках которой поставим значения σ_{B_i} , посчитанные по формуле (3)

| d_i , мм | 30 | 35СГ | 35XA | 30H3 | 33XCA | 34XMA | 30XH3 | | |
|------------|--|------|------|------|-------|-------|-------|--|--|
| 70 | 0,93 | 1,07 | 1,07 | 1,14 | 1,24 | 1,23 | 1,43 | | |
| | Расчётные значения σ_{Bi} , кгс/мм ² | | | | | | | | |
| 70 | 70 | 80 | 80 | 98 | 93 | 92 | 107 | | |

Из таблицы видно, что прочность на уровне σ_B =110 кгс/мм² при диаметре изделия 70 мм приведённые стали не обеспечивают.

3. Определить уровень прочности при сохранении несущей способности изделия диаметром 90 мм из стали марки 35XA.

$$\sigma_{\text{Bi}} = \sigma_{\text{BE}} \cdot k_{\text{M}} \cdot k_{\text{d}\sigma} = 75 \cdot 1,03 = 77 \text{ kgc/mm}^2$$
.

4. Определить максимальный диаметр изделия при сохранении несущей способности при уровне прочности σ_B =90 кгс/мм² из стали марки 30H3.

 $k_{M}\cdot k_{d\sigma} = \sigma_{Bi}/\ \sigma_{Bb} = 90/75 = 1,2$. Из таблицы $d_i \le 60$ мм.

Таблица 2.7.12 Теплостойкость инструментальных материалов

Для инструментальных материалов важным эксплуатационным свойством является **теплостойкость** (красностойкость), которая характеризуется максимальной рабочей температурой режущей кромки инструмента из данной стали, при которой инструмент сохраняет режущую способность. Чем выше теплостойкость инструментальной стали, тем большую скорость резания допускает изготовленный из неё инструмент.

| Группа материалов | ГОСТ | Марки | t _{pa6} , °C |
|---------------------|-----------|---------------------|-----------------------|
| Углеродистая сталь | 1435–99 | У7-У13 | 200÷250 |
| Легированная сталь | 5950-2000 | ХВГ, 9ХВГ, 9ХС, 6ХС | 250÷300 |
| Быстрорежущая сталь | 19265-73 | P18, P9, P6M5 | 600÷630 |
| Твёрдый сплав | 3882-74 | ВК3, ВК25, Т30К4, | 800÷1000 |
| | | TT7K12 | |

Библиографический список

Учебная литература

- 1. Материаловедение / Б.Н. Арзамасов, В.И. Макарова, Г.Г. Мухин и др.; Под общ. ред. Б.Н. Арзамасова, Г.Г.Мухина. М.: Изд-во МГТУ, 2002, 648 с.
- 2. Материаловедение и технология металлов. /Г.П.Фетисов, М.Г. Карпман, В.М. Матюнин и др.; Под ред. Г.П.Фетисова. М.: Высшая школа, 2002, 638 с.
- 3. Солнцев Ю.П., Пряхин Е.И. Материаловедение. СПб.: Химиздат, 2004, 736 с.
- 4. Гуляев А.П. Металловедение. М.: Металлургия, 1977, 647 с.
- 5. Лахтин Ю.М., Леонтьева В.П. Материаловедение. М.: Машиностроение, 1980, 493 с.
- 6. Блантер М.Е. Металловедение и термическая обработка. М.: Машгиз, 1963, 416 с.
- 7. Геллер А.Ю., Рахштадт Материаловедение. Методы анализа, лабораторные работы и задачи. М.: Металлургия, 1984, 384 с.
- 8. Сафонов Б.П., Саяпин В.В. Терминологический словарь по материаловедению и технологии конструкционных материалов: Учебное пособие / РХТУ им. Д.И.Менделеева, Новомосковский институт. Новомосковск, 2006. 198 с., электронное приложение 60 МБ.
- 9. Глинка Н.Л. Общая химия: Учебное пособие для вузов/Под ред. А.И.Ермакова. изд. 28-е, перераб. и доп. М.: Интеграл-Пресс, 2000. 728 с.

Справочная литература

- 10. Эмсли Дж. Элементы: Пер. с англ.- М.: Мир, 1993. 256 с.
- 11. Стали и чугуны Машиностроение. Энциклопедия. Т. II-2/ Г.Г.Мухин, А.И.Беляков, Н.Н.Александров и др.; Под общ. ред. О.А. Банных и Н.Н. Александрова. 2001, 784 с.
- 12. Цветные металлы и сплавы. Композиционные металлические материалы. Машиностроение. Энциклопедия. Т. II-3/ И.Н. Фридляндер, О.Г. Сенаторова, О.Е. Осинцев и др.; Под общ. ред. И.Н. Фридляндера. 2001, 880 с.
- 13. Конструкционные материалы: Справочник /Б.Н. Арзамасов, В.А. Брострем, Н.А. Буше и др.; Под общ. ред. Б.Н. Арзамасова. М.: Машиностроение, 1990, 688 с.
- 14. Машиностроительные материалы. Краткий справочник / В.М. Раскатов, В.С. Чуенков, Н.Ф. Бессонова, Д.А. Вейс. М.: Машиностроение, 1980, 511 с.
- 15. Марочник сталей и сплавов/В.Г.Сорокин, А.В.Волосникова, С.А Вяткин и др.; Под общ. ред.В.Г.Сорокина. М.: Машиностроение, 1989. 640 с.
- 16. Марочник сталей и сплавов. /А.С.Зубченко, М.М.Колосков, Ю.В.Каширский и др.; Под общ. ред А.С.Зубченко. М.: Машиностроение, 2003. 484 с.
- 17. Полевой С.Н., Евдокимов В.Д. Упрочнение машиностроительных материалов: Справочник. М.: Машиностроение, 1994. 496 с.
- 18. Земзин В.Н., Шрон Р.З. Термическая обработка и свойства сварных соединений. Л.: Машиностроение, 1978. 367 с.
- 19. Сефериан Д. Металлургия сварки. Пер. с франц.М.: Машгиз,1963. 350 с.
- Международный транслятор современных сталей и сплавов. Том 1 /В.М.Белявская, М.С.Блантер, В.Я.Кершенбаум и др.; Под ред. В.Я.Кершенбаума. Центр «Наука и техника». М.: 1992, 1102 с.
- 21. Международный транслятор современных сталей и сплавов. Том 3 /М.С.Блантер, М.Я.Брун, Г.Г.Гулей и др.; Под ред. В.Я.Кершенбаума. Центр «Наука и техника». М.: 1993, 635 с.
- 22. Йех Я. Термическая обработка стали. Справочник Пер. с чешского. М.: Металлургия, 1979. 264 с.

- 23. Гжиров Р.И. Краткий справочник конструктора: Справочник Л: Машиностроение, 1983.-464 с.
- 24. Справочник по конструкционным материалам: Справочник / Б.Н. Арзамасов, Т.В.Соловьёва, С.А.Герасимов и др.; Под ред. Б.Н. Арзамасова, Т.В.Соловьёвой. М.: Изд.-во МГТУ им. Н.Э.Баумана, 2005. 640 с.

Оглавление

| | Предисловие | 3 |
|---------|--|--------|
| 1. | Введение | 4 5 |
| | Условия задач. | 5 |
| 1.1. | Кристаллическое строение металлов. | 3 |
| 1.2. | Пластическая деформация и механические свойства сплавов. | 6 |
| 1.3. | Кристаллизация, состав сплавов | 11 |
| 1.4. | Критические точки сплава. Диаграммы состояния двойных | |
| | систем | 13 |
| 1.5. | Диаграмма состояния «железо-цементит», структурно- | |
| | фазовый анализ железоуглеродистых сплавов | 19 |
| 1.6. | Маркировка, применение конструкционных и | |
| | инструментальных сплавов | 22 |
| | | |
| 1.7. | Эксплуатационные свойства и маркировка специальных | |
| | сплавов | 23 |
| 1.8. | Термическая и химико-термическая обработка сплавов | 24 |
| 1.9. | Расчеты технических сплавов. | 28 |
| 2. | Справочные материалы | 32 |
| 2.1. | Общие сведения о материалах и их свойствах | 32 |
| 2.1.1. | Типы кристаллических решеток некоторых металлов | 32 |
| 2.1.2. | Физические свойства некоторых неметаллов | 34 |
| 2.1.3. | Физико-механические свойства некоторых металлов | 34 |
| 2.1.4. | Характеристики физико-химических свойств материалов | 35 |
| 2.1.5. | Характеристики механических свойств материалов | 37 |
| 2.1.6. | Единая шкала твердости C_{\ni} по Роквеллу | 40 |
| 2.1.7. | Нормативная документация на техническую продукцию | 40 |
| 2.1.8. | Значения характеристик механических свойств материалов | |
| | при комнатной температуре | 43 |
| 2.1.9 | Дефекты кристаллического строения металлов | 45 |
| 2.1.10. | Значение параметров в самодиффузии для некоторых | |

| | металлов |
|---------|--|
| 2.1.11. | Количественное сравнение значений твердости, |
| | определенной разными |
| | методами |
| 2.1.12. | Анизотропия свойств кристаллов и металлических |
| | полуфабрикатов |
| | |
| 2.1.13. | Практическое применение некоторых металлов |
| | Рекристаллизация сплавов |
| | Надрезанные образцы для ударного изгиба |
| | Некоторые виды металлических полуфабрикатов |
| | Порог хладноломкости стали |
| | Уравнения регрессии [*] для пересчёта «твёрдость ↔ предел |
| | прочности» |
| 2.2. | Двойные сплавы |
| 2.2.1. | |
| 2.2.2. | Классификация сплавов. |
| 2.2.3. | Расчет состава сплавов. |
| 2.2.4. | Критические точки металлов и сплавов |
| 2.2.5. | Кривая охлаждения сплава |
| 2.2.6. | Термокинетическая диаграмма кристаллизации сплава |
| 2.2.7. | Типовые диаграммы состояния двойных систем |
| 2.2.8. | Определение состава фаз сплава по диаграмме состояния |
| | (правило концентраций) |
| 2.2.9. | Определение относительного количества фаз сплава по |
| | диаграмме состояния (правило отрезков) |
| 2.2.10. | Определение относительного количества эвтектики в |
| | структуре сплава по диаграмме состояния (правило |
| | треугольника) |
| | - r -y |
| 2.2.11. | Прогнозирование физико-механических свойств сплавов |
| | по диаграмме состояния (правило Н.С.Курнакова) |
| 2.2.12. | Прогнозирование технологических свойств сплавов по |
| | диаграмме состояния (правило А.А. Бочвара) |
| 2.2.13 | Диаграммы состояния некоторых двойных систем |
| 2.2.14 | Шаблоны схем микроструктуры сплавов с эвтектикой |
| 2.3. | Диаграмма состояния «Fe-Fe ₃ C» |
| 2.3.1. | Узловые точки диаграммы состояния «Fe–Fe ₃ C » |
| 2.3.2. | Описание узловых точек диаграммы состояния «Fe–Fe ₃ C». |
| 2.3.3. | Изотермические превращения Fe–С сплавов |
| 2.3.4. | Фазы и структурные составляющие Fe–С сплавов |
| 2.3.5. | Структурная классификация Fe–С сплавов |
| 2.3.6. | Расчеты фазового и структурного состава Fe–С сплавов |
| | |

| 2.3.7. | 1 3 | |
|---------|--|----|
| | Н.С.Курнакова | 82 |
| 2.4. | Конструкционные и инструментальные сплавы | 82 |
| 2.4.1. | Условное обозначение легирующих элементов при | 82 |
| | маркировке сплавов железа | |
| 2.4.2. | Классификационная таблица сплавов железа | 83 |
| 2.4.3. | Функциональная классификация сталей | 84 |
| 2.4.4. | Деформируемые конструкционные стали | 85 |
| 2.4.5. | Деформируемые инструментальные стали | 87 |
| 2.4.6. | Литейные сплавы железа | 87 |
| 2.4.7. | Подгруппы сталей и сплавов никеля, имеющие | |
| | собственные | 88 |
| | названия | |
| 2.4.8. | Условное обозначение легирующих элементов при | |
| | маркировке цветных сплавов. | 89 |
| 2.4.9. | Деформируемые цветные сплавы | 90 |
| | Литейные цветные сплавы | 91 |
| | Подгруппы цветных сплавов, имеющие собственные | |
| | названия | 92 |
| 2.4.12. | Принципы маркировки некоторых групп сталей по | |
| | стандартам индустриальных стран. | 95 |
| 2.4.13. | Зарубежные аналоги некоторых отечественных сталей | 96 |
| 2.5. | Специальные сплавы | 98 |
| 2.5.1. | Номенклатура и эксплуатационные свойства специальных | |
| 2.5.11 | сплавов. | 98 |
| 2.5.2. | Сплавы с особыми электрическими свойствами | 90 |
| 2.5.3. | <u>.</u> | 10 |
| 2.5.4. | Сплавы с особыми триботехническими свойствами | 10 |
| 2.5.5. | Сплавы твердые спечённые ГОСТ 3882–74. | 10 |
| 2.5.6. | Припои – сплавы для образования паяных соединений | 10 |
| 2.6. | Термическая и химико-термическая обработка сплавов | 10 |
| 2.6.1. | Виды термической обработки (ТО) сплавов | 10 |
| 2.6.2. | Критические точки стали | 10 |
| 2.6.3. | Фазы и структурные составляющие ТО сталей | 10 |
| 2.6.4. | Виды отжига | 11 |
| 2.6.5. | Виды и способы закалки | 11 |
| 2.6.6. | Виды отпуска функциональных групп стальных изделий | 11 |
| 2.6.7. | Технология <i>TO</i> стальных изделий и изделий из цветных | 11 |
| ∠.0.7. | | 11 |
| 260 | СПЛАВОВ. | 11 |
| 2.6.8. | Закаливаемость стали. | |
| 2.6.9. | Прокаливаемость и полумартенситная твердость стали | 11 |
| 2.6.10 | Торцовая закалка и характеристическое расстояние стали | 11 |
| 2.6.11 | Определение критического диаметра стали и изделия по | |

| | номограмме прокаливаемости | 121 |
|---------|---|-----|
| 2.6.12. | Оборудование и инструмент для термической обработки | 123 |
| 2.6.13 | Источники криогенных температур | 124 |
| 2.7. | Расчеты технических сплавов. | 124 |
| 2.7.1. | | |
| | углеродистых конструкционных сталей | 124 |
| 2.7.2. | Решение обратной задачи материаловедения для | |
| | углеродистых конструкционных сталей | 125 |
| 2.7.3. | Определение эквивалента цинка $Zn_{\mathfrak{I}}$ для латуней | 126 |
| 2.7.4. | Расчет индекса стоимости сталей | 127 |
| 2.7.5. | Жаростойкость сталей | 127 |
| 2.7.6. | Структурная диаграмма нержавеющих сталей | 128 |
| 2.7.7. | Определение структурной принадлежности чугунов и | |
| | оценка их механических свойств. | 128 |
| 2.7.8. | Оценка свариваемости сталей и склонности к | |
| | растрескиванию сварных конструкций | 129 |
| 2.7.9. | Определение расчетной температуры подогрева при РДС | |
| | по Сефериану | 131 |
| 2.7.10 | Расчет параметров старения сварных образцов из | |
| | теплостойкой стали 15X1M1Ф | 131 |
| 2.7.11 | Влияние на прочность конструкционных сталей | |
| | абсолютных размеров образцов | 132 |
| 2712 | Теплостойкость инструментальных материалов | 134 |
| 2.7.12. | Библиографический список | 134 |
| | ополнографический список | 1 |

Учебное издание

САФОНОВ Борис Петрович

Инженерное материаловедение. Сборник задач и справочных материалов

Учебное пособие для студентов инженерных специальностей

изд. 5-е стереотипное

Редактор Е.М.Туманова

Компьютерная верстка В.В. Гальченко

Подписано в печать 30.03.2015 г. Формат 60× 84^{1/16}. Бумага «SvetoCopy». Отпечатано на ризографе. Усл. печ. л. 8,25. Уч.-изд. л. 5,89. Тираж экз. Заказ №

ФГБОУ ВПО «Российский химико-технологический университет им. Д.И.Менделеева» Новомосковский институт (филиал). Издательский центр. Адрес университета: 125047 Москва, Миусская пл., 9.

Адрес института: 301665 Новомосковск, Тульская область, ул. Дружбы, 8. Д. **УТОК**